

68999



T.C.
BALIKESİR ÜNİVERSİTESİ
FEN BİLİMLERİ ENSTİTÜSÜ
İNŞAAT MÜHENDİSLİĞİ ANABİLİM DALI

BİGADİÇ VE TURNATEPE (BALIKESİR) YÖRELERİNDEKİ
ZEOLİTİK VE PERLİTİK TÜFLERİN
PUZZOLONİK ÖZELLİKLERİ

DOKTORA TEZİ

Arzu OKUCU
İnşaat Yüksek Mühendisi

Tez Danışmanı: Prof. Dr. Hayri ERDİNÇ

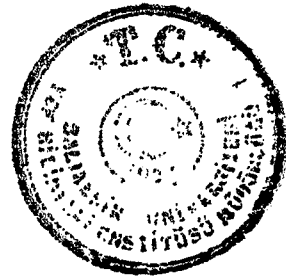
Sınav Tarihi: 29/05/1998

Jüri Üyeleri: Prof. Dr. Bektaş UZ

Prof. Dr. Hayri ERDİNÇ

Prof. Dr. Şerif SAYLAN

Balıkesir, Mayıs-1998



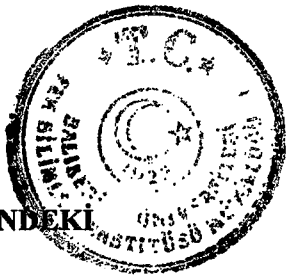
ÖNSÖZ

Balıkesir Üniversitesi, Fen Bilimleri Enstitüsü, İnşaat Mühendisliği Anabilim Dalında Doktora Tezi olarak hazırlanan bu çalışmayı yürüten, her konuda ve çalışma süresince ilgi ve desteğini esirgemeyen, Danışman Hocam Sayın Prof.Dr.Hayri ERDİNÇ 'e, bilgi ve görüşlerinden destek aldığım İTÜ Öğretim Üyesi Sayın Prof.Dr.Bektaş UZ 'a ve İnşaat Mühendisliği Bölüm Başkanı Hocam, Sayın Prof.Dr.Şerif SAYLAN 'a minnet ve şükran borçluyum.

Çeşitli laboratuvar olanaklarından yararlandığım Çimento Müstahsilleri Birliği ve MTA Genel Müdürlüğü 'ne, Yapı Malzemesi Laboratuvarlarında deney düzeneğinin kurulmasındaki katkılarından dolayı sayın Yrd.Doç.Dr.Ergun ATEŞ 'e, Balıkesir SET Çimento laboratuvarlarında çalışma iznini veren Fabrika Müdürü Sayın Reha OKÇU 'ya, Kalite Kontrol Şefi Sayın Rıza AKSÖZ ve yardımcısı Sayın Levent ONAT 'a, Hammadde Şefi Sayın Ali İhsan BÜYÜKKOÇ 'a teşekkürlerimi sunarım.

Balıkesir, 1998

Arzu OKUCU



ÖZ

BİGADİÇ VE TURNATEPE (BALIKESİR) YÖRELERİNDEKİ ZEOLİTİK VE PERLİTİK TÜFLERİN PUZOLANİK ÖZELLİKLERİ

Arzu OKUCU
Balıkesir Üniversitesi, Fen Bilimleri Enstitüsü,
İnşaat Mühendisliği Anabilim Dalı

(Ph. D. Tezi/Tez Danışmanı : Prof. Dr. Hayri ERDİNÇ)

Balıkesir, 1998

Günümüzde inşaat sektörünün gelişmesine bağlı olarak, genel ve özel maksatlı çeşitli tip ve özelliklerde çimento üretilmektedir. Bu çimentoların bir bölümü katkısız bir bölümü katkilıdır. Doğal ve yapay birçok puzolan çimento üretiminde katkı maddesi olarak tüketilmektedir. Bu çalışmada Zeolitik (Bigadiç), Perlitik (Turnatepe) volkanik tüflerinin çimento katkı maddesi olarak değerlendirilebilmesi için, saha etüdleri yapılmış, puzolanik karakterleri belirlenmiş, çimento hammaddesi olabileceğin özellikleri araştırılmış ve bunlarla üretilen çimentoların beton özellikleri dayanıklılık açısından portland çimentosu ile karşılaştırılmış olarak incelenmiştir.

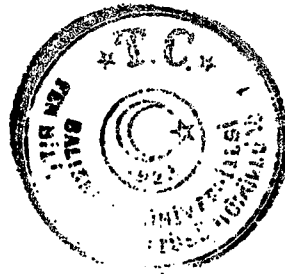
Bigadiç Bölgesinde boratlı tüf olarak tanımlanan seviyeler Neojen yaşı volvano tortul oluşumun en üst katmanlarını oluşturmaktadır. Boratlı zeolitik tüfler riyolitik, camsal veya yarı camsal hamurlu dasitikdir. Tülü ovasındaki Üsttüfler %98 zeolitik (klinoptilolit), alttüfler (Dedeçinar) %65 zeolitik (klinoptilolit)'dır. Turnatepe Bölgesinde, riyolitik ince taneli kısım ile andezitik breşik tüflerin varoldukları ortaya konmuştur.

Alttüyüfler, düşük su emme ve gözenekli, orta düzeyde basınç dayanımı olup yüksek birim ağırlıklara sahiptir. Üsttüfler de ise, orta düzeyde su emme ve gözeneklilik değerleri, fakat yüksek basınç dayanımları bulunmuştur. Turnatepe tüflerinde, en düşük birim hacim ağırlıkları ve basınç dayanımları izlenirken, en yüksek su emme ve porozite değerleri ölçülmüştür.

Zeolitik, perlitik ve bunlara alternatif diğer yakın çevre puzolanlarıyla TS 24'e uygun olarak katkılı çimentolar hazırlanmıştır. Katkı oranları Balıkesir SET Çimento Fabrikası işletme koşullarına uygun %24, %26, %28 olarak belirlenmiştir. Zeolitik tüflerin puzolanik aktiviteleri yüksektir. Kolay öğütüfürler. 28. gün sonunda basınç mukavemetleri yüksektir. Buna karşılık, perlitik tüflerde puzolanik aktivite yüksek olmakla beraber, zor öğütüleilmekte ve 28. gün sonunda basınç mukavemetleri standartları aşmakta fakat zeolitik tüflere göre çok daha düşüktür. Zeolitik tüfler kaliteli bir puzolandır. Perlitik tüfler ise kullanılır bir puzolan olmakla beraber, zeolitik tüflerle uygun bir harmanlamayla kullanılmalıdır. Ayrıca doğal puzolanların 7 günlük mukavemetleri hiç etkilemediği fikrinin de tartışılabileceği görülmüştür.

Zeolitik ve perlitik tüf katkılı çimentolar ve portland çimentosunun dayanıklılık özelliklerini belirlemek için %24, %28, %32 katkılı çimentolar ve aynı klinkerden portland çimentosu (şahit çimento) üretilmiştir. Bu çimentolarla hazırlanan harçlar 28 gün normal şartlarda su içinde, 28. gün (0. başlangıç yaşı) den sonra 12 hafta su ve sülfat çözeltisinde kür edilmiştir. Elde edilen sonuçlara göre katkular, portland çimentosuna göre sülfatlı ortamda harçın dayanıklılığını artırmıştır. Özellikle zeolit katkılı harçlarda bu özellikler daha belirgindir. Fakat çimentoya katılacak katkı miktarı çok önemlidir. X-Ray Difraktometre incelemelerinde şahit harçda etringit oluşumuna rastlanırken, katkılı harçlarda rastlanmamıştır. Bu da katkılı çimentoların sülfatlı ortama dayanıklı olduğunu bir kez daha ortaya koymuştur.

ANAHTAR SÖZCÜKLER: Çimento/puzolan/katkılı çimento /zeolit/zeolitik tüf/dayanıklılık/harç.



ABSTRACT

THE PUZZOLANIC CHARACTERISTICS OF THE ZEOLITIC AND PERLITIC TUFFS IN BIGADIÇ AND TURNATEPE (BALIKESİR) AREAS

Arzu OKUCU
Civil Engineering Division of Science Institute, Balıkesir University

Ph.D.Thesis / Supervisor Prof:Dr. Hayri ERDİNÇ
Balıkesir-Turkey, 1998

Currently, in connection with the growth of construction industry, common and particular intentional cement of various types and characteristics are produced. Some parts of them mixed and others are pure. Many natural and artificial puzzolanas (trass) are consumed as additive in cement production. In this work, to utilize the zeolitic (Bigadiç) and perlitic (Turnatepe) volcanic tuffs as additive in cement; field work, puzzolanic activity measurements and raw material tests have been achieved. The test concretes of these produced cements were meanwhile compared to that of portland.

The borates interlayered tuffs of Neogene aged volcanosedimentary formation in Bigadiç area formed uppermost levels. These borate bearing tuffs are rhyolitic and dacitic with vitreous or partly vitreous matrix. In Tülü Plain, the upper tuffs contain 98 percent zeolite (clinoptilolite) and lower tuffs at Dedeçınar are 65 percent zeolitic (clinoptilolite). In Turnatepe area it has pointed out that the fine grained rhyolitic division associated with brecciated tuffs.

Lower tuffs have low absorbing capacity, porosity and compressive strength but high specific gravity. Whereas in upper tuffs fairly good absorbing and porosity but high compressive strength values were measured. Turnatepe tuffs have lowest specific gravity and strengths but highest absorbing and porosity values.

Mixed cements were prepared with the zeolitic, perlitic and the other nearby puzzolanas. Details of the preparation are described in TS24. Additive ratios are 24, 26 and 28 percent fitting to the Balıkesir SET Cement Factory's production conditions. The puzzolanic activity of the zeolitic tuffs are high. They can easily be grinded. The 28 day strengths are very high. In contrast, perlitic tuffs can hardly be grinded and despite their 28 day strengths slightly over specifications, the values are significantly lower than that of zeolitic tuffs. Zeolitic tuffs are qualified puzzolanas. Though perlitic tuffs can also be utilized alone, it is better to prepare a proper blend with zeolitic tuffs. Besides the opinion that the natural puzzolanas never effect the 7 day strengths is controversial.

To determine the durability of portland cement and 24, 28, 32 percent additive containing cements, reference samples were produced from the same clinker. The mortars prepared with these cement were water cured at normal conditions for 28 days and following 12 weeks in water and in sulphate solution.

The results indicated that the mixes increased the durability of the mortar in environments containing sulphate ions, when compared with portland cement. This conclusion is much more evident in zeolite added mortars. But additive ratio is very important. Etringite mineral was detected in X-Ray diffraction analyses of reference sample but not in additive mixed mortars. Thereof it can be once more concluded that puzzolana mixed cements appear to be able to improve sulphate resistance.

KEY WORDS: Cement/ puzzolana/mixed cement/zeolite/zeolitic tuff/durability/mortar.



İÇİNDEKİLER

ÖNSÖZ

ÖZ, ANAHTAR SÖZCÜKLER

ii

ABSTRACT, KEY WORDS

iii

İÇİNDEKİLER

iv

ŞEKİL LİSTESİ

vi

ÇİZELGE LİSTESİ

ix

FOTOĞRAF LİSTESİ

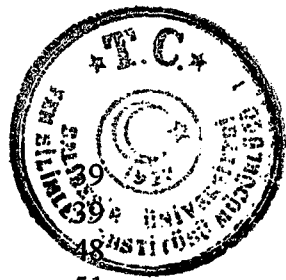
xi

BÖLÜM-1 GİRİŞ

1.1. Genel Bilgiler	2
1.1.1. Çimento	2
1.1.1.1 Çimento Üretimi	2
1.1.1.2 Çimentolarda Karmaşık Bileşenler	4
1.1.1.3. Fiziksel Özellikler	6
1.1.1.4. Çimento Hidratasyonu	7
1.1.1.5. Puzolanlı Çimentolar	8
1.1.2. Puzolan	8
1.1.2.1. Puzolanların Sınıflandırılması	9
1.1.2.2. Puzolanik Aktivite	11
1.1.2.3. Puzolan Katkılarının Beton Özelliklerine Etkileri	12
1.1.2.4. Traslı Çimento (TÇ 32.5)	14
1.1.2.5. Katkılı Çimento (KC 32.5)	15
1.1.3. Zeolit	15
1.1.3.1. Zeolitlerin Kullanım Alanları	17
1.1.4. Dayanıklılık	18
1.1.4.1. Sülfat Etkisi	19
1.2. Araştırmanın Gerekçesi ve Amacı	20
1.3. Araştırmanın Kapsamı	21
1.4. İnceleme Alanı Coğrafi Konumu	22

BÖLÜM-2 GENEL JEOLOJİ

2.1. Önceki Çalışmalar	23
2.2. Bigadiç ve Turnatepenin Jeolojisi	24
2.3. Saha İncelemeleri	26
2.3.1. Bigadiç Bölgesi Saha İncelemeleri	26
2.3.2. Bigadiç-Balıkesir Yolu Saha İncelemeleri	34
2.3.3 Turnatepe (Balıkesir) Saha İncelemeleri	34
2.4. Sonuçlar	38



BÖLÜM-3 HAMMADDE ÖZELLİKLERİ	
3.1. Petrografik İnceleme	
3.2. X-Ray Difraktometre İncelemesi	51
3.2.1. X-Ray Difraktometre İncelemelerinin Değerlendirilmesi	51
3.3. Teknolojik İnceleme	51
3.3.1. Teknolojik Özelliklerin Değerlendirilmesi	52
3.4. Kimyasal İnceleme	53
BÖLÜM-4 PUZOLAN ve PUZOLANLI ÇİMENTOLAR	54
4.1. Puzolanlar	54
4.1.1 Fiziksel Deneyler	54
4.1.2. Kimyasal Deneyler	59
4.1.3. Puzolanik Aktivite Deneyi	62
4.2. Puzolanlı Çimentolar	64
4.2.1. Kimyasal Deneyler	65
4.2.2. Fiziksel Deneyler	66
4.2.3. Harç Deneyleri	66
4.2.3.1. Çimento Hamuru Üzerine Yapılan Deneyler	66
4.2.3.2. Mekanik Deneyler	68
4.2.4. Puzolanlı Çimento Deney Sonuçları	69
4.3. Deney Sonuçlarının Değerlendirilmesi	81
4.3.1. Öğütülebilirlik	81
4.3.2. Camsı Faz ve Puzolanik Aktivite İlişkileri	82
4.3.3. H_2O Sonuçları	83
4.3.4. Puzolanlı Çimentoların Mekanik Deney Sonuçları	85
BÖLÜM-5 DAYANIKLILIK	93
5.1. Eğilme ve Basınç Mukavemeti Deneyleri	94
5.2. Kararlılık Deneyleri	97
5.3. Boşluk Durumu Deneyleri	100
5.4. Dayanıklılık Deney Sonuçlarının Değerlendirilmesi	103
5.4.1. Basınç Mukavemeti Sonuçları	103
5.4.2. Eğilme Mukavemeti Sonuçları	110
5.4.3. Kararlılık Deney Sonuçları	114
5.4.4. Boşluk Durumu Deney Sonuçları	123
5.5. Harçların Mineralojik Yapı İncelemesi	127
BÖLÜM-6 SONUÇLAR	130
KAYNAKLAR	135
ÖZGEÇMİŞ	140



SEKİL LİSTESİ

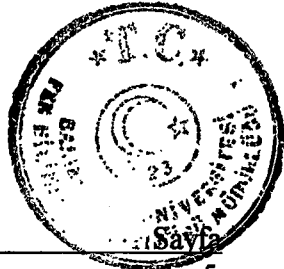
Şekil Numarası	Adı	Sayfa
Şekil 1.1	Natrolit grubu zeolit kristal yapısını oluşturan dört yüzeylilerin zincir bağlanması.	16
Şekil 1.2	Yer bulduru haritası.	22
Şekil 2.1	Bigadiç boratlı Neojen serilerinin enine kesiti.	24
Şekil 2.2	Tülü Ovası zeolithli üstlüflerin jeoloji haritası.	27
Şekil 2.3	Bigadiç Bölgesinde incelenen tüflerin jeoloji haritası.	28
Şekil 2.4	Bigadiç Kırüstü Tepe Tülü Açık Ocak boratlı seviyeler ve üstlüflerin konumu.	29
Şekil 2.5	Turnatepe sahası tüfleri jeoloji haritası.	37
Şekil 3.1	Üstlüfe ait difraktogram.	49
Şekil 3.2	Alttüfe ait difraktogram.	49
Şekil 3.3	Turnatepe Perlitik Tüfe ait difraktogram.	50
Şekil 3.4	Turnatepe Breşik Tüfe ait difraktogram.	50
Şekil 4.1	Puzolanların regresyon analizleri grafiği.	82
Şekil 4.2	Puzolanların fazla H ₂ O ihtiyaçları.	84
Şekil 4.3	Katkılı harçların 2 günlük basınç mukavemetleri.	86
Şekil 4.4	Katkılı harçların 7 günlük basınç mukavemetleri.	87
Şekil 4.5	Katkılı harçların 28 günlük basınç mukavemetleri.	87
Şekil 4.6	%24 Üstlüfe ve Alttüfe katkılı harmanların zamanla basınç mukavemetleri değişimi.	89
Şekil 4.7	%26 Üstlüfe ve Alttüfe katkılı harmanların zamanla basınç mukavemetleri değişimi.	89
Şekil 4.8	%28 Üstlüfe ve Alttüfe katkılı harmanların zamanla basınç mukavemetleri değişimi.	90
Şekil 4.9	%24 katkı oranında Turnatepe Perlitik ve Turnatepe Breş harmanlarının zamanla basınç mukavemeti değişimleri.	91
Şekil 4.10	%26 katkı oranında Turnatepe Perlitik ve Turnatepe Breş harmanlarının zamanla basınç mukavemeti değişimleri.	92
Şekil 4.11	%28 katkı oranında Turnatepe Perlitik ve Turnatepe Breş harmanlarının zamanla basınç mukavemeti değişimleri.	92
Şekil 5.1	Suda bekletilen %24 katkılı harçların basınç mukavemetlerinin zamanla değişimi.	104
Şekil 5.2	Suda bekletilen %28 katkılı harçların basınç mukavemetlerinin zamanla değişimi.	104
Şekil 5.3	Suda bekletilen %32 katkılı harçların basınç mukavemetlerinin zamanla değişimi.	105
Şekil 5.4	Suda bekletilen katkılı harçların 12. hafta sonunda basınç mukavemeti değişimleri.	105
Şekil 5.5	Sülfat çözeltisinde bekletilen %24 katkılı harçların ve şahit harçın basınç mukavemetlerinin zamanla değişimi.	107
Şekil 5.6	Sülfat çözeltisinde bekletilen %28 katkılı harçların ve şahit harçın basınç mukavemetlerinin zamanla değişimi.	107
Şekil 5.7	Sülfat çözeltisinde bekletilen %32 katkılı harçların ve şahit harçın basınç mukavemetlerinin zamanla değişimi.	108



Şekil 5.8	Su ve sülfat çözeltisinde bekletilen şahit harçların zamanla basınç mukavemeti değişimleri.	
Şekil 5.9	12. hafta sonunda su ve sülfat çözeltisinde bekletilen katkılı harçların basınç mukavemeti değişimleri.	
Şekil 5.10	Suda bekletilen %24 katkılı harçların ve şahit harçın eğilme mukavemetlerinin zamanla değişimi.	110
Şekil 5.11	Suda bekletilen %28 katkılı harçların ve şahit harçın eğilme mukavemetlerinin zamanla değişimi.	111
Şekil 5.12	Suda bekletilen %32 katkılı harçların ve şahit harçın eğilme mukavemetlerinin zamanla değişimi.	111
Şekil 5.13	Sülfat çözeltisinde bekletilen %24 katkılı harçların ve şahit harçın eğilme mukavemetlerinin zamanla değişimi.	112
Şekil 5.14	Sülfat çözeltisinde bekletilen %28 katkılı harçların ve şahit harçın eğilme mukavemetlerinin zamanla değişimi.	112
Şekil 5.15	Sülfat çözeltisinde bekletilen %32 katkılı harçların ve şahit harçın eğilme mukavemetlerinin zamanla değişimi.	113
Şekil 5.16	12. hafta sonunda su ve sülfat çözeltisinde bekletilen katkılı harçların eğilme mukavemeti değişimleri.	113
Şekil 5.17	Su ve sülfat çözeltisinde bekletilen şahit harçların zamanla eğilme mukavemeti değişimleri.	114
Şekil 5.18	Suda bekletilen %24 katkılı harçlarda ve şahit harçda ağırlık değişimleri.	115
Şekil 5.19	Suda bekletilen %28 katkılı harçlarda ve şahit harçda ağırlık değişimleri.	115
Şekil 5.20	Suda bekletilen %32 katkılı harçlarda ve şahit harçda ağırlık değişimleri.	116
Şekil 5.21	Sülfat çözeltisinde bekletilen %24 katkılı harçlarda ve şahit harçda ağırlık değişimleri.	116
Şekil 5.22	Sülfat çözeltisinde bekletilen %28 katkılı harçlarda ve şahit harçda ağırlık değişimleri.	117
Şekil 5.23	Sülfat çözeltisinde bekletilen %32 katkılı harçlarda ve şahit harçda ağırlık değişimleri.	117
Şekil 5.24	Su ve sülfat çözeltisinde bekletilen şahit harçların zamanla ağırlık değişimleri.	118
Şekil 5.25	12. hafta sonunda su ve sülfat çözeltisinde bekletilen katkılı harçların ağırlık değişimleri.	118
Şekil 5.26	Suda bekletilen %24 katkılı harçlarda ve şahit harçda boy değişimleri.	119
Şekil 5.27	Suda bekletilen %28 katkılı harçlarda ve şahit harçda boy değişimleri.	119
Şekil 5.28	Suda bekletilen %32 katkılı harçlarda ve şahit harçda boy değişimleri.	120
Şekil 5.29	Sülfat çözeltisinde bekletilen %24 katkılı harçlarda ve şahit harçda boy değişimleri.	120
Şekil 5.30	Sülfat çözeltisinde bekletilen %28 katkılı harçlarda ve şahit harçda boy değişimleri.	121
Şekil 5.31	Sülfat çözeltisinde bekletilen %32 katkılı harçlarda ve şahit harçda boy değişimleri.	121

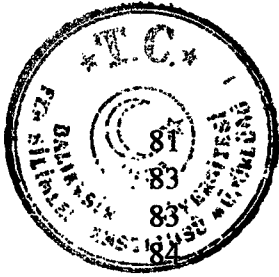


Şekil 5.32	Su ve sülfat çözeltisinde bekletilen şahit harçların zamanla boy değişimleri.	122
Şekil 5.33	12. hafta sonunda su ve sülfat çözeltisinde bekletilen katkılı harçların boy değişimleri.	122
Şekil 5.34	Su ve sülfat çözeltisinde bekletilen üsttüf katkılı harçların kılcallık katsayılarının 4. ve 12. kür haftalarında katkı miktarı ile değişimi.	123
Şekil 5.35	Su ve sülfat çözeltisinde bekletilen alttüf katkılı harçların kılcallık katsayılarının 4. ve 12. kür haftalarında katkı miktarı ile değişimi.	124
Şekil 5.36	Su ve sülfat çözeltisinde bekletilen Turnatepe Perlitik katkılı harçların kılcallık katsayılarının 4. ve 12. kür haftalarında katkı miktarı ile değişimi.	124
Şekil 5.37	Su ve sülfat çözeltisinde bekletilen Üsttüf katkılı harçların su emme değerinin 4. ve 12. kür haftalarında katkı miktarı ile değişimi.	125
Şekil 5.38	Su ve sülfat çözeltisinde bekletilen Alttüf katkılı harçların su emme değerinin 4. ve 12. kür haftalarında katkı miktarı ile değişimi.	125
Şekil 5.39	Su ve sülfat çözeltisinde bekletilen Turnatepe Perlitik katkılı harçların su emme değerinin 4. ve 12. kür haftalarında katkı miktarı ile değişimi.	126
Şekil 5.40	Suda bekletilen katkılı harçlarda 12. gün sonunda katkı miktarına göre birim ağırlık değişimleri.	126
Şekil 5.41	Sülfat çözeltisinde bekletilen katkılı harçlarda 12. gün sonunda katkı miktarına göre birim ağırlık değişimleri.	127
Şekil 5.42	Su ve sülfat çözeltisinde bekletilen şahit harçın zamanla birim ağırlık değişimi.	127
Şekil 5.43	Sülfat çözeltisinde bekletilen %24 Turnatepe perlitik katkılı harçın 12. hafta sonunda diffraktometresi.	128
Şekil 5.44	Sülfat çözeltisinde bekletilen şahit harçın 12. hafta sonunda diffraktometresi.	128
Şekil 5.45	Sülfat çözeltisinde bekletilen %24 üsttüf katkılı harçın 12. hafta sonunda diffraktometresi.	129
Şekil 5.46	Sülfat çözeltisinde bekletilen %24 alttüf katkılı harçın 12. hafta sonunda diffraktometresi.	129

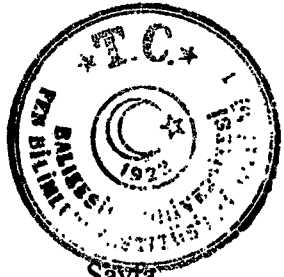


ÇİZELGE LİSTESİ

Çizelge Numarası	Adı	
Çizelge 1.1	Balıkesir ve Söke Çimento Fabrikalarında üretilen klinkerin mineralojisi.	5
Çizelge 1.2	Doğal puzolanlar.	9
Çizelge 1.3	TS 25 'e göre bir trasda aranması gereken özellikler.	12
Çizelge 1.4	Traslı çimentonun kimyasal özellikleri.	14
Çizelge 1.5	Traslı çimento basınç mukavemeti değerleri.	14
Çizelge 1.6	Katkılı çimento kimyasal özellikleri.	15
Çizelge 1.7	Katkılı çimento basınç mukavemeti değerleri.	15
Çizelge 2.1	Bigadiç-Turnatepe Bölgeleri tüflerinin saha özellikleri.	38
Çizelge 3.1	Bigadiç ve Turnatepe tüflerinin X-ray difraktometre verileri.	48
Çizelge 3.2	Bigadiç ve Turnatepe tüflerinin teknolojik özellikleri.	52
Çizelge 3.3	Bigadiç ve Turnatepe tüflerinin kimyasal analizleri, kızdırma kaybı ve çözünmeyen kalıntı miktarları.	53
Çizelge 4.1	Üsttüfun blain, özgül ağırlık ve elek analizi sonuçları.	57
Çizelge 4.2	Alttüfun blain, özgül ağırlık ve elek analizi sonuçları.	57
Çizelge 4.3	Turnatepe Perlitik puzolanının blain, özgül ağırlık ve elek analizi sonuçları.	57
Çizelge 4.4	Turnatepe Breşinin blain, özgül ağırlık ve elek analizi sonuçları.	57
Çizelge 4.5	Sultançayır puzolanının blain, özgül ağırlık ve elek analizi sonuçları.	58
Çizelge 4.6	Pamukçu Üst puzolanının blain, özgül ağırlık ve elek analizi sonuçları.	58
Çizelge 4.7	Pamukçu Alt puzolanının blain, özgül ağırlık ve elek analizi sonuçları.	58
Çizelge 4.8	Üçpinar puzolanının blain, özgül ağırlık ve elek analizi sonuçları.	58
Çizelge 4.9	Puzolanların kimyasal analizleri, kızdırma kaybı ve çözünmeyen kalıntı miktarları.	62
Çizelge 4.10	Standart kumun granülometrik bileşimi.	63
Çizelge 4.11	Puzolanik aktivite harç karışım miktarları.	63
Çizelge 4.12	Puzolanik aktivite, eğilme ve basınç mukavemeti değerleri.	63
Çizelge 4.13	Çimentoların hazırlanmasında kullanılan malzeme miktarları.	73
Çizelge 4.14	Hazırlanan çimentoların kimyasal analizleri.	74
Çizelge 4.15	Hazırlanan çimentoların elek analizleri ve blain değerleri.	74
Çizelge 4.16	Hamur ve harç karışım sonuçları.	75
Çizelge 4.17	Çimentoların hazırlanmasında kullanılan malzeme miktarları.	76
Çizelge 4.18	Hazırlanan çimentoların kimyasal analizleri.	77
Çizelge 4.19	Hazırlanan çimentoların elek analizleri ve blain değerleri.	77
Çizelge 4.20	Hamur ve harç karışım sonuçları.	78
Çizelge 4.21	Çimentoların hazırlanmasında kullanılan malzeme miktarları.	79
Çizelge 4.22	Hazırlanan çimentoların kimyasal analizleri.	79
Çizelge 4.23	Hazırlanan çimentoların elek analizleri ve blain değerleri.	80
Çizelge 4.24	Hamur ve harç karışım sonuçları.	80

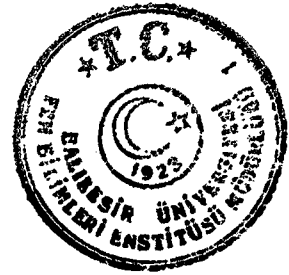


Çizelge 4.25	Puzolanların regresyon analizleri.	
Çizelge 4.26	Puzolanların camsı faz ve mineralojik analizleri.	
Çizelge 4.27	Camsı faz ve puzolanik aktivite ilişkisi.	
Çizelge 4.28	Puzolanların fazla H ₂ O ihtiyaçları.	
Çizelge 5.1	Çimentoların hazırlanmasında kullanılan malzeme miktarları.	93
Çizelge 5.2	Hazırlanan çimentoların incelik ve kimyasal analizleri.	
Çizelge 5.3	Su ve sülfat çözeltisinde bekletilen harçların basınç mukavemeti sonuçları (kg/cm ²).	94
Çizelge 5.4	Su ve sülfat çözeltisinde bekletilen harçların eğilme mukavemeti sonuçları (kg/cm ²).	96
Çizelge 5.5	Su ve sülfat çözeltinde bekletilen harçların ağırlık değişim değerleri (%).	97
Çizelge 5.6	Su ve sülfat çözeltinde bekletilen harçların boy değişim değerleri ($\times 10^{-6}$ μ/mm).	98
Çizelge 5.7	Su ve sülfat çözeltinde bekletilen harçların kılcallık katsayıları (cm ² /s).	101
Çizelge 5.8	Su ve sülfat çözeltinde bekletilen harçların su emme değerleri (%).	102
Çizelge 5.9	Su ve sülfat çözeltinde bekletilen harçların birim ağırlık değerleri (%).	102



FOTOĞRAF LİSTESİ

Fotoğraf Numarası	Adı	Sayı
Foto 2.1	Kırüstü tepe Tülü Ovası borat işletmesi.	30
Foto 2.2	Kırüstü tepe, Üsttüfler.	30
Foto 2.3	İskele köyü kuzey batı kesiminden yüzeydeki Üsttüflerin görünümü.	31
Foto 2.4	Etibank Bor İşletmesi, açık ocak.	32
Foto 2.5	Salmanlı köyü tüfleri.	32
Foto 2.6	Salmanlı köyü tüfleri.	33
Foto 2.7	Salmanlı köyü tüfleri.	33
Foto 2.8	Kadıköy-Değirmenli arası ince taneli tüfler.	35
Foto 2.9	Dedeçinar köyü, alttüfler.	35
Foto 2.10	Turnatepe tras ocağında Perlitik ve Breş zonları.	36
Foto 2.11	Turnatepe Perlitik tüfleri.	36
Foto 3.1	İnce kesit No:1. Tülü Ovası tüfunün (Üsttüf) mikroskopik görünümü. Çapraz nikol. X 150.	46
Foto 3.2	İnce kesit No:2. Salmanlı köyü tüfunün mikroskopik görünümü. Çapraz nikol. X 150.	46
Foto 3.3	İncekesit No:6. Dedeçinar köyü tüfunün mikroskopik görünümü. Çapraz nikol. X 75.	47
Foto 3.4	İnce kesit No:7 Turnatepe Perlitik tüfun mikroskopik görünümü. Paralel ışık. X 75.	47
Foto 4.1	Alpin incelik cihazı.	56
Foto 4.2	Özgül ağırlık ve blain aleti.	56
Foto 4.3	Çözünmeyen kalıntı deney düzeni.	60
Foto 4.4	X-Ray Spektrometre cihazı.	60
Foto 4.5	Perl hazırlama cihazı.	61
Foto 4.6	X-Ray Spektrometre için hazırlanan perller.	61
Foto 4.7	Otomatik harç karıştırıcı.	70
Foto 4.8	Otomatik sarsma tablası ve standart kalıplar.	70
Foto 4.9	Otomatik sarsma tablası.	71
Foto 4.10	Rutubet dolabı.	71
Foto 4.11	Eğilmede çekme cihazı.	72
Foto 4.12	Basınç mukavemeti cihazı.	72
Foto 5.1	Suda bekletilen harç numuneleri.	95
Foto 5.2	Sülfatlı suda bekletilen harç numuneleri ve pHmetre.	95
Foto 5.3	Pimli standart kalıplar.	99
Foto 5.4	Boy ölçüm aleti.	99



BÖLÜM-1

GİRİŞ

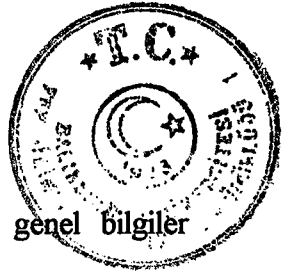
Yapı mühendisliğinin temel malzemelerinden olan çimento, yapının dayanımı ve maliyeti bakımından önemli bir yere sahiptir. İnşaat sektöründeki gelişmeye paralel olarak çimento tüketimi de artmaktadır. Çimento üreticileri açısından, üretimin minimum maliyette yapılması ve talebin karşılanması, yapımcı ve kontrollük açısından ise daha ucuz, güvenli ve dayanımı yüksek malzemelerin kullanılması istenmektedir. Ülkemizde rezerv olarak bol miktarda bulunan trasın belirli oranlarda katkı olarak kullanıldığı traslı çimento üretilmekte ve tüketilmektedir. Ancak traslı çimentolar ile ilgili olarak yapılan araştırmaların yeter düzeyde olmaması, bu malzeme ile üretilen betonların dayanımı hakkında ortaya atılan asılsız haberler, üreticileri ve tüketicileri tedirgin etmektedir.

Bu araştırmada Balıkesir İli Bigadiç İlçesi zeolitik tüfleri ve Balıkesir SET Çimento Fabrikası Turnatepe sahasından çıkarılan perlitik (camsal) tüflerin ve bunlara alternatif olarak değerlendirilebilecek bazı volkanik tüflerin, çimento katkı maddesi olarak değerlendirilebilmesi araştırılmıştır.

Bigadiç zeolitik tüfleri iki tiptir. Bunlardan birincisi Etibank Bor işletmelerinde dekapaj malzemesi olan, %98 zeolitik Üsttüf, ikincisi Balıkesir-Bigadiç yolu Dedeçinar mevkiiinden çıkarılan %65 zeolitik Alttüftür. Turnatepe sahasından çıkarılan perlitik tüfler ise, %71.4 camsı fazdadır.

Sahalardan derlenen numuneler üzerinde yapılan puzolanik aktivite testlerine göre zeolitik tüfler yüksek kaliteli puzolandır. Bu tüfler kolay öğütülebilmekte, bunlarla üretilen katkılı çimentoların eğilme ve basınç mukavemetleri standartların çok üstündedir. Fakat bu tüfler biraz fazla suya ihtiyaç göstermektedir. Turnatepe Perlitik tüfleri de kaliteli bir puzolan olmakla beraber, zor öğütülebilmekte, puzolanik aktivitesi yüksek ve fazla suya ihtiyaç göstermemektedir. Ancak, Turnatepe perlitik tüfleriyle üretilen katkılı çimentoların eğilme ve basınç mukavemetleri standartların çok az üstündedir. Her iki puzolanın da en iyi şekilde değerlendirilebilmesi için, uygun harmanlarda birlikte kullanılması gereklidir.

Çalışmada, zeolitik ve perlitik tüflerle üretilen çimentolarla hazırlanan harçların dayanıklılıkları sülfatlı ortamda portland çimentosuyla karşılaştırılmıştır.



1.1. GENEL BİLGİLER

Bu bölümde çimento, puzolan, zeolit ve dayanıklılık konularında genel bilgiler verilmiştir.

1.1.1. ÇIMENTO

Çimento sözcüğü, yontulmuş taş kırtıltısı anlamındaki Latince (*caementum*) sözcüğünden türemiştir (ERDOĞAN 1995). Çimento, inşaat teknolojisine göre yapı malzemeleri grubuna giren hidrolik bağlayıcı bir inşaat malzemesidir. Çimento ya özelliklerini kazandıran iki önemli ögeden biri hammadde bileşimi, diğer ise klinkerin ısisal işlemleridir. Klinker bileşimi esas olarak hammadde karışımının kompozisyonuna sıkı sıkıya bağlıdır. Ayrıca kulanılan yakıt cinsi ve yakıt içinde kül meydana getiren maddeler de klinker bileşimini etkileyen faktörlerdir.

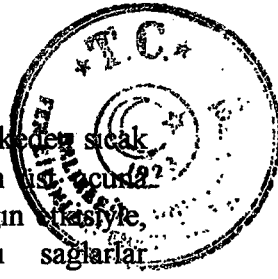
Çimento üretimi kompleks bir işlemidir ve büyük tesislere ihtiyaç göstermektedir. Çimentonun temel maddeleri kireçtaşı ve kildir. Kireç bir bazdır. Silis, alümin ve demiroksitle birleşme özelliği vardır. Kil, saf olmayan alüminyum, kalsiyum ve demir silikattır. Çimento üretiminde gaye bu maddeleri belirli oranlarda karıştırmak ve yüksek sıcaklıkta ($1400-1500^{\circ}\text{C}$) pişirmektir. Yüksek sıcaklıkta temel maddeler değişikliğe uğrar. Kireçtaşından CaO , kilden SiO_2 , Al_2O_3 , Fe_2O_3 meydana gelir. Bu maddeler yine yüksek sıcaklıkta aralarında birleşerek çimento ya bağılayıcılık özelliği kazandıran silikat ve aluminatları meydana getirirler. Çimento üretiminde hammadde olarak, klinkere %3-6 oranında alçıtaşı ($\text{CaSO}_4 \cdot 2\text{H}_2\text{O}$) katılır. Klinker ve alçıtaşı birlikte öğütülür. Alçıtaşının görevi, çimentoda donma süresini ayarlamaktır. Klinkere öğretme sırasında katkı maddesi olarak %2-3 gibi az bir oranda, kireçtaşı da katılmaktadır. Kireçtaşı klinkerden daha kolay öğütülebilir bir malzemedir. Böylece klinker daha iri, kireçtaşı taneleri daha küçük olur ve taneler arasındaki boşlukları doldurarak çimentonun mukavemetini ve işlenebilirliğini artırır, kolay yayılmasını sağlar (POSTACIOĞLU 1986).

1.1.1.1. ÇIMENTO ÜRETİMİ

Portland çimentosu klinkerinin ve buna bağlı olarak portland çimentosunun üretiminde kullanılan iki ana hammadde vardır (TAŞKIN 1985).

- 1-Kalsiyum Karbonatlı malzemeler: Kireçtaşı, mermer, marn, tebeşir, vd.
- 2-Killi malzemeler: İçerisinde önemli miktarda alüminyum ve silis bulunan kil, şeyl, marn, şist gibi.

Hammaddelerin analizi sonunda birbirine karıştırılacak kalsiyum karbonat ve kil miktarının belirlenmesi gerekmektedir. Hammaddelerin uygun oranlarda karışımını hem daha hassas yapabilmek, hem de bu maddelerin firında daha iyi ve üniform pişirilmelerini sağlayabilmek için hammaddeler pişirilmeden önce ince olarak öğütülür ve elde edilen bu malzemeye **farin** denilir. Farin ekseni etrafında yavaşça döndüğü için döner fırın adı verilen ve yaklaşık %3-4 eğimle yatay olarak yerleştirilmiş silindir şeklindeki fırnlarda $1350-1450^{\circ}\text{C}$ civarında pişirilir. Farin yaş veya kuru sistem olarak hazırlanabilmektedir. Kuru sistemde, hazırlanmış olan malzeme karışımı, genel olarak, döner fırna girmeden önce ön ısıtıcı denilen ve döner fırının üst ucuya dikey bağıntısı olan bir kulede ısıtma işlemi görmekte ve bunu takiben döner fırının üst ucuna



girmektedir. İlk önce ön ısıticilara giren malzeme karışımı döner fırını terkederek sıcak gazlar ile yaklaşık $800-900^{\circ}\text{C}$ 'ta kadar pişirildikten sonra döner fırının içine beslenmektedir. Fırın içerisinde pişirilen hammadde, uygulanan sıcaklığın etkisiyle, kimyasal olaylar sonucunda **klinker** denilen ürünün olmasını sağlarlar (KOCATAŞKIN 1978).

Pişmiş malzeme (klinker) fırının altında toplanır ve buradan soğutucuya sevk edilir. Klinkerin hızlı bir şekilde soğutulması gerekmektedir. Ani olarak soğutma yapılmazsa klinkerdeki kimyasal reaksiyonlar sıcaklığın etkisi ile devam ederek tersine gelişmeye başlar. Soğutma için, hava akımı sağlayan döner soğutucular kullanılmaktadır. Klinker fırın çıkışı $1450^{\circ}\text{C} \rightarrow$ Soğutma $1200^{\circ}\text{C} \rightarrow$ Çıkış $100-50^{\circ}\text{C}$.

Eğer üretici iyi pişmemiş (normalin altında veya fazla pişmiş) klinkerin CaO 'dini hidrate etmemişi unutmuşsa, klinkeri fırın çıkışında ıslatmamış veya öğütme esnasında su püskürtmemişse, CaO kristalleri, beton yüzeyinde kabarcık oluşmasına; eğer büyük klinker tanecikleri içerisinde büyük kristal olarak saklı ise, yapılarda geç genleşmelere neden olabilir (BARADAN 1994).

Farın yüksek sıcaklığındaki fırılara sevk edildikten sonra sıra ile şu olaylar meydana gelir:

- 1- 100°C ve daha yüksek sıcaklıklarda farinde bulunan su buharlaşır.
- 2- $500-600^{\circ}\text{C}$ civarında kilde bulunan en önemli madde kaolinitten ($2\text{SiO}_2 \text{ Al}_2\text{O}_3\text{2H}_2\text{O}$) su moleküllerinin ayrılması, ile bu madde ayrılır. Ayırışma sonunda amorf silis, amorf alümin, meydana gelir. Daha yüksek sıcaklıkta amorf alümin kristal alümine dönüşür.
- 3- Kalsiyum karbonat ile kuvars arasındaki reaksiyonlar $550-600^{\circ}\text{C}$ 'de gayet yavaş bir şeklinde başlar. Fakat 900°C 'de kalsiyum karbonatın ayrışmasından sonra bu reaksiyonlar önemli derecede hızlanır. Killi minerallerle CaCO_3 'ün birleşmesi katı durumdan şekil değiştirmesi ile oluşur. Önce kireç bakımından fakir bileşikler meydana gelir. CA ısı artışı ile değişikliğe uğrayarak kireçce zenginleşir (örneğin: C_3A). Düşük sıcaklıklarda serbest CaO görünmez. Serbest CaO; SiO_2 , Al_2O_3 , Fe_2O_3 ile birleşir. 900°C 'den sonra büyük miktarda S.CaO (Serbest Kalsiyumoksit) çıkar. CaO, CaCO_3 'tan maksimum miktarda ayrıılır. S.CaO pişme ürünler arasında asla bulunmaz. $850-950^{\circ}\text{C}$ diliminde CaCO_3 'in parçalanması sebebiyle CaO 'in özel bir reaktif durumu vardır. Çok şiddetli bir şekilde yeni mineraller oluşur.
- 4- 1200°C 'den sonra kireçle silisin birleşmesi yani silikatların oluşumu belirli bir şekilde başlar. Fırındaki sıcaklığın artması 1500°C 'ye ulaşması ile bu reaksiyonlar çok daha hızlanır. Bu arada kireçle alüminin birleşmesiyle aluminatlar meydana gelir. Genel olarak fırının başından sonuna kadar olan reaksiyonlar için 2.5 saatlik bir zaman gerekmektedir. Fırında meydana gelen reaksiyonlar kısmen katı halde bulunan elemanlar arasında olmaktadır.



Soğutucudan çıkan klinkerin boyutları 1-25 mm arasında değişen tanelerden ibarettir. Öğütülmemiş klinkerin su ile reaksiyonu ve bağlayıcılık özelliği azdır. Klinker ancak ince olarak öğütüldüğünde bağlayıcılık özelliği kazanır (POSTA İÇ İÇE İNSTITÜTÜ 1986).

Klinkere, çimentonun priz süresini düzenlemek için %3-6 oranında alçıtaşı ($\text{CaSO}_4 \cdot 2\text{H}_2\text{O}$) katılır. Alçıtaşı katılmamış çimentodaki C_3A , çimentonun çabuk donmasına ve betonun istenilen şekilde dökülmemesine neden olur. $\text{CaSO}_4 \cdot 2\text{H}_2\text{O}$ diğer geciktiriciler gibi yalnızca katkı maddesi değil çimentoyu oluşturan maddelerdir. Alüminatlarla birleşerek kalsiyum trisülfoalüminat ($\text{C}_3\text{A CaSO}_4 \cdot 3\text{H}_2\text{O}$) ve monosülfoalüminat ($\text{C}_3\text{A CaSO}_4 \cdot 12\text{H}_2\text{O}$) oluşturur. Bunlardan monosülfoalüminatin çözünebilirliği düşük olduğu için hidrolik özelliğe sahiptir. Trisülfoalüminatin oluşabilmesi için ise sıvının CaSO_4 olarak konsantrasyonu 6 mg/l'tı geçmesi gerekmektedir. Çimentoda $\text{CaSO}_4 \cdot 2\text{H}_2\text{O}$ 'dan başka sulfat kullanılmamaktadır çünkü; alçıtaşının nakliyesi kolay, diğer sulfatlardan ucuz, kolay öğütülebilir, çimento rengini değiştirmez ve çözeltiye geçme hızı çimento içerisindeki tüketimine uygun yapıdadır.

Klinker ve alçıtaşının çelik bilyali değirmenlerde 90μ ile 6.5μ arasında değişen boyutlara kadar öğütülmesi ile portland çimentosu elde edilir. Çimentoda 50μ 'dan büyük taneciklerde hidratlaşma yok denenecek kadar azdır. Bu taneler duyarsızdır. Çimentonun inceliği istenilen mukavemetleri tutacak kadar ince, çimento değirmeninin kapasitesini düşürmeyecek kadar yüksek degerde tutulmalıdır.

Öğütülen çimento silolara sevk edilir. Burada gerekli süre bekletilerek soğutulur ve kararlı bir durum alması sağlanır. Buradan 50 kg 'lık torbalar halinde paketlenerek veya dökme çimento olarak piyasaya sunulur.

1.1.1.2. ÇİMENTOLarda KARMAŞIK BİLEŞENLER

Çimentoyu oluşturan elemanların fırında birbiriyle birleşmeleri sonucunda karmaşık bileşenler meydana gelir. Bu karmaşık bileşenlerin en önemlileri silisin kireçle birleşmesi sonunda meydana gelen kalsiyum silikatlar ve alüminin yine kireçle birleşmesi ile oluşan kalsiyum alüminatlardır (ÖZALP 1990).

Klinkerin mineralojik yapısını meydana getiren 4 ana bileşen vardır. Bunlar;

		%Miktar	Ortalama
C_3S ($3\text{CaO} \cdot \text{SiO}_2$)	(Alit) (Triksiyum Silikat)	%50 - 75	%55
C_2S ($2\text{CaO} \cdot \text{SiO}_2$)	(Belit) (Diksiyum Silikat)	%7 - 30	%23
C_3A ($3\text{CaO} \cdot \text{Al}_2\text{O}_3$)	(Triksiyum Alüminat)	%0 - 16	%10
C_4AF ($4\text{CaO} \cdot \text{Al}_2\text{O}_3 \cdot \text{Fe}_2\text{O}_3$)	(Tetraksiyum Alümina Ferrit)	%4 - 20	%12

C_3S ve C_2S çimentonun dayanımına etki eden bileşenlerdir. Bunlardan C_3S çimentoya ilk dayanımı kazandırır, C_2S ise son dayanım etki eder. C_2S 'in ilk dayanımı etkisi azdır ve hidratasyon ısisı C_3S 'den daha azdır. Hidratasyon sonucu meydana gelen kalsiyum hidroksit, C_3S 'e oranla üç defa daha azdır. $\text{Ca}(\text{OH})_2$ 'nin teşekkülü iki



bakımdan önemlidir. Bu madde suda eriyebilir. Bu bakımdan yapı devamlı su-icinde bulunuyorsa, buradaki beton, $\text{Ca}(\text{OH})_2$ 'nin devamlı bir şekilde erimesi sonunda, gittikçe boşluklu bir hal alacak ve bir müddet sonra mukavemetin azalması ile parçalanacaktır. Yani $\text{Ca}(\text{OH})_2$ 'nin teşekkül etmesi çimentonun kimyasal mukavemetinin düşük olmasına neden olacaktır. Diğer sakincası $\text{Ca}(\text{OH})_2$ 'nin mekanik mukavemetinin düşük olmasına neden olmalıdır (ERDİNÇ 1996).

Yüksek bir C_3S yüzdesi ilk dayanımın yüksek olmasını ve düşük bir C_2S yüzdesi yüksek ısı yayılmasını sağlar. Bunun karşıtı ise dayanımın ağır artmasına ve düşük düzeyde ısı yayılmasına neden olur.

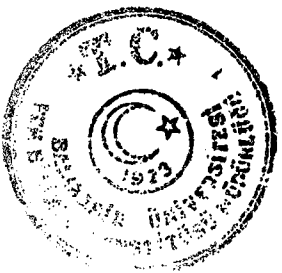
C_3A hidratasyonu en hızlı olan bileşendir. Hidratasyon ısısı çok yüksektir. C_3A aynı miktardaki diğer bileşenlerden daha fazla ısı meydana getirir. Kısa zamanda priz ve sertleşme yapar. Kimyasal etkili agresif sulara dayanıklı değildir. Sülfatlı sularda ve sülfatlı zeminlerde C_3A yüzdesi yüksek çimentoların kullanılması sakincalıdır. Sülfatlara dayanıklı özel çimento üretilmektedir. Bu çimentoda C_3A oranı max %5 ile sınırlanmıştır.

C_4AF ilk dayanıma etki eder. C_3A 'ya yakın hızda hidratasyon yapar ve hidratasyonda yüksek ısı meydana getirir.

MgO pişirme esnasında başka maddelerle birleşmez. Klinkerin hızlı soğutulması sonucunda amorf bir yapı kazanır. Bu yüzden önemli bir sakınca oluşturur. Fakat yavaş soğutmadada kristal hale geçer ve varlığı hacim artışlarına neden olur. Balıkesir ve Söke SET çimento fabrikalarında üretilen klinkerlerin mineralojik bileşimi Çizelge 1.1 'de verilmiştir.

Çizelge 1.1: Balıkesir ve Söke Çimento Fabrikalarında Üretilen Klinkerlerin Mineralojisi.

	Balıkesir		Söke	
	min. (%)	max. (%)	min. (%)	max. (%)
SM	2.10	2.30	1.74	1.86
AM	1.46	1.62	1.94	2.09
Kuhl	94.79	99.47	100.1	105.57
C_3S	42.23	62.87	56.10	69.01
C_2S	11.02	28.31	2.67	12.72
C_3A	8.22	9.70	12.61	13.57
C_4AF	10.8	11.64	10.64	11.25



1.1.1.3. FİZİKSEL ÖZELLİKLER

Hammaddelerin İnceliği:

Tane büyüğünü dağılımı (incelik) her fabrikaya göre değişik olup hammaddelerin özelliğine ve içindeki komponentlere göre değişir. Genellikle farinin inceliği 90μ (4900) elek üstü $\%12$, 200μ (900) elek üstü $\%2$ civarında olması istenir. Kaba öğütülmüş farinde $S.CaO$ miktarı yüksek olur. Yakıt tüketimi ve pişirme ıssısı farin incelidine orantılı olarak azalır. Hammadde ne kadar ince öğütülürse yüzey alanı o kadar büyür ve dolayısıyla da sinterlenir. Ancak gereğinden fazla ince öğütmek de fazla enerji kullanımını gerektireceğinden önerilmez.

Farinin Homojenliği:

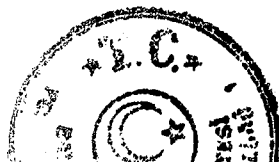
Homejenleştirme, çimento üretiminde klinker ve çimento kalitesini büyük ölçüde etkileyen en önemli aşamadır. Fırın malzemesinin iyi homojene edilmesi ana üretim birimlerinin ekonomik çalışmasını da etkiler. Fırına verilen farinin $\%CaCO_3$ cinsinden titrasyonunun $\pm\%0.22$ 'den fazla olmaması gereklidir. $CaCO_3$ miktarının $\%1$ 'lik artışı C_3S 'in $\%13$ artısına, C_2S 'in de $\%11.5$ azalmasına neden olur. Fırın homojen olmayan farinle beslendiğinde klinker kalitesi bozulacağı gibi, pişme sırasında da sorunlar ortaya çıkacaktır.

Çimento İnceliği:

Çimento ince öğütüldüğü oranda toplam yüzey alanı artar ve toplam yüzeyi ne kadar büyük olursa, fizikokimyasal aktifliği de o oranda büyük olur. Pratik olarak 50μ 'dan büyük tanecikler hemen hemen tamamen duyarsız olmaktadır ve bu taneciklerin iç kısımlarında hidratlaşma yok denecek kadar yavaş olmaktadır.

Çimentonun öğütülebilirliği mineralojik yapısına bağlıdır. İyi kaliteli klinker daha kolay öğütülebilmekte ve yüksek mukavemet vermektedir. Ayrıca çimentonun incelliğini içindeki katkı maddeleri de etkilemektedir. Traslar çok değişik yapılı olduklarından öğütülebilirlikleri de çok değişiktir. Alçıtaşı kolay öğütülmesine rağmen nemli olması halinde topaklanmaya yatkındır.

TS 19 'a göre çimento inceliği 4900 elek üstü max. $\%14$, 900 elek üstü max. $\%1$ olarak sınırlanmıştır. Özgül yüzey (blain) $2200 \text{ cm}^2/\text{g}$ kataklı çimentolarda $2600 \text{ cm}^2/\text{g}$ min. değer olarak sınırlanmıştır. Ancak kataklı çimentolarda incelik değerlerinin 4900 elek üstünde $\%0.4$ civarında tutulması mukavemet sonuçlarını olumlu yönde etkilemektedir. Çimento inceliği, çimentoda istenilen mukavemetleri verecek kadar ince, çimento dejirmeni kapasitesini düşürmeyecek kadar yüksek değerde tutulmalıdır.

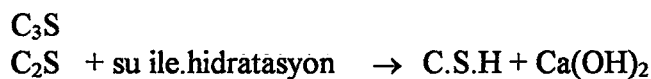


1.1.1.4. ÇİMENTO HİDRATASYONU

Portland cimentosu su ile birleşince (hidratasyon) meydana gelen reaksiyonlar şöyledir: Karışım önce hafif bir katılma gösterir. Buna donma veya priz başlangıcı denilmektedir. Bir süre sonra karışım tamamen sert bir kütle haline geçer, bu duruma priz sonu veya sertleşme denir.

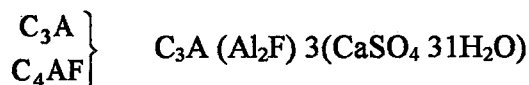
Donma ve katılma Le Chatelier 'e göre alçıda olduğu gibi bir kristalleşme ve teşekkül eden kristallerin gelişî güzel birbiri üzerinde keçelenmesi şeklinde açıklanmıştır. Bu arada bir miktarda jelatinimsi ve peltensi maddeler de oluşmaktadır (POSTACIOĞLU 1986).

Doymuşluk sonunda kristaller çökmekte, jelatinimsi kısımlar bu kristallerin etrafını sarmaktadır. Çimento ana bileşenlerinin su ile hidratasyonunda aşağıdaki reaksiyonlar gerçekleşir:

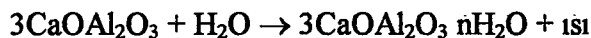


Triksiyum alüminat hidratasyon kabiliyeti en yüksek bileşendir. İlk 24 saatlik mukavemeti sağlar. Fakat su ile temasında derhal hidrate olarak hidratasyon ürünü jel C_3S ve C_2S kristallerinin etrafını sararak su ile reaksiyonu yani hidratasyonu öner. Bu durumun önlemesi için alçıtaşı ilave edilir.

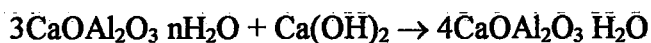
Alçıtaşı su ile derhal çözünerken C_3A ile birleşir. Etringit kristalleri oluşturur.



%3-5 arasında alçıtaşı ilavesinde C_3A 'nın tümü etringite dönüşmez geriye kalan hidroliz olur.



Triksiyum hidro alüminat, triksiyum hidrolizinden açığa çıkan serbest kireçle birleşir:

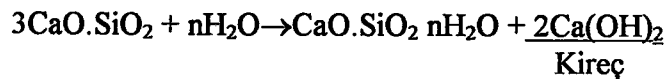


Bu şekilde C_3A , Ca(OH)_2 ile reaksiyona girdiğinden C_3S 'in hidrolisinin hızlanması neden olur.



1.1.1.5. PUZOLANLI ÇIMENTOLAR

Çimento su ile temas ettiğinde derhal hidratasyona uğrar daha basit kristalize serit bileşikler meydana getirir. Bu arada bol miktarda serbest kireç açığa çıkar. Örneğin:



Üretim aşamasında oluşan kireç yanında klinker içerisindeki serbest CaO 'ın sönmesiyle meydana gelen Ca(OH)₂ de vardır. Bunlar beton için çok tehlikelidir:

- a- Havadan CO₂ alarak CaCO₃ oluşturur ve hacim artmasından dolayı betonda zamanla çatlaklar meydana getirebilir.
- b- Suların etkisiyle (özellikle sülfatlı sular) derhal çözünür. Sürüklenir ve beton gözenekli hale gelir. Betonda hidratasyon devam ederken devamlı Ca (OH)₂ açığa çıkar.

Puzolan ilavesi ile, beton içerisinde meydana gelen zararlı serbest kireç bağlanır ve mukavemetli yeni bileşikler oluşurlar. Puzolanlar bu nedenle ve kazandırdıkları diğer üstün niteliklerle çimento katkı maddesi olarak kullanılırlar.

1.1.2. PUZOLAN

Puzolanlar kendi başlarına herhangi bir bağlayıcılık özelliğine sahip olmasalarda normal sıcaklıklarda, sulu ortamda, kireçle birleşerek bağlayıcılık özelliği kazanan, suda çözünmeyen, kararlı bileşikler oluşturan maddelerdir (MASSAZA 1989).

Puzolan terimi genel bir ifade olmakla beraber puzolanlar, bulundukları ülkelere göre özel adlar almıştır. Almanya' da puzolanik özelliklere sahip taşlar ilk kez Ren nehri vadisinde bulunmuştur ve "Tras" adı ile anılmıştır. Puzolanik özelliği iyi, bir başka önemli puzolan ise Santorin toprağıdır. Bu puzolan da Yunanistan'ın Santorin adasında bulunur. Ülkemizde bu tip volkanik tuf karakterli puzolanlara tras denilmektedir. Fakat son yıllarda traslı ve katkılı çimentolara verilen önemin artmasıyla puzolan ismi de gerçek anlamına kavuşmuştur. Ülkemizde İç Anadolu, İç Ege, Marmara, Karadeniz, Akdeniz Bölgelerinde bol miktarda tras kaynakları bulunmaktadır. Türkiye jeoloji haritasında 155 000 km² alanı kaplayan volkanik kayaç oluşumlarının varlığı görülmektedir. Bu alan Türkiye yüz ölçümünün hemen hemen 1/5 'i kadardır. Bu değerlere göre ülkemiz tras hammaddesi bakımından oldukça zengindir. Diğer taraftan traslı çimento maliyetinin de daha düşük olduğu bilinmektedir. 1985-1990 yılları arasında üretilen çimentoların %14.6 'lık kısmı traslı çimento iken bu oran 1992-1994 yılları için %36.31 'e çıkmıştır.

TS 25 'e göre "tras; silisli ve alümino silisli volkanik bir tuf olup yalnız başına bulunduğu zaman hidrolik özellik göstermediği halde çok ince öğütüldüğünde sulu ortamda ve kalsiyum hidroksitle birlikte normal sıcaklıkta kimyasal reaksiyona girerek hidrolik özellik gösteren doğal puzolanik bir maddedir."



19. yüzyılın sonlarında portland çimentosunun keşfedilmesiyle puzolanik çimentonun pratik kullanımında azalma görülmüştür. Ülkemizde 1950 yıldan sonra portland çimentosu ile puzolanik madde kombinasyonlarının kullanıldığı beton ve harçların bağlayıcılık özelliklerinde etkili yararlar görülerek puzolanlar, çimento malzemesi olarak kabul edilmiştir (TAŞKIN 1985).

1.1.2.1. PUZOLANLARIN SINIFLANDIRILMASI

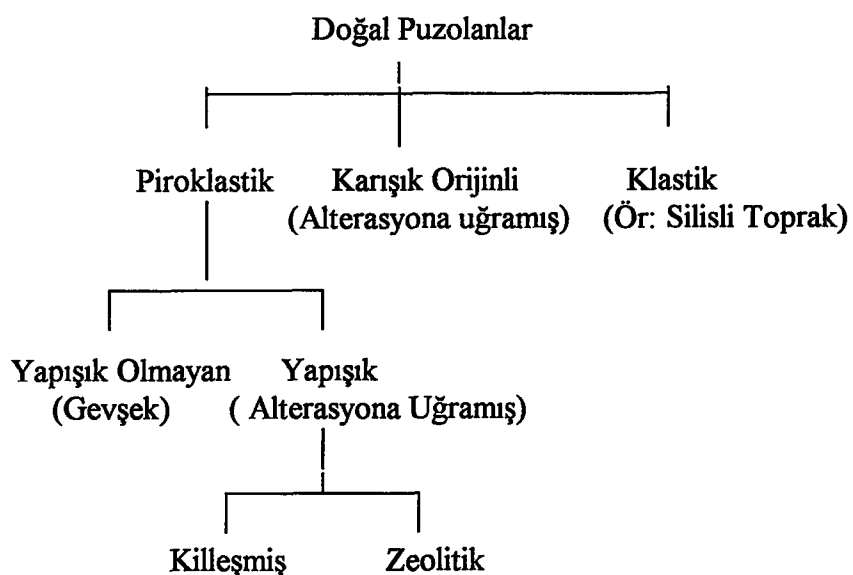
Puzolanlar oluşum şekillerine göre doğal ve yapay olmak üzere ikiye ayrılır. Doğal ya da yapay bütün puzolanlar, reaksiyon kapasiteleri açısından üç bileşenden meydana gelirler (MASSAZA 1989):

- Aktif tertip maddeleri: Az ya da çok değişmiş cam fazları, opal, silisli toprak, zeolitler.
- Atil bileşenler: Zeolitlerden farklılık gösteren kristal fazları (augit, piroksen ve saf çini).
- Zararlı (istenmeyen) bileşenler: Organik maddeler, kalay ve karbon maddeleri.

1 - DOĞAL PUZOLANLAR

Doğal puzolanlar, doğada volkanik kütelerin bulunduğu yerlerde görülür. Her puzolanın kimyasal yapısı, aktivitesi, bulunduğu bölgeye göre değişir. Doğal puzolanlara örnek olarak volkanik tüfler, tras, diyatome toprağı, pomza taşı verilebilir. Doğal puzolanlar çoğunlukla genç volkanizma ürünüdür. Çizelge 1.2 'de doğal puzolanların çeşitleri yer almıştır.

Çizelge 1.2 : Doğal Puzolanlar (MASSAZA 1989).





Doğal puzolanların çoğu piroklastik kayalardır. Piroklastik kayalar volkanik patlama sırasında volkan bacasından havaya fırlatılır. Havaya fırlatılan volkanik parçacıklar zamanla yatak oluştururlar. Piroklastik kayalar oluşumları sırasında koşulların bir sonucu olarak iki önemli karakteristik özelliğe sahiptir:

- a- Maddelerin hızlı soğumasına bağlı olarak fişkırmaya sürecinde oluşan sıvı kristalleşmez ve volkanik cam olarak katılır.
- b-Yeryüzüne yaklaştığında basınç azalır ve gazların (genellikle H_2O) serbest kalmasına neden olur.

Böşluklu ve kabarcıklı bir yapı meydana gelir. Bu yapı ya olduğu gibi kalır veya serbest kalan gazların patlayıcı etkisiyle az çok bozularak kavisli ve iğnemsi bir yapı oluşur. Her iki durumda da özgül yüzey büyktür. Fişkıran madde katılma sürecinde camsı bir yapı kazanmaya başlar. Fakat, sadece camsı fazdan oluşan piroklastik kaya yoktur. Bunun sebepleri aşağıdadır:

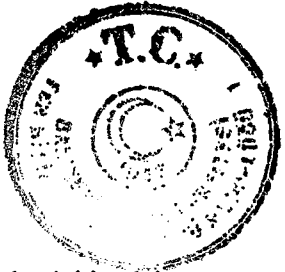
- a- Fişkıran parçacıklar az ya da çok miktarda (%1-60) fenokristaller şeklinde kristalize madde içerirler. Piroklastik kayalarda feldspat, kuvars, biotit, magnetit, hornblend ve ojit en fazla bulunan fenokristallerdir.
- b-Vulkanik camsı fazın kimyasal kararsızlığından dolayı, mevcut olan mineraller alterasyona uğrar ve yeni mineraller oluşur. Bu dönüşümün sonucu olarak feldspat ve kristobalit mineralleri meydana gelir. Feldspat ve tridimit önceden oluşan camsı yapının yüzeyindeki gaz fazlarının etkisiyle büyütülebilir. Hava koşullarının kimyasal ve fiziksel değişikliklerin etkisi, zeolitlerin ve kil minerallerinin oluşumuna neden olur. Bu minerallerin en sık görülenleri:
 - Buhar fazında ve /veya devitrifikasyonla meydana gelen mineraller; feldspat, kristobalit, tridimitdir.
 - Bozunma ve diajenezle meydana gelen mineraller; (kil ve zeolit) (LECKEBUSH 1984).

2 - YAPAY PUZOLANLAR

Yapay puzolanlar sanayii üretim atığıdır. Yapılarında, doğal puzolanlardaki oksit bileşenler (SiO_2 , Al_2O_3 , Fe_2O_3 , CaO , MgO) içermelerinden dolayı puzolan ve üretimdeki reaksiyonlar sonunda oluşturukları için de yapay sıfatı verilerek yapay puzolan denilmiştir. Atıktaki silisin aktifliği, puzolanın aktifliğini belirler. Yapay puzolanlar, yüksek fırın curufu, uçucu kül, silis dumanı ve pirinç kabuğu külüdür.

Yüksek Fırın Curufu:

Demir çelik endüstrisinde; yüksek fırında, demir filizi, ergitici ($CaCO_3$), kok ile yüksek sıcaklıkta bir dizi reaksiyon sonucu font üretilir. Font üretimi sırasında curuf atık olarak ortaya çıkar. Fırının altından alınan curuf, ani olarak su ile soğutularak granüle halde elde edilir. Curufun puzolanik özellikleri yavaş veya ani soğumaya ve filize göre değişir.



Uçucu Kül:

Termik santrallerde kömürün yanması sonucu oluşan kül, bacalardaki elektron filtrelerde veya torbalı filtrelerde tutulur. Filtrelerde gazla katı madde birbirinden ayrılır. Tutulan katı malzemeye uçucu kül denir, çok incedir. Küldeki CaO miktarının düşük veya yüksek olmasına göre puzolanik özellik değişir.

Silis Dumanı:

Silis dumanı, elektrik ark fırınlarında ferrosilikon ve metalik silisyum üretimi sırasında kömürle kuvars indirgenmesi sonucu yan ürün olarak elde edilir.

Pirinç Kabuğu Külü:

Çeltik üretimi sonunda elde edilen zirai ürün atığı kabukların yakılmasıyla elde edilen külün hızlı bir şekilde soğutulmasıyla elde edilir.

1.1.2.2. PUZOLANİK AKTİVİTE

Puzolanik aktivite; birtakım maddelerde var olan kalsiyum hidroksitile (Ca(OH)_2) sulu ortamda reaksiyona girme ve sertleşme kapasitesidir. Gerçek puzolanik aktiviteden söz edebilmek için bu iki ögenin aynı zamanda oluşması gerekmektedir.

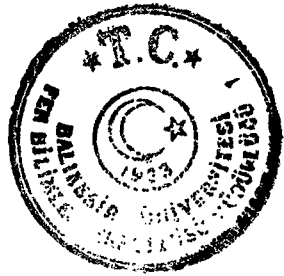
Yüksek aktiviteye sahip puzolanların aşağıdaki özelliklere sahip olduğu ampirik olarak belirlenmiştir:

- Yüksek SiO_2 , Al_2O_3 , Fe_2O_3 , ve alkali miktarı.
- Yüksek camsı faz miktarı.
- Büyük özgül yüzey.

Bir malzemenin puzolanlığının kanıtlanabilmesi için puzolanik aktivite deneyinde olumlu sonuç vermesi gerekmektedir. Bu deneyler doğal ve yapay puzolanlarda mekanik ve kimyasal deneyler şeklindedir. Mekanik deneyler puzolan-kireç, puzolan çimento harçları üzerinde yapılan eğilme ve basınç dayanımı deneyleridir. Kimyasal deneyler ise puzolanlı çimentonun su ile yaptığı hidratasyon sonunda çözeltide oluşan Ca(OH)_2 'i saptamaya dayanır. Ayrıca puzolanların reaktivitesi spektrofotometrik ve kalorimetrik yöntemlerle de saptanabilir.

İyi bir puzolan genel olarak açık renklidir. Konsolidé ve homojen bir yapıya sahip ve orta yoğunlukta ($2.00-2.30 \text{ g/cm}^3$)dır. TS 25 'de puzolan-kireç reaksiyonu sonunda;

Eğilme Dayanımı 10 kg/cm^2 ,
Basınç Dayanımı 40kg/cm^2 'den az olmamalıdır.



Kimyasal bileşimi:

Yüksek SiO ₂ + Al ₂ O ₃ miktarı	%80 civarında
Yüksek Na ₂ O + K ₂ O miktarı	%5 civarında
Yüksek çözünmeyen kalıntı	%80 civarında
Kızdırma kaybı	max.%8 civarında
Düşük miktarda MgO + Fe ₂ O ₃	%8 geçmemeli
Fe ₂ O ₃	max.%6

Mineralojik bileşimi:

Camsı faz miktarı yüksek (%8 ve daha fazla) alkali feldspat (ortoklas, sanidin, albit, oligoklas) miktarı yüksek, kil mineralleri (montmorillonit, kaolinit, halosit) düşük miktarda olmalıdır. Çizelge 1.3 'de TS 25 'e göre traslarda aranması gereken kimyasal özellikler verilmiştir.

Çizelge 1.3 : TS 25 'e Göre Trasda Aranması Gereken Özellikler.

SiO ₂ + Al ₂ O ₃ + Fe ₂ O ₃	En az	%70
MgO	En çok	%5
SO ₃	En çok	%3
Rutubet	En çok	%10

1.1.2.3. PUZOLAN KATKILARIN BETON ÖZELLİKLERİNE ETKİLERİ

Puzolanlar beton içinde çimento ağırlığının değişik oranlarında kullanılır. Bu oran (PRINCE 1975) tarafından %15 'den %40 'a kadar önerilmektedir. Kaliteli puzolanlar optimum ölçülerde kullanıldıklarında betonda;

- İslenebilirliği iyileştirirler
- Sülfat etkisine karşı direnci artırrılar (1 kg CaO, 1.07 kg SiO₂ bağları (CaSiO₂))
- Hidratasyon ısısını düşürürler.
- Alkali-agrega reaksiyonunun zararlı etkisini azaltırlar.
- Isıl büzülmeyi azaltırlar
- Maliyeti düşürürler.

Puzolanlar fazla kullanıldıkları zaman zararlı da olabilirler;

- Su ihtiyacını artırrılar.
- Donma ve çözülmeye karşı direnci düşürürler.
- Sertleşme ve dayanım kazanma hızını azaltırlar.
- Kuruma büzülmesini artırrılar.



Puzolanların bileşimindeki amorf silis, kireç ile birleşerek kristal hale gelir. Bu olay puzolanları kendi kimyasal özellikleri ile aynı olan diğer maddelerden ayırmaktadır. Massaza'ya göre puzolanla kireç arasındaki reaksiyonda hidrate kalsiyum silikat ve alüminatlar teşekkül eder. Bu teoriye göre mukavemetin artışı, dayanıklı olmayan kalsiyum bileşikleri yerine teşekkül eden inert jellerin teşekkülündendir. Yavaş ve devamlı bir şekilde oluşan birleşme ile puzolanlı çimentolar portland çimentosuna göre betona şu üstünlükleri kazandırır:

1- Kimyasal etkilere dayanıklılık

Puzolanlar portland çimentosunda S.CaO ile stabil şekilde bağlandıklarından, sudaki serbest CO_2 'nun tesiri ile kireç çözünerek beton bünyesinden ayrılamaz. Bu yüzden deniz inşaatlarında bilhassa puzolanlı çimentolar tercih edilir.

2- Beton son mukavemetinde artış

Puzolanlı çimentolarla yapılan betonlarda mukavemet ilk zamanlarda portland çimentosu ile yapılan betondan az olmaktadır. Bu durum puzolanların hidrasyon reaksiyon hızının daha düşük olmasından ileri gelmektedir. Fakat 90 gün sonunda puzolanlı betonlar daha büyük mukavemet verirler ve bu bir yıl sonra devam eder.

3- Hidrasyon ısısı düşüklüğü

Hidrasyon ısısı düşüklüğünden kütle betonlarında, bilhassa baraj inşaatlarında ısısı düşürmek için bile puzolanlı cimento üretimi yapılabilir.

4- Geçirimsizlik sağlanması

Puzolanlar genellikle $2.3\text{-}2.6 \text{ g/cm}^3$ özgül ağırlığa sahiptirler. Bu yüzden mutlak katı hacimleri aynı hacimdeki portland çimentosuna nazaran %15-25 daha büyütür. Bu bakımdan herbir puzolan tanesi ve çimentonun meydana getireceği silikat jel miktarı daha fazla olması nedeniyle permeabilite de düşüktür. Permeabilitenin daha az olmasından dolayı donmaya karşı daha dayanıklıdır ve betonarme demirini korozyondan korur.

5- Alkali-agrega reaktivitesini azaltır

Çimento içinde bulunan Na, K oksitleri, agrega içinde bulunan aktif silisle reaksiyona girerek alkali silikat jelleri meydana getirirler. Sertleşmiş beton içinde meydana gelen bu jeller fazla su absorbe ettiği için betonun şişmesine ve yer yer çatlamasına neden olur. Puzolan buna engel olur.

6- Sıcaklığa mukavemet yükselişi

Eğer portland çimentosunda betonun sıcaklıkla piriz yapması gerekirse son mukavemetler düşer. Oysa puzolan çimentolu betonlarda, sıcaklıkla hem puzolanın aktivite artmakta hem de son mukavemetler yükselmektedir. Bu yüzden buhar kürü ile beton elde edilirken mutlaka puzolanlı çimentolar kullanılmalıdır.



- 7- Puzolanlı çimentolar portland çimentosu ile aynı rötreyi (büzülme) gösterirler.
- 8- Puzolanlı çimentolar şişme yapmazlar. Çünkü çimento ile stabil bileşikler meydana getirirler.
- 9- Çimento maliyetini düşürürler.

Bu üstünlüklerle nazaran bazı sakıncalı tarafları da vardır:

- 1- Puzolanlı çimento ile üretilen betonların daha uzun süre ve daha iyi koşullar altında korunması gerekmektedir.
- 2- Hidratasyon ısısının daha az olmasından dolayı puzolanlı çimentolarla üretilen betonların soğuk havalarda kullanılması sakınca oluşturur.

1.1.2.4. TRASLI ÇIMENTO (TC 32.5)

TS 26 (Nisan, 1992) ya göre trashlı çimento; kütlece 20-40 kısım tras, 80-60 kısım portland çimentosu klinkerinin bir miktar alçıtaşı ($\text{CaSO}_4 \cdot 2\text{H}_2\text{O}$) ile birlikte öğütülmesi sonucu elde edilen hidrolik bağlayıcıdır.

Trashlı çimentonun kimyasal özellikleri Çizelge 1.4 'de verilen değerlere uygun olmalı ve basınç mukavemeti değerleri ise Çizelge 1.5 'de verilen değerlere az olmamalıdır.

Çizelge 1.4 : Trashlı Çimentonun Kimyasal Özellikleri (TS 26).

Bileşenler	En çok (%)
Kükürt trioksit (SO_3)	3.5
Magnezyum oksit (MgO)	5
Kızdırma kaybı	5

Çizelge 1.5 : Trashlı Çimento Basınç Mukavemeti Değerleri (TS 26).

Basınç Mukavemeti Değerleri (Min.) (N/mm^2)		
2. Gün	7. Gün	28. Gün
10	21	32.5



1.1.2.5. KATKILI ÇIMENTO (KC 32.5)

TS 10156 (Nisan, 1992) 'ya göre "katkılı çimento; kütlece en çok 19 kısım puzolanik madde ile karşılıklı olarak en az 81 kısım portland çimento klinkerinin, bir miktar alçıtaşı ($\text{CaSO}_4 \cdot 2\text{H}_2\text{O}$) ile birlikte öğütülmüşeyle elde edilen hidrolik bağlayıcıdır."

Katkılı cimentonun kimyasal özellikleri Çizelge 1.6 'da verilen değerlere uygun olmalı ve basınç mukavemeti değerleri Çizelge 1.7 'de verilen değerlerden az olmamalıdır. Çizelge 1.8 'de de bazı çimento standartları verilmiştir.

Çizelge 1.6 : Katkılı Çimento Kimyasal Özellikleri (TS 10156).

Bileşenler	%En çok
Kükürt trioksit (SO_3)	3.5
Magnezyum oksit (MgO)	5
Kızdırma kaybı	4
Çözünmeyen kalıntı	15

Çizelge 1.7 : Katkılı Çimento Basınç Mukavemeti Değerleri (TS 10156).

Basınç Mukavemeti Değerleri (Min.) (N/mm^2)		
2. Gün	7. Gün	28. Gün
10	21	32.5

1.1.3. ZEOLİT

Zeolit kelime olarak "kaynayan taş" anlamındadır. Isıtıldığında patlayarak dağılması nedeniyle bu isim verilmiştir.

Zeolitler alkali ve toprak alkali metallerin sulu alümina silikatları olarak tanımlanmaktadır. Mineral türü olarak 1750 'lerden bu yana bilinmekle beraber, kristal yapıları difarktometre ve elektron mikroskopu yöntemlerinin geliştirilmesi ile 1930 'larda çözümlenebilmiştir. İskelet yapılarındaki, Si/Al oranlarındaki ve içerdikleri katyon cinsi ve miktarlarındaki bazı farklılıklara rağmen;

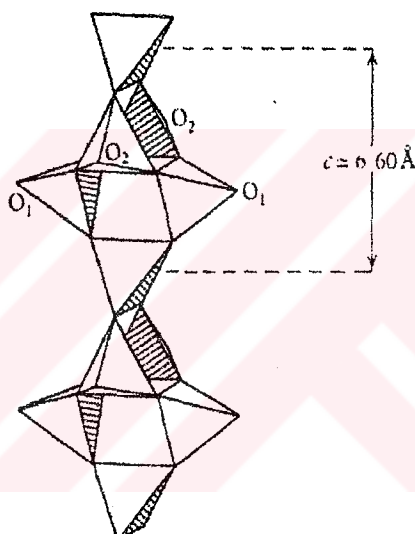


genel formülü ile ifade edilebilirler. Burada M^+ bir alkali katyon olup genellikle Na^+ veya K^+ nadiren Li^+ olur. M^{+2} ise toprak alkali katyondur ve genellikle Mg^{+2} , Ca^{+2} , Fe^{+2} nadiren Ba^{+2} , Sr^{+2} olur (DEER et al 1966).



Birçok zeolitin temel kristal yapısı SiO_4 ve AlO_4 dört yüzeylilerin değişik bağlanma şekillerinden meydana gelmiştir. Bu bağlanma şekilleri zeolitlerin kanal özelliklerini belirler. Kanallar bir, iki veya üç yönde birbirleriyle ilişkili olarak oluştururlar. Dört veya altı çok yüzeylinin birleşmesinden oluşan tek veya çift sıralı halkalar oluşturularak bağlanarak kübik veya hekzagonal yapıyı oluştururlar (Şekil 1.3).

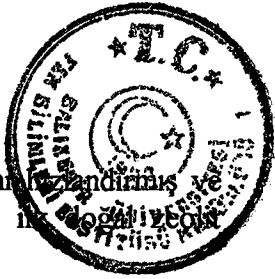
Zeolitlerin en önemli özelliklerinden biri de yapı içindeki kanallarda su moleküllerinin bulunmasıdır. Zeolitler ısıtıldıklarında ($100\text{-}350^\circ\text{C}$) su molekülleri yapıda değişiklik yapmadan sürekli bir şekilde yapıdan ayrırlar. Suyun yapıdan uzaklaşması sırasında katyonlardan bazılarında dışarı atılırlar. Bu durum kanallardaki tikanıklıkların giderilmesini sağlar. Boşluklarda bulunan alkali ve toprak alkali element iyonları, başka iyonlar içeren çözeltilerle temas etmeleri durumunda değişmektedirler. Bu da hem kanal genişliğinin büyümESİSine hemde zeolitin aktifleşmesine yol açmaktadır (DEER 1988).



Şekil 1.1: Natrolit Grubu Zeolitlerin Kristal Yapısını Oluşturan Dörtyüzeylilerin Zincir Bağlantısı, (DEER et al 1966).

Zeolitlerin yapısına ve bileşimine bağlı olarak çeşitli çaplarda kanallardan oluşan gözenekli bir yapı ortaya çıkmaktadır. Bu gözeneklerin hacmi (boşluk miktarı) toplam hacminin %20-50'si arasındadır. Zeolit minerallerinin en önemli özelliği bu boşluklar ve bu boşluklara kolayca girebilen ve yer değiştirebilen sıvı ve gaz molekülleri ile toprak alkali iyonlarından ileri gelen "moleküler elek" olmalarıdır.

Bu gün yaklaşık 40 adet doğal zeolit minerali bilinmekle beraber bunlardan sadece 7 tanesinin mordenit, klinoptilolit, şabazit, eriyonit, fillipsit, analsim ve ferrieritin endüstriye uygulama alanları ve ticari potansiyelleri bilinmektedir (VAUGHAN 1980). Ancak endüstriyel kullanımı önemli olan zeolit minerallerinin doğada volkanik kayaçların boşluk ve çatlaklarındaki miktarının yetersiz olması yapay zeolit üretme olanaklarını araştırmaya itmiştir. 1948 yılında doğal zeolitlerden çok daha iyi özelliklere sahip yapay zeolit kristali LindaA üretilmiştir. Bugün 150'den fazla yapay zeolit minerali mevcuttur. Yapay zeolitlerin üretim maliyetlerinin pahalı olması, büyük



miktarda üretim yapılabilecek doğal zeolitleri arama çalışmalarını başlattı ve 1958 yılında ticari olarak kullanılabilecek tortul kayaçlar içindeki doğal zeolitlerin yatakları bulunmuştur.

Tortul kayalardaki zeolitlerin çoğu, tortulların gömülmesinden sonra, alümina silikatların gözenek suyu ile tepkimesi sonucu oluşurlar. Volkanik camların çoğu zeolitlerin oluşmasına en uygun alümina silikatlardır. Bunun dışında kil mineralleri, feldispatlar, feldispatoitler ve Al-Si jelleri de uygun koşullarda zeolitlere dönüşebilirler.

1.1.3.1. ZEOLİTLERİN KULLANIM ALANLARI

Zeolitlerin endüstriyel alanlarda kullanılabilirliği 1940 'lı yıllarda ortaya konulmasına rağmen tali mineral olarak volkanik kayaçların boşluk ve çatlaklarında bulunduğunun bilinmesi kullanımını sınırlamıştır. Ancak 1950 'li yillardan sonra denizel ve gölsel tüflerin de zeolit içerdiklerinin saptanmasıyla, doğal zeolitlerin kullanım alanları hızla genişlemiştir.

Zeolitlerin başlıca fizikal ve kimyasal özellikleri olan; iyon değişikliği yapabilme adsorbsiyon ve buna bağlı moleküller elek yapısı, silis içeriği ayrıca tortul zeolitlerde açık renkli olma, hafiflik, küçük kristallerin gözenek yapısı zeolitlerin çok çeşitli endüstriyel alanlarda kullanımlarına neden olmuştur.

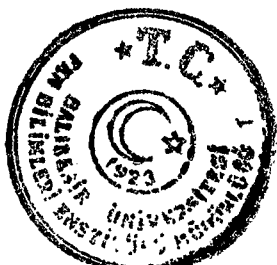
İnşaat sektöründe kullanımı:

Puzolanlı çimento ve beton: Zeolitik tuf yatakları birçok ülkede puzolanik hammadde olarak kullanılmaktadır. Zeolitli puzolanlar, son beton ürününün daima yeraltı su korozyonuna maruz kalacağı hidrolik çimentolarda önemli uygulamalar bulunmaktadır. Zeolitlerin sulu altyapılarda kullanılacak puzolan çimento üretiminde kullanılması, yüksek silis içermeleri nedeniyle betonun katlaşma sürecinde açığa çıkan kirecin nötrleşmesini sağlayabilmektedir (MUMPTON 1973).

Hafif yapı malzemesi yapımında: Perlit ve diğer benzeri volkanik camlarda olduğu gibi doğal zeolitlerde genleşmeye (özellikle klinoptilolit) uygundur. Bununla birlikte, genleşme için gerekli sıcaklık ($1200-1400^{\circ}\text{C}$) perlite göre (760°C) daha yüksektir. Genleştirilmiş zeolitler ısı ve ses yalitimında, hafif yapı malzemelerinin yapımında kullanılmaktadır.

Diğer sektörlerde kullanımı:

Atık suların, baca gazlarının, petrol sızıntılarının temizlenmesinde. Oksijen, petrol ürünleri ve elektrik üretiminde. Tarımsal mücadelede. Kağıt endüstrisi, sağlık ve deterjan sektörü olmak üzere daha birçok alanda kullanılmaktadır.



1.1.4. DAYANIKLILIK (DURABİLİTE)

Dayanıklılık sadece çimento için geçerli bir terim olarak düşünülmekle birlikte, betonun tümü ve çimento da dahil olmak üzere betondaki bileşiklerin herbiri için geçerli olan bir terimdir.

Dayanıklılık en genel anlamda, maddenin, çeşitli koşullar ve önlemlerle belirlenmiş kullanma süresi şartları altında, elverişli özelliklerini ve performansını sürdürme kabiliyeti olarak nitelendirilmektedir (CARRETE 1989). Daha spesifik anlamda ise, dayanıklılık çimento ve betonun hem iç hem dış fiziksel, fiziko-kimyasal ya da kimyasal etkilere karşı direnç göstermesidir.

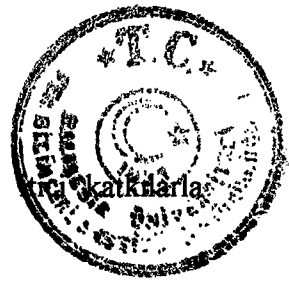
Beton veya harç üzerinde dayanıklılığı belirlemek için eskitme süreçleri uygulanır. Eskirome süreçleri; betonun geçirimsizliği, kimyasal etkilere karşı direnci, taze ve sertleşmiş betonda don etkisi, betonun termik, elektriksel özelliklerini, bunların zaman içinde değişimi anlaşıılır. Yapılan bu deneylerden sonra beton veya harçta hasar düzeyini saptamak amacıyla hasar tesbit deneyleri yapılır. Hasar tesbit deneyleri fiziksel (ağırlık, boy değişimi, kılcallık, geçirimsizlik, porozite, özgül ağırlik, birim ağırlık deneyleri), kimyasal (X-Ray difraktometre, kimyasal analiz deneyleri) ve mekanik (eğilme, basınç dayanımı, elastiklik modülü) deneyler şeklindedir.

Betonun dayanıklılığı, iç ve dış etkilerden belli süre içinde en az şekilde etkilenmesi olarak düşünülebilir. Betonun dayanıklılığında ana faktör bağlayıcı madde çimentonun mukavemetidir. Çimentonun mukavemetine dolayısıyla betona fiziksel, kimyasal, fiziko kimyasal etkileri içeren dış ortam etki eder. Betonun dayanıklılığına etki eden iç ve dış etkenler birbirleri ile de ilgilidir.

Betonun içindeki agrega ve suyun; çimentonun hidratasyonu sırasında ve/veya sonunda oluşan ürünlerde yaptığı hasar iç etkilerle oluşur. Bu tür hasar, çimento, agrega, su özelliklerine göre şiddetli veya zayıf olur. Çimentonun hidratasyon ürünlerinin çözünürlüğü, çimentonun yapısı, bileşenleri, korozyona neden olabilir. Bu nedenle çimentodaki bileşikler, alkaliler, S.CaO , MgO , SO_3 , kızdırma kaybı çimentonun cinsine göre standartlarda sınırlandırılmıştır.

Dış etkiler, sertleşmiş betonun, dış ortam nedeniyle fiziksel, kimyasal etkenlerle hasar görmesidir. Fiziksel etkenler, iklim nedeniyle donma-çözülme, ıslanma-kuruma, kum fırtınaları, trafik araçlarının yaptığı aşınmalar olabilir. Kimyasal etkenler, korozyona neden olan dış ortam (kimyasal bileşikler) olabilir. Kimyasal bileşikler katı, sıvı ve gaz şeklinde bulunabilir. Kimyasal etkenlerin en çok rastlanan şekli çözelti ortamında olur.

Betonda iç ve dış etkiler nedeniyle çeşitli şekil ve büyüklüklerde boşluklar oluşur. Betonun dayanıklılığında en önemli nokta, bu boşluklar nedeniyle oluşan geçirimsizluktur. Dayanıklılığın iyi olabilmesi için beton dış ortamındaki sıvılara ve buhar akımına karşı geçirimsiz olmalıdır. Boşluklu malzemelerde sıvı, doymuş akım (geçirimsizlik), doymamış akım (kılcallık), buhar akımı şeklinde hareket eder. Betonda geçirimsizlik ve kılcal su emme olayını önlemek mümkündür. Geçirimsizlik, büyük



alanı olan puzolanları çimentoya katmakla, kılcal geçirimsizlik su sağlanması sağlanabilir.

1.1.4.1. SÜLFAT ETKİSİ

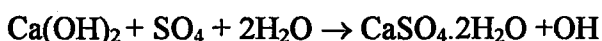
Sertleşmiş betona kimyasal açıdan zararlı olabilen dış etkiler, su, zemin ve gaz ortamlarında gelişebilir. Bileşiminde; amonyum tuzları, bazı magnezyum tuzları, bazı organik bileşikler bulunan su ve zeminler beton üzerinde zararlı etkiler yaparlar. Ayrıca, sertlik dereceleri düşük suların beton üzerinde olumsuz etkileri vardır. İçinde kükürtlü hidrojen (H_2S) ve kükürt dioksit (SO_2) bulunan gazlar, nemle birlikte bulunmaları halinde betona zarar verebilirler.

Bu zararlı maddelerin içinde en etkin olanları sülfatlı bileşiklerdir. Çünkü sülfatlı bileşiklere doğada çok sık rastlanır. Toprakta %0.01-0.05 hatta %5 oranında bile bulunabilirler. Sülfat az veya çok tüm sularda, temel sularda, akarsular, deniz suyunda veya kimya endüstrisinde ürün ve atık şeklinde, Na^+ , K^+ , Ca^{++} , Mg^{++} gibi alkali ve toprak alkalilerin tuzları, NH_4^+ tuzu bileşimindedir. Ayrıca fabrika baca gazında oluşan SO_2 'nin atmosferdeki su ile yaptığı asit yağmuru da sülfat asidi şeklindedir.

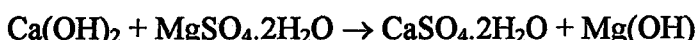
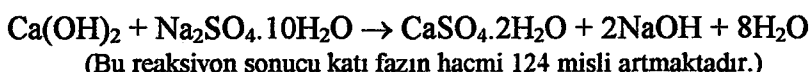
Sülfatlar yüksek ıslatma gücü ile betona hızla nüfuz ederek, çimento içindeki alüminatlarla birleşerek "estringit" adı verilen hacmi çok büyüyen kristaller oluşturur. Büyüyen kristallerin genişleyici etkisi betonun çekme dayanımını aşip, betonu çatlatıp, o bölgede kırılgan hale getirir. Beton zamanla ufalanıp dağıılır. Bu olayın en bariz izleri yüzeyde beyaz tuz birimleridir.

Katı kuru haldeki sülfat tuzlarının betona herhangi bir zararı yoktur. Eriyik halinde ise çimento harcı ile reaksiyona girerek zarar verirler. Bazı killi topraklar alkali, magnezyum ve kalsiyum sülfat içerirler. Bu tip topraklarda yeraltı suyunun varlığı zararlı etkiye ortaya çıkarır. Çimento üzerindeki zararlı etki, sülfatin $Ca(OH)_2$ (CH) ve $3CaO.Al_2O_3$ (C_3A) ile reaksiyona girmesi ile oluşur. Bu reaksiyonların ürünleri, hacmi çok genişleyen alçı ve kalsiyum sülfoalüminattır. Bu genişlemenin şiddetli etkisi sonucu beton parçalanıp, dağıılır.

Sülfatlı çözeltilerde ortamdaki sülfat iyonları çimentonun hidratasyon ürünü $Ca(OH)_2$ ile birleşerek $CaSO_4.2H_2O$ oluşturur.

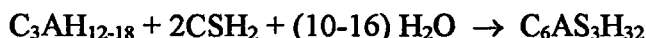


Bu reaksiyon Na_2SO_4 'lu ortamda ise $NaOH$, $MgSO_4$ 'lu ortamda ise $Mg(OH)_2$ meydana gelir (MASSAZA 1989).





Reaksiyon sonunda oluşan $\text{CaSO}_4 \cdot 2\text{H}_2\text{O}$ çimentodaki C_3A hidratasyon ürünlerini C_3AH_6 , C_3AH_{13} , $\text{C}_4\text{ASH}_{12-18}$ ile birleşerek candlot tuzuna dönüsür. Candlot tuzu doğal mineral olan estringite çok benzer ve 30~32 molekül su bağlaması nedeniyle harç veya betonda hacim artısına neden olur.



Sülfata bağlı olan magnezi, kireçten daha zayıf bir baz olduğundan magnezyum sülfat, sodyum sülfattan daha tehlikeli bir tuzdur. Bundan dolayı kireç, magnezyum sülfatta magnezini yerine kolayca geçebilir. Yani sülfat kökü ile birleşerek kalsiyum sülfat yapar ve magnezi jelatin halinde çöker. Ayrıca magnezyum sülfat çimentoda C_3S 'in hidratasyon ürünü CSH ile reaksiyona girerek MSH oluşturur. Sodyum sülfat ise C_3A 'nın hidratasyon ürünü ile reaksiyon yapmaktadır.

Portland çimentosundaki C_3S , C_2S hidratasyon reaksiyonu sonunda genel bir ifade ile gösterilen CSH (kalsiyum silikat hidrat) ve CH (kalsiyum hidroksit) oluşur. Çimentoya katılan puzolandaki aktif silis ise bu CH ile birleşerek CSH 'a dönüsür. Puzolanın yaptığı bu reaksiyona puzolanik reaksiyon denir. Reaksiyon portland çimentosunda hızlı, puzolanlı portland çimentosunda yavaş olur:



Yukarıda her iki reaksiyonda da CSH oluşmaktadır. Puzolanik reaksiyon sonunda oluşan CSH portland çimentosunun CSH 'ından daha küçük özgül ağırlığa sahiptir ve puzolanın CSH 'ı kimyasal ortamda mekanik ve kimyasal özellikler açısından diğerine göre daha dayanıklıdır (COHEN 1988).

Puzolanların sülfat etkisine karşı niçin dayanıklı olduğu hala tartışma konusudur. Massaza, puzolanın sülfatlı ortamda daha dayanıklı olmasını, $\text{Ca}(\text{OH})_2$ 'nin az oluşuna, düşük geçirgenliğe, çimento jelinin farklı kompozisyonuna bağlamaktadır. Calleja (1989) ise, sülfat iyonlarının hidrate çimentoda yayılabilirliğinin saf suda az, $\text{Ca}(\text{OH})_2$ çözeltisinde ise çok daha büyük olduğunu belirtmektedir. Böylece $\text{Ca}(\text{OH})_2$ 'nin bulunmadığı puzolanlı çimentolarda SO_4 iyonlarının harç veya beton içinde yayılması güçleşmektedir. Yani sülfat etkisi puzolan ile önlenmiş olmaktadır.

1.2. ARAŞTIRMANIN GEREKÇESİ VE AMACI

Balıkesir ili ve çevresi puzolanik malzeme bakımından oldukça zengin yataklara sahiptir. Özellikle Bigadiç ilçesi civarı tamamen puzolanik malzeme ile örtülüdür denebilir. Etibank Bor İşletmelerinde bor yataklarının, üst ve alt seviyelerinde dekapaj malzemesi olarak puzolanik özellikli volkanik tüfler bulunmaktadır. Bu tüfler zeolit



mineralleri bakımından oldukça zengindir. Alttıfler %65, üstüfler %98 zeolitiktir. Bu zeolitik tüflerin puzolanik malzeme olarak özelliklerinin belirlenmesi ve en iyi şekilde değerlendirilmesi gerekmektedir.

Araştırmmanın gerekçesi, Bigadiç sahasındaki zeolitik Üst ve Alttıflerin ve Balıkesir SET Çimento Fabrika sahasındaki perlitik tüflerin çimento katkı malzemesi olarak kullanılabilirliğini araştırmaktır. Bu amaçla, zeolitik ve perlitik tüflerin jeolojik, mineralojik, teknolojik, fiziksel ve kimyasal özellikleri, puzolanik aktiviteleri, bu puzolanlarla değişik katkı oranlarında hazırlanan çimentoların fiziksel, kimyasal ve harç özellikleri belirlenerek, bu katkılı çimentoların portland çimentosuna göre su ve sülfovüksulu sularda dayanıklılık özellikleri de araştırılmıştır. Balıkesir SET Çimento laboratuvarlarında elde edilen olumlu sonuçlara göre zeolitik ve perlitik tüfler hammade olarak kullanılmaya başlanmıştır. Bu nedenle, çalışma yapılrken fabrika yakın çevresindeki Pamukçu Alt, Pamukçu Üst, Üçpinar ve Sultançayır puzolanlarının da puzolanik özellikleri ve çimento katkı maddesi olarak kullanılabilirlikleri araştırılmıştır.

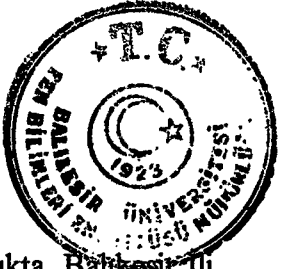
1.3. ARAŞTIRMANIN KAPSAMI

Araştırmada kullanılan zeolitik, perlitik ve diğer alternatif puzolanların jeolojik, mineralojik, teknolojik, fiziksel ve kimyasal özellikleri, öğütülebilirlik testleri ve puzolanik aktiviteleri belirlenmiştir. Jeolojik, mineralojik ve teknolojik incelemeler İTÜ Maden Fakültesi Laboratuvarlarında, fiziksel ve kimyasal özellikler, öğütülebilirlik testleri ve puzolanik aktiviteler Balıkesir SET Çimento laboratuvarlarında yapılmıştır. X-ışınları difraktometre incelemeleri Ankara MTA Genel Müdürlüğü ve Çimento Müstahsilleri Birliği 'nde (Ankara) gerçekleştirılmıştır.

Aynı puzolanların Balıkesir SET Çimento Fabrikasında çimento katkı maddesi olarak değerlendirilebilmesi için değişik katkı oranlarında ve harmanlarda çimentolar üretilmiştir. Katkı oranları fabrika işletme koşullarına uygun olarak %24, %26, %28 olarak seçilmiştir.

Çimentoların fiziksel ve kimyasal özellikleri belirlenmiş ve aynı çimentolarla TS 24 'e göre harç karışımı hazırlanmıştır. Harçlar normal şartlarda 1 gün rutubet dolabında, 27 gün suda bekletilmiş ve 2., 7., 28. günlarında eğilme ve basınç mukavemetleri belirlenmiştir.

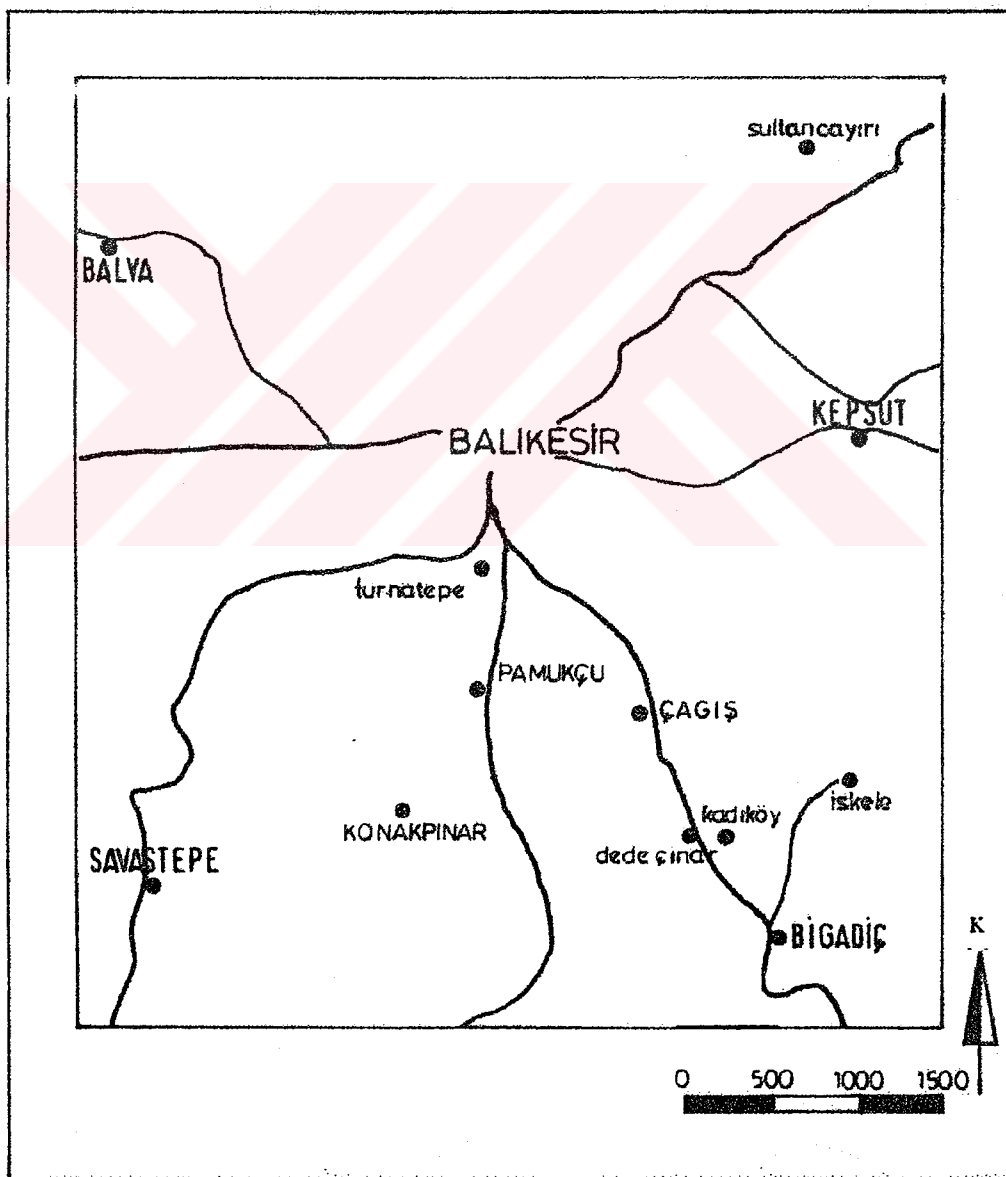
Zeolitik ve perlitik tüflerle hazırlanan çimentoların, portland çimentosu ile karşılaşmalı olarak su ve sülfovüksulu sularda harç özellikleri dayanıklılık yönünden araştırılmıştır. Bu amaçla 28 gün normal şartlarda (1 gün rutubet dolabı, 27 gün su içinde) bekletilen harçlar, 28 günden sonra su ve sülfovüksulu çözeltisine konulmuştur. 16 hafta kür edilen harçların; 0., 4., 8. ve 12. kür haftalarında (28. gün başlangıç yaşı (0) olarak kabul edilir) eğilme ve basınç mukavemetleri, ağırlık ve boy değişimleri belirlenmiştir. 4. ve 12. kür haftaları sonunda kılcıllık, su emme ve birim ağırlık deneyleri yapılmıştır. Deneylerin yapımında Balıkesir Üniversitesi Mühendislik-Mimarlık Fakültesi ve Meslek Yüksek Okulu Malzeme Laboratuvarından yararlanılmış, harçların X-ışını difraktometre incelemeleri TÇMB 'de yapılmıştır.



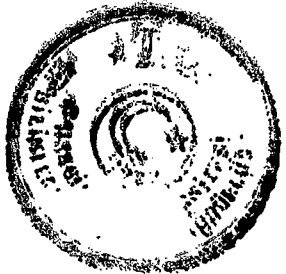
1.4. İNCELEME ALANI COĞRAFİ KONUMU

Bigadiç, eski Balıkesir-İzmir yolu üzerinde, Balıkesir 'e 48 km uzaklıkta, Balıkesir İl sınırlarında bir ilçedir. Zeolitik tüfler, Bigadiç 'in 3 km kuzey doğusundaki Işıklar köyünden başlar, kuzeyden güneye doğru Beyendikler, İskele, Osmanca, Faraş, Çamköy, Emirler, Salmanlar ve Işıklar köylerini kapsar (ÖZPEKER 1969).

Turnatepe sahası, Balıkesir iline 4 km uzaklıkta ve Balıkesir 'in güneyinde yer alır. Saha Balıkesir SET Çimento Fabrikasına 2 km uzaklıkta olup fabrikanın kendi sahası içinde yer almaktadır. Arazi ekilebilir bir ovanın içinde küçük bir tepedir. Şekil 1.2 'de inceleme alanı yer bulduru haritası verilmiştir.



Şekil 1.2: Yer Bulduru Haritası.



BÖLÜM-2

GENEL JEOLOJİ

Tez konusuyla ilgili seçilen Bigadiç Boratlı Tüfleri ve Balıkesir Turnatepe Tüflerinin çimento hammaddesi olarak etüd ve değerlendirme çalışmaları Bigadiç ve Turnatepe Bölgelerinde önceden yapılan jeolojik araştırma ve etüdler baz alınarak sürdürülülmüştür. Buna göre Boratlı Bigadiç Bölgesinde inceleme konusu olarak 2 farklı seviye alt ve üsttüfler ara geçiş zonları seçilmiştir ve ek olarak Bigadiç ve Balıkesir arasında kalan Kadıköy-Değirmenli arası tüflerle, Dedeçinar tüfleri de dikkate alınmıştır.

Saha çalışmalarında örnekler alınarak, fotoğraflarla tespitler yapılmış, çoğu kez sahada, borat üretim ocak kesitleri, yol yarmalarındaki en kesitlerden sık sık yararlanılmıştır.

2.1 ÖNCEKİ ÇALIŞMALAR

Bigadiç ve Turnatepe bölgelerinde, 1960 'dan sonra yapılan çalışmalarda:

ÖZPEKER, (1969); "Batı Anadolu Borat Yataklarının Mukayeseli Jenetik Etüdü" adlı doktora çalışmasında, Bigadiç bölgesini de içine alan boratlı sahalarda bor yatakları ve bunlarla birarada bulunan çevre yankayaşlarının jeolojik ve stratigrafik incelemeleri yapılmış, jeolojik harita ve kesitler üretilmiştir. Ayrıca bor yatakları ile volkanik kayaçların (tüfler) içiçe ve ardışık istiflenmeleri nedeniyle volkanizma ile bor yataklarının jenetik ilişkileri ortaya konmuştur. Tüm bu volkanik istiflenme ve bor seviyelerinin Neojen yaşılı bölgесel tortullaşma ortamında gelişmiş olduğu belirlenmiştir.

ATAMAN, (1977); Batı Anadolu ve Bigadiç 'i içine alan bölgedeki zeolit ve killer üzerinde araştırmalar yapmış, ilk defa zeolit oluşumunu belirtmiştir.

UZ, (1978); "Sındırı-Akhisar Yağcılar Bölgesi ofiyolit birliğinin petrografik ve petorojenetik incelemesi" adlı doçentlik çalışmasında Bigadiç civarı volkanik kayaçlarının petrografik özelliklerini ayrıntılı incelemiştir.

ERCAN ve dgl., (1984); "Bigadiç çevresinin (Balıkesir) jeolojisi ve magmatik kayaçların petrolojisi" adlı incelemede, 3. zamana ait (Senozoyik) volkanik-tortul kayaçlarla mağmatik kayaçların petrografik ve petrokımyasal özellikleri gözetilerek Paleozoyik ve Senozoyik yaşı temel üzerinde Miyosen-Pliosen ve Pliokuvaterner yaşılı farklı bileşimli asitik ve bazik volkanizmaların geliştiği ileri sürülmüştür.



İTÜ, Y.B.Y.K., (1989); Etibank adına yayınlanmamış "Bigadiç Tülü Ovası Zeolitlerinin Teknolojik Özelliklerinin Araştırılması" adlı proje çalışmasında alt ve üsttüflerde zeolitleşme (klinoptilolit), ıslık kararlılık ve alkali/toprakalkalı oranları ile kırılma özellikleri kırma-eleme deneyleride yapılmıştır. Tüm bu özellikler ışığında sonuç olarak, Tülü Ovası alt ve üst tüflerinin kullanım olanakları araştırılmıştır.

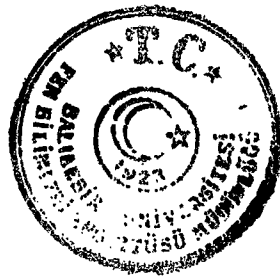
2.2. BİGADIÇ ve TURNATEPENİN JEOLOJİSİ

İnceleme Bigadiç ve Turnatepe bölgelerinden birincisi olan Bigadiç Bölgesi borat yataklarının 1950 yılında bulunmasından sonra pek çok yerbilimcinin ilgisini çeken, en çok araştırılan bölgelerden biri olmuştur. Önceleri bor amaçlı yapılan çalışmalar daha sonra çeşitli amaçlı, son yıllarda da zeolit mineralleri (zeolitleşme-klinoptilolit) üzerinde yoğunlaşmıştır.

Özpeker (1969)'ın, çalışmalarına göre Bigadiç Bölgesi temelde Paleozoyik yaşı formasyonlar (mermerler) ve bunlar üzerine uyumsuz olarak yerleşmiş genç Neojen gölsel çökellerden oluşur. Jeolojik en kesitte kayaçların sıralanımı Şekil 2.1'de gösterilmiştir.

KALINLIK	LITOLOJİ	AÇIKLAMA
100 m.		BORATLI KİL, MARN, TÜF, KALKER, GRE
30 m.		İNCE TANELİ CAMSI TÜFLER
60 m.		KABA TANELİ CAMSI TÜFLER
80 m.		GHE, KALKER (Peletik, Kuresel) MARN
100 m.		RİYOLİTİK KRİSTAL TÜFLER
150 m.		TABAN KALKERLERİ (Fosilli, Peletik, Kimyasal)
PALEOZOIK		MERMER

Şekil 2.1: Bigadiç Boratlı Neojen Serilerinin Enine Kesiti (ÖZPEKER 1969).



Özpeker 'e göre Bigadiç Bölgesinde istiflenme aşağıdaki gibidir:

- | | |
|--|--|
| -Taban kireçtaşları (Temel-Paleozoyik) | -İnce taneli camsı tüfler |
| -Kristal tüfler (Neojen) | -Boratlı kil-marn-kireçtaşı-tüp-kumtaşı serisi |
| -Marn-kireçtaşı-kumtaşı serisi | -Volkanikler ve damartaşları |
| -Kaba taneli camsı tüfler | -Alüvyon (Kuvaterner) |

Bu jeolojik istifteki formasyonların saha özellikleri özetle şöyledir;

Taban Kireçtaşları: 2 türdür. Krem renkli, ince taneli yumuşak, kumtaşları (gre) ile orta katkılı allakton birim, diğeri fosilli, bantlı ve çört orta katkılı olan otokton kireçtaşlarıdır.

Kristal Tüfler: Gri renkli, ince taneli, tabakalı olup geniş alanlara yayılırlar. Homojen özellikli olan tüfler 100-200 m kalınlık gösterirler.

Marn-Kireçtaşı-Kumtaşı: İnce tabakalı ritmik kireçtaşı, marn, kumtaşı bantlarından meydana gelen bir seridir.

Kaba Taneli Camsı Tüfler: Sahada açık sarımsı-yeşil renkli veya taze yüzeyleri gri tonlardadır.

İnce Taneli Camsı Tüfler: Taze yüzeyleri yeşil veya mavi renkte, atmosferik etkenlere açık olanlar ise sarımsı-yeşil renkler gösterirler.

Boratlı-Kıl-Marn-Kireçtaşı Tüp Serisi: Neojen gölsel çökellerin en üst seviyesini oluşturur. Marn-borat-kıl-tüpler ardisık istiflenme gösterirler. Boratlar, 1-3 m kalınlıkta yatak oluşturmuştur. Serinin kalınlığı 50-150 m arasındadır.

Volkanik ve Damar Kayaçları: Bunlar bazalt ve trakitten ibaret en son magmasal getirimlerdir.

Alüvyonlar: Çapraz tabakalı, kumlu, killi, kalınlıkları en fazla 20-25 metreyi bulan birikintilerdir.

Özpeker (1969) göre, genellikle iri taneli gözenekli kalın tüfler altta (ALTTÜFLER), ince taneli camsı tüfler ise üstte (ÜSTTÜFLER) yerahırlar. Bunlar klinoptilolit türde zeolit mineralleri içerirler. Borat içermeyen bu tüfler asit volkanizma ürünüdür.

Ercan ve dgl. (1984), Bölgesel ölçekli, Bigadiç ve çevresini içine alan 2500 km² lik alanda yaptıkları çalışmada 3. zamana ait çökel kayaçların stratigrafik; magmatik kayaçların ise plaka tektoniği açısından kökensel yorumlarını yapmışlardır. Bölgede izlenen magmatizma olayları son derece etkin olup, özellikle geniş yayılım gösteren volkanik kayaçlar üst Miyosenden Kuvaternere kadar yaklaşık 10 volkanik evrede gelişim göstermiştir. Bunlar esas olarak kabuk kökenli 'KALKALKALIN' nitelikte çok azının da 'SOSONİTİK' (zengin alkalin) kita içinde meydana geldikleri, daha sonra



giderek manto içi ürünlerle karışarak hibrid volkanizmanın tüketdiği ve ~~milyar~~ Kuvaterner evresinde manto kökenli ALKALİ nitelikli volkanizmanın ürünü bazaltlarınoluştugu ileri sürülmüştür.

ITÜ, Y.B.Y.K. (1989), Etibank Bigadiç Tülü Ovası zeolitik tüflerin teknolojik özellikleriyle ilgili araştırmada, Tülü Ovası zeolitli üsttüfleri boratlı seviyeler üzerinde örtü tabakası olarak gösterilmiştir (Şekil 2.2). Üsttüflerin Tülü Ovasında yüzeyde yanal olarak, sondajlarda da dikey olarak özelliklerinin değişmediği izlenmiştir. Üsttf birimi iki seviye olarak tanımlanmıştır:

1- Üstte 50-100 m kalınlıkta, genelde çok ince taneli, masif, konkoidal kırılımlı, beyazımsı, gri-beyaz tonlardaki iri taneli, mineral boyutu 0.01-0.1 mm arasında değişen seviye. Bu seviyenin mineralojik bileşimi klinoptilolit + kuvars + sanidin + opal + oligoklas + biotit azalan sırasıyladır. Zeolitli üsttüfler klinoptilolitleşmiş ve riyolitik türde piroklastik bir oluşumdur.

2- Bu seviyenin altında orta ve kaba taneli yeşil gri-sarı renkte pumisitli, bazı zonlarda çok iri taneli, ayrılmış pumist parçaları içeren boşluklu, gri-kirli sarı renklerde tuf seviyesi. Bu seviyenin iri taneli (fenokristal) kristal boyutları 0.03-0.8 mm arası değişir. Bu kaba iri taneli tüfler yeryer ince taneli zonlar da içерerek üsttf biriminin altında alt borat seviyesine kadar ulaşırlar. 115-230 m arası değişen kalınlıklardadır.

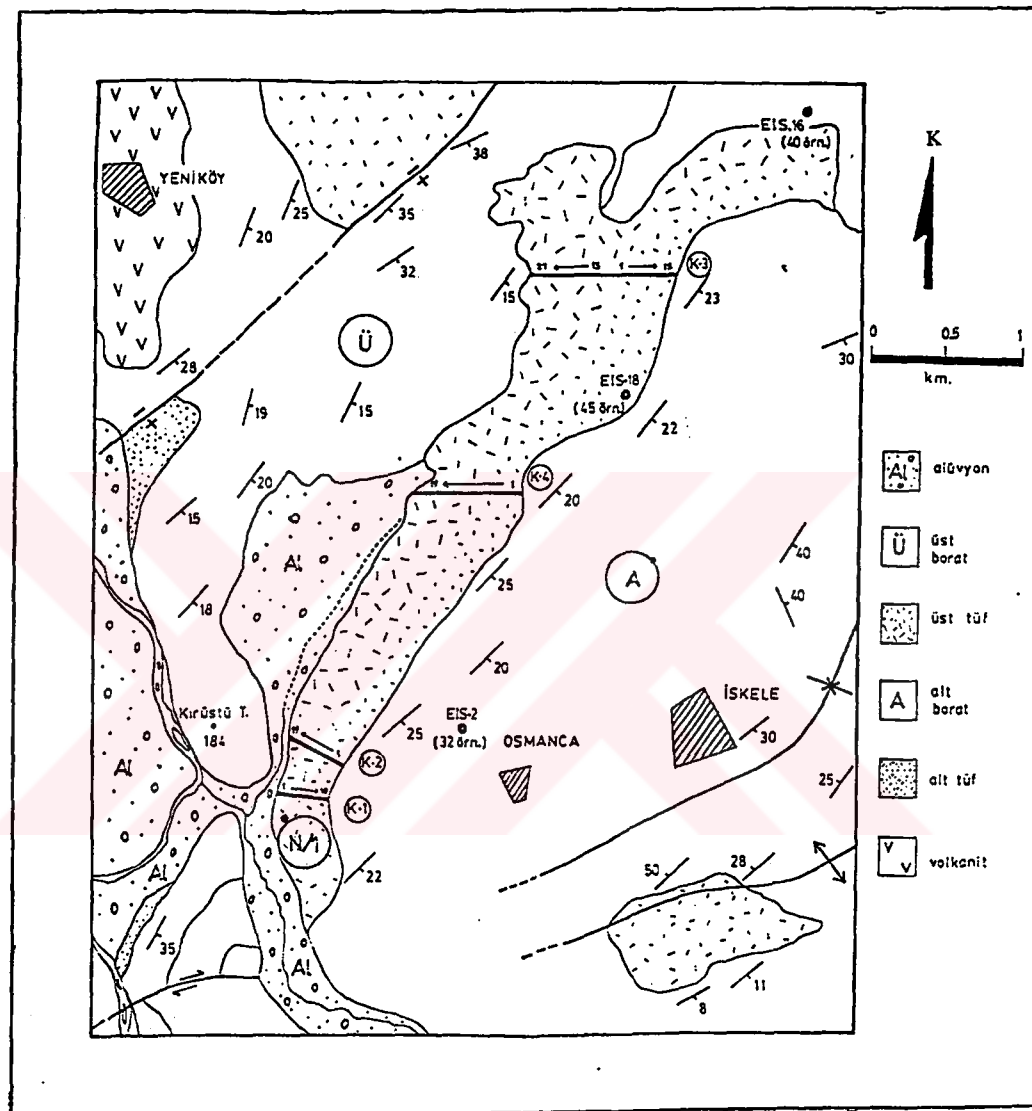
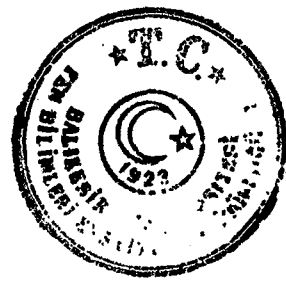
Üsttf biriminin daha ince taneli olan üst zonunda klinoptilolit içerikleri %68-95 arasında değişir. Bu seviye 80 m kalınlıktadır. Orta kaba taneli alt kısmı (üsttf altı) orta-iri taneli pumistli, yeryer çok altere ve bol gözenekli kaba taneli tuf zonunda %55-100 arasında klinoptilolit içeriği saptanmıştır. Bu araştırma sonunda birimin en zengin zeolitli kısmı alt kaba taneli gözenekli ayrılmış zon olduğu belirlenmiştir.

2.3. SAHA İNCELEMELERİ

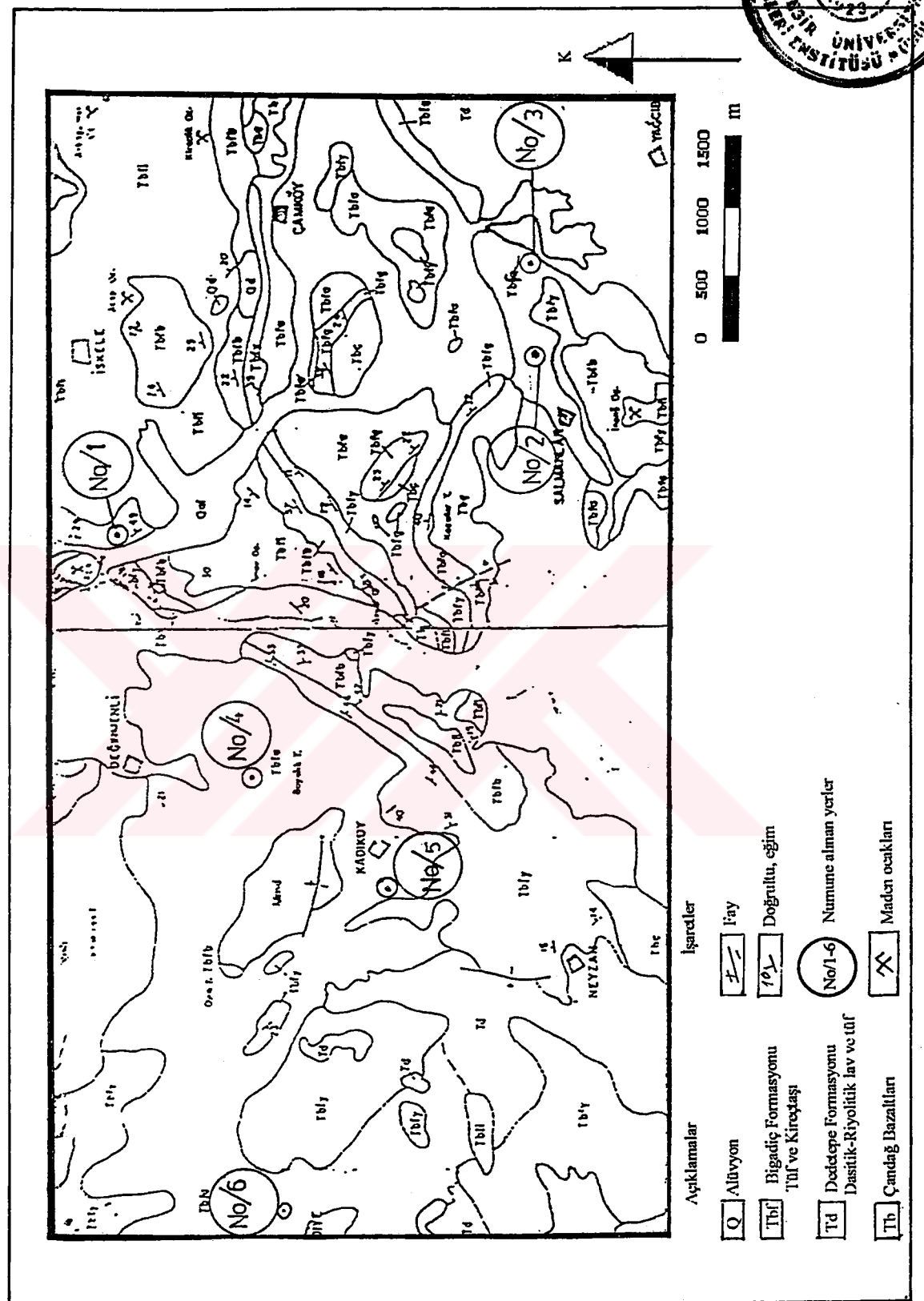
İnceleme alanı, Bigadiç Bölgesi ve bunun kuzeeye doğru devamı olan Bigadiç-Balıkesir arası tüflerle, Turnatepe tüflerini içine alan kesimle sınırlıdır.

2.3.1. BİGADIÇ BÖLGESİ SAHA İNCELEMELERİ

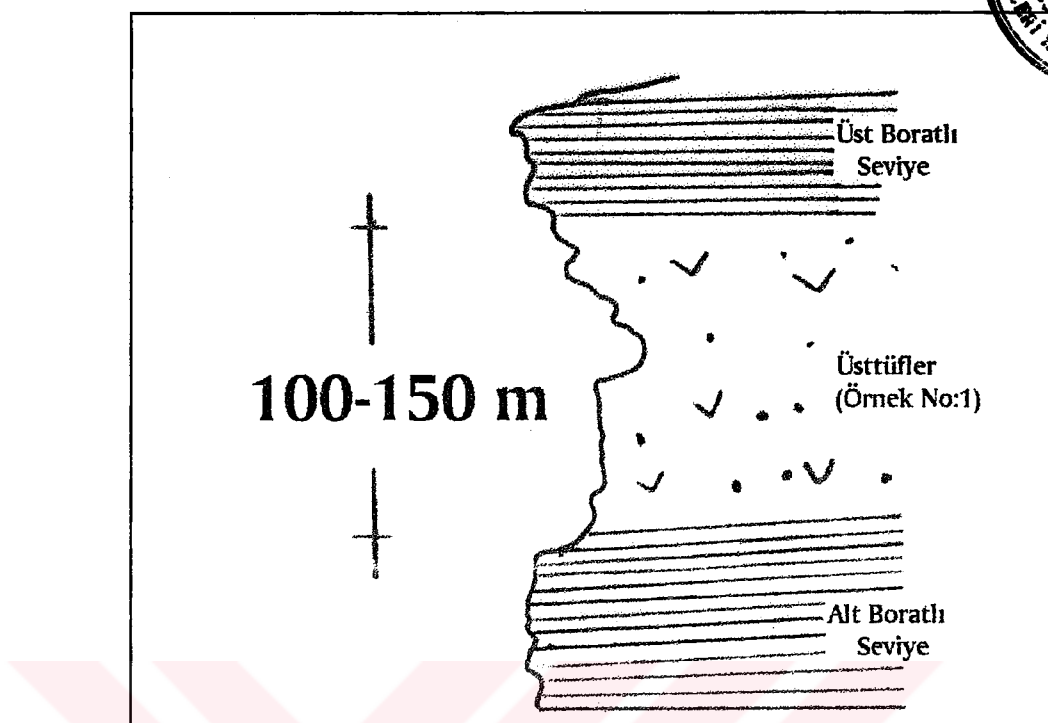
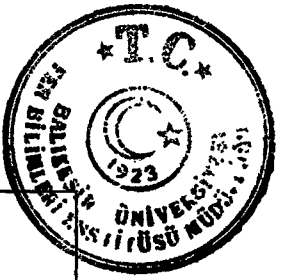
İnceleme alanının ilk ve önemli bölgesi boratlı Bigadiç Bölgesidir. Burada esas inceleme konusu "VOLCANİK TÜFLER" 'dir. Bigadiç boratlı Neojen çökelleri içinde yukarıda tanımlamaları verilen volkanik tüfler, boratlı seviyeler bulunur (Şekil 2.3 ve 2.4). Enine kesitte izleneceği gibi tüfler; İnce ve kaba taneli zeolitli tüfler (Üsttüfler) ve boratlı seviye altındaki fenokristalli tüflerdir (Alttüfler).



Şekil 2.2: Tülü Ovası Zeolitli Üsttüflerin Jeoloji Haritası (İ.T.Ü, Y.B.Y.K 1989).



Şekil 2.3: Bigadiç Bölgesi Jeoloji Haritası (ERCAN ve dğl. 1984).



Şekil 2.4: Bigadiç Kırüstü Tepe Tülü Açık Ocak Boratlı Seviyeler ve Üstlüfler Konumu (UZ 1978).

Tüfler Kırüstü Tepe Tülü Ovası borat işletmesi ve civarında Foto 2.1 ve 2.2 'de izleneceği gibi masif çatlaklı ve yer yer boşluklu, bol yeşil elemanlı ve kaba tanelidir. Üstlüfler yüzeyde Foto 2.3 'de görüldüğü gibi, İskele köyü kuzey batusı kesiminde az yüksek, yayvan tepeler halinde devam etmektedir. Benzer yapılar Foto 2.4 'de Etibank bor işletme açık ocakları ve civarında kolemanitli seviyelerin üzerinde belirgin renk ve yapıları ile görülmektedir.

Örnek No:1 (Şekil 2.3) Bej renkli, bol pumisitli (yeşil), kaba taneli üstlüf. Tülü Ocağı.

Salmanlı köyü üstündeki tüfler, Ercan ve Diğ. (1984) göre, Beyendikler tuf üyesi olarak tanımlanmıştır. Buradaki tüfler de Tülü Ovası üstlüflerle eş özellikte en fazla 200 m kalınlık sunarlar. Tüfler, iri, ince taneli ve çoğulukla riyolitik türde, camsı tüflerin gölgesel ortamda çökelmesiyle oluşmuşlardır. Bu tüflerde zeolit (klinoptilolit) oluşumlarına rastlanır.

Örnek No:2 (Şekil 2.3) Salmanlı köyü tüfleri, masif, camsal, zor kırılgan, bol çatlaklıdır. Foto 2.5 'de bu tüflerin saha görünümleri, Foto 2.6 ve 2.7 'de bu tüflerin yakın çekimde açık sarımsı bej ve camsal doku özellikleri belirgindir.

Özgören köyü tüfleri; salmanlı tüflerinin bir devamı şeklinde olup, Salmanlı köyünün doğusunda yer almaktadır. Bu kesimde jeolojik olarak marnlı kireçtaşları üstte, bunun altında ise volkanik camsal tüfler yer almaktadır.

Örnek No:3 (Şekil 2.3) Özgören Köyü tüfleri sarımsı bej tonlarındadır.

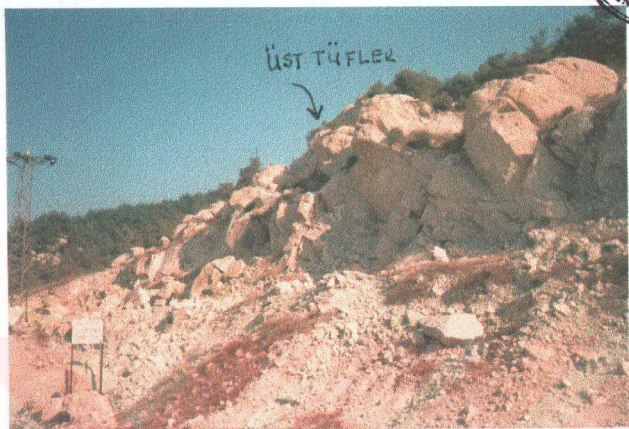


Foto 2.1: Kırüstü Tepe Tülü Ovası Borat İşletmesi.

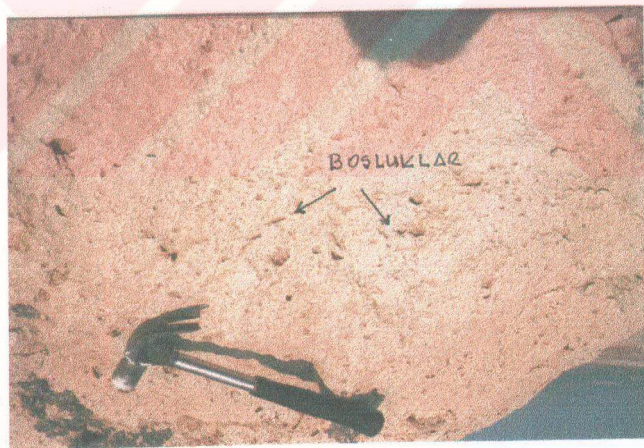


Foto 2.2: Kırüstü Tepe, Üsttüfler.

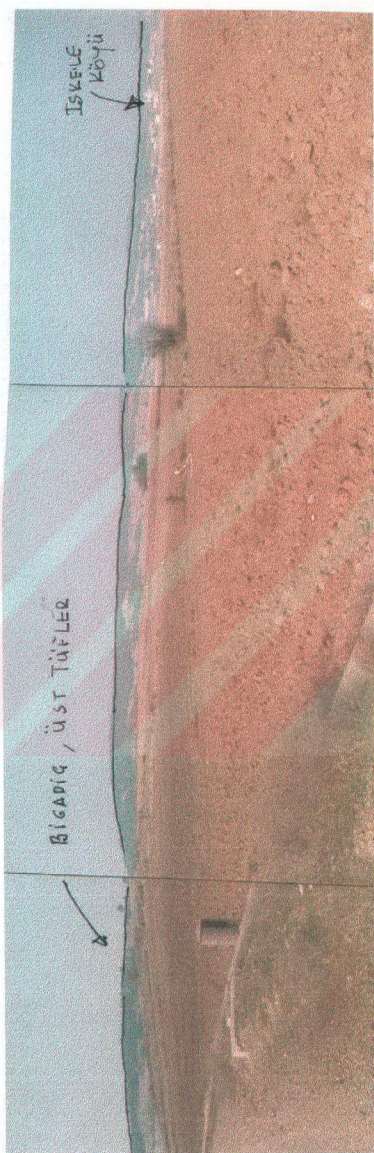


Foto 2.3. İskel Köyü Kuzey Battı Kesiminden Üstünlüklerin Görünümü.

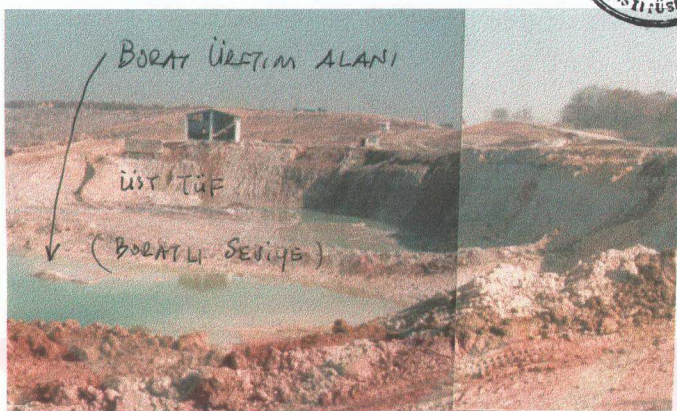
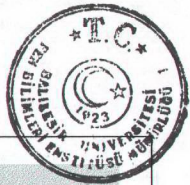


Foto 2.4:Etibank Bor İşletmesi, Açık Ocak.

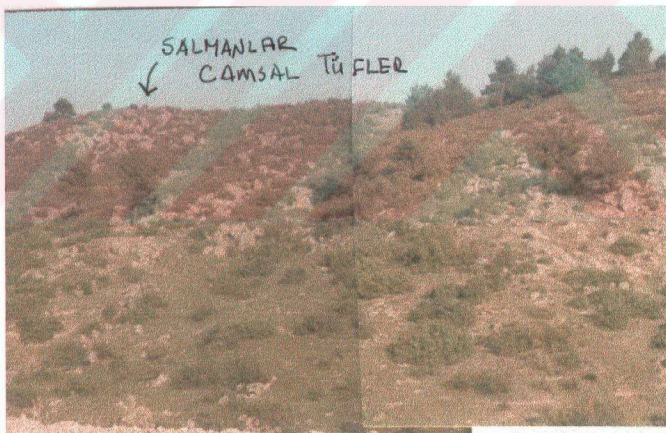


Foto 2.5: Salmanlı Köyü Tüfleri.

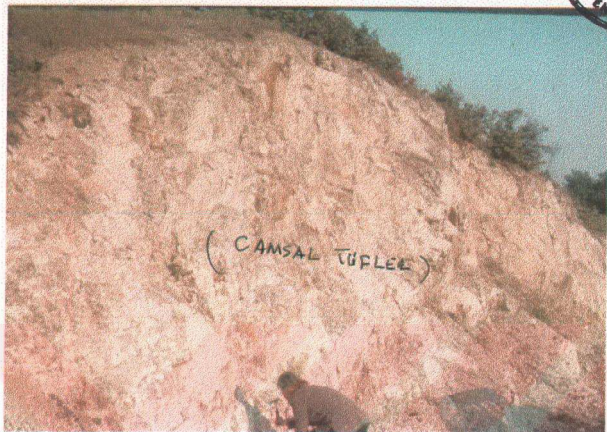


Foto 2.6: Salmanlı Köyü Tüfleri.



Foto 2.7: Salmanlı Köyü Tüfleri.



2.3.2. BİGADİÇ-BALIKESİR YOLU SAHA İNCELEMELERİ

KADIKÖY-DEĞİRMENLİ ARASI:

Mostrada tüfler masif çatlaklı, içerisinde pumisit parçaları izlenir. Sarımsı bey tonlarında olan tüfler camsal bir hamura sahiptir. Ercan ve Diğ. (1984) bu kesimde yeralan tüfleri üsttüfler olarak tanımlanmışlardır.

Örnek No:4 (Şekil 2.3) Kadıköy-Değirmenli arası ince taneli pumisitli tüfun Foto 2.8 'de yakın çekim görüntüleri izlenmektedir.

KADIKÖY ALTI / ASFALT ÜSTÜ TÜFLER

Bir önceki yapı ve özellikte olan tüfler batıya doğru devam ederek asfalt yol üzerinde yüzeylenilir. Tüfler açık bey tonlarda, masif çatlaklı, çok kırıklı ve çok ince tanelidir. Bu tüfler daha önce tarif edilen üsttüflerin ince taneli üst seviyelerine karşılık gelir.

Örnek No:5 (Şekil 2.3) Kadıköy altı/asfalt üstü ince taneli üsttüfler.

DEDEÇINAR KÖYÜ TÜFLERİ

Bigadiç-Balikesir asfalt yolu üzerinde ve asfaltın 500 m batısında Gürbüz Madencilik tras ocağı olarak bilinmektedir. Açık bey renkli, masif çatlaklı, çok kırıklı, çok ince taneli olan tüfler Ercan ve dğl. (1984) göre Altıbüf olarak belirlenmiştir (Foto 2.9).

Örnek No:6 (Şekil 2.3) Dedeçinar köyü taşoacı Alttüfler.

2.3.3. TURNATEPE (BALIKESİR) SAHA İNCELEMELERİ

Balikesir SET Çimento Fabrikası güneyinde ve 2-3 km uzağında yer almaktadır (Şekil 2.5). Halen çimento katki maddesi olarak üretim yapılan tüfler, Foto 2.10 'da izleneceği gibi bazen masif, beyaz, bey-sarımsı tonlarda, yeryer tüf ve bresik zonlar ardisıklı seviyeler oluştururlar. Petrografi açısından esas itibarıyla riyolitik-andezitik bileşimdeki kayaçlar, fabrika çalışanlarında endüstriyel anlamda, camsı fazın fazlalığından dolayı, perlitik tüf şeklinde adlandırılmaktadır. Foto 2.11 'de görüldüğü gibi ince ve orta taneli tüf içinde yabancı kayaç parçaları ve pumisitler bulunur.

Örnek No:7 (Şekil 2.5) Turnatepe (Balikesir) tüfü.

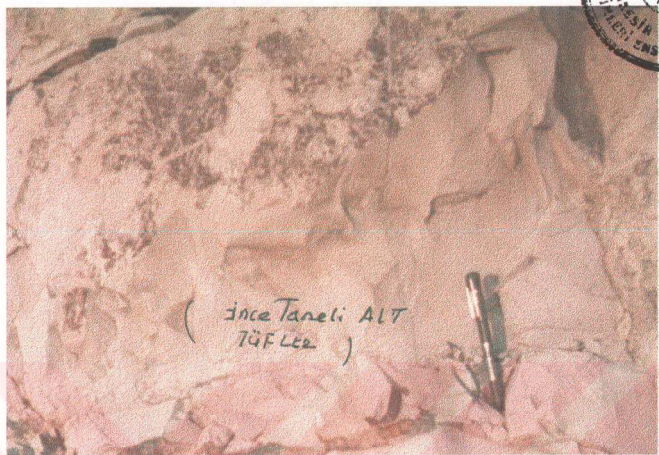
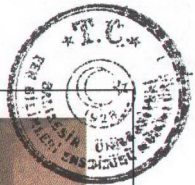


Foto 2.8: Kadıköy-Değirmenli Arası İnce Taneli Tüfler.

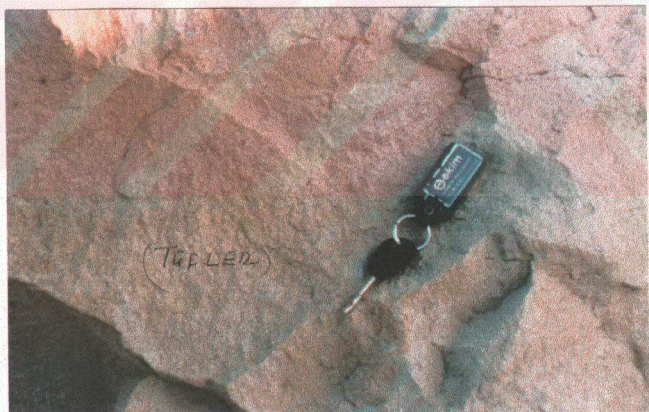


Foto 2.9: Dedeçınar Köyü, Alttüyüler.



Foto 2.10: Turnatepe Tras Ocağında Perlitik ve Breş Zonları.

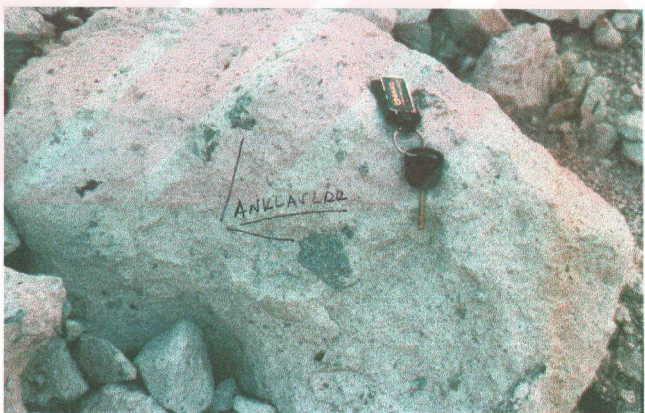
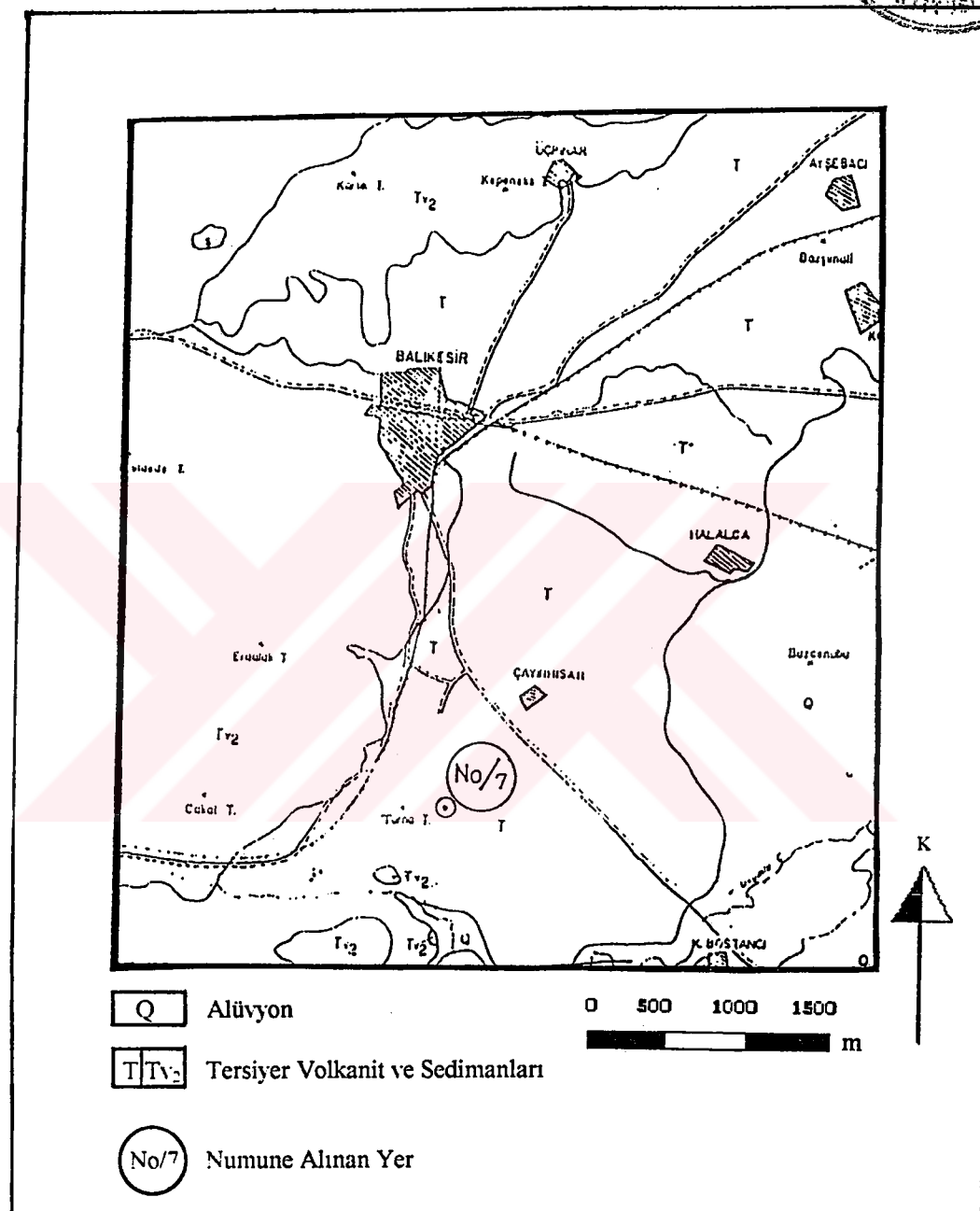
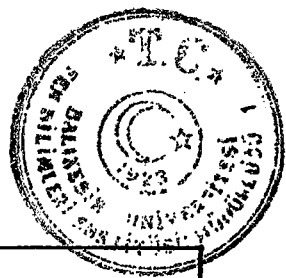


Foto 2.11: Turnatepe Perlitik Tüfleri.



Şekil 2.5: Turnatepe Sahası Tüfleri Jeoloji Haritası (ERGÜL ve dgl 1980).



2.4. SONUÇLAR

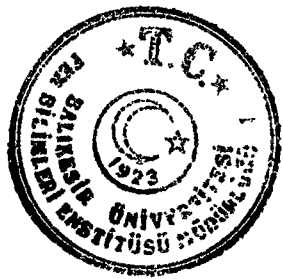
Bigadiç - Turnatepe ve bu 2 bölge arası tüfler daha önceki çalışmalarda çeşitli şekillerde tanımlanmışlardır.

Bu çalışmada Bigadiç Bölgesi tüfleri, esas olarak boratlı üst ve alt tüfler şeklinde tanımlanır. 2.3.1. 'de verildiği gibi üsttüfler 2 boratlı seviye arasında yaklaşık 100-150 m kalınlığında, ince ve kaba taneli, alta doğru pumisit parçalı, ayrılmış sarımsı bey tonlarında olup, %98 gibi çok yüksek oranda klinoptilolit içerirler. Zeolitik üsttüfler sahada fotoğraflarda da belirlendiği gibi geniş alanlarda yayılım gösterirler.

Tülü Ovası esas olmak üzere Salmanlı, Özgören köyleri kesimlerinde benzer özellikli tüfler Bigadiç-Balıkesir yolu üzerinde Kadıköy-Değirmenli, Dedeçinar köyü civarında da benzer yapı ve özellikler taşırlar. Çizelge 2.1 'de Bigadiç-Turnatepe bölgeleri tüflerinin saha özellikleri verilmiştir.

Çizelge 2.1: Bigadiç-Turnatepe Tüflerinin Saha Özellikleri.

No	Yeri	Renk/Tane	Yapı/Doku	Diğer Özellikleri
1	Tülü ocağı Kırüstü Tepe	Bej Renkli Kaba taneli	Masif,kompakt Bol pumistli	2 boratlı seviye arası Üsttüfler
2	Salmanlı Köyü üstü	Sarımsı bey Camsal doku	Camsal doku Bol çatıtlaklı,masif	Benzer özellik farklı olarak camsal hamurlu
3	Özgören Köyü	Sarımsı bey	Camsal hamurlu	Salmanlı köyü camsal tüfleri devamıdır
4	Kadıköy- Değirmenli arası	Sarımsı bey	Camsal hamurlu	Pumist parçalı
5	Kadıköy altı asfalt üstü	Açık bey renkli İnce taneli	Masif, çatıtlaklı	Bir önceki tüflerin devamı şeklindedir
6	Dedeçinar Köyü (Gürbüz M. Oc.)	Açık sarımsı bey renkli	Masif, çatıtlaklı Yeryer camsal	-
7	Tutnatepe (SET Çimento Ocağı)	Beyaz, bey- sarımsı tonlarda	Breşik veya masif, ince taneli	Breşik ve ince taneli tabakalı ardışık seviyeli



BÖLÜM-3

HAMMADDE ÖZELLİKLERİ

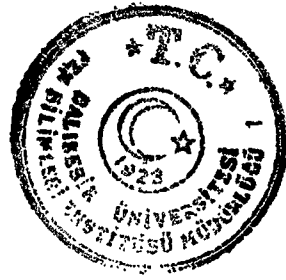
Bigadiç ve Turnatepe Bölgelerinde yayılım gösteren volkanik tüflerin çimento sanayiinde kullanılabiliğinin ve özelliklerinin ortaya konması amaçlanan bu çalışmada; saha incelemelerine paralel olarak sözkonusu hammaddeleri daha belirgin bir biçimde tanımlama maksadıyla, laboratuvar deney ve tetkiklerinin yapılabilmesi için çeşitli üniversite ve kuruluşlardan yararlanılmıştır.

Tüflerin incelenmesinde kullanılan laboratuvar teknikleri şunlardır:

- Petrografik inceleme
- X-Ray difraktometre incelemesi
- Teknolojik inceleme
- Kimyasal inceleme

3.1. PETROGRAFİK İNCELEME

Petrografik incelemeler İTÜ Maden Fakültesi, Mineraloji-Petrografi Anabilim Dalı Optik Mineraloji Laboratuvarlarında gerçekleştirilmiştir. Derlenen kayaç örneklerinin, Taşkesme ve Parlatma Atölyesinde, ince kesitleri (0.02 mm kalınlıkta) hazırlanmıştır. Hazırlanan ince kesitlerin Leitz-pol türü araştırma mikroskopu ile petrografik-mineralojik incelemeleri yapılmıştır. Söz konusu kayaçların doku, tane boyutu, mineral bileşimi, modal oranları ve ayırtma ürünleri gibi çeşitli özelliklerini tanımlanmıştır.



ÖRNEK NO 1: Tülü Ovası Kırüstü Tepe

Makroskopik İnceleme

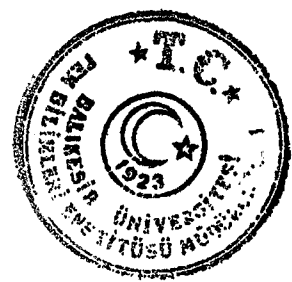
- Renk: Beyaz, krem rengi tonlarında, yer yer yeşil fenokristaller izlenir.
- Yapı/Doku: Kompakt, hafif, çok ince tane yapılı, tuf (volkanik) yapısında.
- Asitte Reaksiyon: Herhangi bir köpürme izlenmedi. Malzemede karbonat yoktur.

Mikroskop İncelemesi (Foto3.1)

- Doku: Volkanik camsal hamur içinde az oranda (%8) kristallere rastlanır. Bunlar, biyotit, kuvars plajiyoklas türlerindedir.
- Volkanik Cam: Açık sarımsı, kahve rengi tonlarındadır. İçerdiği opak mineraller bozmuşmuştur.
- Mineral Tane Boyutları: 0.35-0.05 mm arası değişir.

Mineral Bileşimi	%Modal Oran	Özellikler
Kuvars	10	Yarı köşeli, 0.12-0.5 mm boyutlu, çatlaklı, kırıklı.
Sanidin	12	Dikdörtgen kesitli, idiomorf şekilli, 0.35 mm boyutlu.
Plajiyoklas	5	Yarı idiomorf şekilli, 0.25 mm boyutlu, ikizli (albit) bileşimlidir.
Biyotit	3	0.25 mm boyutlu, kahrengi-siyah pleokroik.
Boşluk	5	Hamur içinde opakla çevrelenmiş 0.5 mm boyutlu.
Camsal Hamur	65	Açık kahve tonlarında, çeşitli camsal yapı ve izleri içerir. Ayrıca çok ince kriptokristaller içerir.

RİYOLİTİK TUF: Camsal hamurlu, ince taneli.



ÖRNEK NO 2: Salmanlı Köyü Üstü

Makroskopik İnceleme

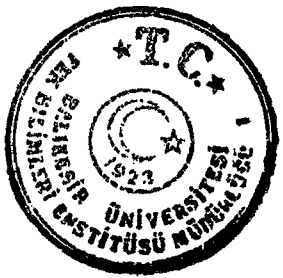
- Renk: Gri kahve tonlarında (sarımsı bej).
- Yapı/Doku: Kompakt, taneli görünümlü, çatlaklıarda bol demir kalıntıları izlenir.
- Asitte Reaksiyon: Yoktur.

Mikroskop İncelemesi (Foto 3.2)

- Doku: Bol fenokristalli (%30-40), yarı camsal, yarı mikro taneli hamur içeren volkanik doku içinde, farklı tane boyutlu fenokristaller izlenir.
- Fenokristal Boyutları: 2.5-0.3 mm arası.

Mineral Bileşimi	%Modal Oran	Özellikler
Fenokristaller	40-45	
Kuvars	3	İnce taneli, yarı köşeli az orandadır.
Sanidin	15	İri taneli, 2-3 mm boyutlu yarı köşeli, çatlaklı, kırıklı, dalgalı yanıp sönmeli, içinde hamur inklüzyonları içerir. Bazen içinde boşluklar içerir.
Plajiyoklas	10	İri-orta taneli, (0.9 mm) kırıklı ve ikizli yapılar gösterir. Albit bileşimlidir.
Biyotit	12	İdiyomorf kristaller halinde, 0.6-2.7 mm arası değişir. Bazen kırıklı aşınmış şekiller gösterir pleokraik. Bazen opaklaşmıştır.
Hamur (Matriks)	60	Yarı camsal, yarı ince kristalli, teknikolde açık sarımsı kahve tonlarındadır. Kriptokristal oranı %25-30'dur

DASİTİK Tüf.



ÖRNEK NO 3: Özgören Köyü

Makroskopik İnceleme

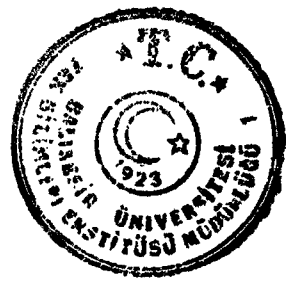
- Renk: Sarımsı bej tonlarında.
- Yapı/Doku: Masif, kompakt (kütleSEL), gözle görülür taneli, 1-2 mm boyutlu mineraller izlenmektedir.
- Asitte Reaksiyon: Yoktur.

Mikroskop İncelemesi

- Doku: Porfirik. Bol oranda farklı boyut ve şekilde fenokristaller mevcuttur. Bunları çevreleyen yarı camsal, yarı mikrotaneli hamur izlenir.
- Fenokristal Tane Boyutları: 2-0.3 mm arası değişir.

Mineral Bileşimi	%Modal Oran	Özellikler
Fenokristaller		
Sanidin	20	Aşınmış, kıraklı, bol çatlaklıdır. İri taneli, 1.5-2 mm boyutlu kıraklı, çatlaklı ve yarı idiyomorf şekiller altında izlenir. Esas kayaç yapıcı mineraldir.
Plajiyoklas	12	İri taneli (1.5-2 mm), idiyomorf şekillerde, dikdörtgen kesitlidir. plajiyoklaslar; oligoklas(An % 30) bileşimindedir. Polisentetik ikizlenme gösterir. Ayışma izlenmez.
Mika (Biyotit)	8	0.7-0.8 mm boyutlu, çubuksu veya levha şekilli, pleokraik yoğunlukla opak-demirli ayışım geçirmiştir.
Kuvars	5	Orta ve ince taneli, kenarları yuvarlatılmıştır.
Hamur (Cam+Mikrokristal)	55	Çok ince, mikron boyutlu kuvars+feldspat mineralleri camsı hamur kısmı kahve tonlarında.

DASİTİK Tüp: Yarı camsal hamurlu, Biyotitli.



ÖRNEK NO 4: Kadıköy-Değirmenli Arası

Makroskopik İnceleme

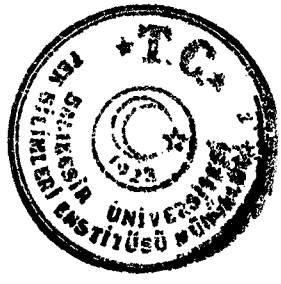
- Renk: Gri-açık kahve ve karışık tonlarda.
- Yapı/Doku: Masif görünümlü, kompakt, taneli bir görünüme sahiptir.
- Asitte Reaksiyon: HCL ile reaksiyonda CO₂ çıkışı gözlenmiştir.

Mikroskop İncelemesi

- Doku: Bol fenokristalli. Porfirk doku. Bunları çevreleyen hamurda kalsitleşme izlenmektedir.
- Fenokristaller: Köşeli, yarı köşeli, farklı tane boyutlarında, çok az oranda çatlak izlenir.
- Tane Boyutu: 0.3-1.5 mm arası değişir.
- Hamur: %90 oranında kalsitleşmiştir. Yabancı kayaç parçaları da içerir.

Mineral Bileşimi	%Modal Oran	Özellikler
Fenokristaller	45-50	
Kuvars	12	İri taneli, yarı köşeli kıraklı kristaller halinde, esas fenokristal olarak bulunur.
Sanidin	10	İri orta taneli, çok çatlaklı kıraklı şekillerde, kuvars ile birlikte yer alır.
Plajiyoklas	12	İri-orta taneli, idiomorf (özşekilli) kristaller albit bileşimlidir. Polisentetik ikizler gösterir. Zonlu yapı izlenir.
Mika (Biyotit)	10	İri-orta taneli, çubuksu veya levhamsı şekillerde, beyaz ışıkta koyu kahve pleokroik.
Hamur	50	Teknikolde kahve rengi tonlarında, tamamıyla kalsitleşmiştir.
Yabancı Kayaç	3	

BİYOTİTLİ RİYOLİTİK Tüp: Hamuru kalsitleşmiş.



ÖRNEK NO 5: Kadıköy Asfalt Üstü

Makroskopik İnceleme

- Renk: Grimsi beige tonlarda.
- Yapı/Doku: Masif, uniform yapıda, konkoidal kırıklı, tanesiz bir yapı gösterir.
- Asitte Reaksiyon: Yoktur.

Mikroskop İncelemesi

- Doku: Afanitik. Hiçbir feneokristal izlenmez. Kriptokristalin doku içinde herhangi bir mineral tanımı mümkün değildir. Yer yer kalıntı, opaklaşmış çubuksu biyotit kristalleri, opak mineral, birkaç kuvars ve feldspat taneciği içeren koyu kahve renkli camsal bir hamur izlenir.

Afanitik Toz Tüf 'tür.

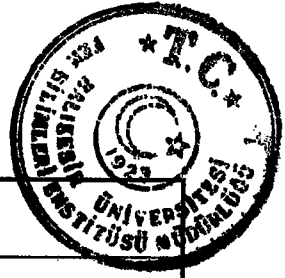
ÖRNEK NO 6: Dedeçınar Köyü

Makroskopik İnceleme

- Renk: Benekli, beige tonlarında.
- Yapı/Doku: Kumlu görünümde, taneli, (ince-orta), kompakt. Yer yer çatlaklar boyunca sıvanmış demir oksitler izlenir.
- Asitte Reaksiyon: Yoktur.

Mikroskop İncelemesi (Foto 3.3)

- Doku: Bol fenokristalli ve bunları çevreleyen yarı camsal hamurlu Porfirik dokuludur.
- Fenokristaller: İnce ve orta taneli, yarı öz şekilli, yaklaşık %50 oranında mevcuttur.
- Hamur: Fenokristalleri çevreleyen yarı camsal özellikle çok az oranda kriptokristaller izlenir.
- Tane Boyutu (Fenokristaller): 0.1-0.35 mm arası değişir.



Mineral Bileşimi	%Modal Oran	Özellikler
Fenokristaller		
Kuvars	8-10	Yarı köşeli, az çatlaklı, iri taneli (0.35 mm), dalgalı yanıp-sönme gösterir.
Sanidin	8	Iri orta taneli, kırıklı ve çatlaklıdır.
Plajiyoklas	10-12	Iri-orta taneli, yarı öz şekilli dikdörtgen kesitli, albit-oligoklas bileşimli (An %20-25) 'dir.
Mika (Biyotit)	12-13	Farklı boyutlarda, yaygın pleokraik, kısmen opaklaşmıştır.
Hamur	45-50	Teknikholde kahve renkli, camsal, içinde çok ince ve az oranda kriptokristaller izlenir.

BİYOTİTLİ RİYOLİTİK Tüf.

ÖRNEK NO 7: Turnatepe

Makroskopik İnceleme

- Renk: Açık beyaz.
- Yapı/Doku: Tüf görünümülü, gözenekli, içinde birkaç kuvars kristali izlenir.
- Asitte Reaksiyon: Yoktur.

Mikroskop İncelemesi (Foto3.4).

- Doku: Tamamıyla camsal hamur içinde köşeli ve yarı köşeli birkaç mineral izlenir.

Mineral Bileşimi	%Modal Oran	Özellikler
Kuvars	10-15	Çeşitli büyüklükte ve kırıklı, köşeli, yarı köşeli, tek mineraldir.
Hamur	80-90	Camsal, lifsel yapı izlenir.

RİYOLİTİK Tüf 'dür.

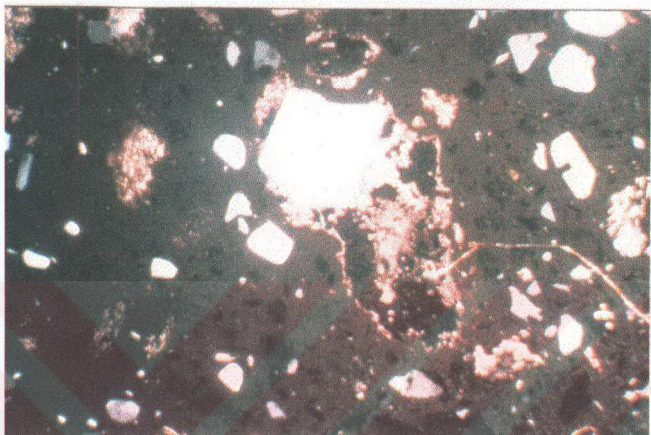


Foto 3.1: İnce Kesit No:1. Tülü Ovası Tüfünün Mikroskopik Görünümü. Çapraz Nikol. X 150.

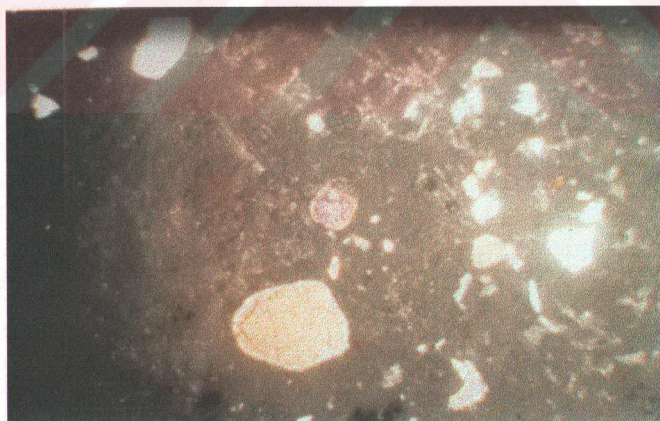


Foto 3.2: İncekesit No:2. Salmanlı Köyü Tüfünün Mikroskopik Görünümü. Çapraz Nikol. X 150.

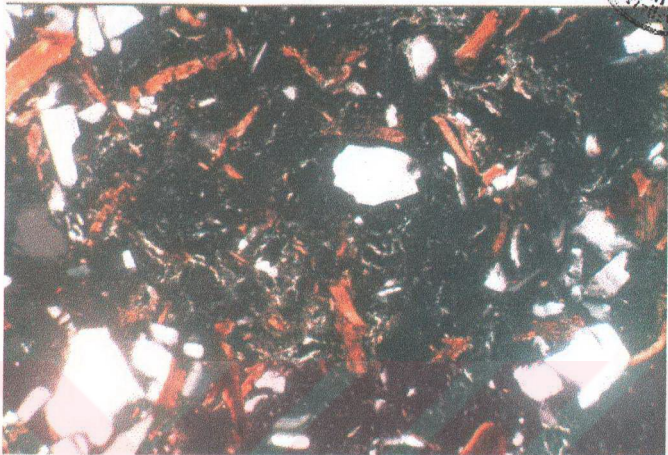


Foto 3.3: İncekesit No:6. Dedeçinar Köyü Tüfünün Mikroskopik Görünümü. Çapraz Nikol. X 75.

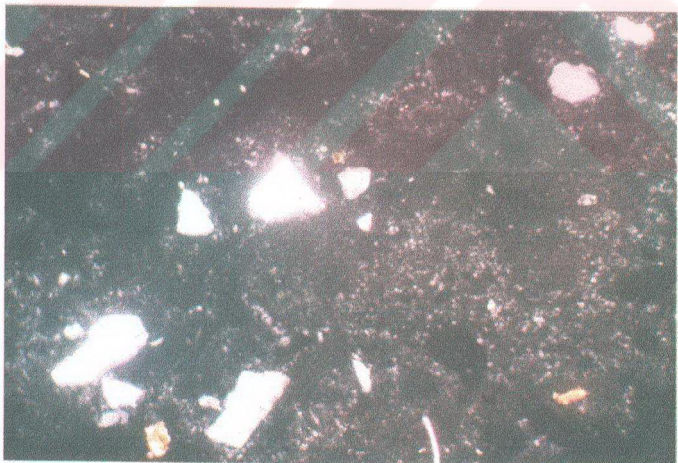
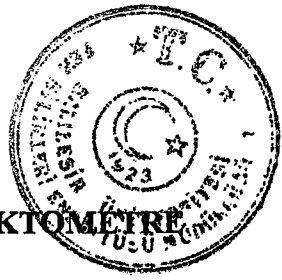


Foto 3.4: İncekesit No:7. Turnatepe Perlitik Tüfün Mikroskopik Görünümü. Paralel Işık. X 75.



3.2. BİGADİÇ VE TURNATEPE TÜFLERİNİN X-RAY DİFRAKTOMETRE İNCELEMESİ

Bigadiç ve Turnatepe sahalarında alınan örneklerin mineralojik özelliklerinin daha belirgin hale getirilebilmesi için MTA Endüstriyel Hammadde Mineralojisi Birimi Laboratuvarlarında X-Ray difraktometre toz metodu ile inceleme yapılmıştır. Bunlara ait diffraktogramlar Şekil 3.1, 3.2, 3.3 ve 3.4 'dedir.

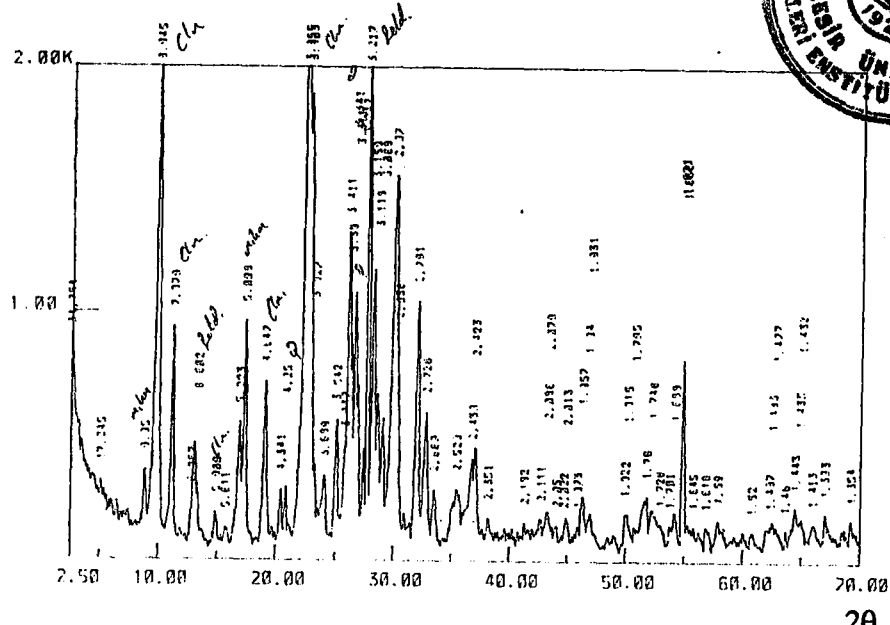
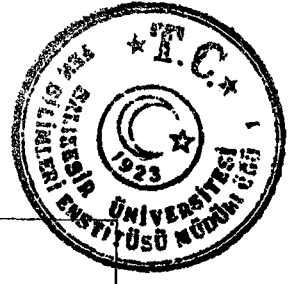
Elde edilen veriler Çizelge 3.1 'de özetle verilmiştir. Çizelgedeki mineralojik veriler, bölüm 3.1. 'de verilen petrografik verilerle uyumludur. Örneğin Tülü Ovası (Kırüstü tepe) (No:1) üstüfleri benzer şekilde riyolitik tuf olarak adlanmış. Ancak bu yöntemle farklı olarak zeolit minerali (klinoptilolit) varlığı saptanmıştır.

Dedeçınar (No:6) örneği mikroskop altında biyotitli riyolitik tuf olarak tanımlanmış olup, X-işınlarında ise farklı olarak zeolit (klinoptilolit) izlenmiş, diğer mineral toplumu benzer olup riyolitik tuf olarak tanımlanmıştır.

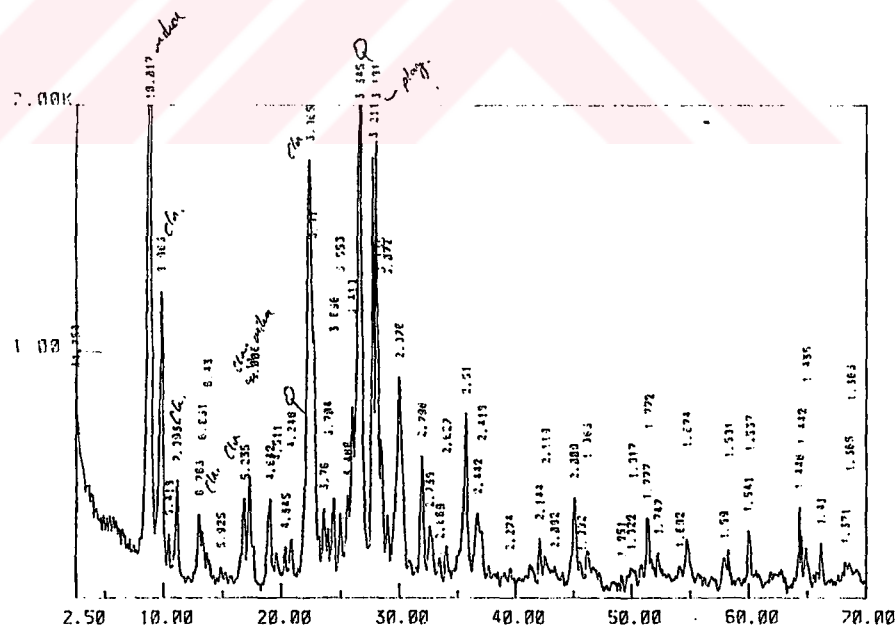
Turnatepe (No:7) örneği, ince taneli ve breşik türde olup, ince taneli kısmında kil minerallerinden montmorillonit, kaolinit ve kalsit minerallerine rastlanmıştır. Breşik tüflerde ise, kil minerali (montmorillonit) ve feldispatlar yanında, ayrıca az oranlarda mika (biyotit) ve amfibol (hornblend) 'e rastlanmıştır. Böylece Turnatepe 'de riyolitik ince taneli kısım ile andezitik breşik tüflerin üstüste katmanlar halinde varoldukları ortaya konmuştur.

Çizelge 3.1: Bigadiç ve Turnatepe Tüflerinin X-Ray Difraktometre Verileri.

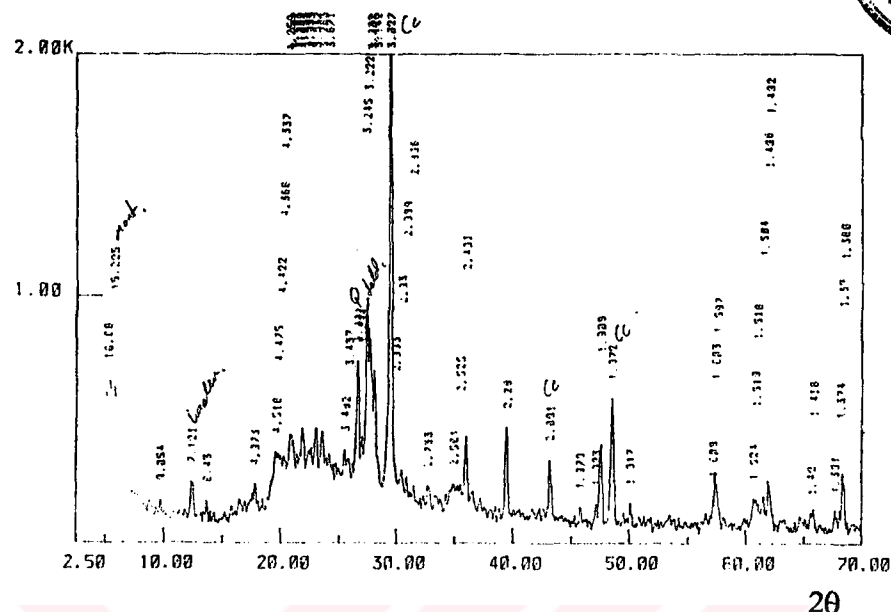
Örnek No	Yeri	Mineral Bileşimi	Kayaç
1	Tülü ovası	Klinoptilolit Feldispat Mika Kuvars	Klinoptilolitli Riyolitik tuf
6	Dedeçınar	Mika Kuvars Klinoptilolit Plajiyoklas	Klinoptilolitli Riyolitik tuf
7	Turnatepe (ince taneli)	Montmorillonit Kalsit Feldispat (plajiyoklas) Kuvars Kaolinit	Riyolitik tuf
7	Turnatepe Breşik	Montmorillonit Feldispat Amfibol (az) Mika (az) Biyotit	Andezitik (Breşik) tuf



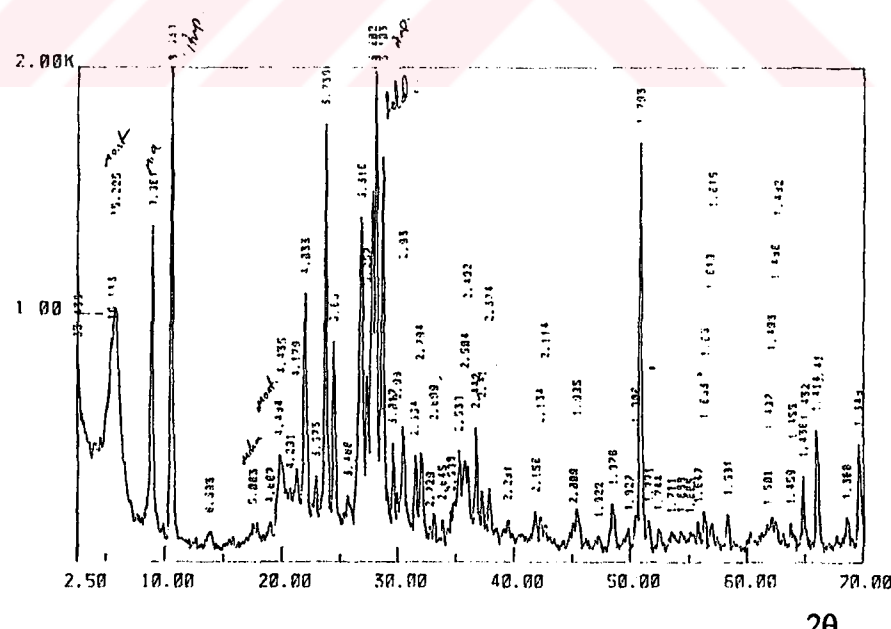
Şekil 3.1: Üsttüfe Ait Difraktogram.



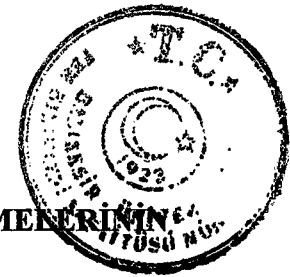
Şekil 3.2: Alttüfe Ait Difraktogram.



Şekil 3.4: Turnatepe Breşik Tüfe Ait Difraktogram.



Sekil 3.3: Turnatepe Perlitik Tüfe Ait Difraktogram.



3.2.1. X-RAY DİFRAKTOMETRE DEĞERLENDİRİLMESİ

İNCELEMENİN TÜSÜ NÜM.

İnceleme alanı Bigadiç ve Turnatepe bölgelerine ait tüflerin, saha ve mikroskopik özellikleri 2. ve 3. bölümlerde ayrıntılı olarak verilmiştir. Buna göre,

Benzer olarak;

- Her iki bölgede rastlanan volkanik tüfler riyolitik özelliktedir.
- Her bölgeye ait tüfler çimento hammaddesi olarak kullanılmaktadır.
- Saha özellikleri yaklaşık olarak benzerdir.

Farklı olarak;

Bigadiç Bölgesi tüfleri:

- Tümü riyolitik veya dasitik (asidik) tüflerdir
- Tümü camsal veya yarı camsal hamurdur
- Ayrıca farklı olarak X-işınları incelemesinde zeolit (klinoptilolit) 'e bol oranda rastlanmıştır.

Turnatepe Bölgesi tüfleri:

- Arazide ince taneli tüflerle, breşik tüfler ardışık seviyeler halinde riyolitik ve andezitik özelliktedir.
- Montmorillonit, kaolinit, kalsit gibi ikincil ayrışma ürünü kil minerallerine rastlanmıştır.
- Bigadiç bölgesinde bol oranda rastlanan zeolit (klinoptilolit) minerallerine Turnatepede rastlanmamıştır.

3.3. TEKNOLOJİK İNCELEME

Önceki bölümde Bigadiç ve Turnatepe tüflerin saha özellikleri yanında, laboratuvara petrografik (mineralojik), mikroskopik, X-işınları difraktometre tayinleri ile mineral bileşimleri, ayrışım mineralleri ile zeolitik (klinoptilolit) mineralleri saptanmış böylece tip kayaç tanımı yapılmıştır. Söz konusu çimento hammaddesi olan tüflerin teknolojik özellikleri, % su emme, birim ağırlık, porozite (%), basınç dayanımlarının da tayinleri yapılmıştır. Bigadiç bölgesinde alt ve üsttüflerle, Turnatepe örnekleri üzerinde teknolojik özellikler için her grup örnekten 3 'er deney yapılmıştır. Böylece tüflerin jeolojik-petrografik-mineralojik özellikleri yanında fiziksel parametreleri de ortaya konmuştur. Çizelge 3.2 'de Bigadiç ve Turnatepe tüflerin teknolojik özellikleri verilmektedir.



Çizelge 3.2: Bigadiç ve Turnatepe Tüflerinin Teknolojik Özellikleri.

Örnek Türü	Deney Adedi	Su Emme (%)	Birim Ağırlık (Kg/m ³)	Porozite (%)	Basınç Dayanımı (Kg/cm ²)
Alttüp (No:6)	1	9.2	1793	14	157
	2	10.2	1788		89
	3	10.3	1790		64
Üstüp (No:1)	1	18.5	1512	25	150
	2	14.5	1509		110
	3	15.5	1500		162
Turnatepe (No:7)	1	17.0	1451	28	49
	2	17.6	1420		45
	3	18.0	1430		-
SET Çimento					

3.3.1. TEKNOLOJİK ÖZELLİKLERİN DEĞERLENDİRİLMESİ

Tüflerden, Bigadiç Bölgesine ait üst ve alttüflerle, Turnatepe (Balıkesir) tüfleri dikkate alınmıştır.

Alttüflerde, birim hacim ağırlık 1788-1793 kg/m³ arasında değişmekte, su emme %9.2-10.3 arasında, porozite %14, basınç dayanımı ise 64-157 kg/cm² olarak bulunmuştur.

Üsttüflerde, birim hacim ağırlık 1500-1512 kg/m³ arasında değişmekte, su emme %14.5-18.5 arasında, porozite %25, basınç dayanımı ise 110-162 kg/cm² olarak bulunmuştur.

Turnatepe tüflerinde, birim hacim ağırlık 1420-1451 kg/m³ arasında değişmekte, su emme %17.0-18.0 arasında, porozite %28, basınç dayanımı ise 45-49 kg/cm² olarak bulunmuştur.

Buna göre, 3 farklı seviyede, fakat yaklaşık benzer petrografik özellikteki tüflerin teknolojik özelliklerinde önemli farklılıklar tespit edilmiştir:

Alttüfler, en düşük su emme ve porozite, orta düzeyde basınç dayanımı gösterirken, en yüksek birim ağırlıklara sahiptir.

Üsttüfler, orta düzeyde su emme ve porozite değerleri gösterirken, en yüksek basınç dayanımları bulunmuştur.

Turnatepe tüflerinde ise, en düşük birim hacim ağırlıkları ile basınç dayanımları izlenirken, en yüksek su emme ve porozite değerleri saptanmıştır.



3.4. KİMYASAL İNCELEME

Bigadiç ve Turnatepe 'den alınan örneklerin kimyasal özelliklerinin ve çözünmeyen kalıntı miktarlarının belirlenmesinde Balıkesir SET Çimento Fabrikası kimya laboratuvarlarından faydalanyılmıştır.

Kimyasal analizler X-Ray Spektrometre cihazı ile yapılmıştır (Çizelge 3.3). Analiz sayısının yetersiz olması nedeniyle, genel değerlendirme sınırları içinde, örneklerin nötr-asidik bir magmaya ait alkalilerce orta derecede zengin lökokratik piroklastik kayaçlar oldukları ileri sürülebilir.

Çizelge 3.3: Bigadiç ve Turnatepe Tüflerinin Kimyasal Analizleri, Kızdırma Kaybı ve Çözünmeyen Kalıntı Miktarları.

Numune Adı	SiO ₂	Al ₂ O ₃	Fe ₂ O ₃	CaO	MgO	SO ₃	K ₂ O	Na ₂ O	K.K	Total	Çöz. Kalıntı
Tülü Ovası (Üsttüf)	66.72	11.26	1.04	2.70	0.78	0	3.99	0.32	11.40	98.21	50.32
Dedeçınar (Alttüf)	60.73	14.13	4.41	4.26	1.68	0	2.94	1.49	8.17	97.76	58.70
Turnatepe ince taneli (Perlitik)	63.20	11.91	0.79	4.08	3.40	0	3.60	1.39	10.7	99.05	64.22
Turnatepe Breşik	56.59	16.02	5.59	5.59	3.41	0	2.21	2.42	5.60	97.39	81.86



BÖLÜM-4

PUZOLAN ve PUZOLANLI ÇİMENTOLAR

Bu bölümde, çalışmada kullanılan puzolanlar, bu puzolanlarla üretilen çimentolar, puzolanlar ve çimentolar üzerinde yapılan deneyler, deneylerde kullanılan malzemeler, aletler ve sonuçlar açıklanacaktır.

Zeolitik (Alttüf ve Üsttüf) ve perlitik (Turnatepe) puzolanları ve bunlara alternatif diğer çevre puzolanların puzolanik karakterlerinin araştırılabilmesi ve çimento katkı maddesi olarak değerlendirilebilmesi için, puzolanlar ve çimentolar üzerinde fiziksel, kimyasal, mineralajik testler yapılmıştır. Aynı çimentolar mekanik deneylere tabi tutulmuştur.

4.1. PUZOLANLAR

Araştırmada puzolan olarak Bigadiç volkanik tüfleri, (zeolitik üsttüf ve alttüfler) ve Turnatepe perlitik tüfleri incelenmiştir. Bu puzolanlara alternatif diğer çevre puzolanlarla da karşılaştırma yapılmıştır. Diğer alternatif puzolanlar Üçpınar Trası (fabrikaya 8 km), Pamukçu Trası (fabrikaya 12 km) ve Sultançayır Trası (fabrikaya 40 km)'dır.

Deneylerde kullanılan puzolanlar ocaklıdan temsili numune olacak şekilde seçilmiştir. Puzolanlar laboratuvara, varsa safsızlıklarını temizlendikten sonra çeneli kırıcıdan geçirilerek, 1 cm ve daha küçük boyutta kırılmıştır. Kırıcıdan geçirilen numuneler çeker oda sıcaklığı 24 saat kurutulmuştur. Kuru numunelerin hepsi 1.2 mm'lik elekten geçecek şekilde tekrar kırıcıdan geçirilmiş, dörtlenerek torbalanmış ve kullanıma hazır hale getirilmiştir. Torbalar normal şartlarda, rutubetsiz bir yerde saklanmıştır.

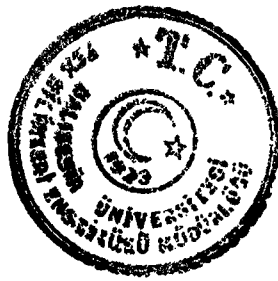
Puzolanlar üzerinde fiziksel, kimyasal deneyler ve puzolanik aktivite testleri Bahkesir SET Çimento fizik, kimya ve beton laboratuvarlarında yapılmıştır.

4.1.1. FİZİKSEL DENEYLER

Puzolanlarda; özgül ağırlık, incelik ($40, 90, 200 \mu$ elek üstü kalıntı), blaine (özgül yüzey) deneyleri ve öğütülebilirlik testleri yapılmıştır.

1- Özgül Ağırlık:

Özgül ağırlık için hacmi 50 ml olan cam balonlar kullanılmıştır. Öğütülebilirlik testinde hazırlanan inceliği 40μ elek üstü 25 ± 0.5 olan numunededen 0.01 g duyarlılık terazide 20 g alınarak, özgül ağırlık, gazayaında belirlenmiş ve aşağıdaki bağıntı ile hesaplanmıştır (TS 24).



$$d = \frac{m}{V_2 - V_1}$$

d = Özgül ağırlık (g/cm^3)
 m = Alınan kütle miktarı (g)
 V_2 = İlk okunan hacim (cm^3)
 V_1 = Son okunan hacim (cm^3)

2- İncelik:

İncelik için Alpin İncelik cihazı kullanılmıştır (Foto 4.1). 0.01 gr duyarlıklı terazide alınan 10 g numune, 10 mSS sabit basınç altında, önce 40 μ boyutlu elekte 3 dk elenir ve elek üstünde kalan miktar tartılarak % cinsinden belirlenir. Bu işlem kalan numune üzerinde 90 ve 200 μ 'luk elekler için tekrarlanır.

3- Özgül Yüzey (Blain):

Özgül yüzey için blain aleti kullanılmıştır (Foto 4.2). Alet, hava geçirgenliği prensibine dayanarak ince taneli malzemelerde özgül yüzeyi belirlemeye yarar. TS 24 'e göre özgül yüzey, 1 gram çimento içindeki tanelerin cm^2 olarak yüzeylerinin toplamıdır. Özgül yüzeyin belirlenmesi için, özgül ağırlığı belirlenen numuneden alınacak madde miktarı belirlenerek, blain aletinin numune hücresına yerleştirilir. Hücreden geçen hava akışına ve havanın viskozitesine bağlı olarak aşağıdaki formüle göre özgül yüzey (blain) hesaplanır (TS 24).

$$\text{Alınacak madde miktarı} = d \times 32.71$$

$$S = K \frac{\sqrt{e^3} \cdot \sqrt{t}}{d \cdot (1-e) \cdot \sqrt{\eta}}$$

S = Özgül yüzey (cm^2/g)
 K = Alet sabiti (kalibrasyon numunesine göre belirlenir)
 e = gözeneklilik (0.5)
 t = Havanın saniyedeki akışı (ölçülen akış süresi) (s)
 d = Çimento numunesinin özgül ağırlığı (g/cm^3)
 η = Hava viskozitesi (sıcaklığa bağlı olarak hava viskozitesinin değişimi)

4- Öğütülebilirlik Testi:

Öğütülebilirlik testi için 1.2 mm boyutunda hazırlanan numunelerden alınan 2 kg 'lık numune Linotex değirmende belirli zaman aralıklarında öğütülmüştür. Zaman aralığı 10 dakika olmak üzere ve her zaman sonu numunelerin incelikleri (40, 90, 200 μ), özgül ağırlık ve blainleri belirlenmiştir. İşlem 40 μ elek üstü % 25 ± 0.5 olduğunda bitirilmiştir.

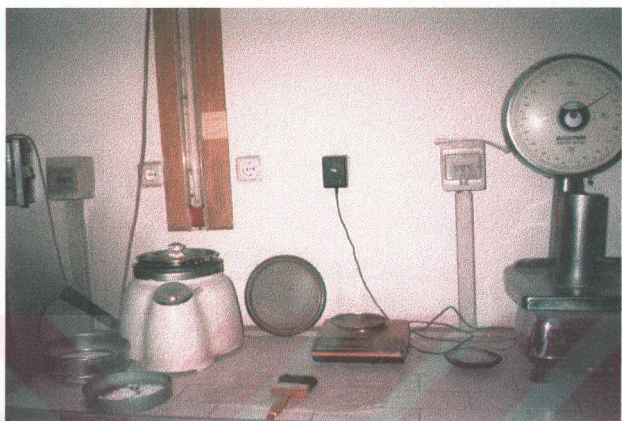


Foto 4.1: Alpin İncelik Cihazı.



Foto 4.2: Özgül Ağırlık ve Blain Aleti.



Çizelge 4.1, 4.2, 4.3, 4.4, 4.5, 4.6, 4.7 ve 4.8 'de puzolanların özgül ağırlık Blain, 90-200 μ elek analizi ve öğütülebilirlik test sonuçları verilmektedir.

Çizelge 4.1: Üstüfün Blain, Özgül Ağırlık ve Elek Analizi Sonuçları.

Zaman (dk)	40 μ	90 μ	200 μ	Öz. Ağ.	Blain
10	47.2	14.9	0.9	2.15	6605
20	30	3.1	0.1	2.1	8907
25	25.2	1.7	0.1	2.11	9762

Çizelge 4.2: Altıfün Blain, Özgül Ağırlık ve Elek Analizi Sonuçları.

Zaman (dk)	40 μ	90 μ	200 μ	Öz. Ağ.	Blain
10	65.7	39	6.2	2.38	3214
20	50.4	16.4	0.6	2.39	4532
30	37.6	5.8	0.2	2.37	4796
46	25.3	2.1	0.1	2.37	6809

Çizelge 4.3: Turnatepe Perlitik Puzolanının Blain, Özgül Ağırlık ve Elek Analizi Sonuçları.

Zaman (dk)	40 μ	90 μ	200 μ	Öz. Ağ.	Blain
10	71.4	53.6	29.9	2.38	3332
20	58.8	34.2	8.4	2.35	3775
30	46.2	15.2	1.2	2.32	5412
40	34.3	4.1	0.1	2.32	6025
45	29.6	2.3	0.1	2.26	6293
50	25.2	1.2	0	2.26	6463

Çizelge 4.4: Turnatepe Breşinin Blain, Özgül Ağırlık ve Elek Analizi Sonuçları.

Zaman (dk)	40 μ	90 μ	200 μ	Öz. Ağ.	Blain
10	70.7	51.3	29.7	2.58	2496
20	56.8	31.2	7.2	2.58	3586
30	44.7	13	0.7	2.57	4397
40	34	3.9	0.2	2.57	5062
45	29.8	2.3	0.2	2.57	5365
52	25.5	1.3	0.1	2.56	5805



Çizelge 4.5: Sultançayır Puzolanının Blain, Özgül Ağırlık ve Elek Analizi Sonuçları.

Zaman (dk)	40 μ	90 μ	200 μ	Öz.Ağ.	Blain
10	60.1	39.5	13.3	2.30	2775
20	45.1	16.8	1.5	2.31	3999
30	31.1	4.4	0.2	2.29	5042
38	25.3	1.6	0	2.29	5644

Çizelge 4.6: Pamukçu Üst Puzolanının Blain, Özgül Ağırlık ve Elek Analizi Sonuçları.

Zaman (dk)	40 μ	90 μ	200 μ	Öz.Ağ.	Blain
10	63.8	46.8	25.3	2.22	4628
20	52.5	28.9	6.2	2.23	5315
30	43.5	14.2	0.7	2.24	6902
40	34.9	6.2	0.1	2.16	7584
53	27.9	2.1	0.1	2.17	9072
60	23.5	1.2	0.1	2.20	10101

Çizelge 4.7: Pamukçu Alt Puzolanının Blain, Özgül Ağırlık ve Elek Analizi Sonuçları.

Zaman (dk)	40 μ	90 μ	200 μ	Öz.Ağ.	Blain
10	56.0	35.5	12.2	2.22	4628
20	41.8	15.6	1.4	2.20	6201
30	31.2	5.6	0.1	2.18	7235
39	25.1	2.2	0	2.18	8345

Çizelge 4.8: Üçpinar Puzolanının Blain, Özgül Ağırlık ve Elek Analizi Sonuçları.

Zaman (dk)	40 μ	90 μ	200 μ	Öz.Ağ.	Blain
10	68.5	39.2	13.5	2.17	2880
20	57.3	21.7	2.5	2.15	3578
30	46.9	10.4	0.7	2.15	4220
40	36.7	4.8	0.3	2.10	4522
55	25.2	1.8	0.2	2.14	5382



4.1.2. KİMYASAL DENEYLER

Puzolanlar üzerinde kimyasal olarak çözünmeyen kalıntı, kızdırma kaybı ve kızdırma kaybına bağlı olarak kimyasal analizler yapılmıştır.

1- Çözünmeyen Kalıntı:

Bu deney için 1 g toz numune alınır. Numune önce HCl asit ile tepkimeye sokularak, HCl 'de çözünen maddelerden ve HCl 'den saf su ile arındırılır geriye çözünmeyen silikat kalır. Kalan numune NaOH ile tepkimeye sokularak amonyum nitrat çözeltisi ile sızdırılır çözünen maddelerden arındırılır. Geriye kalan numune 1000°C 'de 1/2 saat yakalarak tartılır. Çözünmeyen kalıntı miktarı % olarak bulunur (Foto 4.3).

2- Kızdırma Kaybı:

Kızdırma kaybı için 0.0001 duyarlıklı hassas terazide alınan 1 g numune, platin krozede, 1000 °C 'de, sabit tartıma gelinceye kadar yaklaşık 25-30 dk yakılarak desikatörde soğutulur. Soğuyan numuneden tekrar tartım alınarak aşağıdaki formüle göre kızdırma kaybı % olarak belirlenir. Kızdırma kaybı sonucunda H₂O ve CO₂ ortamdan uzaklaştırılır.

$$K.K. = \frac{V_2 - V_3}{V_2 - V_1}$$

V₁ = Kap ağırlığı (g)

V₂ = Kap ağırlığı + numune ağırlığı (g)

V₃ = Kap ağırlığı + kızdırılmış numune ağırlığı (g)

K.K. = Kızdırma kaybı (%)

3- Kimyasal Analiz:

Puzolanların kimyasal analizi X-R Spektrometre cihazı ile yapılmıştır (Foto 4.4). Kızdırma kaybı belirlenen numuneden, kızdırma kaybına göre alınan numune miktarı fulorexle karıştırılıp ≈1100°C 'de ergitilerek perl dökülür (Foto 4.5 ve 4.6). Hazırlanan perllerin X-R Spektrometre cihazında kimyasal analizleri belirlenmiştir.

Çizelge 4.9 'da puzolanların kimyasal analizleri, kızdırma kaybı ve çözünmeyen kalıntı miktarları verilmiştir.

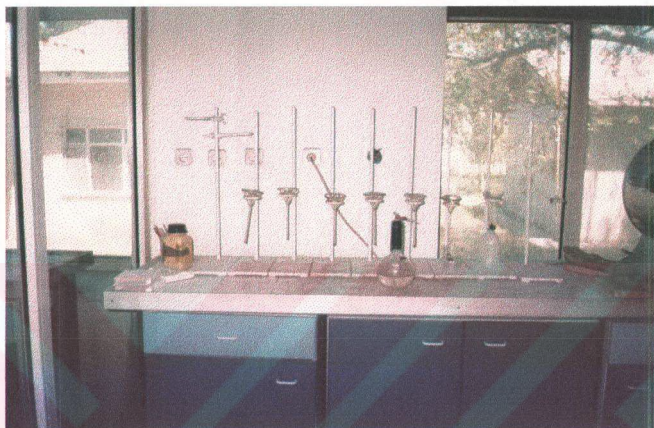


Foto 4.3: Çözünmeyen Kalıntı Deney Düzeni.



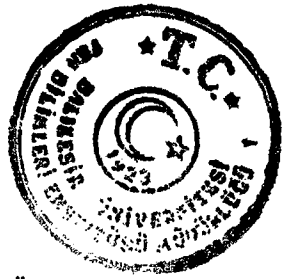
Foto 4.4: X-Ray Spektrometre Cihazı.



Foto 4.5: Perl Hazırlama Cihazı.



Foto 4.6: X-Ray Spektrometre İçin Hazırlanan Perller.



Çizelge 4.9: Puzolanların Kimyasal Analizleri, Kızdırma Kaybı ve Çözünmeyen Kalıntı Miktarları.

Numune	SiO ₂	Al ₂ O ₃	Fe ₂ O ₃	CaO	MgO	SO ₃	K ₂ O	Na ₂ O	K.K	Total	Çöz.K
Üsttüf	66.72	11.26	1.04	2.70	0.78	0	3.99	0.32	11.40	98.21	50.32
Alttüf	60.73	14.13	4.41	4.26	1.68	0	2.94	1.49	8.17	97.76	58.70
T.T.Perlitik	63.20	11.91	0.79	4.08	3.40	0	3.60	1.39	10.7	99.05	64.22
T.T.Breş	56.59	16.02	5.59	5.59	3.41	0	2.21	2.42	5.60	97.39	81.86
Sultançayır	72.52	12.29	0.70	1.16	0.07	0.02	4.97	2.16	5.88	99.77	77.73
Pamukçu Alt	70.68	11.71	0.59	2.1	0.98	0	5.11	0.51	6.1	97.78	61.49
Pamukçu Üst	71.1	11.48	0.64	2.08	0.64	0	5.4	0.91	5.93	98.18	59.5
Üçpinar	71.88	13.13	0.84	1.99	0.48	0	4.22	3.13	1.68	97.35	37.7

4.1.3. PUZOLANİK AKTİVİTE DENEYİ

Puzolanların aktivitesi TS 25 'e göre mekanik yolla belirlenmiştir. 4×4×16 cm 'lik 3 dikdörtgen pirizma veren standart kalıplara, puzolan, kireç, standart kum ve su ile hazırlanan harçların, üstü camla kapatılarak 1 gün (24 saat) normal şartlarda (%60 nem, 20±2°C sıcaklık), 6 gün 55°C 'lik etüvde olmak üzere bekletilerek 7 gün sonra eğilme ve basınç dayanımlarına bakılmıştır. Her numuneden birer kalıp (3 prizma) hazırlanmıştır.

Aktivite deneyinde gerekli puzolan (tras) ve su miktarı aşağıdaki formüllere göre hesaplanmıştır:

$$\text{Trasın özgül ağırlığı}$$

$$\text{Alınacak tras miktarı (g)} = 300 \times \frac{\text{Kireç özgül ağırlığı}}{\text{Kireç ağırlığı}}$$

$$\text{Alınacak su miktarı (cc)} = (\text{Tras miktarı} + \text{Kireç ağırlığı}) \times 0.5$$

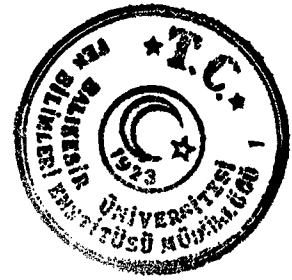
$$\text{Kireç özgül ağırlığı} = 2.20-2.22 \text{ g/cm}^3$$

$$\text{Kireç ağırlığı} = 150 \text{ g}$$

$$\text{Standart kum ağırlığı} = 1350 \pm 0.5 \text{ g}$$

Kullanılan kireçler; özel hazırlanmış, özgül ağırlığı belli ve inceliği puzolanın inceliğine yakın olan kireçlerdir. Kireç ağırlığı daima sabittir.

Harç üretimi TS 24 esas alınarak gerçekleştirildiği için özellikleri TS 819 'da belirtilen standart kum kullanılmıştır. Standart kum Trakya Çimento Sanayii T.A.Ş. SET Çimento Fabrikasından alınmıştır. Kumun bir torba ağırlığı NET=1350±0.5 g ve granülometrisi aşağıda belirtilen değerler arasındadır (Çizelge 4.10).



Çizelge 4.10: Standart Kumun Granülometrik Bileşimi.

Elek göz açıklığı	(mm)	2	1.60	1.00	0.50	0.16	0.08
Elek üzerinde kalan	(%)	0	8±2	33±2	67±2	87±2	98±2
Elekten geçen	(%)	100	92±2	67±2	33±2	13±2	2±2

Aktivite deneyinde traslara hesaplanan mikardan, harç kıvamına bakılarak, gerekliyse fazla veya daha az su ilave edilmiştir. Trasların hemen hepsi fazla suya ihtiyaç göstermektedir.

Çizelge 4.11 'de puzolanik aktivite için hazırlanan harç karışım miktarları ve Çizelge 4.12 'de harçlar üzerinde 7. gün sonundaki eğilme ve basınç mukavemeti değerleri verilmiştir.

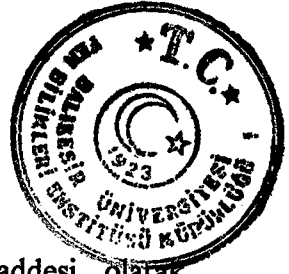
Çizelge 4.11: Puzolanik Aktivite Harç Karışım Miktarları.

Numune Adı	Puzol. Öz.Ağ. (g/cm ³)	Kireç Öz.Ağ. (g/cm ³)	Puzolan (g)	Kireç (g)	Kum (g)	Su (cc)	±Su (cc)
Üsttuf	2.11	2.20	288	150	1350	219	+70
Alttuf	2.37	2.20	323	150	1350	236	+30
T.T.Perlitik	2.26	2.22	308	150	1350	229	-5
T.T.Breş	2.56	2.20	349	150	1350	250	+10
Sultançayır	2.29	2.20	310	150	1350	230	+12
Pamukçu Alt	2.18	2.20	297	150	1350	223	+30
Pamukçu Üst	2.20	2.20	300	150	1350	225	+35
Üçpinar	2.48	2.20	338	150	1350	244	-3

Çizelge 4.12: Puzolanik Aktivite, Eğilme ve Basınç Mukavemeti Değerleri.

Numune Adı	Eğilmede Çekme Mukavemeti (kg/cm ²)	Basınç Mukavemeti (kg/cm ²)
Üsttuf	28	99
Alttuf	27	100
T.T.Perlitik	27	106
T.T.Breş	24	98
Sultançayır	25	82
Pamukçu Alt	26	92
Pamukçu Üst	30	98
Üçpinar	13	55

Çizelge 4.12 'de puzolanların mukavemetlerinin minimum değerden büyük olduğu görülmektedir.



4.2. PUZOLANLI ÇIMENTOLAR

Daha önce özellikleri belirlenen puzolanların; çimento katkı maddesi olarak değerlendirilebilmesi, beton özelliklerinin araştırılabilmesi ve işletme koşullarında bir optimum değer elde edilebilmesi için değişik katkı gruplarında hazırlanan çimentolar 3 grupta incelenmiştir.

1- Alttüf, Üsttüf, Turnatepe puzolanları ve bunlara alternatif diğer çevre puzolanlarının çimento katkı malzemesi olarak değerlendirilmesi amaçlanmıştır. Bunun için katkı oranları %24, %26, %28 olan çimentolar hazırlanmıştır.

2- Üsttüf ve Alttüfün (zeolitik tüfler) birlikte kullanımında, bir optimum değer belirlenmesi amaçlanmıştır. Bunun için katkı oranları %24, %26, %28 olan üç grup çimentonun her grubu aşağıdaki karışım oranlarında hazırlanmıştır.

%75 Alttüf + %25 Üsttüf,	%100 Alttüf
%50 Alttüf + %50 Üsttüf,	%100 Üsttüf
%25 Alttüf + %75 Üsttüf	

3- Turnatepe sahasındaki Perlitik puzolanın yanında, breşlerin de katkı malzemesi olarak değerlendirilebilmesi amaçlanmıştır. Bunun için katkı oranları %24, %26, %28 olan çimentoların her grubu aşağıdaki katkı oranlarında hazırlanmıştır.

%50 T.T.Perlitik + %50 T.T.Breş
%75 T.T.Perlitik + %25 T.T.Breş
%50 T.T Perlitik + %25 T.T.Breş + %25 Üsttüf

Puzolanlı çimentolar (Traslı Çimentolar) yukarıda belirtilen katkı oranlarına göre; klinker + puzolan + alçıtaşı ile TS 24, 26, 687,10156 standartlarına uygun hazırlanmıştır.

1.2 mm elek boyutundan daha küçük olan bu üç grup malzeme, belirlenen % oranlarına göre, homojen karıştırılarak, Linatex dejirmende SET Çimento işletme koşullarına uygun olarak, 40μ elek üstü $\%25 \pm 0.5$ inceliğe kadar öğütülmüştür. Her numune için dejirmende öğütme süresi yaklaşık 30 dk kadardır. İnceliği sınır değer dışında ki bazı çimentolar olduğu gibi kullanılmıştır.

Her grup çimentonun hazırlanmasında kullanılan klinkerler kovalı banttan alınmıştır. İyi pişmiş bir klinkerde (10 mm 'lik elek altı - 5 mm 'lik elek üstü malzeme), dansite 1150-1250 arasında olmalıdır (dansite 1 lt 'de klinkerin g olarak ağırlığıdır). Klinkerlerin önce kimyasal analizi, kuhl, C₃S, C₂S, C₃A ve C₄AF değerleri X-R Spektrometre cihazı ile belirlenerek; C₃S ≈ %50, C₃A ≈ %10 oranını sağlayan örnekler seçilmiştir. Klinker kullanılmadan önce kricidan geçirilerek 1.2 mm 'lik elekten geçecek boyuta indirilmiştir.

Alçıtaşı Ankara-Bala alçıtaşıdır. 1.2 mm 'den küçük boyuta indirgenerek kimyasal analizi X-R Spektrometre cihazı ile belirlenmiştir. SO₃ miktarı ≈ %45 olmalıdır.



Çimentolara katılan alçıtaşı miktarı %3-%6 arasında değişmektedir. Bu değerler alçıtaşı ile klinker arasında yapılan, optimizasyona göre seçilir. Çimentoların hazırlanmasında kullanılan puzolanlar ise, bölüm 4.1 'de açıklanmıştır.

Çimentoların hazırlanmasında kullanılan malzemelerin kimyasal analizleri her grubun çimento ve beton deneyleri sonuçlarıyla birlikte verilmiştir.

Hazırlanan bütün test çimentoları üzerinde kimyasal, fiziksel deneyler, çimento hamur deneyleri ve mekanik deneyler yapılmıştır. Deneylerin yapımı Balıkesir SET Çimento kimya, fizik ve beton laboratuvarlarında gerçekleştirilmiştir.

4.2.1. KİMYASAL DENEYLER

1- Kızdırma Kaybı ve Çözünmeyen Kalıntı Tayini:

Kızdırma kaybı ve çözünmeyen kalıntı tayinleri bölüm 4.1.2 'de anlatıldığı gibi yapılmıştır.

2- Serbest Kireç (S.CaO) Tayini:

1 gr çimento numunesi 70°C 'de 50 cc etilen glikolle 1/2 saat otomatik olarak karıştırılır. Cam bir huniye kalın altta, ince üstte olmak üzere iki tane daire kesitli süzgeç kağıdı konularak, emiş yapan bir motor vasıtıyla karışım süzülür. Süzülen sıvı, önceden hazırlanmış Bromkrosel yeşilli ile (birkaç damla) mavi renk alıncaya kadar karıştırılır. Mavirenkli karışım, zümrüt yeşili renk alıncaya kadar titrasyon aletiyle E.D.T.A çözeltisi eklenerek karıştırılır. Titrasyon aletinden okunan değer 0.28 katsayısıyla çarpılarak % S.CaO tayin edilir.

S.CaO 'din 1.3-1.8 değerleri arasında olması istenir. Pratikte bu değe %3 'e kadar alınabilmektedir.

$$V \times 0.28 \times F$$

$$\% \text{ S.CaO} = \frac{\text{Sayaçtan okunan değer} \times 0.28}{N} \text{ veya } \% \text{ S.CaO} = \dots$$

formülüyle de hesaplanabilir.

Bromkrosel yeşili = 100 cc etil alkole, 1 g toz numune karıştırılarak hazırlanır.
E.D.T.A. = 8.28 cc HCl asite 1 litreyi tamamlayıncaya kadar saf su ilave edillir.

S.CaO otomatik olarak, çimento degirmenine bağlı Serbet Kireç cihazıyla da ölçülmektedir.

3- X-Ray Spektrometre ile element oksitleri yüzdesi belirlenmiştir.



4.2.2. FİZİKSEL DENEYLER

1-Elek Analizi:

40, 90 ve 200 μ elek üstü analizleri Alpin incelik cihazı ile yapılmıştır.

2- Özgül Ağırlık ve Özgül Yüzey :

Bütün test çimentolarının özgül ağırlıkları gazyağında ve özgül yüzeyleri Blain aletinde belirlenmiştir.

4.2.3. HARÇ DENEYLERİ

Harç deneyleri çimento hamuru üzerine yapılan deneyler ve mekanik deneyler olmak üzere iki kısımda incelenmiştir. Harç deneyleri Balıkesir SET Çimento beton deney laboratuvarında yapılmıştır.

4.2.3.1. ÇIMENTO HAMURU ÜZERİNE YAPILAN DENEYLER

Çimento ve suyla hazırlanan çimento hamuru; çimentoların normal kıvam tayini, donma başı-sonu ve hacim genleşme deneylerinin yapımında kullanılır.

1- Normal Kıvam Tayini:

TS 24 'de yapılan tarife göre normal kıvam, vicat aletinin sondasının, serbest bırakıldığı andan itibaren yarı dakika içinde çimento hamuru içine, cam levhaya 5-7 mm uzaklık kalıncaya kadar batabilmesini sağlayan kıvamıdır. Bunun için 0.1 g duyarlıklı terazide tartılan 450 g çimento ve çimento kütlesinin %25-%30 'u kadar içilebilir su, karıştırılarak çimento hamuru yapılır. Hamur 25-30 cm çap, 8 cm derinliğinde koni kesmesi şeklinde ve altına 12x12 cm boyutlarında cam bir levha konulan ebonit kaba düzgünce, içinde hava kalmayacak şekilde, üstü bir spatulla düzeltilerek yerleştirilir. Kap, ucu temiz vicat sondasına konulur. Kıvam suyu yeterli ise vicat sondası, cama, yarı dakika da, 5-7 mm mesafe kalıncaya kadar iner. Değilse bu işlem değişik su miktarlarında tekrarlanarak çimento için gereken su miktarı tespit edilir.

2- Piriz Başlama ve Sona Erme Süreleri:

Piriz Başlama Süresi (Donma Başı) (TS 24)

Çimento ile suyun karıştırıldığı andan itibaren vicat iğnesinin cam levhaya 3-5 mm uzaklık kalıncaya kadar kadar inmesine sebep olan kıvama ulaşması için geçen süredir.

Piriz Sona Erme Süresi (Donma Sonu) (TS 24)

Piriz bitme süresi, çimento ile suyun karıştırıldığı andan itibaren vicat iğnesinin hamura 1 mm 'den fazla giremeyeceği kıvama ulaştığı ana kadar geçen zamandır.



Donma başı ve sonu için kıvam belirlemede kullanılan numunenin üstü tekrar spatulla düzeltilerek elle veya otomatik çalan vicat iğnesine yerleştirilir. İğne her iğne de 5 dakikada bir hamur yüzeyinden serbest olarak hamur içine bırakılır. Batma miktarının cam yüzeyinden 3-5 mm uzaklıktaki kaldığı an priz başlangıcı ve geçen süre priz başlama süresidir. Priz başlangıcından sonra iğne elle her onbeş dakikada bir hamur yüzeyinden düşürülür (iğne bir kez battığı yere birdaha batmamalıdır). Hamura, iğnenin 1 mm 'den fazla giremediği an, priz sonu ve geçen süre, priz sona erme süresidir. Priz başı ve sonu otomatik vikat aleti ile belirlenmiştir. TS 24 'e göre priz süresi 1 saatten az 10 saatten çok olmamalıdır.

3- Hacim Genleşmesi Tayini:

Çimento hacminin değişimi TS 24 'e göre pirinçten yapılmış Le Chatelier aleti ile tayin edilir. Aletin et kalınlığı 0.5 mm, iç çapı ve yüksekliği 30 mm 'dir. Silindirik halka ekseni doğrultusunda yarıktır. Yarığın her iki tarafına ve silindirin tam ortasına gelmek üzere 150 mm uzunluğunda iki çubuk lehimlenmiştir.

Deney için; normal kıvam deneyi için hazırlanan çimento hamurundan 20-30 g alınır. Le Chatelier halkasının altına bir cam levha konarak (halkanın içi ince bir yağıla yağılanır) hava boşluğu en az olacak şekilde hamur halkaya yerleştirilir. Hamurun üstü bir spatulla düzeltilerek cam levhayla kapatılır. Çubuk uçları arasındaki açıklık 0.1 mm hassasiyette ölçülerek (a) halkalar $20\pm2^{\circ}\text{C}$ olan su içine bırakılır. Hamur kalıba konulduktan 24 saat sonra çubuk uçları açılığı tekrar ölçülür (b). Halkalar cam levhalardan ayrılarak 30-45 dk içinde kaynamaya başlayacak suya, çubukları yukarı gelecek şekilde daldırılır. Kaynama 4 saat devam eder ve kaynayan suyun buharlaşip uçmaması için ağızı kapatılır. 4 saat kaynama sonunda numuneler laboratuvar sıcaklığına kadar soğutularak çubuk uçlarının açılığı tekrar ölçülür (c). Toplam hacimsel genleşme katsayısı 10 mm 'i geçmemelidir

(b-a) (c-b) ve (c-a) mm cinsinden ayrı ayrı hesaplanır.

(c-a) = Toplam hacim genleşmesi.

$b-a \leq 4 \text{ mm}$ $c-a \leq 10 \text{ mm}$ olmalıdır.

24 saat su içinde kalan çimento hamurunda bulunan CaO 'nun su ile yaptığı reaksiyon sonunda hamurun hacminde bir artış olmuştur. Bu sebeple (b) değeri (a) dan büyüktür ve (b-a) farkı çimento içinde bulunan sönmemiş kireç hakkında fikir verir. Çimento hamuru kaynar su içinde bulunduğu sırada MgO su ile reaksiyon yaparak CaO gibi hamur hacminin artmasına neden olacaktır.

Hazırlanan bütün test çimentolarında aynı deneyler yapılmış ve sonuçlar beton deney sonuçlarıyla birlikte verilmiştir.



4.2.3.2. MEKANİK DENEYLER

Mekanik deneyler eğilmede çekme ve basınç mukavemeti deneyleri olmak üzere ikinci kısımda incelenmiştir. Bu deneyler TS 24 'e göre 2, 7 ve 28 günlük kürleri tamamlanan $4 \times 4 \times 16$ cm 'lik dikdörtgen harç prizmaları üzerinde yapılmıştır.

Harçlar; hazırlanan puzolanlı çimentolar, standart kum ve çeşme suyu kullanılarak üretilmiştir. TS 24 'de harç karışım oranları 1 kısım çimento, 1/2 kısım su ve 3 kısım standart kum olarak belirtilmiştir. Bu oranlara göre;

$450 \text{ g çimento} + 225 \text{ g su} + 1350 \text{ g kum} = 1 \text{ standart kalıp (3 dikdörtgen prizma) için gerekli malzeme miktarıdır.}$

Malzeme tartımları 1 g hassasiyetli terazide yapılmıştır. Malzemeler özel karıştırıcı (Foto 4.7) ile önce su, daha sonra çimento katılarak düşük hızda 30 s karıştırılmış 30 s sonunda özel torbalarda 1350 g olarak bulunan kum da yavaş yavaş katılarak 30 s daha düşük hızda devam edilmiştir. 1 dk sonunda karıştırıcı yüksek hızda 30 s çalıştırılarak numune 90 s kauçuk başlıklı bir çubuk ile elle ve tekrar 90 s yüksek hızda karıştırıcı ile karıştırılmıştır. Karıştırma işlemi toplam 4 dk sonunda bitmiş olmalıdır.

Karıştırıcıdan alınan harç, bir numune boyutu $4 \times 4 \times 16$ cm olan üç numunelik özel çelikten yapılmış kalıplara iki tabaka halinde yerleştirilir (Foto 4.8). İlk tabakası (harcın yarısı) yerleştirilen kalıp, kalıp başlığı takılarak 1 dk 'da 60 sarsma yapan sarsma tablasında 1 dk sarsılır. Sarsma tablasından alınarak ikinci tabaka (harcın kalanı) yerleştirilen kalıp tekrar sarsma tablasında 1 dk sarsılır (Foto 4.9). Sarsma işlemi tamamlandıktan sonra kalıp başlığı çıkarılarak harcin fazlası metal bir mastar ile düzlenerek üzeri cam bir levhayla kapatılır. Kalıplar numaralanarak $20 \pm 2^\circ\text{C}$ sıcaklık ve %90 nisbi nem olan rutubet dolabına yerleştirilir (Foto 4.10).

Dökümden itibaren 24 saat sonra kalıpları sökülen numuneler numaralanarak $20 \pm 2^\circ\text{C}$ 'lik içilebilir çeşme suyunda kırılacakları güne kadar bekletilir. Kırmış işlemleri dökümden itibaren 2, 7 ve 28. gün sonunda yapılmıştır.

Döküm sırasında üstte gelen yüzeyler, bekletilme sırasında da üstte getirilmiş ve prizmalar su içinde bütün yüzeyleri su ile temas edecek şekilde bekletilmiştir. Bekleme suyu her 14 günde bir değiştirilmiştir. Prizmalar deneylerden 15 dk önce sudan çıkarılıp bir bezle kurulandıktan sonra, eğilmede çekme ve basınç mukavemeti testleri yapılmıştır. Deneyler $20 \pm 2^\circ\text{C}$ sıcaklık ve %50-%60 bağıl nem olan odada yapılmıştır. Her bir numune için bir kalıp (3 prizma) hazırlanmış ve bu üç prizmadan alınan sonuçların ortalaması gerçek değer olarak alınmıştır.

1- Eğilmede Çekme Mukavemeti Deneyi:

Egilmede çekme aletinin duyarlılığı, 1000 kgf 'den daha az yüklerde %1, daha büyük yüklerde ise %0.8 olmalıdır. Eğilmede çekme aletinin yükleme düzeni birbirinden 100 ± 0.5 mm uzaklıktta olan 10 mm çaplı iki destek silindirden ibarettir (Foto 4.11). Bu iki silindirin tam orta yerinde üçüncü bir yükleme silindiri vardır. Bu üç silindirin



eksenlerinden geçen düşey düzlemler birbirine paralel olmalı ve denge süresince paralel kalmalıdır (TS 24).

Prizmalar, yan yüzeylerinden biri üzerine ve uzunluğuna eksenin destek silindirler üzerine konur. P yükü, yükleyici silindirler vasıtası ile karşı yüzden dik olarak uygulanır. Yükleme hızı saniyede 5 ± 1 kgf (50 ± 10 N) olacak şekilde ayarlanmalıdır. Eğilmede çekme dayanımı (G_R) aşağıdaki bağıntıyla göre hesaplanabilir.

$$G_R = 1.5 \frac{P \times L}{b^3}$$

b=Prizmanın kare kesitinin kenar uzunluğu (cm)
P=Prizmanın ortasına uygulanmış kuvvet (kgf)
L=Destek silindirin eksenleri arasındaki uzaklık (10 cm)
 G_R =Egilmede çekme dayanımı (mukavemeti) (kgf/cm^2)
(N/mm^2)

2 - Basınç Mukavemeti Deneyi:

Egilmede çekme deneyinde iki parçaya bölünmüş yarımpirimalar, 4×4 cm 'lik kırma başlığı ile, yan yüzleri üzerinde basınç uygulanarak kırılır (Foto 4.12). Yükleme, basınç saniyede $10-20 \text{ kgf}/\text{cm}^2$ artacak şekilde yapılmalı ve kırma süresi 10 s 'den az olmamalıdır. 6 numuneden alınan sonuçların ortalaması bize o numunenin basınç değerini verir.

Egilmede çekme ve basınç mukavemeti deney sonuçları, aşağıda, çimento deney sonuçlarıyla bir arada verilmektedir.

4.2.4. PUZOLANLI ÇIMENTO DENEY SONUÇLARI

3 grup halinde hazırlanan çimentoların, bunlar üzerinde yapılan analizlerin ve oluşturulan harçların deney sonuçları her grup için ayrı ayrı verilecektir.

Tüm çimento numunelerinde daha önce yapım şartları ve şekilleri açıklanan aşağıdaki deneyler yapılmıştır;

X-R spektrometre ile kimyasal analiz,

Kızdırma kaybı ve çözünmeyen kalıntı tayinleri,

200, 90 ve 40μ elek analizleri ve özgül yüzey tayinleri,

Su alma, donma başı-sonu ve hacim genleşme tayinleri,

2,7 ve 28 günlük eğilmede çekme ve basınç mukavemeti testleri.

1- Zeolitik (Alttüp ve Üsttüp), perlitik (Turnatepe) ve diğer alternatif çevre puzolanlarının çimento katkı malzemesi olarak değerlendirilmesi araştırılmıştır. Tras katkı oranları SET Çimento işletme koşullarına paralellik sağlanabilmesi için %24, %26 ve %28 olmak üzere üç grupta yapılmıştır.

Kovalı banttan üretim sırasında alınan klinkerle alçıtaşı arasında yapılan optimizasyona göre alçıtaşı miktarı %4 olarak belirlenmiştir. Çimento karışımlarında, alçıdan ve klinkerden gelecek SO_3 miktarı yaklaşık %2.2 olması sağlanmıştır. Her çimento numunesinden 1800 g hazırlanmıştır.

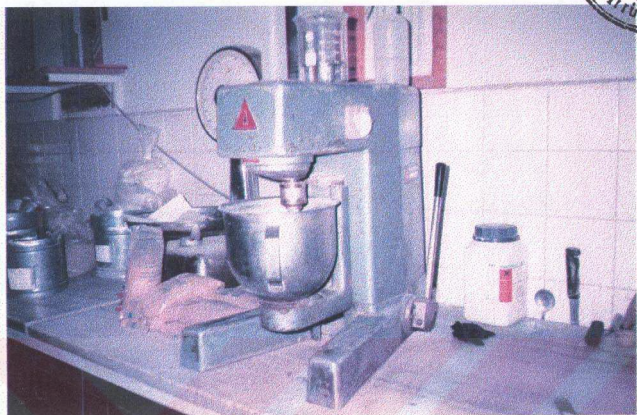


Foto 4.7: Otomatik Harç Karıştırıcı.



Foto 4.8: Otomatik Sarsma Tablosu ve Standart Kalıplar.



Foto 4.9: Otomatik Sarsma Tablası.



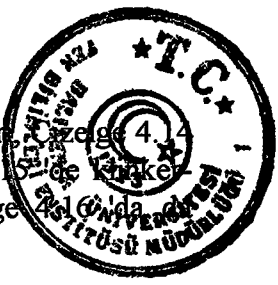
Foto 4.10: Rutubet Dolabı.



Foto 4.11: Eğilmede Çekme Mukavemeti Cihazı.



Foto 4.12: Basınç Mukavemeti Cihazı.

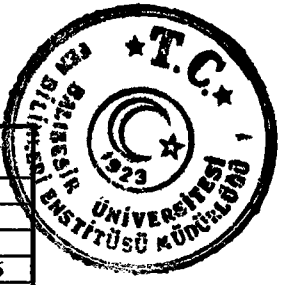


Çizelge 4.13 'de çimentoların hazırlanmasında kullanılan malzeme miktarları, Çizelge 4.15'te klinker-alçitaşı-hazırlanan çimentoların kimyasal analizleri, Çizelge 4.16'te klinker-alçitaşı-hazırlanan çimentoların elek analizleri ve bland değerleri, Çizelge 4.17'de çimento hamur ve harç deney sonuçları verilmiştir.

Çizelge 4.13: Çimentoların Hazırlanmasında Kullanılan Malzeme Miktarları.

* Her bir puzolandan 2000 g numune alınmıştır. K = Klinker A = Alçitaşı

Numune Adı	Klinker (g)	Katkı (g)	Alçitaşı (g)	Toplam (g)
Klinker				40000
Alçitaşı				2000
Puzolan		2000*		14000
%72K+%4A+%24 Üstlüf	1296	432	72	1800
%70K+%4A+%26 Üstlüf	1260	468	72	1800
%68K+%4A+%28 Üstlüf	1224	504	72	1800
%72K+%4A+%24 Altluft	1296	432	72	1800
%70K+%4A+%26 Altluft	1260	468	72	1800
%68K+%4A+%28 Altluft	1224	504	72	1800
%72K+%4A+%24 TT Perlitik	1296	432	72	1800
%70K+%4A+%26 TT Perlitik	1260	468	72	1800
%68K+%4A+%28 TT Perlitik	1224	504	72	1800
%72K+%4A+%24 Sultançayır	1296	432	72	1800
%70K+%4A+%26 Sultançayır	1260	468	72	1800
%68K+%4A+%28 Sultançayır	1224	504	72	1800
%72K+%4A+%24 Pamukçu Alt	1296	432	72	1800
%70K+%4A+%26 Pamukçu Alt	1260	468	72	1800
%68K+%4A+%28 Pamukçu Alt	1224	504	72	1800
%72K+%4A+%24 Pamukçu Üst	1296	432	72	1800
%70K+%4A+%26 Pamukçu Üst	1260	468	72	1800
%68K+%4A+%28 Pamukçu Üst	1224	504	72	1800
%72K+%4A+%24 Üç Pınar	1296	432	72	1800
%70K+%4A+%26 Üç Pınar	1260	468	72	1800
%68K+%4A+%28 Üç Pınar	1224	504	72	1800



Çizelge 4.14: Hazırlanan Çimentoların Kimyasal Analizleri.

	K.K	SiO ₂	Al ₂ O ₃	Fe ₂ O ₃	CaO	MgO	SO ₃	K ₂ O	Na ₂ O	Toplam	Ç.K
Klinker	0.08	21.10	5.61	3.57	64.08	1.86	0.48	1.22	0.58	98.71	
Alçı	21.1	0.45	0.07	0.03	32.03	0	44.18	0.25	0	98.07	
Klink+Alçı	1.14	20.43	5.80	3.43	33.05	1.75	2.33	1.15	0.27	99.15	
%624 ÜT	3.23	31.02	6.93	2.81	49.04	1.45	2.23	1.84	0.33	98.97	10.6
%626 ÜT	3.51	32.04	7.05	2.75	47.73	1.41	2.23	1.90	0.31	98.93	11.6
%628 ÜT	3.65	32.88	7.15	2.73	46.66	1.41	2.22	1.96	0.34	98.95	13.55
%624 AT.	3.32	29.56	7.29	3.37	49.18	1.66	2.23	1.41	0.37	98.39	10.86
%626 AT.	3.82	30.36	7.45	3.35	48.26	1.69	2.25	1.44	0.58	99.20	12.05
%628 AT.	4.06	31.55	7.60	3.34	46.80	1.64	2.22	1.47	0.45	99.13	13.27
%624 TTP.	2.93	29.71	6.89	2.83	49.71	2.11	2.23	1.76	0.52	98.69	14.08
%626 TTP.	3.08	30.50	7.02	2.79	48.84	2.15	2.24	1.82	0.52	98.96	15.31
%628 TTP.	3.25	31.34	7.11	2.78	47.29	2.19	2.23	1.88	0.59	98.66	15.99
%24 S.C.	2.26	31.85	7.08	2.96	48.49	1.03	2.36	1.84	0.71	98.58	17.20
%26 S.C.	2.31	32.66	7.22	2.91	47.39	1.03	2.36	1.90	0.72	98.51	18.32
%28 S.C.	2.43	33.82	7.32	2.83	46.00	1.00	2.35	2.00	0.81	98.56	19.78
%24 P.A.	3.05	31.46	6.95	2.74	48.07	1.42	2.22	2.03	0.40	98.94	15.73
%26 P.A.	3.24	32.76	7.13	2.68	46.31	1.39	2.21	2.12	0.35	96.69	17.18
%28 P.A.	3.46	32.62	7.04	2.61	45.43	1.32	2.15	2.22	0.33	97.18	18.75
%24 P.U.	3.20	31.46	6.85	2.72	46.02	1.31	2.17	2.13	0.42	98.16	14.71
%26 P.U.	3.27	32.46	7.02	2.69	47.14	1.34	2.13	2.21	0.44	99.28	15.77
%28 P.U.	3.40	34.13	7.20	2.61	45.74	1.30	2.21	2.33	0.42	99.34	16.36
%24 Ü.P.	1.30	32.49	7.41	2.83	48.51	1.29	2.21	1.85	0.39	98.73	20.91
%26 Ü.P.	1.32	33.68	7.57	2.70	47.14	1.26	2.23	1.92	1.01	98.90	22.41
%28 Ü.P.	1.35	34.66	7.71	2.72	45.35	1.25	2.22	1.97	1.04	98.78	24.55

Çizelge 4.15: Hazırlanan Çimentoların Elek Analizleri ve Blain Değerleri.

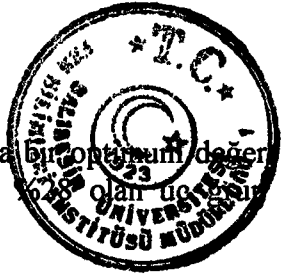
Numune Adı	200 μ	90 μ	40 μ	Blain
Klink+Alçtası	0	0.7	18.2	2588
%24 ÜT	0	1.8	25.1	5603
%26 ÜT	0	1.5	24.4	5899
%28 ÜT	0	1.5	23.9	6035
%24 AT.	0	1.5	25.2	4387
%26 AT.	0	1.8	25.7	4440
%28 AT.	0.1	1.7	25.9	4702
%24 TTP.	0	1.5	24.4	3485
%26 TTP.	0	1.5	24.3	3493
%28 TTP.	0	1.4	23.7	3735
%24 S.C.	0	1.1	24.5	3336
%26 S.C.	0	1.1	24.9	3357
%28 S.C.	0	1.1	24.6	3531
%24 P.A.	0.1	1.3	25.2	4518
%26 P.A.	0.1	1.1	25.3	4861
%28 P.A.	0.1	1.3	25.4	5115
%24 P.U.	0.1	1.5	26.6	4754
%26 P.U.	0	0.8	23.6	5030
%28 P.U.	0.1	1	25.0	5134
%24 Ü.P.	0.1	1.1	25.4	3618
%26 Ü.P.	0.1	1.3	26.2	3917
%28 Ü.P.	0.1	1.3	24.5	3861



Çizelge 4.16: Hamur ve Harç Karışım Sonuçları.

ÜT= Üstlüf PÜ = Pamukçu Üst SÇ = Sultançayır
 AT = Altüyüf PA = Pamukçu Alt ÜP = Üçpınar

Numune Adı	Hamur Değerleri				Harç Değerleri					
	Su (%)	D.Başı (St-dk)	D.Sonu (St-dk)	Hacim Genleş. (mm)	Eğilme M. (kg/cm ²)			Basınç M. (kg/cm ²)		
					2 Gün	7 Gün	28 Gün	2 Gün	7 Gün	28 Gün
Klink+Alçıta.	27.5	1.55	2.40	0+1				191	370	525
%24 ÜT	32	3.10	4.25	1+0				97	211	478
%26 ÜT	33	3.20	4.50	0+0				96	208	482
%28 ÜT	33	3.15	4.30	1+0				92	200	471
%24 AT	28.5	3.35	5.10	0+1				96	204	438
%26 AT	28	3.30	5.45	1+1				89	188	403
%28 AT	28.5	3.45	5.25	1+1				81	181	402
%24 TTP	26.5	3.15	5.00	3+0				108	233	384
%26 TTP	27.5	3.10	5.00	2+1				102	225	366
%28 TTP	28	3.00	4.50	3+1				97	215	352
%24 SÇ	29	1.55	2.30	1+1	34	46	73	146	230	416
%26 SÇ	28	1.70	2.50	1+0	33	50	75	139	261	400
%28 SÇ	29.5	2.00	2.60	1+1	31	51	73	128	254	392
%24 PA	32.5	3.00	4.25	0+1				108	226	438
%26 PA	32.5	3.20	4.50	0+1				99	212	413
%28 PA	33	3.15	4.55	0+1				97	206	405
%24 PÜ	31	2.45	3.50	0+1				111	226	431
%26 PÜ	31.5	2.55	4.25	0+1				115	243	463
%28 PÜ	32	3.00	4.10	0+1				102	216	448
%24 ÜP	28.5	2.35	3.50	1+1				124	241	361
%26 ÜP	28.5	3.00	4.10	0+1				124	232	342
%28 ÜP	31	3.10	4.00	0+1				116	220	342



2- Üstlüf ve Alttüfün birlikte kullanımı için değişik katkı oranlarında bir optimum değeri belirlenmesi amaçlanmıştır. Bunun için katkı oranları %24, %26, %28 olmak üzere çimentonun her grubu aşağıdaki karışım oranlarında hazırlanmıştır.

- %50 Alttüf + %50 Üstlüf, %100 Alttüf
- %75 Alttüf + %25 Üstlüf, %100 Üstlüf
- %25 Alttüf + %75 Üstlüf

Kovalı banttan alınan klinker ve alçıyla yapılan optimizasyona göre, alçı miktarı %6 olarak belirlenmiştir. Her çimento numunesinden 2000 g hazırlanmıştır.

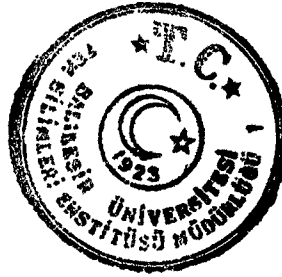
Çizelge 4.17 'de çimentoların hazırlanmasında kullanılan malzeme miktarları, Çizelge 4.18 'de klinker-alçıtaşı-hazırlanan çimentoların kimyasal analizleri, Çizelge 4.19 'da klinker-alçıtaşı-hazırlanan çimentoların elek analizleri ve blind değerleri, Çizelge 4.20 'de de çimento hamur ve harç deney sonuçları verilmiştir.

Çizelge 4.17: Çimentoların Hazırlanmasında Kullanılan Malzeme Miktarları.

* Her puzolandan 2000 g numune alınmıştır.

K = Klinker A = Alçıtaşı AT = Alttüf ÜT = Üstlüf

Numune Adı	Numunelerin % Miktarları	Klinker (g)	Alttüf (g)	Üstlüf (g)	Alçıtaşı (g)	Toplam (g)
Klinker						35000
Alçıtaşı						3000
Puzolan		2000*	2000			12000
%24-Z1	%70K+%6A+%24AT	1400	480	0	120	2000
%24-Z2	%70K+%6A+%18AT+%6ÜT	1400	360	120	120	2000
%24-Z3	%70K+%6A+%12AT+%12ÜT	1400	240	240	120	2000
%24-Z4	%70K+%6A+%6AT+%18ÜT	1400	120	360	120	2000
%24-Z5	%70K+%6A+%24ÜT	1400	0	48	120	2000
%26-Z6	%68K+%6A+%26AT	1360	520	0	120	2000
%26-Z7	%68K+%6A+%19.5AT+%6.5ÜT	1360	390	130	120	2000
%26-Z8	%68K+%6A+%13AT+%13ÜT	1360	260	260	120	2000
%26-Z9	%68K+%6A+%6.5AT+%19.5ÜT	1360	130	390	120	2000
%26-Z10	%68K+%6A+%26ÜT	1360	0	520	120	2000
%28-Z11	%66K+%6A+%28AT	1320	560	0	120	2000
%28-Z12	%66K+%6A+%21AT+%7ÜT	1320	420	140	120	2000
%28-Z13	%66K+%6A+%14AT+%14ÜT	1320	280	280	120	2000
%28-Z14	%66K+%6A+%7AT+%21ÜT	1320	140	420	120	2000
%28-Z15	%66K+%6A+%28ÜT	1320	0	560	120	2000



Çizelge 4.18: Hazırlanan Çimentoların Kimyasal Analizleri.

Numune Adı	K.K	SiO ₂	Al ₂ O ₃	Fe ₂ O ₃	CaO	MgO	SO ₃	K ₂ O	Na ₂ O	Toplam	C.K
%100 Klinker	1.7	20.4	5.3	3.9	62.03	1.52	2.65	0.9	0.9	99.30	1.26
%100 Alçıtaşı	19.8	0.79	0.08	0.06	32.44	0.28	45.24	0.01	0.0	98.70	
Klinker+Alçıtaşı	1.19	19.76	6.07	3.57	62.55	1.34	3.54	0.89	0.1	99.01	
%100 AT	11	57.7	13	4.2	4.48	1.88	0	2.5	1.3	96.06	58.50
%100 ÜT	9.8	66.3	11	1	2.69	1	0	3.9	0.4	96.09	52.72
%24-Z1	3.6	30.0	7.4	4.0	48.67	1.56	2.02	1.3	0.4	98.95	15.62
%24-Z2	3.9	30.8	7.3	3.8	47.88	1.49	2.05	1.4	0.4	99.02	13.99
%24-Z3	3.9	31.0	7.1	3.6	48.11	1.44	1.97	1.5	0.3	98.92	13.71
%24-Z4	4.0	31.3	7.0	3.5	48.10	1.39	1.93	1.5	0.3	99.02	13.37
%24-Z5	4.3	31.8	6.8	3.2	47.85	1.32	1.97	1.6	0.2	99.04	13.05
%26-Z6	3.3	31.1	7.6	4.0	47.04	1.56	1.84	1.3	0.4	98.14	15.37
%26-Z7	3.5	31.6	7.4	3.8	46.70	1.48	1.86	1.4	0.4	98.14	14.63
%26-Z8	3.6	31.9	7.3	3.6	46.92	1.44	1.89	1.5	0.4	98.55	15.87
%26-Z9	3.7	32.4	7.1	3.4	46.69	1.36	1.86	1.6	0.3	98.41	15.33
%26-Z10	4.1	32.7	6.9	3.2	46.44	1.33	1.90	1.7	0.2	98.47	13.53
%28-Z11	3.9	31.9	7.7	4.0	45.60	1.55	1.82	1.4	0.5	98.37	15.00
%28-Z12	3.9	32.2	7.6	3.8	45.61	1.48	1.81	1.5	0.4	98.3	14.57
%28-Z13	4.2	32.7	7.4	3.6	45.37	1.42	1.74	1.6	0.4	98.43	13.62
%28-Z14	4.5	33.0	7.2	3.3	45.29	1.34	1.81	1.7	0.3	98.44	15.72
%28-Z15	4.6	33.3	7	3.1	44.92	1.25	1.80	1.7	0.2	97.87	15.10

Çizelge 4.19: Hazırlanan Çimentoların Elek Analizleri ve Blain Değerleri.

Numune Adı	200 μ	90 μ	40 μ	Blain
%100 Klinker	0.1	3.1	25.9	3408
Klink+Alçıtaşı	0	1.1	25.1	2745
%100 AT	0	3.8	22.6	6111
%100 ÜT	0.2	3.5	24.5	10828
%24-Z1	0.1	3	25	4228
%24-Z2	0	2.2	24	4456
%24-Z3	0	1.6	23	4896
%24-Z4	0	1.8	24.9	5377
%24-Z5	0.1	3	25.6	5390
%26-Z6	0	1.7	23.5	4274
%26-Z7	0	1.5	23.1	4798
%26-Z8	0	1.9	24	5215
%26-Z9	0	1.7	23.4	5606
%26-Z10	0	2.4	26.2	5662
%28-Z11	0	1.8	23.9	4404
%28-Z12	0	2	24.4	4688
%28-Z13	0.1	3	25.4	5075
%28-Z14	0.1	2.6	28.4	5462
%28-Z15	0.1	2.8	26	5850



Çizelge 4.20: Hamur ve Harç Karışım Sonuçları.

Numune Adı	Hamur Değerleri				Harç Değerleri					
	Su (%)	D.Baş 1 (St-dk)	D.Sonu (St-dk)	Hacim Genleş. (mm)	Eğilme M. (kg/cm ²)			Basınç M. (kg/cm ²)		
					2 Gün	7 Gün	28 Gün	2 Gün	7 Gün	28 Gün
Klink+Alçıtaşı	26	1.4	3.0	0+1				227	365	478
AT+Kireç									99	
ÜT+Kireç									89	
%24-Z1	32.5	2.1	3.2	1+0				110	214	381
%24-Z2	32.5	2	3.2	0+0				115	225	426
%24-Z3	32.5	2.1	3.2	1+0				125	247	461
%24-Z4	33	2.1	3.3	0+1				118	243	455
%24-Z5	33	2.2	3.5	1+1				109	225	446
%26-Z6	33	2.3	3.6	1+0				108	215	400
%26-Z7	33	2.1	3.4	1+1				110	224	419
%26-Z8	33.5	2.3	3.3	1+0				105	222	435
%26-Z9	33.5	2.1	3.2	0+1				103	219	442
%26-Z10	34	2.1	3.2	0+1				101	211	425
%28-Z11	34	2.1	3.3	0+1				109	218	390
%28-Z12	34	2.1	3.4	0+1				106	212	390
%28-Z13	34	2.1	3.4	0+1				102	207	387
%28-Z14	34	2.3	3.4	0+1				98	202	391
%28-Z15	34.5	2.3	3.5	0+1				99	206	413

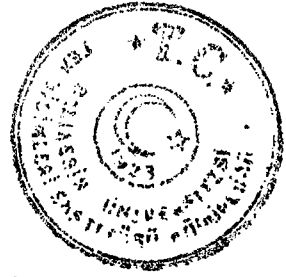
3- Turnatepe Perlilik puzolani yanında Turnatepe Breşlerinin de katkı malzemesi olarak değerlendirilebilmesi amaçlanmıştır. Bunun için katkı oranları %24, %26, %28 olan üç grup çimentonun herbir grubu aşağıdaki karışım oranlarında hazırlanmıştır.

%50 Turnatepe Perlilik + %50 Turnatepe Breş

%75 Turnatepe Perlilik + %25 Turnatepe Breş

%50 Turnatepe Perlilik + %25 Turnatepe Breş + %25 Üsttüf

Kovali banttan üretim esnasında alınan klinkerle alçıtaşı arasında yaapılan optimizasyona göre alçıtaşı miktarı %4 olarak belirlenmiştir. Her çimento numunesinden 2000 g hazırlanmıştır. Çizelge 4.21 'de çimentoların hazırlanmasında kullanılan malzeme miktarları, Çizelge 4.22 'de klinker-alçıtaşı-hazırlanan çimentoların kimyasal analizleri, Çizelge 4.23 'de klinker-alçıtaşı-hazırlanan çimentoların elek analizleri ve plain değerleri, Çizelge 4.24 'de de çimento hamur ve harç deney sonuçları verilmiştir.



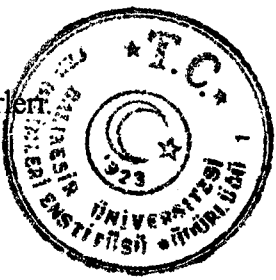
Çizelge 4.21: Çimentoların Hazırlanmasında Kullanılan Malzeme Miktarları.

K = Klinker A = Alçıtaşı TP = Turnatepe Perlitik TB = Turnatepe Breş ÜT = Üstlüf

Numune Adı	Numunelerin % Miktarları	Klinker (g)	TP (g)	TB (g)	ÜT (g)	Alçıtaşı (g)	Toplam (g)
Klinker							35000
Alçıtaşı							3000
Puzolan		4000	4000	500			8500
%24-T1	%70K+%4A+%24TP	1080	360			60	1500
%24-T2	%70K+%4A+%24TB	1080		360		60	1500
%24-T3	%70K+%4A+%12TP+%12TB	1080	180	180		60	1500
%24-T4	%70K+%4A+%18TP+%6TB	1080	270	90		60	1500
%24-T5	%70K+%4A+%12TP+%6TB+%6ÜT	1080	180	90	90	60	1500
%26-T6	%68K+%4A+%26TP	1050	390			60	1500
%26-T7	%68K+%4A+%26TB	1050		390		60	1500
%26-T8	%68K+%4A+%13TP+%13TB	1050	195	195		60	1500
%26-T9	%68K+%4A+%19.5TP+%6.5TB	1050	292.5	97.5		60	1500
%26-T10	%68K+%4A+%13TP+%6.5TB+%6.5ÜT	1050	195	97.5	97.5	60	1500
%28-T11	%66K+%4A+%28TP	1020	420			60	1500
%28-T12	%66K+%4A+%28TB	1020		420		60	1500
%28-T13	%66K+%4A+%14TP+%14TB	1020	210	210		60	1500
%28-T14	%66K+%4A+%21TP+%7TB	1020	315	105		60	1500
%28-T15	%66K+%4A+%14TP+%7TB+%7ÜT	1020	210	105	105	60	1500

Çizelge 4.22: Hazırlanan Çimentoların Kimyasal Analizleri.

Numune Adı	K.K	SiO ₂	Al ₂ O ₃	Fe ₂ O ₃	CaO	MgO	SO ₃	K ₂ O	Na ₂ O	Toplam	Ç.K
%100 Klinker	0.29	20.64	5.85	3.80	64.56	1.53	0.68	1.22	0.30	98.87	
%100 Alçıtaşı	19.80	0.79	0.08	0.06	32.44	0.28	45.29	0.01	0	98.72	
Klink+Alçıtaşı	0.85	19.93	5.63	3.64	63.61	1.40	2.49	1.19	0.23	98.96	
%24-T1	2.84	29.94	6.9	2.86	49.37	2.11	1.31	1.78	0.56	98.67	14.62
%24-T2	1.63	28.71	8.10	4.17	49.51	2.13	2.37	1.19	0.76	98.58	21.33
%24-T3	2.40	29.20	7.59	3.58	49.59	1.98	2.43	1.35	0.61	98.73	14.73
%24-T4	2.80	29.32	7.26	3.29	49.78	1.95	2.41	1.43	0.57	98.82	16.02
%24-T5	2.75	29.59	7.26	3.31	49.46	1.85	2.40	1.46	0.50	98.57	15.18
%26-T6	2.94	30.99	7.11	2.81	48.72	2.19	1.77	1.84	0.55	98.92	16.04
%26-T7	1.72	29.52	8.34	4.20	48.61	1.98	2.35	1.22	0.77	98.71	22.90
%26-T8	2.46	29.81	7.72	3.58	48.67	2.06	2.39	1.39	0.66	98.74	15.79
%26-T9	2.84	30.14	7.45	3.26	48.50	2.01	2.40	1.47	0.60	98.68	17.28
%26-T10	2.80	30.45	7.38	3.28	48.48	1.85	2.40	1.46	0.50	98.57	16.44
%28-T11	3.15	31.7	7.21	2.74	47.62	2.22	1.72	1.89	0.56	98.81	17.6
%28-T12	1.97	30.17	8.59	4.23	47.16	2.04	2.34	1.23	0.77	98.52	23.45
%28-T13	2.61	30.84	7.95	3.57	47.42	2.05	2.36	1.42	0.60	98.62	17.83
%28-T14	3.26	30.84	7.54	3.24	47.27	2.05	2.36	1.51	0.60	98.67	18.8
%28-T15	3.33	31.02	7.48	3.24	46.97	1.90	2.36	1.55	0.60	98.43	18.02



Çizelge 4.23: Hazırlanan Çimentoların Elek Analizleri ve Blain Değerleri.

Numune Adı	200 μ	90 μ	40 μ	Blain
Klink+Alçıtaşı	0	1.1	25	2638
%24-T1	0	1.3	23.7	3629
%24-T2	0.1	1.1	25	3173
%24-T3	0	1.1	24.8	3247
%24-T4	0	1.1	25.1	3311
%24-T5	0	1.1	25	3745
%26-T6	0	1.3	24.1	3491
%26-T7	0.1	1.1	25	3253
%26-T8	0	1.1	25.2	3269
%26-T9	0	1.1	25	3329
%26-T10	0.1	1.2	25.2	3771
%28-T11	0	1.1	24.8	3468
%28-T12	0.1	1.1	24.9	3382
%28-T13	0.1	1.1	25.1	3411
%28-T14	0	1.1	24.8	3474
%28-T15	0.1	1.4	24.9	3871

Çizelge 4.24: Hamur ve Harç Karışım Sonuçları.

Numune Adı	Hamur Değerleri				Harç Değerleri					
					Eğilme M. (kg/cm ²)			Basınç M. (kg/cm ²)		
	Su (%)	D.Başı (St-dk)	D.Sonu (St-dk)	Hacim Genleş. (mm)	2 Gün	7 Gün	28 Gün	2 Gün	7 Gün	28 Gün
Klink+Alçıtaşı	26	2.00	3.00	1+1	40	62	69	184	341	473
%24-T1	27	3.10	5.45	2+0	45	48	72	108	248	410
%24-T2	31	2.35	3.25	1+1	32	50	64	130	261	363
%24-T3	30.5	2.40	3.50	1+1	29	52	63	127	265	368
%24-T4	30	2.45	3.50	1+1	32	50	68	125	261	382
%24-T5	31.5	2.30	3.30	1+1	29	56	75	136	279	422
%26-T6	27.5	3.15	4.50	3+0	25	47	70	99	231	394
%26-T7	31.5	2.35	3.40	1+1	30	51	64	129	256	350
%26-T8	31	2.45	4.00	1+0	30	50	61	120	252	355
%26-T9	30.5	2.35	4.05	1+1	28	52	67	118	254	375
%26-T10	31.5	2.45	3.45	1+1	29	52	72	119	258	410
%28-T11	27.5	3.00	5.00	1+0	24	43	67	93	221	372
%28-T12	32	2.35	3.40	1+1	28	46	61	118	233	334
%28-T13	31.5	2.25	3.55	1+0	27	46	58	109	230	337
%28-T14	31	2.45	4.00	1+1	30	48	62	112	237	346
%28-T15	32.5	2.45	3.55	1+1	28	47	70	110	246	395



4.3. DENEY SONUÇLARININ DEĞERLENDİRİLMESİ

Bu bölümde puzolan ve puzolanlı çimentolar üzerinde yapılan sonuçların değerlendirilmesi yapılmıştır.

4.3.1. ÖĞÜTÜLEBİLİRLİK

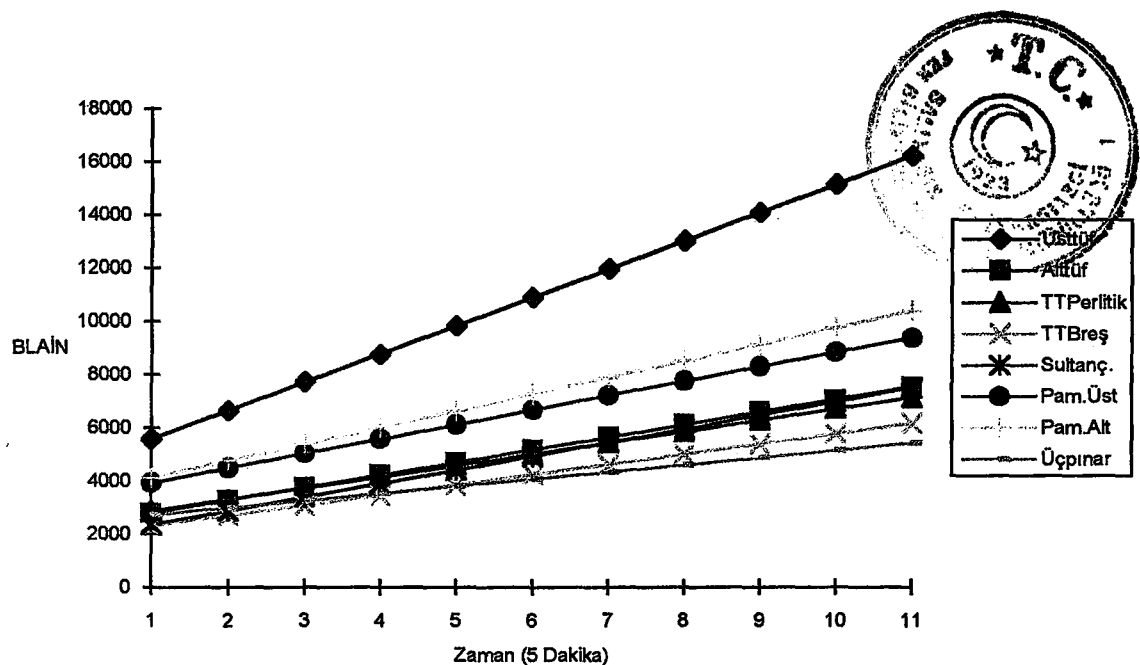
Belirli zaman aralıklarında plainleri belirlenen puzolanların, plain ve zaman arasındaki korelasyon katsayıları belirlenerek regresyon analizleri grafiği çizilmiştir (ÖZTÜRK 1978). Veriler için yapılan regresyon analizinden sonra en uygun eğri lineer ($y=a+bx$) ($Plain=a+b\times\text{zaman}$) olarak belirlenmiştir. Buna göre her puzolanın plain ve zaman arasındaki korelasyon katsayıları (r) ve a , b değerleri aşağıda verilmektedir:

Üstlüf	$Plain = 4519.429 + 213.286 \times \text{Zaman}$	$r = \%99.99$
Alttüf	$Plain = 2323.717 + 94.863 \times \text{Zaman}$	$r = \%99.69$
Turnatepe Perlitik	$Plain = 2445.204 + 1916.905 \times \text{Zaman}$	$r = \%99.33$
Turnatepe Breş	$Plain = 1916.905 + 77.206 \times \text{Zaman}$	$r = \%99.84$
Sultançayır	$Plain = 1838.991 + 102.91 \times \text{Zaman}$	$r = \%99.44$
Pamukçu Üst	$Plain = 3385.442 + 109.340 \times \text{Zaman}$	$r = \%99.78$
Pamukçu Alt	$Plain = 3490.703 + 125.719 \times \text{Zaman}$	$r = \%99.87$
Üçpınar	$Plain = 2444.229 + 53.941 \times \text{Zaman}$	$r = \%99.43$

Puzolanların regresyon analizleri sonuçları aşağıda Çizelge 4.25 'de ve regresyon analizleri grafiği Şekil 4.1 'de verilmektedir.

Çizelge 4.25: Puzolanların Regresyon Analizleri.

Zaman (Dk)	Üstlüf	Alttüf	TTPer	TTBreş	Sultanç.	Pam.Üst	Pam. Alt	Üçpınar
5	5580	2978	2872	2303	2354	3932	4119	2714
10	6647	3272	3298	2689	2868	4479	4748	2984
15	7714	3747	3724	3075	3383	5026	5377	3253
20	8780	4221	4151	3461	3897	5572	6005	3523
25	9847	4695	4577	3847	4412	6119	6634	3793
30	10913	5170	5004	4233	4926	6666	7262	4062
35	11979	5644	5430	4619	5441	7212	7891	4332
40	13046	6119	5856	5005	5955	7759	8520	4602
45	14112	6593	6283	5391	6470	8306	9148	4872
50	15179	7067	6709	5777	6985	8852	9777	5141
55	16245	7542	7135	6163	7499	9399	10405	5411



Şekil 4.1: Puzolanların Regresyon Analizleri Grafiği.

Şekilde görüldüğü gibi en iyi öğütülebilir puzolan tipleri, Üstlüf ve Pamukçu Alt puzolanlarıdır. En zor öğütülenler ise Turnatepe ve Üçpinar puzolanlarıdır. Diğerleri orta seviyede öğütülebilir puzolanlardır. Üstlüf ve Pamukçu Alt her ikiside zeolit minerali klinoptilolitçe zengindir. Üstlüf Öz.ağ.: 2.11 g/cm^3 , Pamukçu Alt Öz.ağ.: 2.18 g/cm^3 'dür. Zeolit minerallerinin ve özgül ağırlığı düşük puzolanların daha kolay öğütülebildiğini söyleyebiliriz. Çok ince öğütülen puzolanlar ile üretilen çimento harçlarında ilk dayanımlar da artmaktadır (LONG 1995).

20. dakikada;

Alttüf	6800-7000 Blain
Turnatepe Perlitik	4500-4700 Blain
Üstlüf	8000-9000 Blain vermiştir.

Aşağıdaki karışımında aşağıdaki blainler beklenebilir.

$$\begin{aligned} \%50 \text{ TTP} + \%50 \text{ Üstlüf} &= 6150-6350 \\ \%75 \text{ TTP} + \%25 \text{ Üstlüf} &= 4825-5025 \end{aligned}$$

4.3.2. CAMSI FAZ VE PUZOLANİK AKTİVİTE İLİŞKİLERİ

Çizelge 4.26 'da görüldüğü gibi camsı faz oranı en yüksek puzolan tipi Turnatepe perlitik ve en düşük Üçpinar ve Sultançayır puzolanlarıdır. Buna karşılık zeolitleşme



(klinoptilolit) bu üçü dışındaki diğer puzolanlarda bulunmaktadır. Zeolitesinin en yüksek olduğu puzolan tipi %98 zeolitesmeyle Üstbüftür.

Çizelge 4.26: Puzolanların Camsı Faz ve Mineralojik Analizleri.

Puzolan	Camsı Faz (%)	Klinoptilolit	Kuvars	Kalsit	Albit	Muskovit
Üstbüf	63	+	+	-	+	-
Alttbüf	65	+	+	-	+	+
TT. Perlitik	71.4	-	+	+	+	-
P. Alt	64.6	+	+	-	+	-
P. Üst	62.5	+	+	-	+	-
Üç Pınar	55.5	-	+	-	+	-
S. Çayır	60.5	-	+	-	+	-

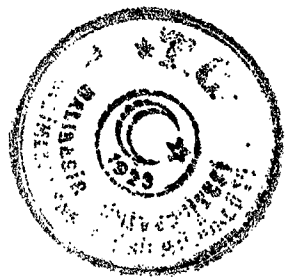
Puzolanik aktiviteler incelendiğinde camsı faz ile puzolanik aktivite arasında bir korelasyon olduğu görülür (Çizelge 4.27).

Çizelge 4.27: Camsı Faz ve Puzolanik Aktivite İlişkisi.

Puzolan	Camsı Faz (%)	Puzolanik Aktivite
TT. Perlitik	71.4	106
Alttbüf	65	100
P. Alt	64.6	92
Üstbüf	63	99
P. Üst	62.5	98
S. Çayır	60.5	82
Üç Pınar	55.5	55

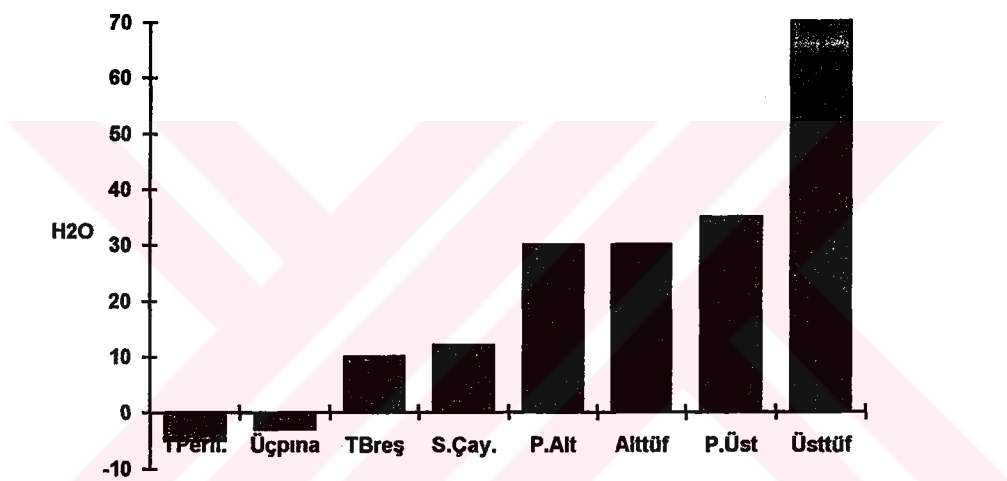
4.3.3. H₂O SONUÇLARI

Puzolanik aktivite deneyinde bazı puzolanlar hesaplanandan fazla veya eksik suya ihtiyaç göstermişlerdir. Buna göre puzolanların fazla su ihtiyaçları Çizelge 4.28 ve Şekil 4.2 'de verilmiştir.



Çizelge 4.28: Puzolanların Fazla H₂O İhtiyaçları.

Puzolan	H ₂ O (cc)
Turnatepe Perlilik	-5
Üçpinar	-3
Turnatepe Breş	+10
Sultançayır	+12
Pamukçu Alt	+30
Alttüf	+30
Pamukçu Üst	+35
Üsttüf	+70



Şekil 4.2: Puzolanların Fazla H₂O İhtiyaçları.

Yukarıdaki grafikte görüldüğü gibi zeolitlenmiş traslar standart sudan daha fazla suya, zeolitleşmemiş traslar ise daha az suya ihtiyaç duymaktadır. Zeolitleşme seviyesi en fazla olan Üsttüf (%98) en fazla suya ihtiyaç duymaktadır. Alttüf ise orta seviyede zeolitleştiği için (%65) daha az suya ihtiyaç duymaktadır. Görülüyor ki çimentoda H₂O sorununu çözmenin en iyi yolu Turnatepe trası ile zeolitleşmiş trasları harmanlamaktır.

Çizelge 4.16 'da görüldüğü gibi harçda en fazla H₂O değeri %32, 33, 33 ile Üsttüf, en az H₂O %26.5, 27.5, 28 ile Turnatepe Perliti göstermiştir .



4.3.4. PUZOLANLI ÇİMENTOLARIN MEKANİK DENEY SONUÇLARI

1- Zeolitik (Üstlüf ve Alttüf) Perlitik (Turnatepe) ve diğer alternatif çevre puzolanlarının çimento katkı maddesi olarak kullanılması için %24, %26, %28 katkı oranlarında hazırlanan çimentolarla üretilen harçların basınç mukavemetleri ölçülmüştür:

Eğilme mukavemeti standartlardan çıkarıldığından değerlendirmeler sadece basınç mukavemeti için yapılmıştır.

2 Günlük Basınç Mukavemetleri (Şekil 4.3)

%24, %26, %28 katkılı çimentoların 2 günlük basınç mukavemetlerinde en yüksek değerler Turnatepe perlitik, Sultançayır, Üçpinar, Pamukçu Alt ve Pamukçu Üst puzolanlarında alınmıştır. En düşük mukavemetleri ise Alttüf ve Üstlüfun verdiği gözlenmiştir.

	ÜT	AT	TTP	SÇ	PA	PÜ	ÜP
%24			+	+	+	+	+
%26			+	+		+	+
%28			+	+	+	+	+

2 günlük basınç mukavemetlerinde maksimum değerler.

7 Günlük Basınç Mukavemetleri (Şekil 4.4)

%24 Katkı Oranlarında: En yüksek mukavemetleri Turnatepe perlitik, Sultançayır ve Üçpinar puzolanlarının (zeolitleşmemiş puzolanlar), en düşük mukavemetleri ise Alttüf ve Üstlüfun verdiği gözlenmiştir.

%26 Katkı Oranlarında: En yüksek mukavemetleri Pamukçu Üst, Sultançayır, Üçpinar ve Turnatepe perlitik puzolanları ve en düşük mukavemetleri ise Alttüf, Üstlüf ve Pamukçu Alt puzolanlarının verdiği gözlenmiştir.

%28 Katkı Oranlarında: En yüksek mukavemetleri Sultançayır, Üçpinar Turnatepe perlitik ve Pamukçu Üst puzolanlarının, en düşük mukavemetleri ise Alttüf, Üstlüf ve Pamukçu Alt puzolanlarının verdiği gözlenmiştir.

	ÜT	AT	TTP	SÇ	PA	PÜ	ÜP
%24			+	+			+
%26				+		+	+
%28			+	+		+	+

7 günlük basınç mukavemetlerinde maksimum değerler.

28 Günlük Basınç Mukavemetleri (Şekil 4.5)

%24 Katkı Oranlarında: En yüksek mukavemetleri Alttüf, Üstlüf, Pamukçu Alt, Pamukçu Üst puzolanlarının (zeolitleşmiş puzolanlar), en düşük mukavemetleri ise Turnatepe



perlitik, Sultançayır ve Üçpinar puzolanlarının verdiği gözlenmiştir. Üsttüf 28 günde en yüksek mukavemetle ulaşmıştır.

%26 Katkı Oranlarında: En yüksek mukavemetleri Üsttüf, Pamukçu Alt ve Pamukçu Üst puzolanları ve en düşük mukavemetleri ise Sultançayır, Üçpinar ve Turnatepe perlitik puzolanlarının verdiği saptanmıştır.

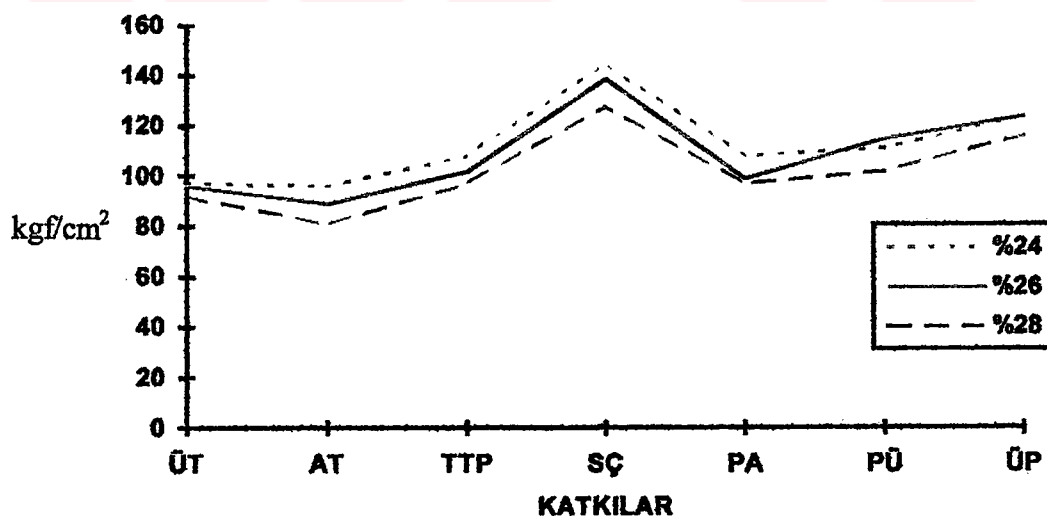
%28 Katkı Oranlarında: En yüksek mukavemetleri Üsttüf ve Pamukçu Üst puzolanlarının, en düşük mukavemetleri ise Sultançayır, Üçpinar ve Turnatepe perlitik puzolanlarının verdiği saptanmıştır.

	ÜT	AT	TTP	SÇ	PA	PÜ	ÜP
%24	+	+			+	+	
%26	+				+	+	
%28	+				+	+	

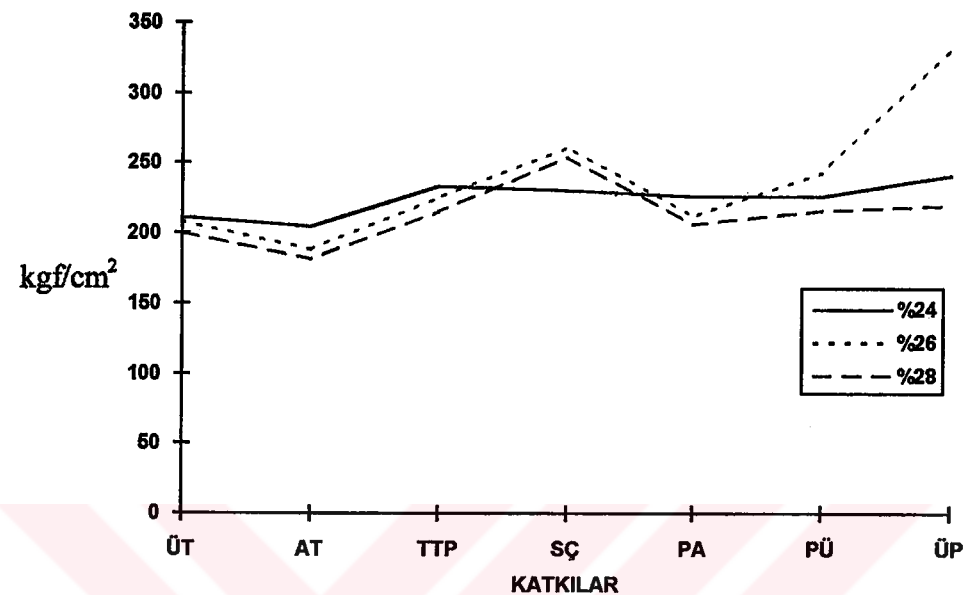
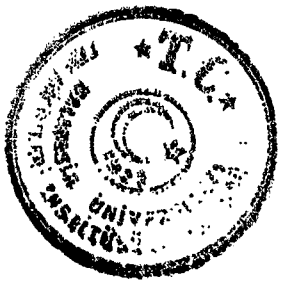
28 günlük basınç mukavemetlerinde maksimum değerler.

Bu deney sonuçlarına göre, doğal puzolanların 7 günlük mukavemetleri hiç etkilemediği fikri tartışılabılır. Zeolit içermeyen puzolanlar 2 ve 7 günlük mukavemetlerde, zeolitleşmiş puzolanlar ise 28 günlük mukavemetlerde daha iyi sonuçlar vermektedir.

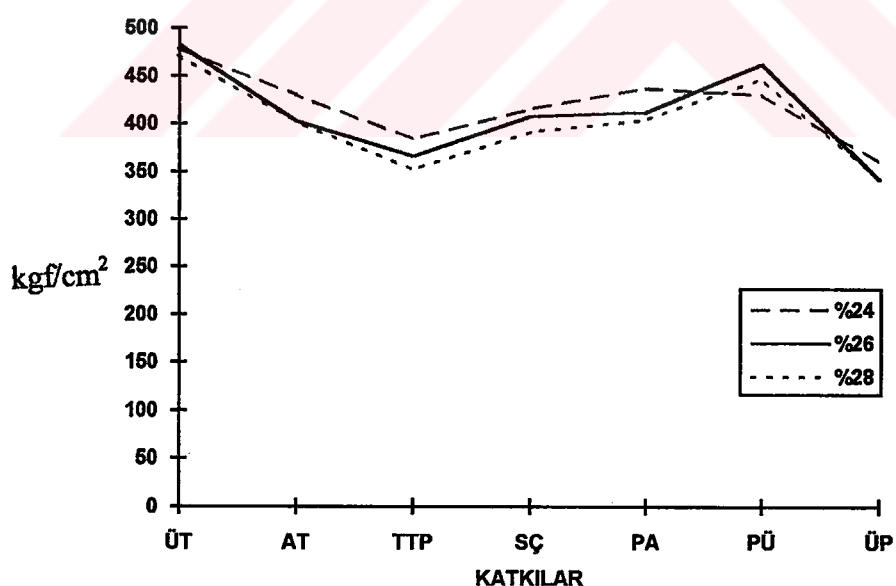
Turnatepe Perlitik puzolanlarının kullanılabilirliği açısından bir optimizasyon gerekmektedir. Turnatepe Perlitik puzolamı ile zeolitleşmiş türflerden birini (Üsttüf, Alttüf ve Pamukçu Alt) uygun oranlarda harmanlamak gereklidir. Bu yolla katkı oranlarını %2-%4 arasında artırmak mümkündür.



Şekil 4.3: Katkılı Harçların 2 Günlük Basınç Mukavemetleri.



Şekil 4.4: Katkılı Harçların 7 Günlük Basınç Mukavemetleri.



Şekil 4.5: Katkılı Harçların 28 Günlük Basınç Mukavemetleri.



2- Balıkesir SET Çimento fabrikasında katkı maddesi olarak kullanılan Alttüp ve Üsttüf Bor İşletmelerinin dekapaj malzemesi olan Üsttüfün karşılaştırmalı testleri yapılmıştır. Amaç katkı birim maliyetlerini azaltmak, çimento mukavemetlerini yükseltmek ve su almalarını azaltıp katkı oranlarını artırmak için Alttüp ve Üsttüfün (zeolitik tüfler) birlikte kullanımında bir optimum değer belirlenmesidir. Birinci alternatif olan Üsttüf ve fabrikada kullanılan Alttüp değişik oranlarda harmanlanarak, %24, %26, %28 katkı oranlarında hazırlanan çimentoların tüm kalite parametreleri karşılaştırılmıştır.

%24 Katkı Oranlarında (Şekil 4.6)

2 ve 7 günlük basınç mukavemetlerinde önemli bir değişme gözlenmemiştir. 28 günlük mukavemetlerde önemli yükselmeler (%19.4) gözlenmiştir. Su almalarda %0.5 oranında artış olmuştur.

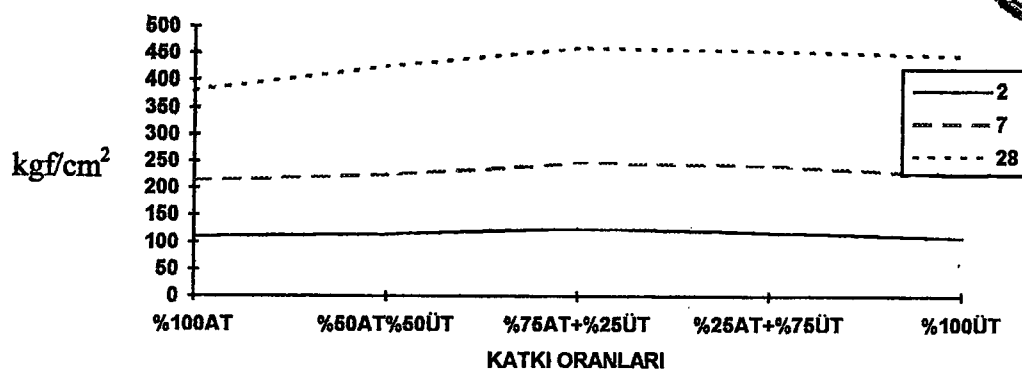
%26 Katkı Oranlarında (Şekil 4.7)

2 ve 7 günlük basınç mukavemetlerinde önemli bir değişme gözlenmemiştir. 28 günlük mukavemetlerde önemli yükselmeler (%10.5) gözlenmiştir. Su almalarda %1 oranında artış vardır.

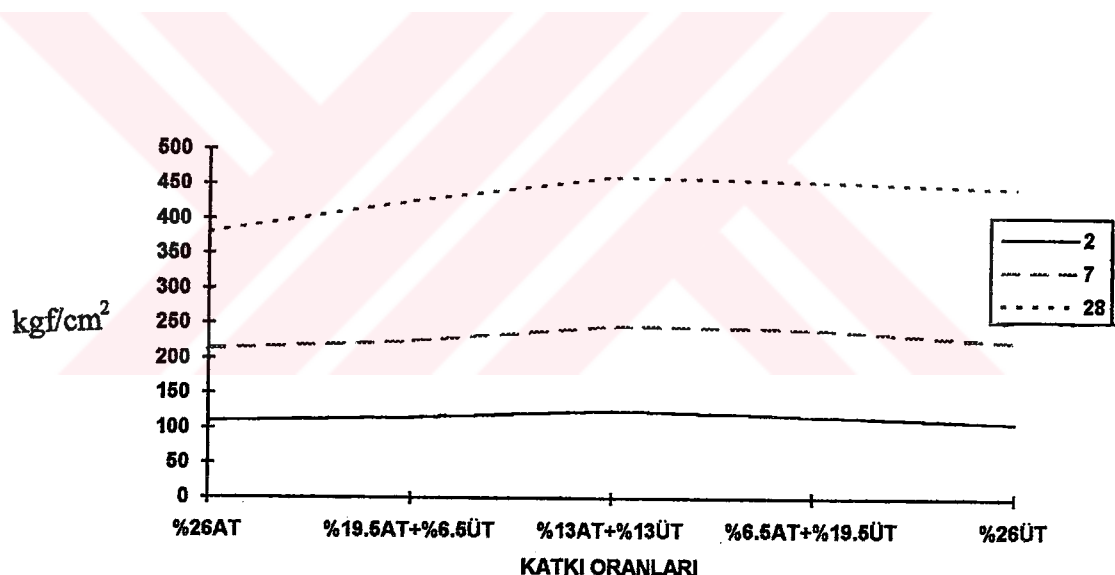
%28 Katkı Oranlarında (Şekil 4.8)

2 ve 7 günlük basınç mukavemetlerinde, değerler %25 Üsttüfe kadar standartlar içinde kalmıştır. Daha fazla Üsttüf kullanıldığından standartlar dışına çıkmış, 28 günlük mukavemetlerde hafif bir yükselme (%5.9) olmuştur. Su almalarda %0.5 oranında artış gözlenmiştir.

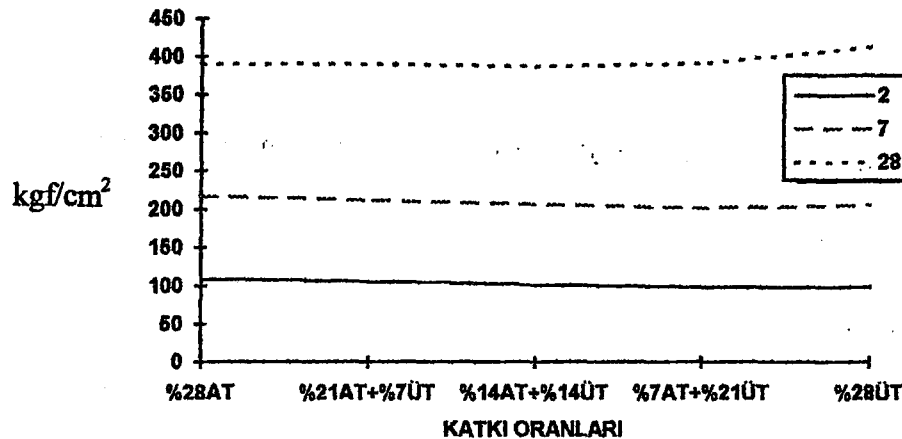
%24 ve %26 katkı oranlarında 2 ve 7 günlük dayanımlarda önemli bir değişme gözlenmemekle birlikte, 28 günlük dayanımlarda %20'lere varan artışlar gözlenmiştir. Su almalarda %0.5-4 oranlarında artışlar vardır. Donma başı ve sonu zamanlarında olumsuz bir değişme olmamıştır. %26 katkı oranında %75 alttüp + %25 üsttüf optimum değer olarak görülmektedir.



Şekil 4.6: %24 Üstlü ve Altlu Katılım Harmanlarının Zamanla Basınç Mukavemetleri Değişimi.



Şekil 4.7: %26 Üstlü ve Altlu Katılım Harmanlarının Zamanla Basınç Mukavemetleri Değişimi.



Şekil 4.8: %28 Üstlü ve Altılı Katkılı Harmanların Zamanla Basınç Mukavemetleri Değişimi.

3- Balıkesir Set Çimento Fabrikası Turnatepe sahasında perlilik puzolan yanında breşleri de bulunmaktadır. Bu sahadan çıkarılacak bütün puzolanların kullanılabilmesi ve bir optimum değer bulunabilmesi için %24, %26 ve %28 katkı oranlarında ve değişik harmanlarda üretilen çimentoların tüm kalite parametreleri karşılaştırılmıştır. Buna göre;

24 Katkı Oranlarında (Şekil 4.9)

Turnatepe perliti ile üretilen çimentoların 2., 7. ve 28. günlerde basınç mukavemetleri standartları aşmıştır. Özellikle 28. günde oldukça büyük mukavemetlere ulaşılmıştır. Turnatepe breşi ile üretilen çimentolarda da basınç mukavemeti standart değerlerini aşmakla birlikte değerler perlite göre düşüktür. En iyi mukavemet %50TP+%25 TB+%25 ÜT harmanında alınmıştır. Su almalarda perlit ile üretilen çimentolar %27, breşle üretilenler ise %31 suya ihtiyaç göstermiştir. Buna göre breşler %3 daha fazla suya ihtiyaç göstermektedir. Suya en fazla %31.5 'la Üstlü harman ihtiyaç göstermiştir.

%26 Katkı Oranlarında (Şekil 4.10)

Turnatepe perliti ile üretilen çimentoların 2 günlük basınç mukavemet değeri standartlarının dışında kalmış ve 7., 28. günlerde ise standartları aşmıştır. Turnatepe breşlerinde 2., 7. ve 28. günlerde basınç mukavemet değerleri standartları aşmakla beraber, fazla yüksek değildir. En iyi mukavemet değerleri Üstlü harmanda alınmıştır. Su almalarda

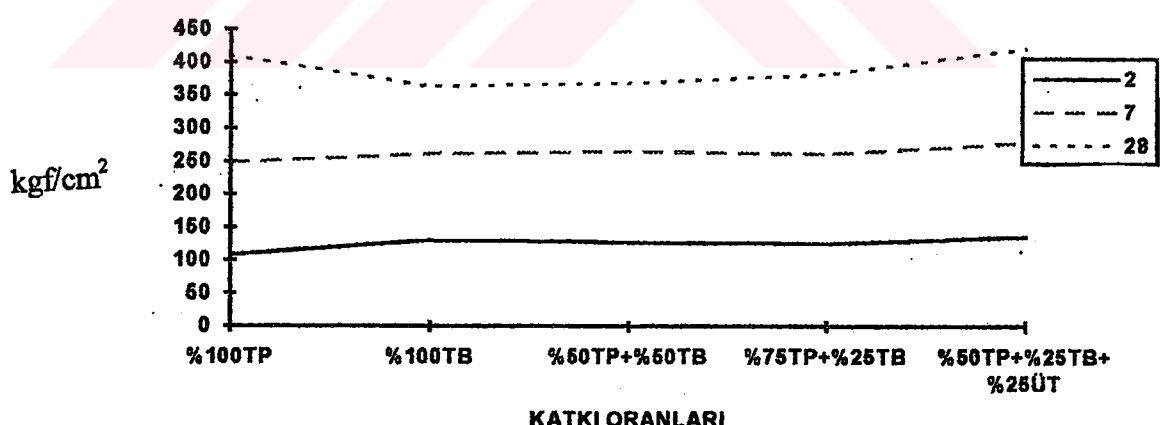


Turnatepe perlitik %27.5 suya ihtiyaç gösterirken, Turnatepe breşleri %31.5 suya ihtiyaç göstermiştir. Buna göre Turnatepe breşler, Turnatepe perlite'ne göre %4 daha fazla suya ihtiyaç göstermektedir. Üstünlü harman %31.5'la suya en fazla ihtiyaç gösteren harman olmuştur.

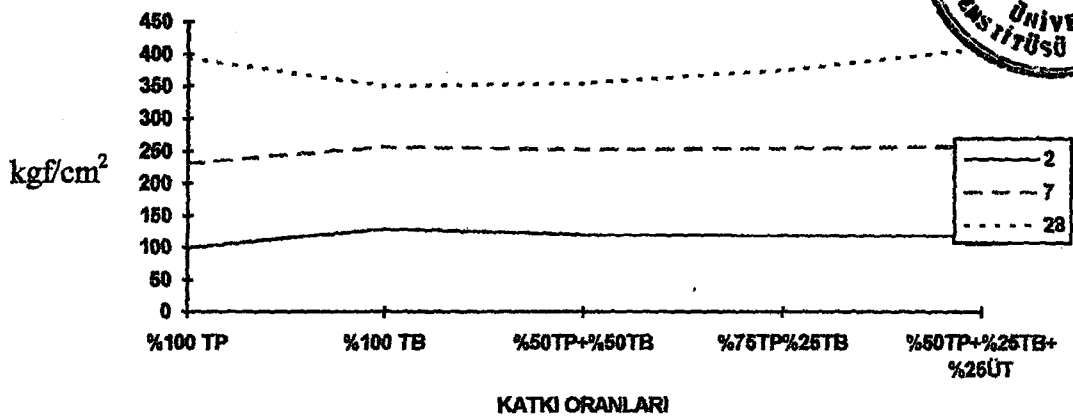
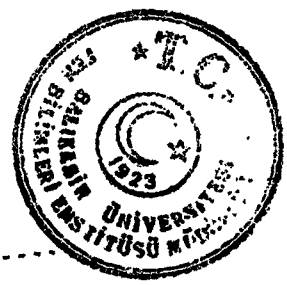
%28 Katkı Oranlarında (Şekil 4.11)

2. günde Turnatepe perliti ile üretilen çimentolarda basınç mukavemeti standartlara ulaşamamakla beraber, 7. ve 28. günlerde standartları aşmıştır. Breşler ile üretilen çimentoların ise 2., 7. ve 28. günlerde basınç mukavemeti standartları aşmıştır. Fakat sonuçlar standart değerlere çok yakındır. En iyi mukavemet değerleri Üstünlü harmandan alınmıştır. Su almalarda Turnatepe perliti %27.5 suya ihtiyaç gösterirken, breşler perlite'ye göre %4.5 daha fazla suya ihtiyaç göstermiştir. Üstünlü harman %32.5 ile suya en fazla ihtiyaç gösteren harman olmuştur.

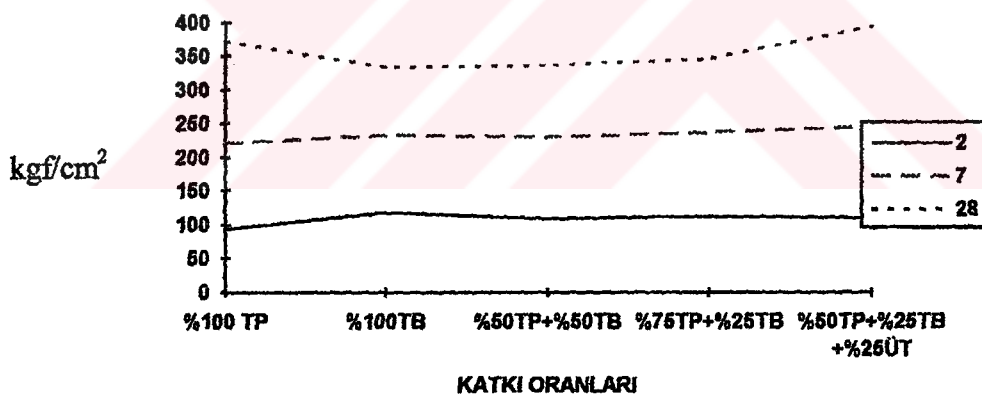
Breşler ile üretilen çimentoların mukavemet değerleri perlite'ye göre çok daha düşük olmakla beraber 2., 7. ve 28. günlerde standart değerlerin üzerinde sonuçlar vermiştir. Breşler perlite'ye göre daha fazla suya ihtiyaç göstermektedir. Ayrıca öğütülebilmeleri de daha güçtür. Bu dezavantajlarına nazaran %50TP+%25 TB+%25ÜT harmanı fazla suya ihtiyaç göstermekle beraber mukavemet değerleri yüksektir. Bu harman optimum değer olarak görülmektedir. Harmanın fazla suya ihtiyaç göstermesi breş ve Üstünlü puzolanlarından kaynaklanmaktadır.



Şekil 4.9: %24 Katkı Oranında Turnatepe Perlitik ve Turnatepe Breş Harmanlarının Zamanla Basınç Mukavemeti Değişimleri.



Şekil 4.10: %26 Katkı Oranında Tutnatepe Perlitik ve Turnatepe Breş Harmanlarının Zamanla Basınç Mukavemeti Değişimleri.



Şekil 4.11: %28 Katkı Oranında Tutnatepe Perlitik ve Turnatepe Breş Harmanlarının Zamanla Basınç Mukavemeti Değişimleri.



BÖLÜM-5

DAYANIKLILIK

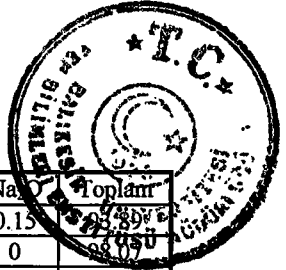
Zeolitik ve perlitik tüslerle hazırlanan katkılı çimentoların, harç özelliklerini dayanıklılık yönünden araştırılması portland çimentosuyla (Şahit Çimento) karşılaştırılmış olarak yapılmıştır. Bu amaçla, hazırlanan çimentolarla üretilen harçlar, su ve sülfat çözeltisinde bekletilerek, eğilme, basınc, boy ve ağırlık değişimi, kılcallık, birim ağırlık ve su emme deneylerine tabi tutulmuştur.

Sertleşmiş harçlar üzerinde yapılan dayanıklılık deneyleri için katkı oranları %24, %28, %32 olan çimentolar ve şahit çimento, incelik, 40μ elek üstü $\%25 \pm 0.5$ olacak şekilde, bilyalı degirmende öğütülerek hazırlanmıştır. Çimentolar da ki alçıtaşı miktarı, klinker-alçıtaşı optimizasyonuna göre belirlenmiştir. Çimentoların hazırlanmasında kullanılan malzeme miktarları Çizelge 5.1'de ve hazırlanan çimentoların incelikleri ve kimyasal analizleri Çizelge 5.2'de verilmiştir.

Çizelge 5.1: Çimentoların Hazırlanmasında Kullanılan Malzeme Miktarları.

K=Klinker A=Alçıtaşı ÜT=Üstlüf AT=Altlüf TTP=Turnatepe Perlitik

Numune Adı	Numune % Miktarları	Klinker (g)	ÜT (g)	AT (g)	TTP (g)	Alçıtaşı (g)	Toplam (g)
Klinker							85000
Alçıtaşı							4800
Puzolan		10080	10080	10080			30240
%24-ÜT	%72K+%4A+%24 ÜT	8640	2880			480	12000
%28-ÜT	%68K+%4A+%26 ÜT	8160	3360			480	12000
%32-ÜT	%64K+%4A+%32 ÜT	7680	3840			480	12000
%24-AT	%72K+%4A+%24 AT	8640		2880		480	12000
%28-AT	%70K+%4A+%26 AT	8160		3360		480	12000
%32-AT	%68K+%4A+%28 AT	7680		3840		480	12000
%24-TTP	%72K+%4A+%24 TTP	8640			2880	480	12000
%28-TTP	%70K+%4A+%26 TTP	8160			3360	480	12000
%32-TTP	%68K+%4A+%28 TTP	7680			3840	480	12000
Ş	%86K+%4A	11520				480	12000



Çizelge 5.2: Hazırlanan Çimentoların İncelik ve Kimyasal Analizleri.

Numune Adı	40 μ	K.K	SiO ₂	Al ₂ O ₃	Fe2O ₃	CaO	MgO	SO ₃	K ₂ O	Na ₂ O	Toplam
Klinker		1.18	18.10	5.14	3.29	62.37	1.13	1.93	0.60	0.15	99.89%
Alçitaşı		21.1	0.45	0.07	0.03	32.03	0	44.18	0.25	0	98.07%
Klinker+Alçitaşı		1.14	20.43	5.80	3.43	33.05	1.75	2.33	1.15	0.27	99.15
%624-ÜT	25.6	3.34	31.36	7.11	2.77	49.87	1.14	2.12	1.37	0.16	99.20
%628-ÜT	24.8	3.98	32.93	7.22	2.65	46.93	1.14	2.09	1.50	0.11	98.60
%632-ÜT	25.6	4.00	35.37	7.57	2.56	44.72	1.15	2.10	1.65	0.12	99.20
%624-AT	25.7	2.77	30.00	7.81	3.61	49.86	1.41	2.09	1.11	0.36	99.00
%628-AT	25.8	3.15	31.45	8.08	3.64	47.36	1.51	2.01	1.19	0.41	98.79
%632-AT	25.2	3.22	33.11	8.44	3.69	45.11	1.51	2.10	1.28	0.42	98.90
%624-TTP	25.8	2.94	30.45	7.21	2.73	49.75	1.71	2.11	1.32	0.32	98.50
%628-TTP	25.5	3.13	32.05	7.47	2.65	47.45	1.78	2.07	1.42	0.35	98.40
%632-TTP	24.7	3.74	33.97	7.71	2.52	44.75	1.87	2.21	1.56	0.38	98.70
Σ	23.1	2.80	19.81	5.68	3.34	63.48	1.24	2.04	0.58	0.17	99.14

Bu çimentolarla, bölüm 4.2.3.2 'deki gibi 450 g çimento + 225 g su + 1350 g kum kullanılarak harçlar hazırlanmıştır. Harçlar 4×4×16 cm boyutlarında üç numunelik, kalıplara dökülerek 24 saat %90 nisbi nem ve %20±2°C sıcaklıkta 24 saat rutubet dolabında bekletilmiştir. 24 saat sonra kalıptan sökülen numuneler, 27 gün 20±2°C 'deki çeşme suyunda bekletilmiştir. Numuneler 0 numune yaşı harç üretimin 28. günü, su ve sülfat çözeltisine konmuştur. 28. gün, sıfır (0) numune yaşından itibaren 12 hafta daha su ve sülfat çözeltisinde bekletilmiştir (Foto 5.1).

Sülfat çözeltisi %10 'luk olarak hazırlanmıştır. Bunun %7 'sini Na₂SO₄, %3 'ünü MgSO₄ oluşturmaktadır (Foto 5.2).

Deneyler Balıkesir Üniversitesi Mühendislik Mimarlık Fakültesi Malzeme Laboratuvarlarında, öğretim işlevleri Çimento Müstahsilleri Birliğinde yapılmıştır. Her bir numune için 4×4×16 prizmalardan 3 tane (bir kalıp) hazırlanmıştır. 28 gün suda, 28. günden sonra 12 hafta su ve sülfat çözeltisinde bekletilen numuneler üzerinde;

Eğilme ve basınç mukavemeti,
Kararlılık (ağırlık ve boy değişimi),
Boşluk durumu (kilcallık, birim ağırlık ve su emme) deneyleri yapılmıştır.

5.1. EĞİLME VE BASINÇ MUKAVEMETİ DENEYLERİ

Mukavemet deneyleri, TS 24 'e uygun olarak 0. (28. gün.), 4., 8., 12. haftalarda su ve sülfatlı suda bekleyen numuneler üzerinde yapılmıştır. Basınç mukavemeti sonuçları Çizelge 5.3 'de, eğilme mukavemeti sonuçları Çizelge 5.4 'de verilmiştir.



Foto 5.1: Suda Bekletilen Harç Numuneleri.



Foto 5.2: Sülfatlı Suda Bekletilen Harç Numuneleri ve pHmetre.

Çizelge 5.3: Su ve Sülfat Çözeltsinde Bekletilen Harçların Basınç Mukavemeti Sonuçları (kgf/cm^2).

* 0 (28. gün) Numune Yaşından Sonraki Haftalar.

ÜT:Üsttüf AT:Alttüf TTP:Turnatepe Perlitik Ş:Şahit



Numune adı	Su				Sülfat		
	0* (28.gün)	4*	8 *	12 *	4 *	8 *	12 *
%24ÜT	518	538	564	614	518	486	484
%28ÜT	512	595	640	653	557	461	463
%32ÜT	486	538	570	589	480	448	384
%24AT	435	493	538	544	461	441	448
%28AT	365	474	499	506	473	448	430
%32AT	384	454	467	486	448	435	400
%24TTP	346	384	390	416	384	371	371
%28TTP	320	365	365	397	358	358	358
%32TTP	294	346	371	384	358	346	333
Ş	570	576	589	601	480	384	313

Çizelge 5.4: Su ve Sülfat Çözeltsinde Bekletilen Harçların Eğilme Mukavemeti Sonuçları (kgf/cm^2).

* 0 (28. gün) Numune Yaşından Sonraki Haftalar.

ÜT: Üsttüf AT: Alttüf TTP: Turnatepe Perlitik Ş: Şahit

Numune adı	Su				Sülfat		
	0* (28.gün)	4*	8*	12*	4*	8*	12*
%24ÜT	57	57	59	64	64	65	64
%28ÜT	56	57	59	60	64	65	66
%32ÜT	51	56	57	57	60	68	69
%24AT	46	49	53	56	59	59	61
%28AT	45	48	51	53	60	60	62
%32AT	41	46	49	51	64	65	66
%24TTP	41	46	47	48	41	49	51
%28TTP	35	43	43	46	46	48	56
%32TTP	37	43	45	46	53	54	62
Ş	53	54	56	57	55	56	50

5.2. KARARLILIK DENEYLERİ

Ağırlık Değişimi Deneyi:

Harç numuneleri kalıptan çıkarıldıkten sonra 0.01 g duyarlılık terazide tartılarak ilk ağırlıkları alınmıştır. Numunelerin üretimden sonraki 0., 4., 8., 12. haftalarda su ve sülfit çözeltisinden çıkarılarak ağırlıkları alınmıştır. Tüm tartım işlemlerinden önce harçların yüzeyi bir bezle kurulanmıştır. Tüm numunelerde ağırlık değişimi yüzdesi (W_D) aşağıdaki formüle göre hesaplanmıştır.

$$W_D = \frac{W_t - W_0}{W_0} \times 100$$

W_D = Ağırlık değişimi (%)

W_t = t süredeki ağırlık (g)

W_0 = Başlangıçtaki ağırlık (g)

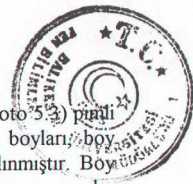
Su ve sülfit çözeltisinde bekleyen numunelerin ağırlık değişim değerleri Çizelge 5.5 'de verilmiştir.

Çizelge 5.5: Su ve Sulfat Çözeltinde Bekletilen Harçların Ağırlık Değişim Değerleri (%).

* 0 (28. gün) Numune Yaşından Sonraki Haftalar.

ÜT: Üsttüf AT: Alttüf TTP: Turnatepe Perlitik \$: Şahit

Numune adı	Su			Sulfat		
	4*	8*	12*	4*	8*	12*
%24ÜT	0.043	0.043	0.13	0.87	1.74	1.76
%28ÜT	0.086	0.086	0.22	0.10	2.64	2.95
%32ÜT	0.17	0.21	0.13	1.16	2.88	2.93
%24AT	0.04	0.13	0.48	0.17	1.59	2.28
%28AT	0.17	0.17	0.35	0.17	1.35	2.61
%32AT	0.086	0.21	0.52	0.13	1.49	2.72
%24TTP	0.17	0.17	0.47	0.57	1.72	3.00
%28TTP	0.09	0.13	0.39	0.17	0.82	2.18
%32TTP	0.13	0.13	0.49	0.13	1.24	1.63
\$	0.12	0.21	0.60	0.28	1.80	2.60



Boy Değişimi Deneyi:

Harç numuneleri TS 3322 'ye göre, $27.5 \times 27.5 \times 285$ mm 'lik kalıplarda (Foto 5.3) pırmızı olarak üretilmiştir. Harç kalıpları söküldükten sonra numunelerin ilk boyları/boy ölçüm aletindeki (Foto 5.4) 1/100 mm hassaslıktaki komparatör ile alınmıştır. Boy ölçümleri 0, 4., 8., 12. haftalarda su ve sülfat çözeltisinde bekleyen numuneler üzerinde yapılmıştır. Ölçüm yapılmadan önce kür havuzundan çıkarılan numunelerin yüzeyleri bir bezle kurlanmıştır.

Numunelerde boy değişimi (l_D) aşağıdaki formüle göre hesaplanmıştır.

$$l_D = \frac{l_t - l_0}{l_0}$$

l_D = Boy değişimi (m/mm)

l_t = t süredeki boy (mm)

l_0 = başlangıçtaki boy (mm)

Su ve sülfat çözeltisinde bekletilen numunelerin boy değişim değerleri Çizelge 5.6 'da verilmiştir.

Çizelge 5.6: Su ve Sülfat Çözeltinde Bekletilen Harçların Boy Değişim Değerleri ($\times 10^{-6} \mu/\text{mm}$).

* 0 (28. gün) Numune Yaşıdan Sonraki Haftalar.

ÜT: Üstlüf AT: Alttüyü TTP: Turnatepe Perlitik §: Şahit

Numune adı	Su			Sülfat		
	4*	8*	12*	4*	8*	12*
%24ÜT	35	49	84	28	49	77
%28ÜT	49	84	108	74	102	102
%32ÜT	27	27	34	63	105	112
%24AT	14	56	56	101	118	123
%28AT	28	103	118	104	102	116
%32AT	14	28	42	108	103	123
%24TTP	56	105	111	63	100	117
%28TTP	27	35	49	77	102	106
%32TTP	14	28	28	84	105	105
§	21	35	60	49	153	195

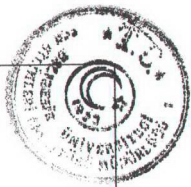


Foto 5.3: Pimli Standart Kalıplar.

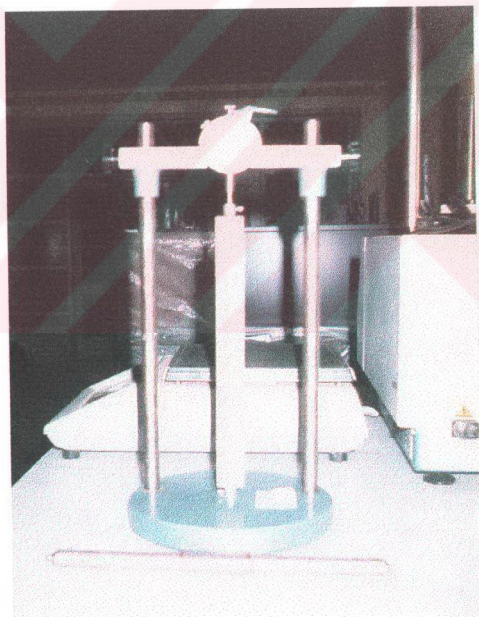


Foto 5.4: Boy Ölçüm Aleti.



Harç ve beton içerisinde bulunan agregalar (ince veya kaba agregalar) hermen nemen hiç hacim değişimine uğramamakta, buna ilave olarak hacim değişimini azaltıcı etki göstermektedirler. Dolayısıyla, meydana gelen hacim değişikliklerinin merkezi çimento hamuru ve burada meydana gelen reaksiyonlardır (BAYAZIT 1988).

Yüzeyden kaçacak su miktarı yüksek nemden dolayı ortamdan ayrılamamakta, buna ilave olarak dışarıdan ortama fazladan su girerek numunelerde hacim artışlarına sebep olmaktadır. Beton için 1000×10^{-6} 'lik rötre değeri ihmali edilebilir bir değerdir.

5.3. BOŞLUK DURUMU DENEYLERİ

Kılcallık Deneyi:

Üretilen harçlarda 4. ve 12. haftalık kürden sonra kılcallık deneyi yapılmıştır. Deney için $4 \times 4 \times 16$ cm 'lik numuneler ortadan ikiye kesilip 105°C 'lik etüvde kuru ağırlığa gelene kadar (yaklaşık 24 saat) kurutulmuştur. Etüvden alınan numuneler desikatörde desikatörde tutulmuştur. Kılcallık deneyine başlamadan önce, numunelerin 4×4 cm 'lik yüzeyleri su ile temas edecek şekilde, yanız yan yüzeyleri parafinle kapatılmıştır. Kılcallık deneyinde tabandan kılcal olarak emilen su, 1., 4., 9., 16. ve 25. dakikalarda 0.01 g hassaslığındaki terazide tariqlerek belirlenmiştir.

Kılcallık katsayısı aşağıdaki formüle göre hesaplanmıştır.

$$k = \frac{(Q/A)^2}{t} = \frac{Q/A}{\sqrt{t}}$$

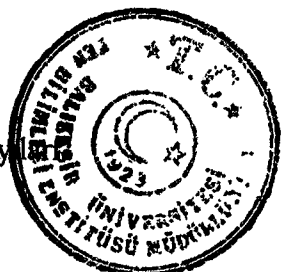
k = Kılcallık katsayısı (cm^2/s)

Q = Emilen su miktarı (cm^3)

A = Su emdirilen yüzey alanı (cm^2)

t = Geçen süre (s)

Kılcallık katsayısı formülüne göre, düşeyde Q/A , yatayda \sqrt{t} göre çizilen diyagramın tanjant α 'sı kılcallık katsayısını vermektedir. Su ve sülfatlı suda bekleyen numunelerin kılcallık deney sonuçları Çizelge 5.7 'de verilmektedir.



Çizelge 5.7: Su ve Sulfat Çözeltinde Bekletilen Harçların Kılcallık Katsayıları (cm^2/s).

* 0 (28. gün) Numune Yaşından Sonraki Haftalar.

ÜT: Üsttüp AT: Alttüp TTP: Turnatepe Perlilik \$: Şahit

Numune adı	Su		Sulfat	
	4*	12*	4*	12*
%24ÜT	10.3	12.2	11.5	10.5
%28ÜT	10.9	12.9	11.4	11.0
%32ÜT	11.0	12.8	11.7	10.5
%24AT	12.2	12.0	12.5	11.4
%28AT	12.4	13.0	12.4	11.2
%32AT	12.6	13.4	12.7	10.2
%24TTP	13.1	13.4	12.8	12.5
%28TTP	13.1	13.4	13.0	12.3
%32TTP	13.4	13.7	13.0	12.0
\$	9.0	9.6	9.6	13.7

Su Emme ve Birim Ağırlık Deneyleri:

Kılcallık deneyi yapılan numuneler, su dolu kabin içine konularak 48 saat suya doyurulmuştur. Sudan çıkarılan numuneler 0.01 g duyarlılık terazide tartılarak emdiği su miktarı ve Arşimet prensibinden yararlanarak hacmi belirlenmiştir. Bu deney sonuçlarına göre numunelerin, aşağıdaki formüllerle hacimce su emme değerleri ve birim ağırlıkları hesaplanmıştır.

$$S_h = \frac{W_2 - W_1}{W_1 - W_3} \quad (\%)$$

$$\gamma = \frac{W_1}{W_1 - W_3}$$

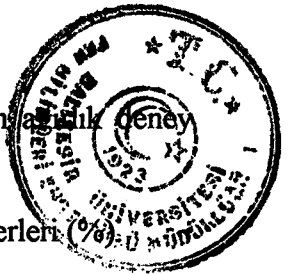
S_h = Hacimce su emme değeri (%)

W_1 = Numunelerin kuru ağırlığı (g)

W_2 = Numunelerin su emmiş halde havadaki ağırlığı (g)

W_3 = Numunenin su emmiş halde sudaki ağırlığı (g)

γ = Birim ağırlık (g/cm^3)



Su ve sülfatlı suda bekleyen numunelerin hacimce su emme ve birim ağırlık deney sonuçları Çizelge 5.8 ve 5.9 'da verilmiştir.

Çizelge 5.8: Su ve Sülfat Çözeltilde Beletilen Harçların Su Emme Değerleri (%)

* 0 (28. gün) Numune Yaşından Sonraki Haftalar.

ÜT: Üsttüf AT: Alttüf TTP: Turnatepe Perlitik S: Şahit

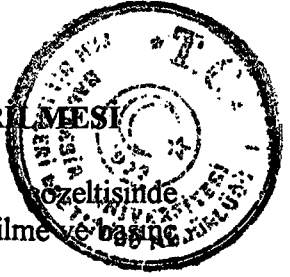
Numune adı	Su		Sülfat	
	4*	12*	4*	12*
%24ÜT	12.6	8.29	12.8	9.54
%28ÜT	12.1	8.57	12.2	9.67
%32ÜT	12.6	8.91	13.0	10.12
%24AT	11.7	11.18	12.8	8.80
%28AT	11.8	8.65	12.9	8.95
%32AT	12.9	8.80	13.3	8.96
%24TTP	12.7	10.66	12.8	10.93
%28TTP	13.4	10.63	13.0	10.75
%32TTP	13.6	11.18	13.7	11.20
§	9.80	9.0	12.2	13.24

Çizelge 5.9: Su ve Sülfat Çözeltilde Beletilen Harçların Birim Ağırlık Değerleri (%).

* 0 (28. gün) Numune Yaşından Sonraki Haftalar.

ÜT: Üsttüf AT: Alttüf TTP: Turnatepe Perlitik S: Şahit

Numune adı	Su		Sülfat	
	4*	12*	4*	12*
%24ÜT	2.04	2.03	2.03	2.04
%28ÜT	2.04	2.03	2.02	2.03
%32ÜT	2.03	2.02	2.01	2.02
%24AT	2.09	2.08	2.11	2.10
%28AT	2.07	2.07	2.10	2.09
%32AT	2.07	2.07	2.07	2.06
%24TTP	2.14	2.15	2.15	2.15
%28TTP	2.13	2.13	2.16	2.15
%32TTP	2.13	2.12	2.13	2.13
§	2.14	2.13	2.15	2.11



5.4. DAYANIKLILIK DENEY SONUÇLARININ DEĞERLENDİRİLMESİ

Harçlarda dayanıklılığın belirlenmesi için harç numuneleri sülfat çözeltisinde bekletilmiştir. Harçlar üzerinde sülfat etkisini belirlemek için harçların eğilme ve basınç mukavemetleri, kararlılığı, boşluk durumu ve mikroyapısı incelenmiştir.

5.4.1. BASINÇ MUKAVEMETİ SONUÇLARI

Su ve sülfat çözeltisinde bekletilen harçların basınç mukavemetlerinin zamanla ve katkı miktarı ile değişimleri Çizelge 5.3 'de verilen değerlere göre incelenmiştir.

Suda Bekletilen Harçlar

Suda bekletilen harçların katkı miktarlarına ve zamana göre basınç mukavemeti değişimleri Şekil 5.1, 5.2 ve 5.3 'de görülmektedir. Su içinde bekletilen bütün harçlarda basınç mukavemetleri zamanla artmıştır. Katkı miktarının artmasıyla, basınç mukavemetlerinde azalma olmuştur. 12. hafta sonunda katkı oranları içinde en yüksek basınç mukavemeti değerleri %24 katkılı harçlarda görülmüştür (Şekil 5.4).

%24 Katkı Oranında

%24 katkı oranında en yüksek basınç mukavemeti Üsttüf katkılı harçlarda alınmıştır. Katkılı harçlar, 8. haftaya kadar basınç mukavemetlerinde artış, 8. haftadan sonra sabitleşme eğilimi göstermiştir. 12. hafta sonunda en büyük mukavemet değerine Üsttüf (%98 zeolit) katkılı harç ulaşmıştır. Üsttüflü harçın en büyük mukavemeti alması tüfun zeolitik olması ve yapısındaki amorf silisten kaynaklanmaktadır. 12. hafta sonunda şahit harçda basınç mukavemeti artışı %105 iken, Üsttüf katkılı harçda %116, Alttüf katkılı harçda %125, TT.P Perlitik katkılı harçda %120 olmuştur. Yani şahit harçda 12. hafta sonunda mukavemet artışı %5, katkılı harçlara %16-25-20 olmuştur. Mukavet artışı katkılı harçlarda zamanla birlikte devam etmektedir.

%28 Katkı Oranında

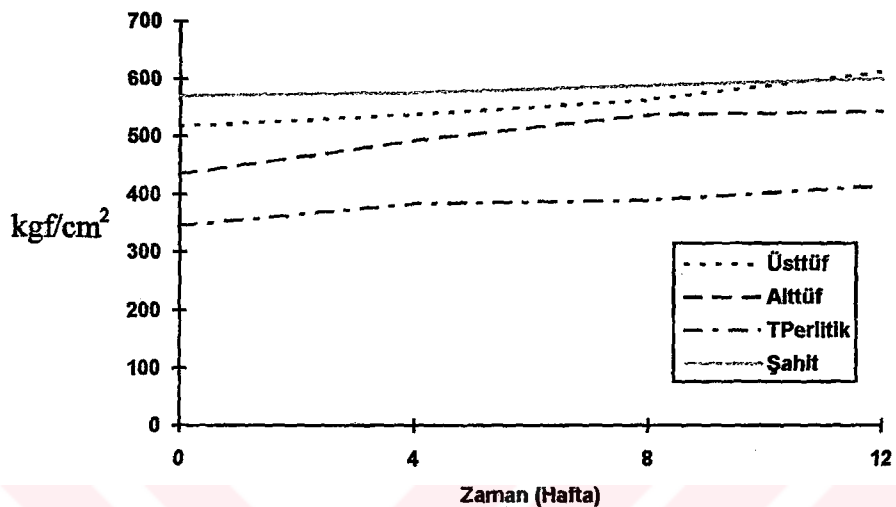
%28 katkı oranında TT.Perlitik ile üretilen harçlarda 28. gün sonunda basınç mukavemet değeri sınır mukavemet değerinin altında kalmıştır. Bu da çimentodaki katkı miktarının fazla olmasından kaynaklanmaktadır. 12. hafta sonunda en büyük mukavemet değeri Üsttüf katkılı harçda alınmıştır. 12. hafta sonunda şahit harçda basınç mukavemeti artışı %105 iken, Üsttüf katkılı harçda %128, Alttüf katkılı harçda %139 olmuştur. 28. günden sonra zeolit katkılı harçlarda mukavemet artışı devam etmiştir. Bu da yapılarındaki amorf (aktif) silisten kaynaklanmaktadır.

%32 Katkı Oranında

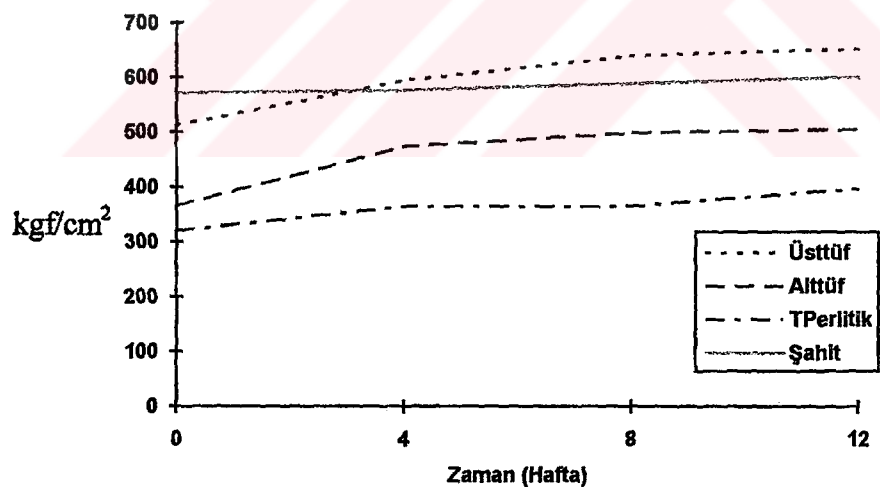
%32 katkı oranında TT.Perlitik ile üretilen harçlarda 28. gün sonunda basınç mukavemet değeri sınır mukavemet değerinin altında kalmıştır. Bu da katkı miktarının fazlalığından kaynaklanmaktadır. 12. hafta sonunda en büyük mukavemet değeri

CİMENTO
UNİVERSİTESİ
SÜDAMALİ İŞLETME

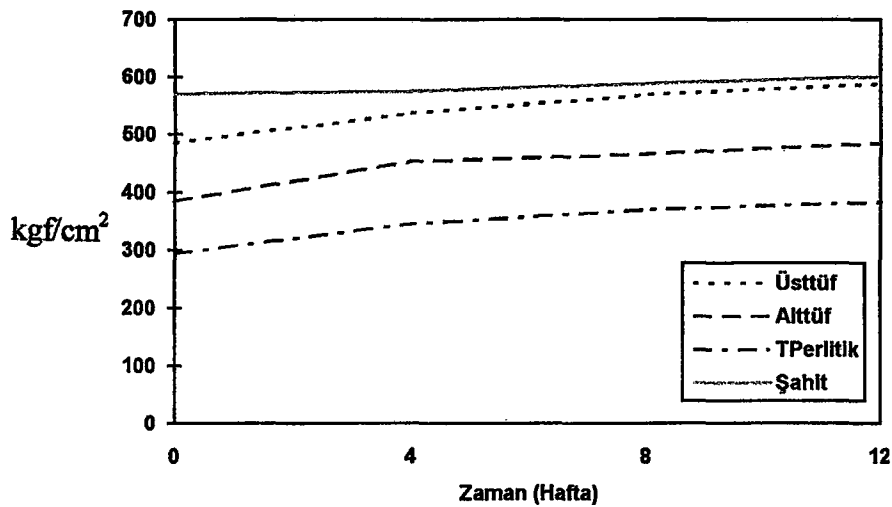
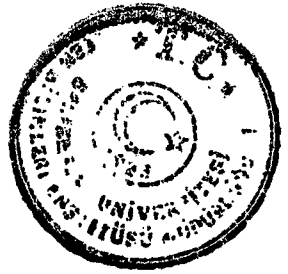
Alttüf katkılı harçlarda alınmıştır. %32 katkılı harçların basınç mukavemeti değerleri 12. hafta sonunda şahit harçdan az olmuştur. 12. hafta sonunda şahit harçda basınç mukavemeti artışı %105 iken, Üsttüf katkılı harçda %80 ve Alttüf katkılı harçda %104 olmuştur. Bu düşüş çimentolardaki katkı miktarının fazla olduğunu gösterir.



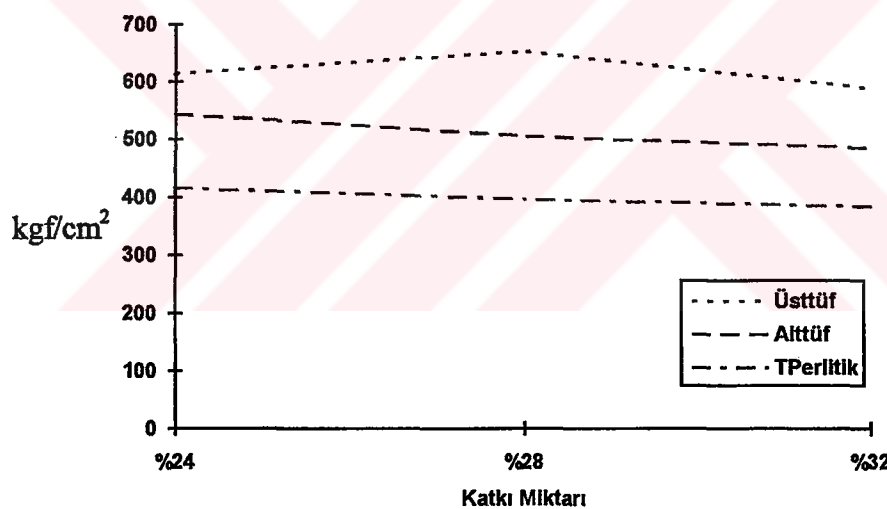
Şekil 5.1: Suda Bekletilen %24 Katkılı Harçların Basınç Mukavemetlerinin Zamanla Değişimi.



Şekil 5.2: Suda Bekletilen %28 Katkılı Harçların Basınç Mukavemetlerinin Zamanla Değişimi.



Şekil 5.3: Suda Bekletilen %32 Katkılı Harçların Basınç Mukavemetlerinin Zamanla Değişimi.



Şekil 5.4: Suda Bekletilen Katkılı Harçların 12. Hafta Sonunda Basınç Mukavemeti Değişimleri.

Sülfat Çözeltisinde Bekletilen Harçlar

Sülfat çözeltisinde bekletilen harçların zaman ve katkı miktarı ile basınç mukavemeti değişimleri Şekil 5.5, 5.6 ve 5.7 'de verilmiştir. Buna göre sülfat çözeltisinde bekletilen katkılı harçlarda basınç mukavemeti 4. haftaya kadar artmaktadır, 4. haftadan sonra sabitleşme eğilimi göstermektedir. Şahit harçda ise zamanla birlikte dayanımlarda sürekli azalma olmuştur. 12. hafta sonunda en büyük basınç mukavemeti % 24 katkılı harçlarda alınırken (Şekil 5.5) en düşük mukavemet şahit harçda ölçülmüştür.



%24 Katkı Oranında

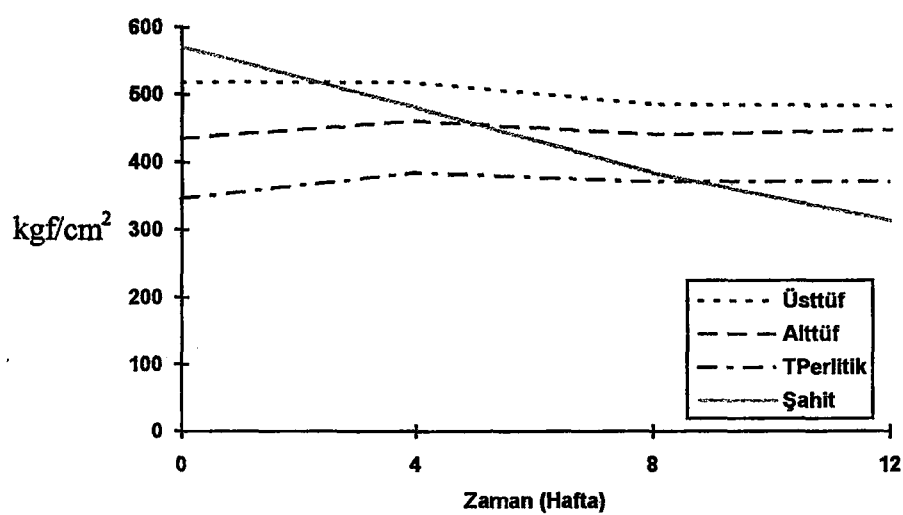
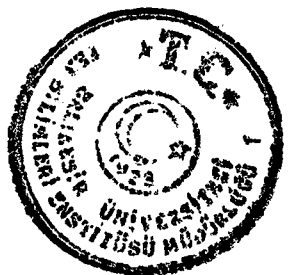
%24 katkılı harçlarda 4. haftaya kadar basınç mukavemetleri artmaya devam etmiştir. 4. haftadan sonra mukavemetler biraz düşmekle beraber sabitleşme eğilimi göstermiştir. 12. hafta sonunda en büyük mukavemet Üstlüf (%98 zeolit) katkılı harçda alınmıştır. 12. hafta sonunda şahit harçda basınç mukavemeti %55 'e , %24 Üstlüf katkılı harçda %93 'e inmiştir. %24 Altılf katkılı harçda basınç mukavemeti %103, TT.Perlitik katkılı harçda %107 artmıştır. Yani şahit harçda basınç mukavemetlerinde %50 'lik bir azalma olurken, Üstlüf katkılı harçda %7 'lik bir azalma, Altılf ve TT.Perlitik katkılı harçlarda %3-7 'lik bir artış olmuştur. Katkılı harçlar sülfat çözeltisinden fazla etkilenmemiştir.

%28 Katkı Oranında

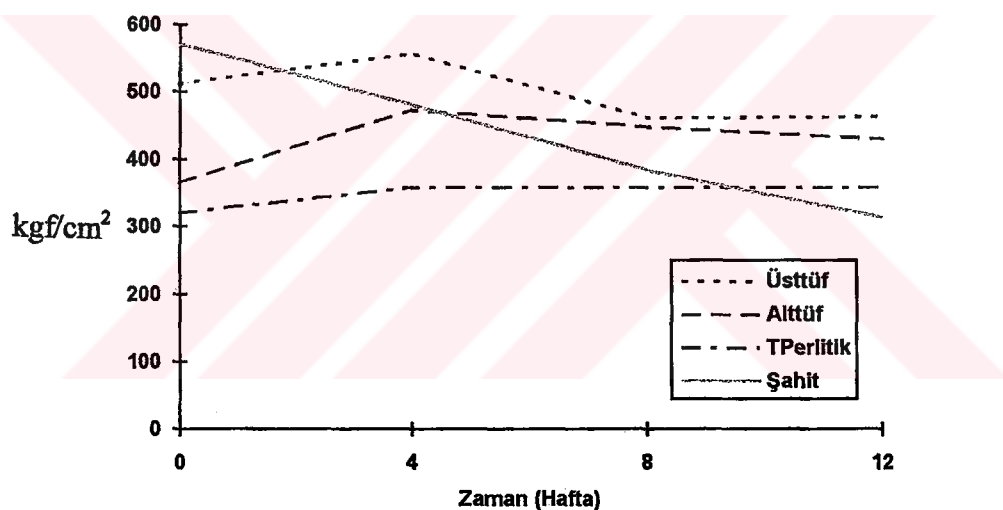
%28 TT.Perlitik katkılı harçlarda basınç mukavemeti standartlar dışında kalmıştır. %28 katkılı harçlarda 4. haftaya kadar basınç dayanımları artmaya devam etmiştir. 4. haftadan sonra mukavemetler biraz düşmekle beraber sabitleşme eğilimi göstermiştir. 12. hafta sonunda en büyük mukavemet Üstlüf (%98 zeolit) katkılı harçda alınmıştır. 12. hafta sonunda şahit harçda basınç mukavemeti %55 'e , %24 Üstlüf katkılı harçda %90 'a inmiştir. %24 Altılf katkılı harçda basınç mukavemeti %117, TT.Perlitik katkılı harçda %111 artmıştır. Basınç mukavemetlerinde Üstlüf katkılı harçda %10 'luk bir düşüş olurken, Altılf ve TT.Perlitik katkılı harçlarda mukavemet artmaya devam etmiştir.

%32 Katkı Oranında

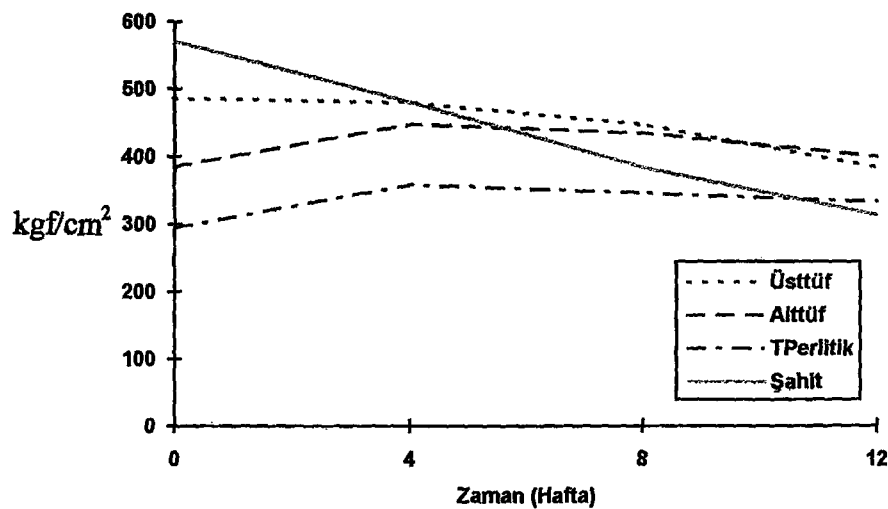
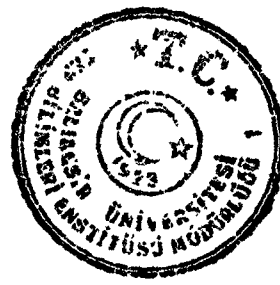
%32 katkı oranında TT.Perlitik katkılı harçda basınç mukavemeti standartlar dışında kalmıştır. Bu da katkı miktarının fazla oluşundan kaynaklanmaktadır. %32 Üstlüf ve Altılf katkılı harçlarda 4. haftaya kadar basınç mukavemeti artmaya devam etmiştir. 4. haftadan sonra mukavemetler biraz düşmekle beraber sabitleşme eğilimi göstermiştir. 12. hafta sonunda en büyük mukavemet Altılf (%65 zeolit) katkılı harçda alınmıştır. 12. hafta sonunda şahit harçda basınç mukavemeti %55 'e , %24 Üstlüf katkılı harçda %80 'e inmiştir. %24 Altılf katkılı harçda basınç mukavemeti %107 artmıştır. Katkılı harçlarda mukavemetin düşmesi katkı miktarının fazla oluşundan kaynaklanmaktadır.



Şekil 5.5: Sülfat Çözeltisinde Bekletilen %24 Katkılı Harçların ve Şahit Harcın Basınç Mukavemetlerinin Zamanla Değişimi.



Şekil 5.6: Sülfat Çözeltisinde Bekletilen %28 Katkılı Harçların ve Şahit Harcın Basınç Mukavemetlerinin Zamanla Değişimi.

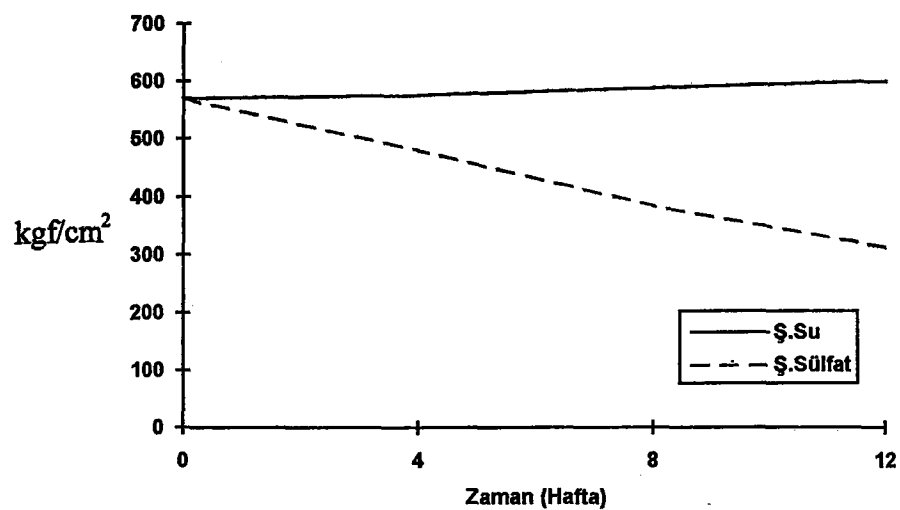
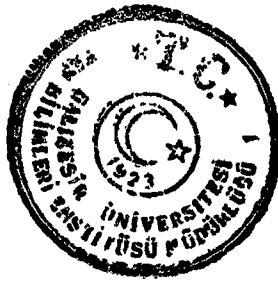


Şekil 5.7: Sülfat Çözeltisinde Bekletilen %32 Katkılı Harçların ve Şahit Harçın Basınç Mukavemetlerinin Zamanla Değişimi.

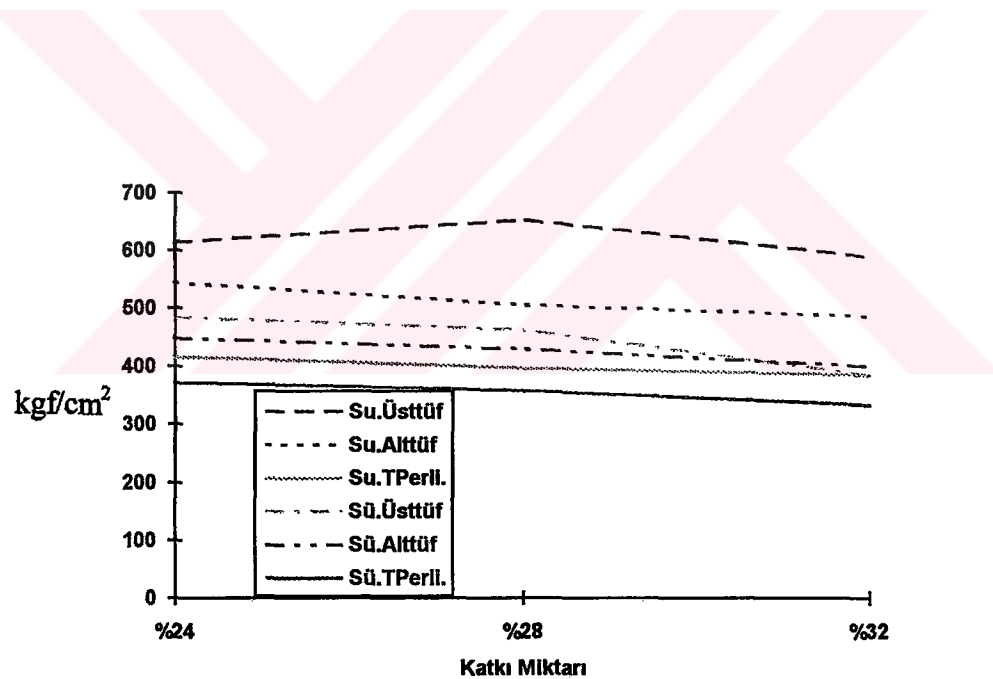
Su ve sülfat çözeltisinde bekletilen harçların basınç mukavemetleri aynı ayrı incelendikten sonra bunların birbiri ile kıyaslaması yapılmıştır. Bu amaçla çizilen grafikler Şekil 5.8 ve 5.9 'dan şu sonuçlar alınmıştır:

12. kür haftası sonunda sülfat çözeltisinde bekletilen şahit harç suda bekletilenlere göre dayanım kaybetmiştir. Yani suda bekletilen şahit harçının mukavemeti %105 iken, sülfat çözeltisinde %55 'e inmiştir.

12. hafta sonunda sülfat çözeltisinde bekletilen katkılı harçlarda suda bekletilen harçlara göre daha düşük basınç mukavemetleri alınmasına rağmen, aradaki farklar fazla büyük değildir. Suda bekletilen Üstlüf katkılı harçlarda basınç mukavemeti artışı %116-121 iken, sülfat çözeltisinde %93-80 'e inmiştir. Suda bekletilen Alttüf katkılı harçlarda %139-104 basınç mukavemeti artışı olurken, sülfat çözeltisinde bekletilenlerde %117-103 'lük bir artış olmuştur. Suda bekletilen TT.Perlitik katkılı harçlarda %120 artış olurken, sülfat çözeltisinde bekletilenlerde %107 artış olmuştur.



Şekil 5.8: Su ve Sülfat Çözeltilinde Bekletilen Şahit Harçların Zamanla Basınç Mukavemeti Değişimleri.



Şekil 5.9: 12. Hafta Sonunda Su ve Sülfat Çözeltilinde Bekletilen Katkılı Harçların Basınç Mukavemeti Değişimleri.

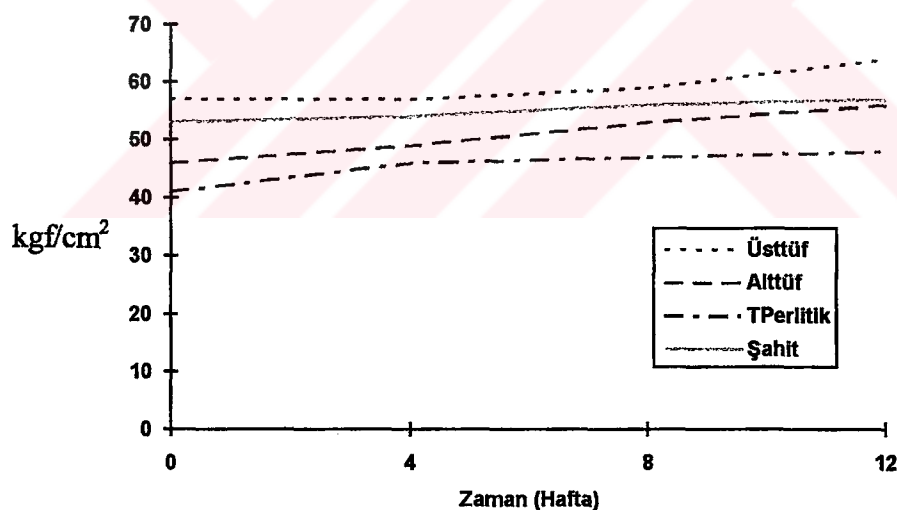


5.4.2. EĞİLME MUKAVEMETİ SONUÇLARI

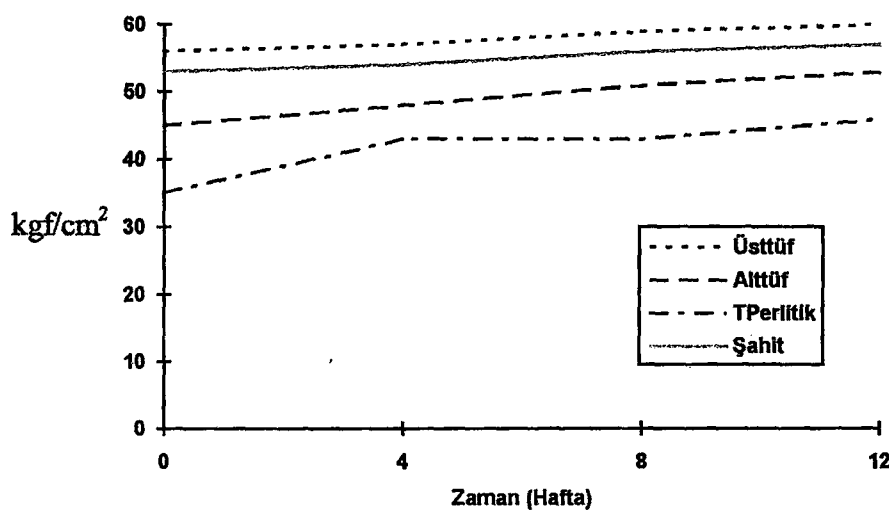
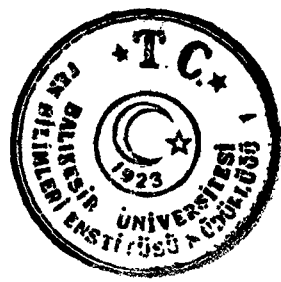
Su ve sülfat çözeltisinde bekletilen harçların eğilme mukavemetlerini katkı miktarı ile değişimleri Çizelge 5.4'de verilen değerlere göre incelenmiştir.

Suda Bekletilen Harçlar

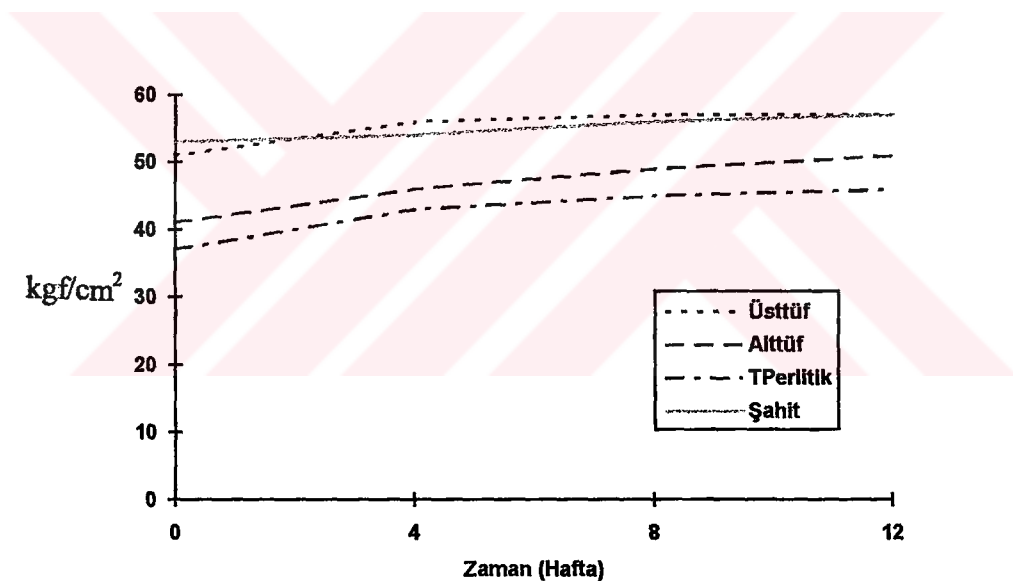
Suda bekletilen harçların katkı miktarlarına ve zaman göre eğilme mukavemeti değişim grafikleri Şekil 5.10, 5.11 ve 5.12'de verilmiştir. Buna göre suda bekletilen bütün harçlarda basınç mukavemetlerinde olduğu gibi eğilme mukavemetleri de zamanla artmış, katkı miktarının artmasıyla da azalmıştır. En büyük eğilme mukavemetleri %24 katkılı harçlarda alınmış ve en büyük değeri %24 Üsttüf katkılı harç vermiştir. %28 ve %32 katkılı harçlarda, katkı miktarının fazla gelmesinden dolayı eğilme mukavemetleri düşmüştür. 8. haftadan sonra da eğilme mukavemetleri artmakla beraber sabitleşme eğilimi de görülmektedir. Bu bulgu, çimentonun dayanım kazanma hızının düşmesi olarak yorumlanabilir. Şahit harç, Alttüf ve Turnatepe Perlitik katkılı harçlara göre 12. hafta sonunda daha büyük eğilme mukavemetine ulaşmakla birlikte 12. hafta sonunda Üsttüf katkılı harçda %112 artış olurken şahit harçda %107 artış olmuştur.



Şekil 5.10: Suda Bekletilen %24 Katkılı Harçların ve Şahit Harçın Eğilme Mukavemetlerinin Zamanla Değişimi.



Şekil 5.11: Suda Bekletilen %28 Katkılı Harçların ve Şahit Harçın Eğilme Mukavemetlerinin Zamanla Değişimi.

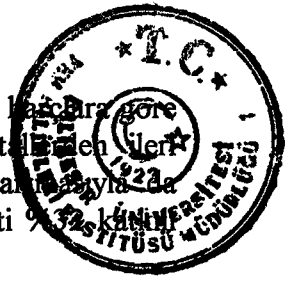


Şekil 5.12: Suda Bekletilen %32 Katkılı Harçların ve Şahit Harçın Eğilme Mukavemetlerinin Zamanla Değişimi.

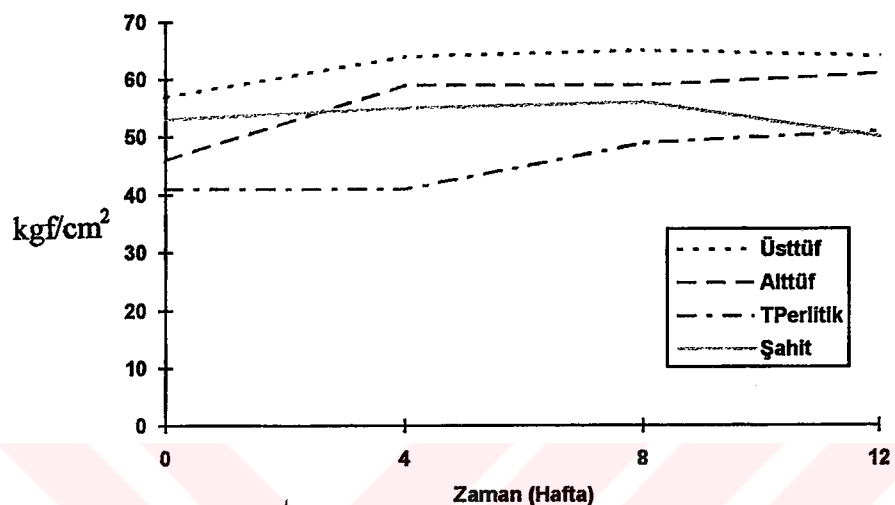
Sülfat Çözeltisinde Bekletilen Harçlar

Sülfat çözeltisinde bekletilen harçların katkı miktarlarına ve zamana bağlı olarak eğilme mukavemeti değişim grafikleri, Şekil 5.13, 5.14 ve 5.15 'de verilmiştir.

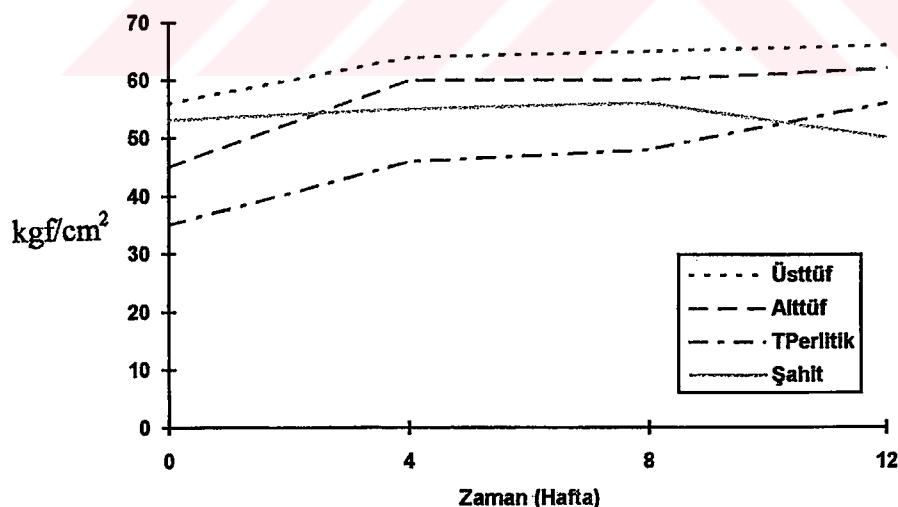
Sülfat çözeltisinde bekletilen katkılı harçların eğilme mukavemetlerinde zamanla artış olmuştur. Sülfat çözeltisinde bekletilen katkılı harçlar suda bekletilen harçlara göre 12. hafta sonunda daha büyük değerlere ulaşmıştır (Şekil 5.16). NEVILLE (1977), sülfatlı



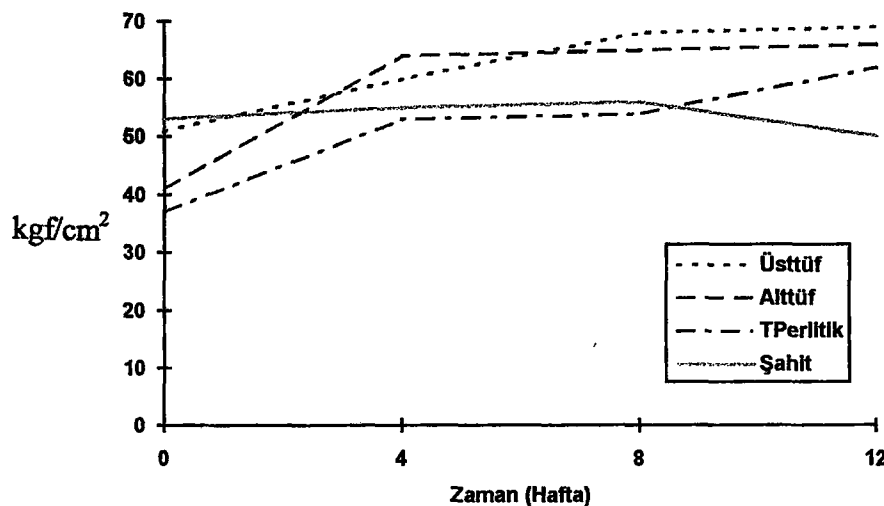
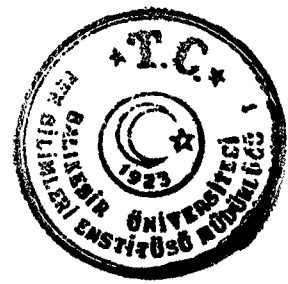
ortamda saklanan harçların eğilme mukavemetlerinin, su içinde saklanan harçlarda göre yüksek olabileceğini belirtmekte ve bunun boşluklarda oluşan kristallerden ilerleyebileceğini ileri sürmektedir. Sülfat çözeltisinde katkı miktarının artılarıyla eğilme mukavemetleri artış göstermiştir. En yüksek eğilme mukavemeti %32 katırlı harçlarda alınmıştır.



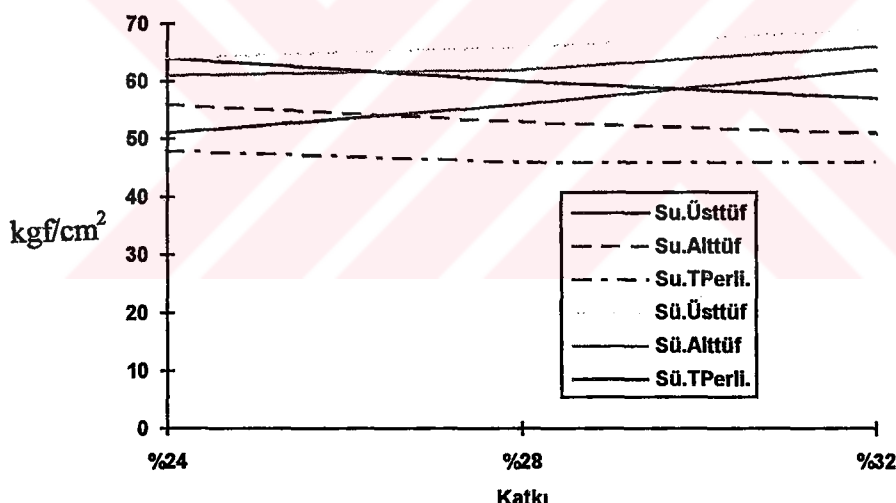
Şekil 5.13: Sülfat Çözeltisinde Bekletilen %24 Kataklı Harçların ve Şahit Harçın Eğilme Mukavemetlerinin Zamanla Değişimi.



Şekil 5.14: Sülfat Çözeltisinde Bekletilen %28 Kataklı Harçların ve Şahit Harçın Eğilme Mukavemetlerinin Zamanla Değişimi.

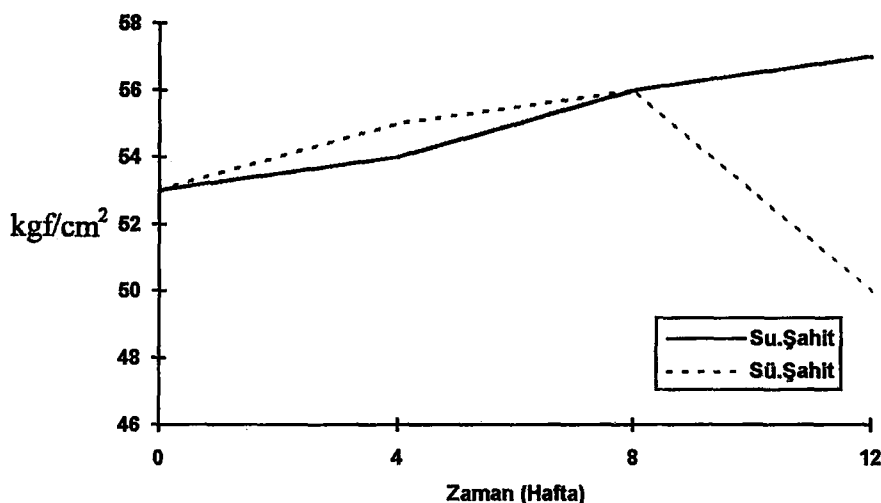
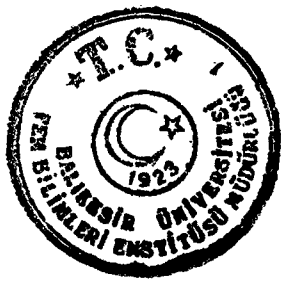


Şekil 5.15: Sülfat Çözeltisinde Bekletilen %32 Katkılı Harçların ve Şahit Harçın Eğilme Mukavemetlerinin Zamanla Değişimi.



Şekil 5.16: 12. Hafta Sonunda Su ve Sülfat Çözeltisinde Bekletilen Katkılı Harçların Eğilme Mukavemeti Değişimleri.

Şahit harçda eğilme mukavemeti 8. kür haftasından sonra azalma eğilimi göstermiştir. 8. kür haftası sonunda mukavemet artışı %108 iken 12. hafta sonunda %94 'e inmiştir. Yani sülfat çözeltisinde bekletilen şahit harç suda bekletilen şahit harca göre mukavemet kaybetmiştir (Şekil 5.17). Şahit harçın 12. hafta sonunda eğilme mukavemeti katkılı harçlara göre daha düşüktür.



Şekil 5.17: Su ve Sülfat Çözeltisinde Bekletilen Şahit Harçların Zamanla Eğilme Mukavemeti Değişimleri.

5.4.3. KARARLILIK DENEY SONUÇLARI

Dayanıklılık deneylerinden kararlılık için, ağırlık ve boy değişimi incelenmiştir.

AĞIRLIK DEĞİŞİMİ

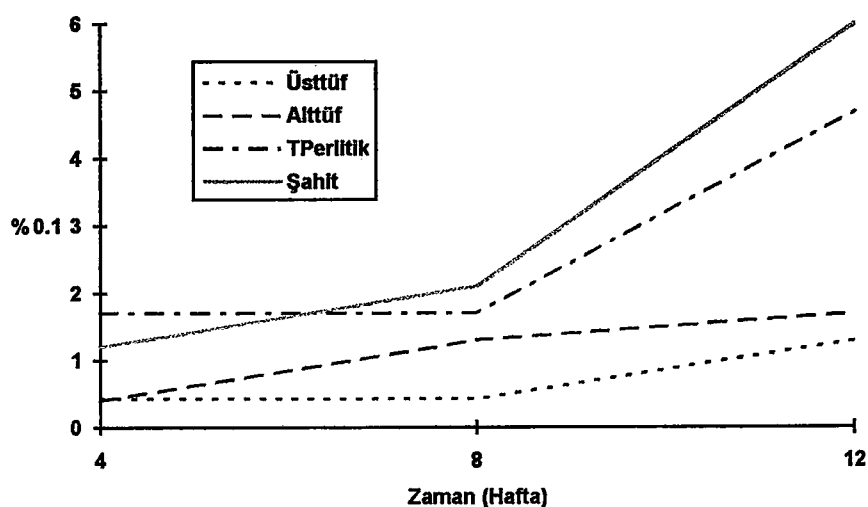
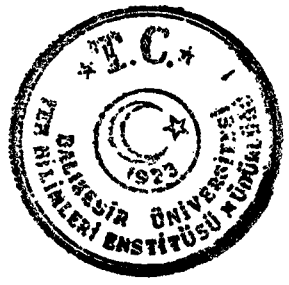
28. güne kadar su içinde bekletilen harçların, 28. günden sonra yarısı suya, yarısı da sülfat çözeltisine konmuştur. Harçların ağırlık değişimleri 4., 8. ve 12. kür haftalarında 28. güne göre kuyaslanarak belirlenmiş ve sonuçlar Çizelge 5.5 'de verilmiştir. Bu çizelgedeki sonuçlara göre çizilen grafikler ve değerlendirmesi aşağıdadır:

Suda Bekletilen Harçlar

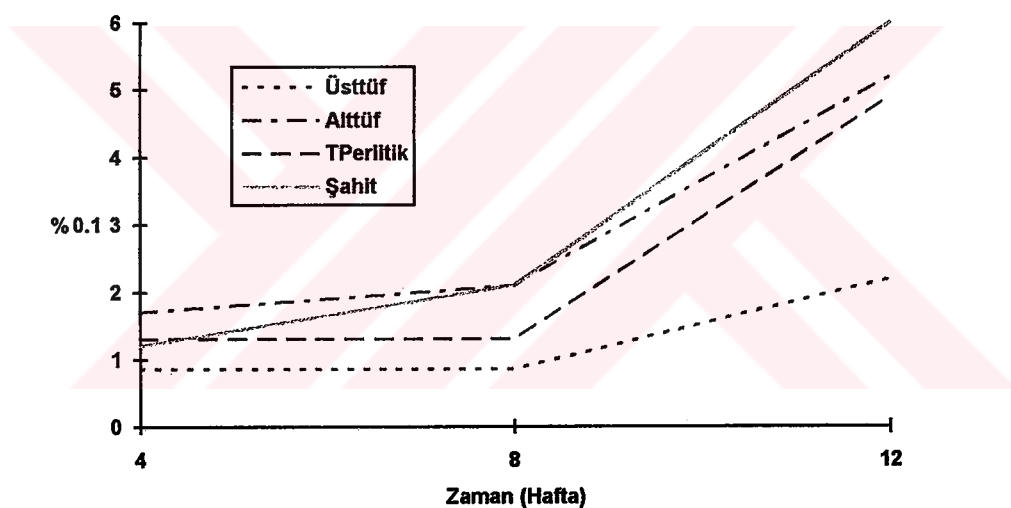
Suda bekletilen harçların zaman ve katkı miktарına bağlı olarak ağırlık değişim grafikleri Şekil 5.18, 5.19 ve 5.20 'de verilmiştir.

Suda bekletilen katkılı harçlarda 28. günden sonra zamanla ağırlık artışı olmuştur. Katkı miktarının çoğalmasıyla da ağırlık artış yüzdesi yükselmiştir. En az ağırlık artışı %24 katkılı harçlarda olmuştur. 12. hafta sonunda %24 Üsttүf katkılı harçda ağırlık artışı %0.13 olurken, Alttүf katkılı harçda %0.17, TT.Perlitik katkılı harçda %0.47 olmuştur. Ağırlık artışı en az Üsttүf katkılı harçda (%98 zeolitik) olmuştur.

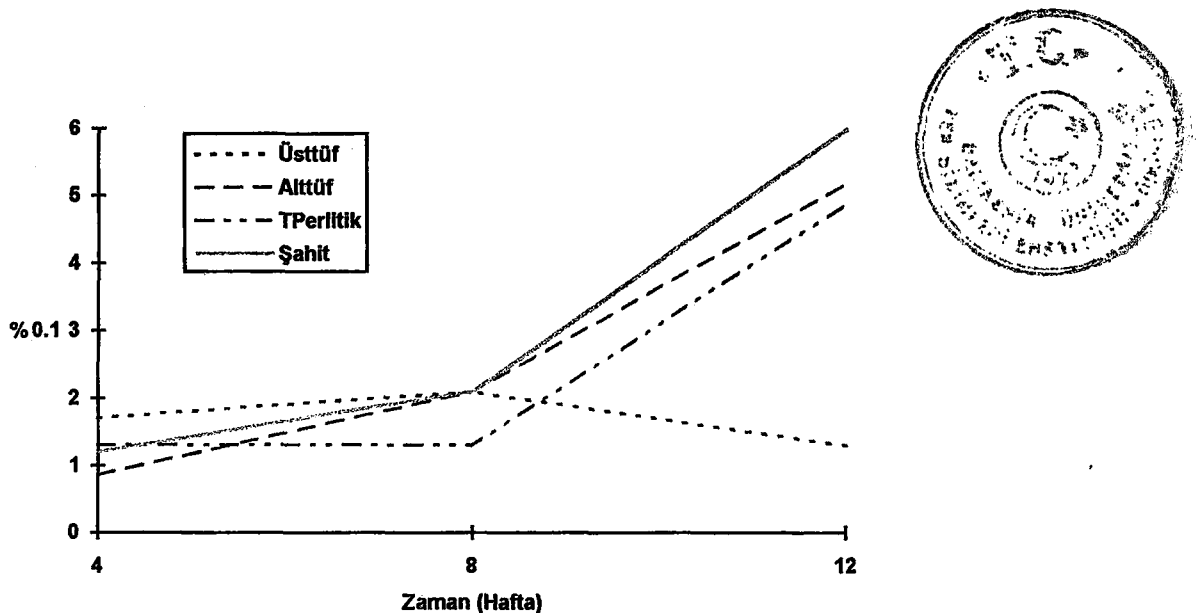
Şahit harçda da zamanla birlikte ağırlıklarda artış olmuştur. 12. hafta sonunda %24 Üsttүf katkılı harçlarda ağırlık artışı %0.13, Alttүf katkılı harçda %0.17, TT.Perlitik katkılı harçda %0.47 iken şahit harçda %0.60 'ı bulmuştur. Yani katkılı harçlara göre şahit harçda ağırlık artışı daha fazla olmuştur. Bu sonuç, katkılı harçların hidratasyon ürünlerinin özgül ağırlığının şahit harca göre daha düşük oluşu ile açıklanabilir (COHEN and BENTUR 1988).



Şekil 5.18: Suda Bekletilen %24 Katkılı Harçlarda ve Şahit Harçda Ağırlık Değişimleri.



Şekil 5.19: Suda Bekletilen %28 Katkılı Harçlarda ve Şahit Harçda Ağırlık Değişimleri.

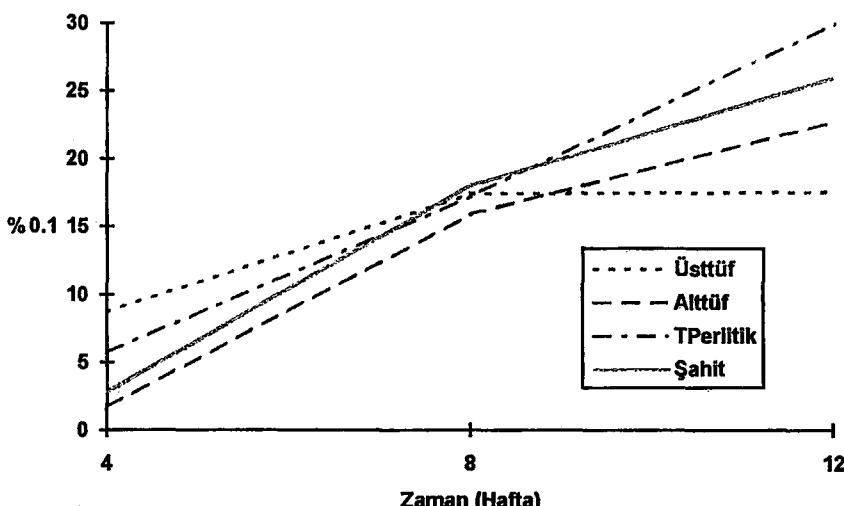


Şekil 5.20: Suda Bekletilen %32 Katkılı Harçlarda ve Şahit Harçda Ağırlık Değişimleri.

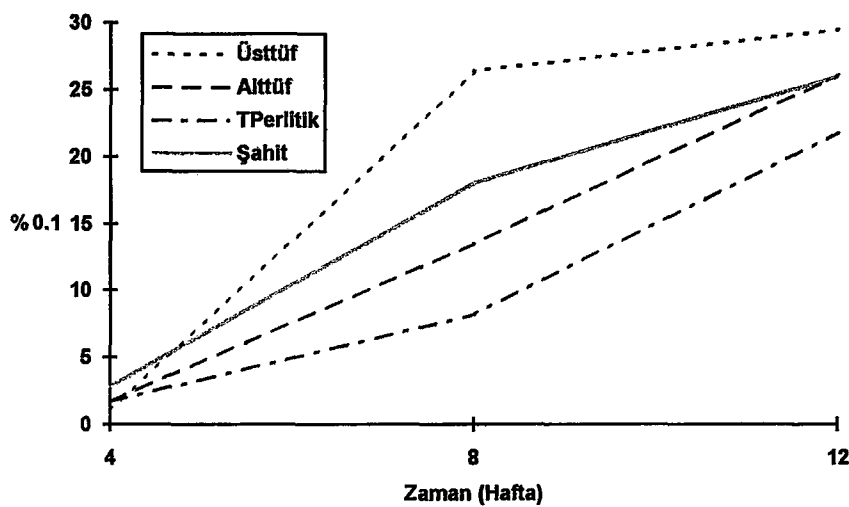
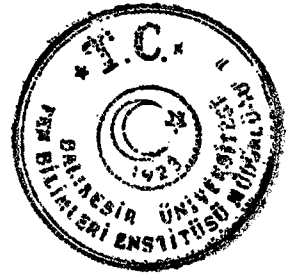
Sülfat Çözeltisinde Bekletilen Harçlar

Sülfat çözeltisinde bekletilen harçların zaman ve katkı miktarına bağlı olarak ağırlık değişim grafikleri Şekil 5.21, 5.22 ve 5.23 'de verilmiştir.

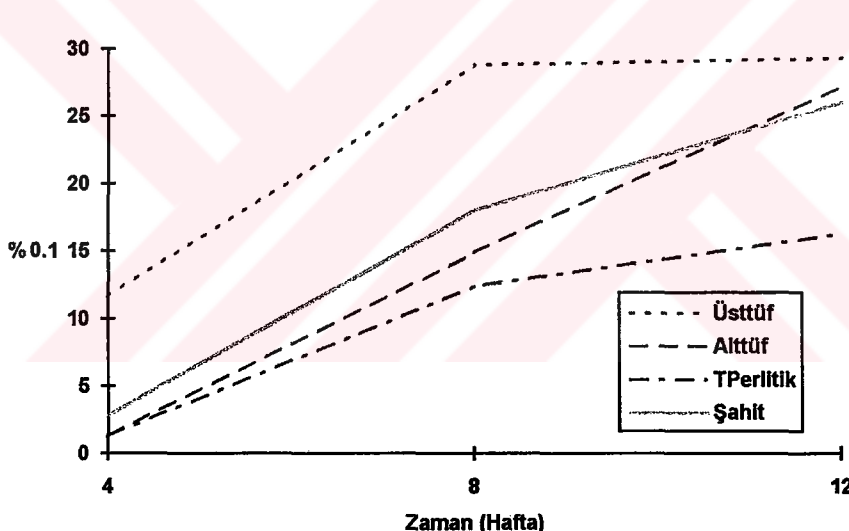
Sülfat çözeltisinde bekletilen harçlarda da zamanla birlikte ağırlık artışı olmuştur. Üstlüf ve Altluft (zeolit) katkılı harçlarda ağırlık artışı katkı miktarının artmasıyla artmış, Turnatepe Perlitik (camsı) katkılı harçlarda ise azalmıştır. Şahit harçda da zamanla birlikte ağırlıklarda artış olmuştur. Şahit harçda 12. hafta sonunda ağırlık artışı %2.60 iken, %24 Üstlüf katkı katkılı harçda %1.76, %32 Turnatepe Perlitik katkı katkılı harçda %1.63 olmuştur. Şahit harca göre katkı katkılı harçlarda ağırlık artışı daha az olmuştur. Şahit harçındaki ağırlık artışı sülfatlı ortamda etringit oluşumuna bağlanabilir. Çünkü şahit harçda ağırlık yanında boyda artmıştır. Ayrıca X-Işını difraktometre sonuçlarında şahit harçda etringit piki görülmüştür.



Şekil 5.21: Sülfat Çözeltisinde Bekletilen %24 Katkılı Harçlarda ve Şahit Harçda Ağırlık Değişimleri.

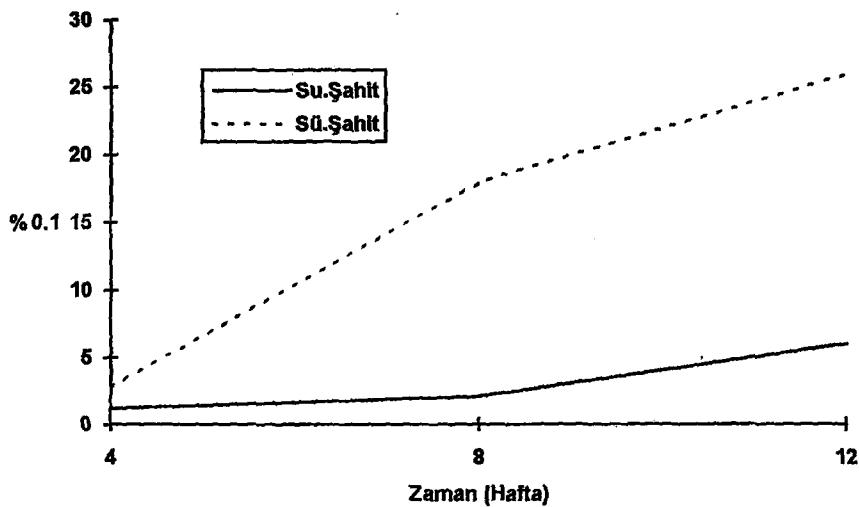
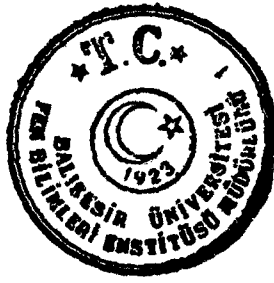


Şekil 5.22: Sülfat Çözeltisinde Bekletilen %28 Katkılı Harçlarda ve Şahit Harçda Ağırlık Değişimleri.



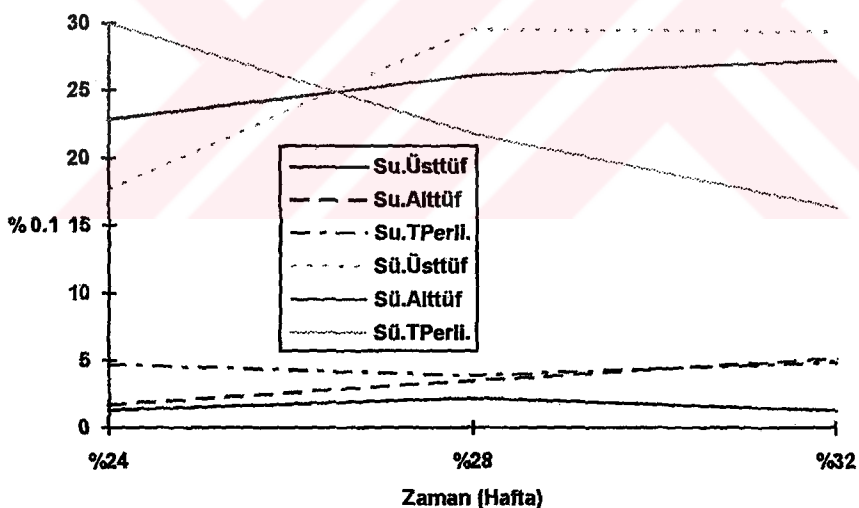
Şekil 5.23: Sülfat Çözeltisinde Bekletilen %32 Katkılı Harçlarda ve Şahit Harçda Ağırlık Değişimleri.

Şekil 5.24 'de görüldüğü gibi, sülfat çözeltisinde bekletilen şahit harçın ağırlık artışı, suda bekletilenlere göre daha fazla olmuştur. 12. hafta sonunda şahit harçın su içindeki ağırlık artışı %0.60 iken sülfat çözeltisinde %2.60 olmuştur. Yani 4.5 kat daha fazla olmuştur.



Şekil 5.24: Su ve Sulfat Çözeltisinde Bekletilen Şahit Harçların Zamanla Ağırlık Değişimleri.

Sulfat çözeltisinde bekletilen katkılı harçlarada, suda bekletilen katkılı harçlara göre ağırlık artışı daha fazla olmuştur (Şekil 5.25).



Şekil 5.25: 12. Hafta Sonunda Su ve Sulfat Çözeltisinde Bekletilen Katkılı Harçların Ağırlık Değişimleri.

BOY DEĞİŞİMİ

Harçlarda boy değişiminin ölçülmesi ile hacim değişimleri saptanmış olmaktadır. 28. güne kadar su içinde bekletilen numuneler 28. günden sonra su ve sulfat çözeltisine konmuştur. Harçların 28. gün ve ondan sonraki boyları 4., 8. ve 12. kür haftalarında ölçülmüş, 28. güne kıyaslanarak, boy değişim sonuçları Çizelge 5.6 'da verilmiştir.

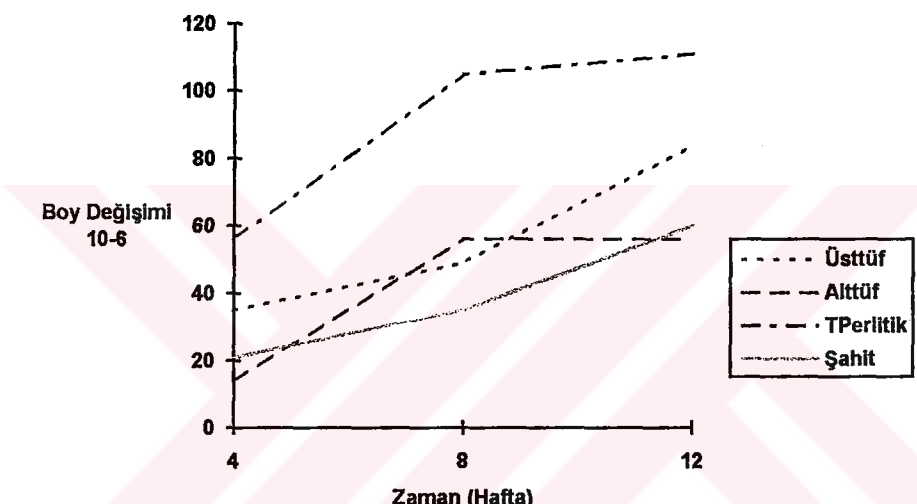


Suda Bekletilen Harçlar

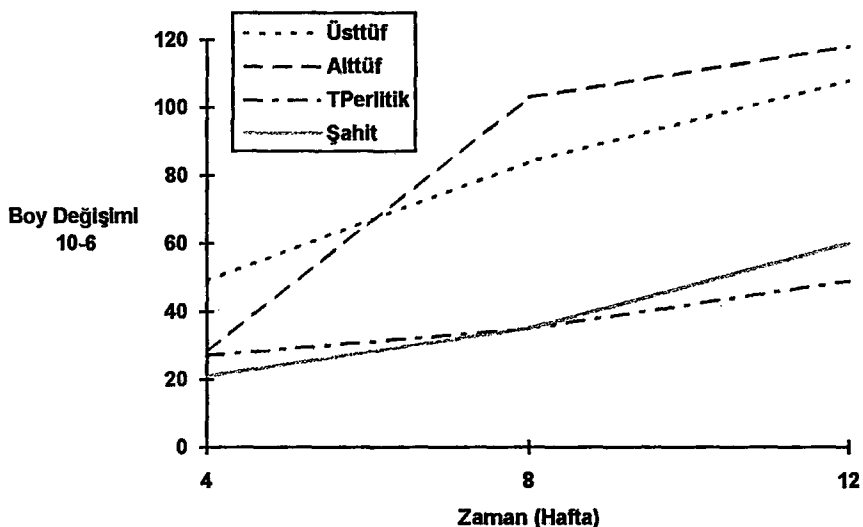
Suda bekletilen harçların zamana ve katkı miktara bağlı olarak çizilen boy değişim grafikleri Şekil 5.26, 5.27 ve 5.28 'de verilmektedir.

Suda bekletilen katkılı harçlarda zamanla boy artışı gözlenmiştir. Boy artış miktarları fazla olmamakla birlikte sürekli olmuştur. Boy artışı tüm harçlarda birbirine yakın ve küçük değerler almış ve 8. haftadan sonra genelde sabitleşme eğilimi göstermiştir. Katkı miktarının artmasıyla (%32 katkılı harçlarda) boy artışı azalmıştır.

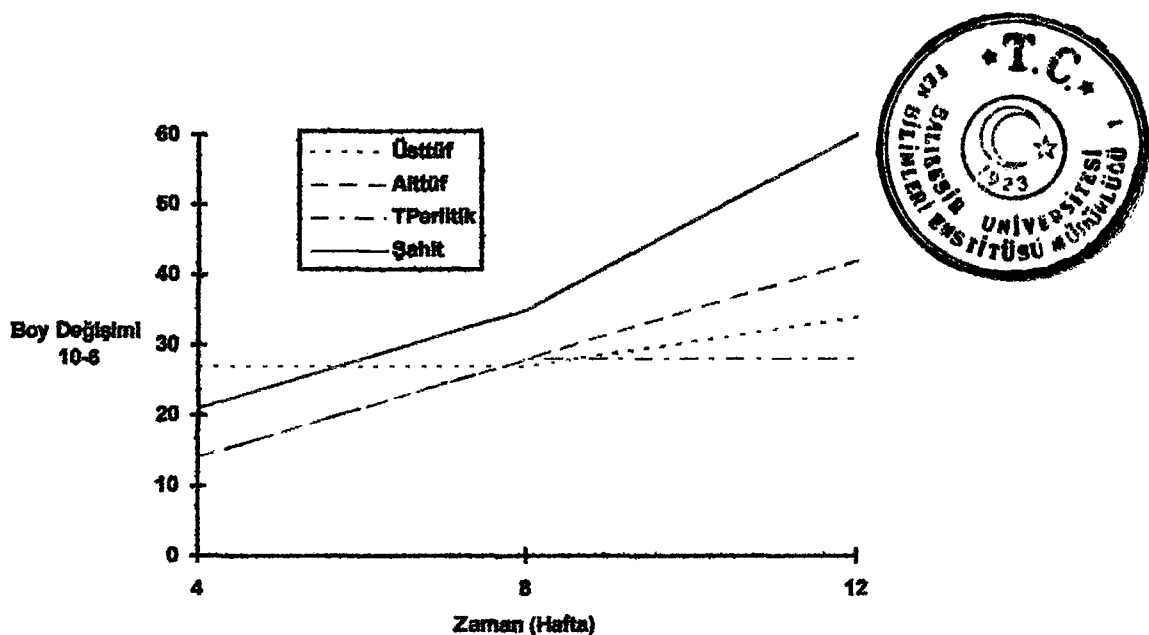
Şahit harçda da zamanla küçük değerlerde boy artışı olmuştur.



Şekil 5.26: Suda Bekletilen %24 Katkılı Harçlarda ve Şahit Harçda Boy Değişimleri.



Şekil 5.27: Suda Bekletilen %28 Katkılı Harçlarda ve Şahit Harçda Boy Değişimleri.

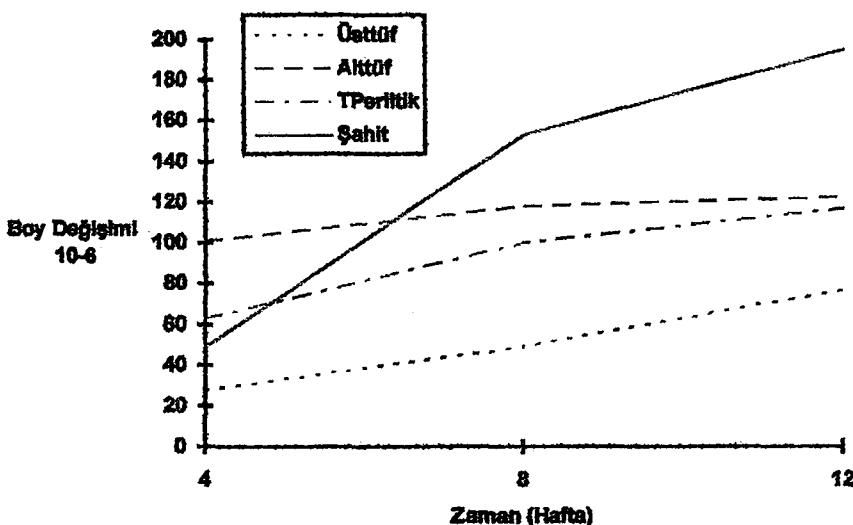


Şekil 5.28: Suda Bekletilen %32 Katkılı Harçlarda ve Şahit Harçda Boy Değişimleri.

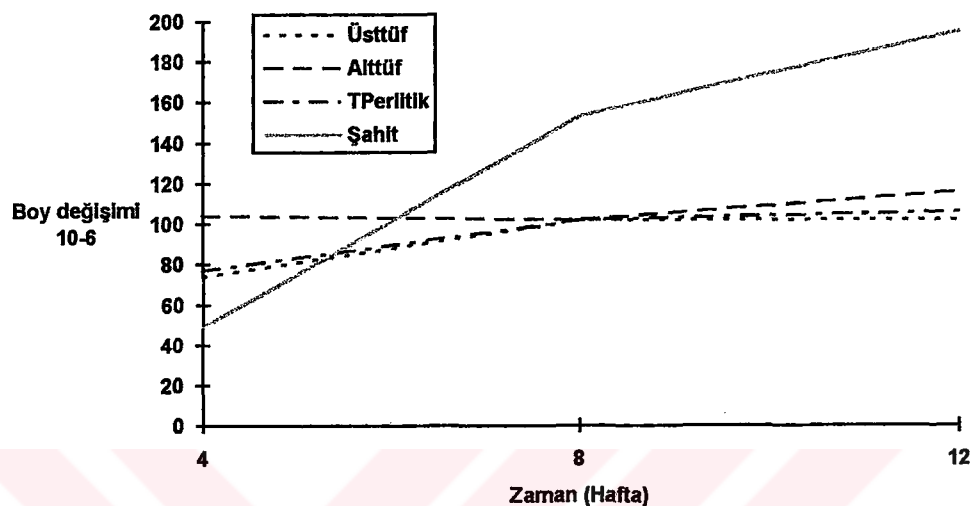
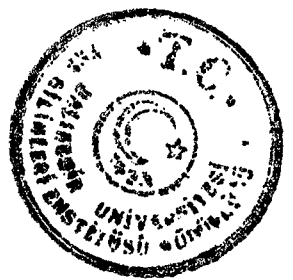
Sülfat Çözeltisinde Bekletilen Harçlar

28. günden sonra sülfat çözeltisinde bekletilen harçların boy değişim grafikleri Şekil 5.29, 5.30 ve 5.31 'de verilmektedir. Şahit ve katkılı harçlar da boy artışı görülmüştür. Ancak şahit harçda boy artışı sürekli ve büyük miktarlarda olmuştur. Şahit harçda oluşan bu boy artışı, sülfat etkileşmesi sonucu oluşan Candlot tuzunun varlığına bağlanabilir.

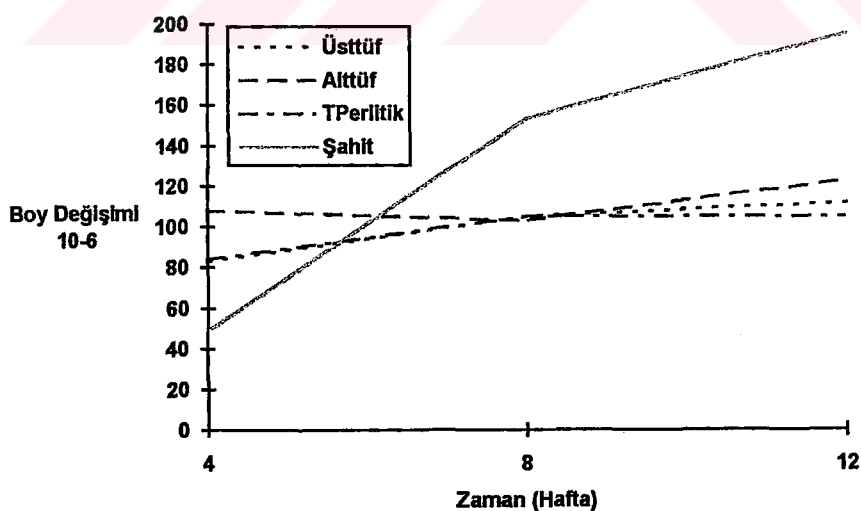
Literatürde, yapay puzolanhı harçların sülfatlı ortamda boy değişimini bakımından fazla etkilenmediği görülmüştür. Katkılı harçlarda boy artışı genelde birbirine yakın değerler almıştır. 12. hafta sonunda en az boy artışı %24 Üstlüf katkılı harçda olmuştur.



Şekil 5.29: Sülfat Çözeltisinde Bekletilen %24 Katkılı Harçlarda ve Şahit Harçda Boy Değişimleri.



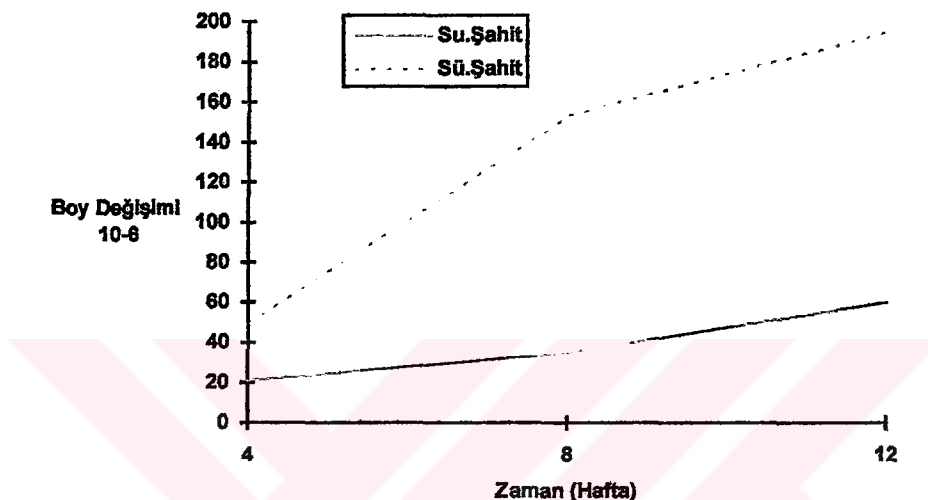
Şekil 5.30: Sülfat Çözeltisinde Bekletilen %28 Katkılı Harçlarda ve Şahit Harçda Boy Değişimleri.



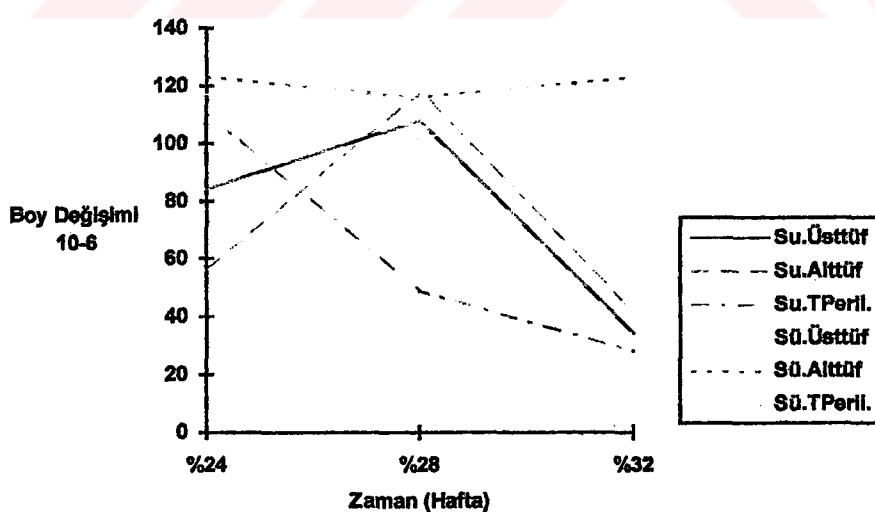
Şekil 5.31: Sülfat Çözeltisinde Bekletilen %32 Katkılı Harçlarda ve Şahit Harçda Boy Değişimleri.



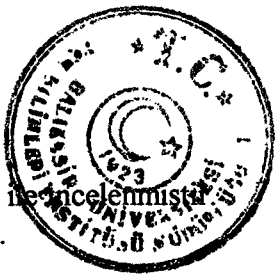
Şahit harçın sülfit çözeltisinde boy artışı suya göre fazla olmuştur. 12. Hafta sonunda Su Şahit harçın suda boy artış miktarı 60×10^{-6} μm iken sülfit çözeltisinde boy artışı 180×10^{-6} μm olmuştu (Şekil 5.32). 12. hafta sonunda suda bekletilen katkılı harçların boy artışı sülfit çözeltisinde bekletilenlere göre daha az olmuştu. Bu fark Üstlüf ve Altılf (zeolit) katkılı harçlarda şahit harçındaki kadar fazla değildir (Şekil 5.33).



Şekil 5.32: Su ve Sülfit Çözeltisinde Bekletilen Şahit Harçlarının Zamanla Boy Değişimleri.



Şekil 5.33: 12. Hafta Sonunda Su ve Sülfit Çözeltisinde Bekletilen Katkılı Harçların Boy Değişimleri.



5.4.4. BOŞLUK DURUMU DENYEY SONUÇLARI

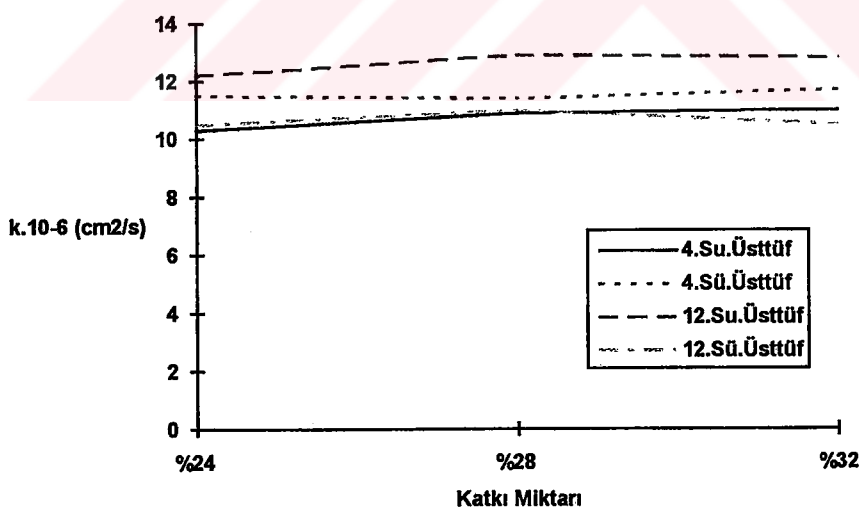
Harçlarda boşluk durumu; kılcallık, su emme, birim ağırlık özelliklerini içermektedir. Bu özelliklerin su ve sülfat çözeltisinde zamanla değişimi saptanmıştır.

Harçlar üretimden sonra 28. güne kadar su içinde saklandıktan sonra, suya ve sülfat çözeltisine konmuştur. Harçlar üzerinde 4. ve 12. kür haftalarında kılcallık, su emme ve birim ağırlık deneyleri yapılmıştır. Deney sonuçlarından yararlanılarak çizilen grafikler ve değerlendirilmesi aşağıda verilmektedir.

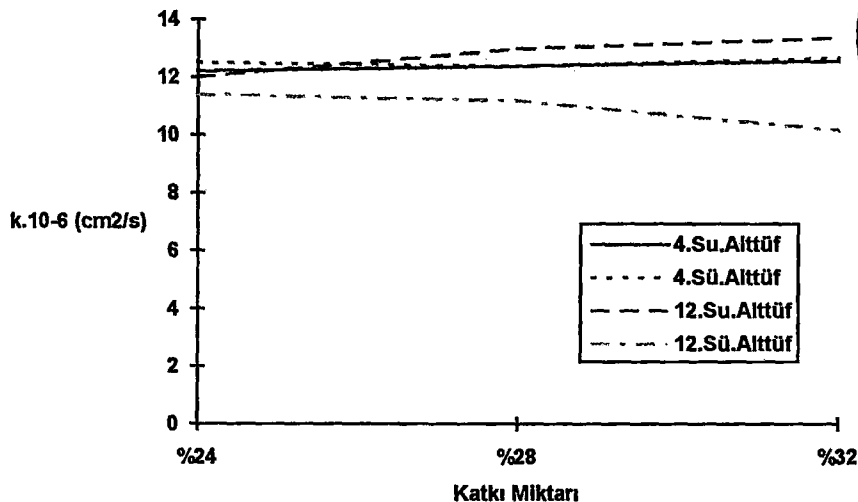
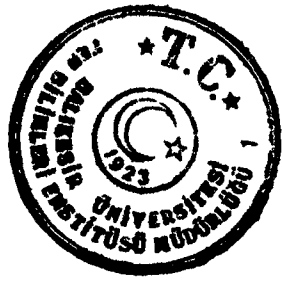
KILCALLIK

Su ve sülfat çözeltisinde bekletilen harçların kılcallık katsayılarının katkı miktarı ile değişimi 4. ve 12. haftalar sonunda belirlenmiş ve sonuçlar Çizelge 5.7 'de verilmiştir.

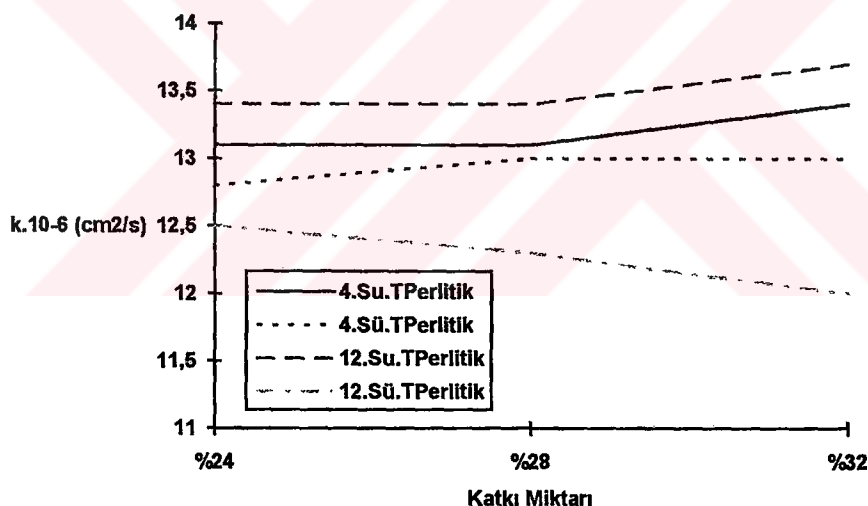
Su ve sülfat çözeltisinde bekletilen harçların 4. ve 12. kür haftalarında kılcallık katsayısının katkı miktarı ile değişimi Şekil 5.34, 5.35 ve 5.36 'dadır. Genel olarak suda bekletilen katkılı harçlarda kılcallık katsayıları katkı miktarının artmasıyla ve zamanla, şahit harca göre artmıştır. Sülfat çözeltisinde bekletilen katkılı harçlarda ise kılcallık katsayıları katkı miktarının artmasıyla yükselmiştir, zamanla ve şahit harca göre azalmıştır. Bu da katkılı harçlarda zamanla kılcal boşlukların azalmasına bağlanabilir.



Şekil 5.34: Su ve Sülfat Çözeltisinde Bekletilen Üstlü Harçların Kılcallık Katsayılarının 4. ve 12. Kür Haftalarında Katkı Miktarı ile Değişimi.

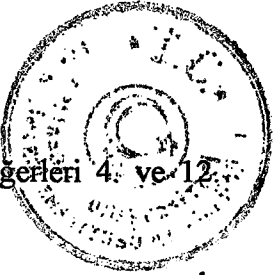


Şekil 5.35: Su ve Sülfat Çözeltilinde Bekletilen Altıttüp Katkılı Harçların Kılcallık Katsayılarının 4. ve 12. Kür Haftalarında Katkı Miktarı ile Değişimi.



Şekil 5.36: Su ve Sülfat Çözeltilinde Bekletilen Turnatepe Perlitik Katkılı Harçların Kılcallık Katsayılarının 4. ve 12. Kür Haftalarında Katkı Miktarı ile Değişimi.

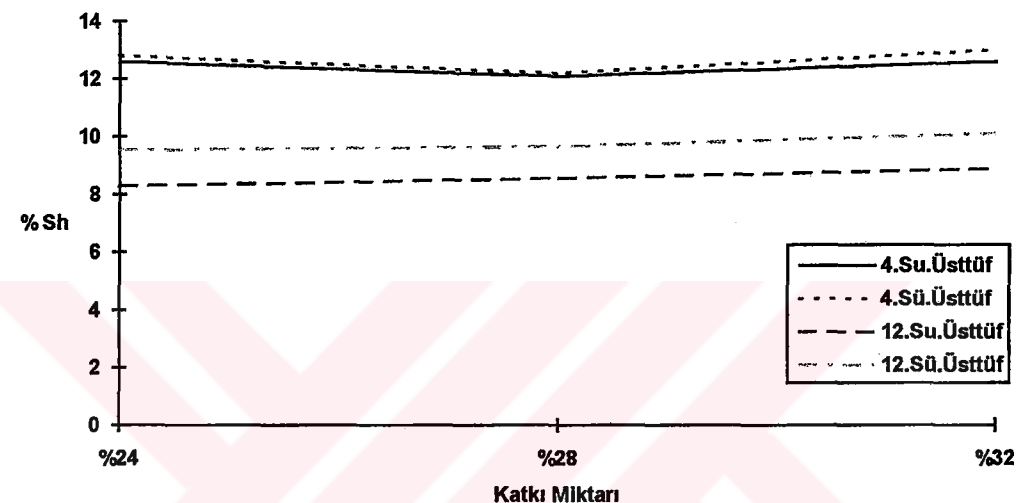
Şahit harçda suda bekletilen numunelerde 4. ve 12. kür haftalarında fazla bir değişiklik olmamakla beraber, sülfat çözeltisinde bekletilen numunelerde 12. hafta sonunda kılcallık katsayısı 4. haftaya ve suda bekletilenlere göre artmıştır.



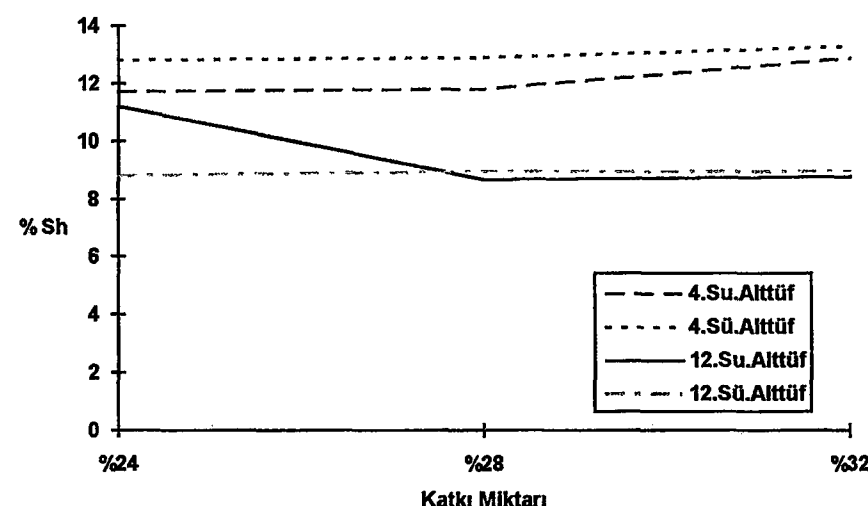
SU EMME

Su ve sülfat çözeltisinde bekletilen harçların hacimce su emme değerleri 4. ve 12. haftalar sonunda belirlenmiş ve sonuçlar Çizelge 5.8 'de verilmiştir.

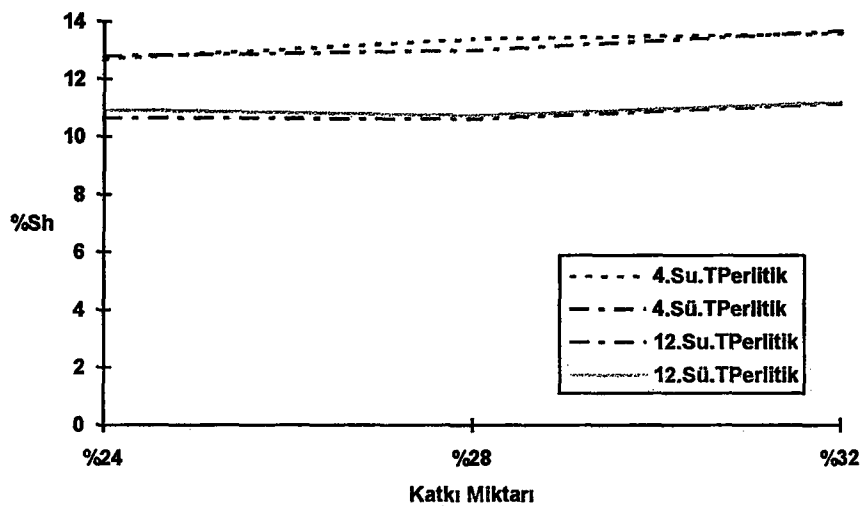
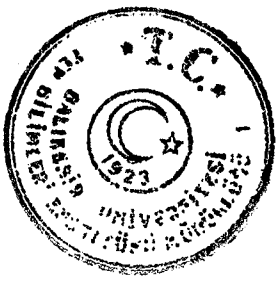
Su ve sülfat çözeltisinde bekletilen katkılı harçlarda katkı miktarının artmasıyla hacimce su emme değerleri artmaktadır, 4. kür haftasına göre 12. kür haftasında hacimce su emme değerleri azalmaktadır. Ayrıca su ve sülfat çözeltisinde bekletilen katkılı harçlarda su emme değerleri 4. ve 12. haftalar sonunda birbirine çok yakın değerler almıştır (Şekil 5.37, 5.38, 5.39).



Şekil 5.37: Su ve Sülfat Çözeltisinde Bekletilen Üsttüt Katkılı Harçların Su Emme Değerinin 4. ve 12. Kür Haftalarında Katkı Miktarı ile Değişimi.



Şekil 5.38: Su ve Sülfat Çözeltisinde Bekletilen Alttüt Katkılı Harçların Su Emme Değerinin 4. ve 12. Kür Haftalarında Katkı Miktarı ile Değişimi.

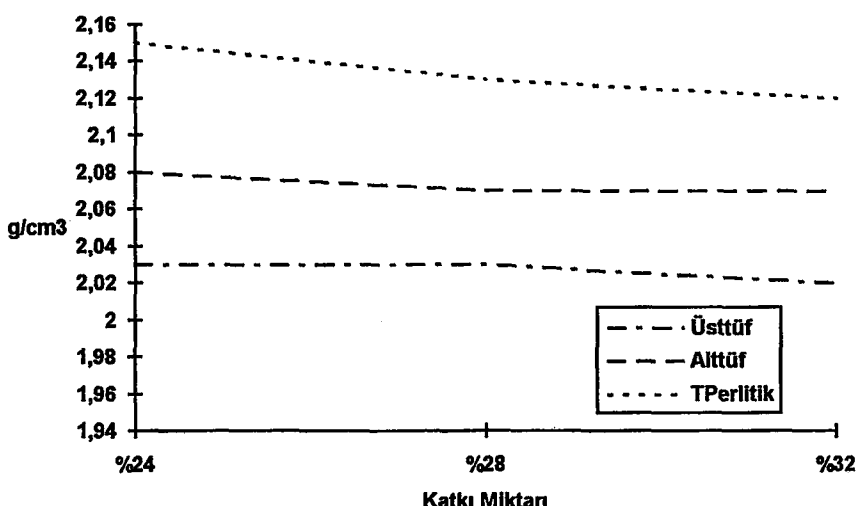


Şekil 5.39: Su ve Sülfat Çözeltisinde Bekletilen Turnatepe Perlilik Katkılı Harçların Su Emme Değerinin 4. ve 12. Kür Haftalarında Katkı Miktarı ile Değişimi.

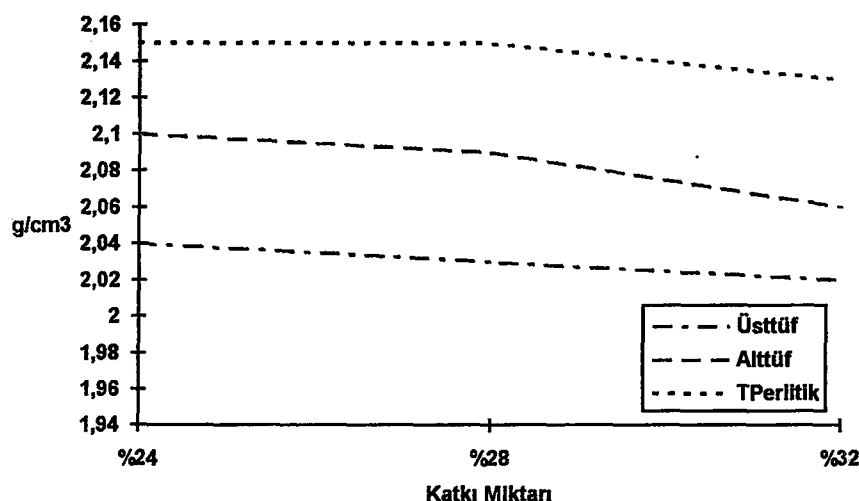
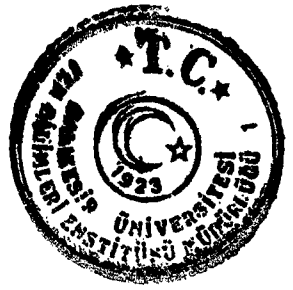
Şahit harçda suda bekletilen numunelerde 4. ve 12. kür haftalarında fazla bir değişiklik olmamakla beraber, sülfat çözeltisinde bekletilen numunelerde 12. hafta sonunda su emme değerinde artış olmuştur.

BİRİM AĞIRLIK

Çizelge 5.9 'da ki sonuçlara göre su ve sülfat çözeltisinde bekletilen katkılı harçlarda birim ağırlıklar zamanla çok belirgin bir şekilde değişmemiştir. Fakat katkı miktarının artmasıyla birim ağırlıklarda azalma olmuştur (Şekil 5.40, 5.41, 5.42). Bu da katkıların özgül ağırlığının düşük olmasından kaynaklanmaktadır. Şahit harçda sülfat çözeltisinde bekletilen numunelerde suda bekletilen numunelere göre birim ağırlıklarda biraz düşüş olmuştur.



Şekil 5.40: Suda Bekletilen Katkılı Harçlarda 12. Gün Sonunda Katkı Miktarıyla Bağlılı Birim Ağırlık Değişimleri.



Şekil 5.41: Sülfat Çözeltisinde Bekletilen Katkılı Harçlarda 12. Gün Sonunda Katkı Miktarıyla Bağlılı Birim Ağırlık Değişimleri.

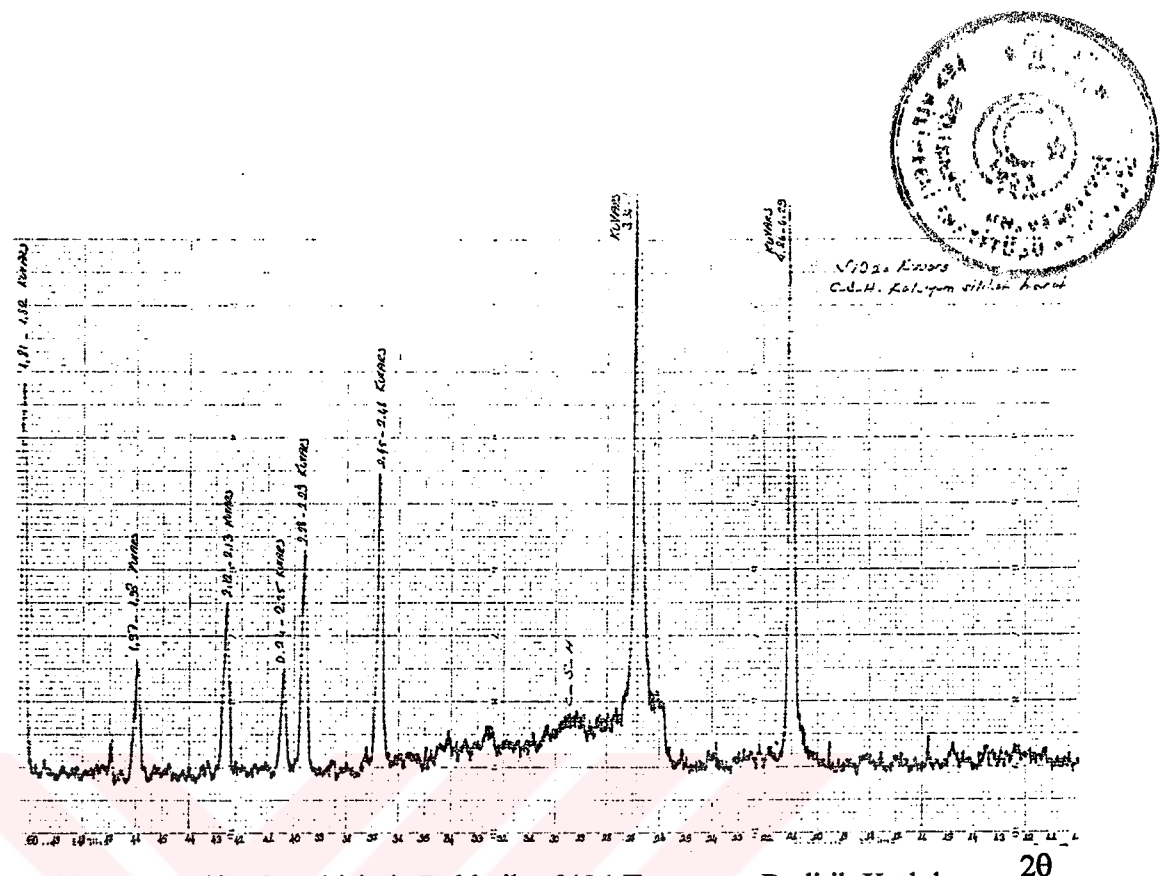


Şekil 5.42: Su ve Sülfat Çözeltisinde Bekletilen Şahit Harçın Zamanla Birim Ağırlık Değişimi.

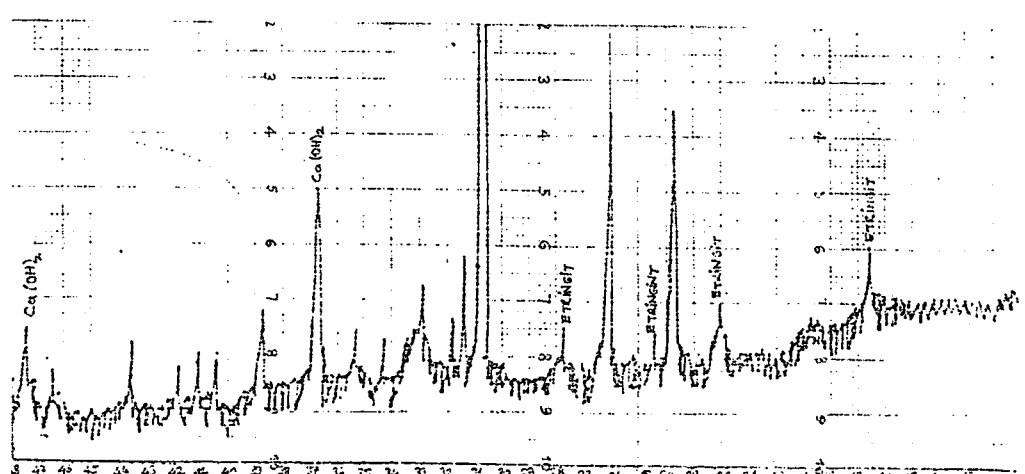
5.5. HARÇLARIN MINERALOJİK YAPI İNCELEMESİ

Sülfat çözeltisinde bekletilen %24 Üsttuf, Alttuf ve Turnatepe Perlitic katkılı ve şahit harçların mineralojik analizleri Çimento Müstahsilleri Birliği X- işçileri diffraktometre biriminde yapılmıştır. Alınan sonuçlara göre sülfat çözeltisinde bekletilen %24 katkılı harçlarda etringit pikine rastlanmamıştır. Alınan piklerde normal bir beton özelliği, yani bol miktarda kuvars ve çok az miktarda C-S-H (kalsiyum silikat hidrate) görülmüştür (Şekil 5.43, 5.44, 5.45). Sülfat çözeltisinde bekletilen şahit harçda ise etringit pikine rastlanmıştır (Şekil 5.46).

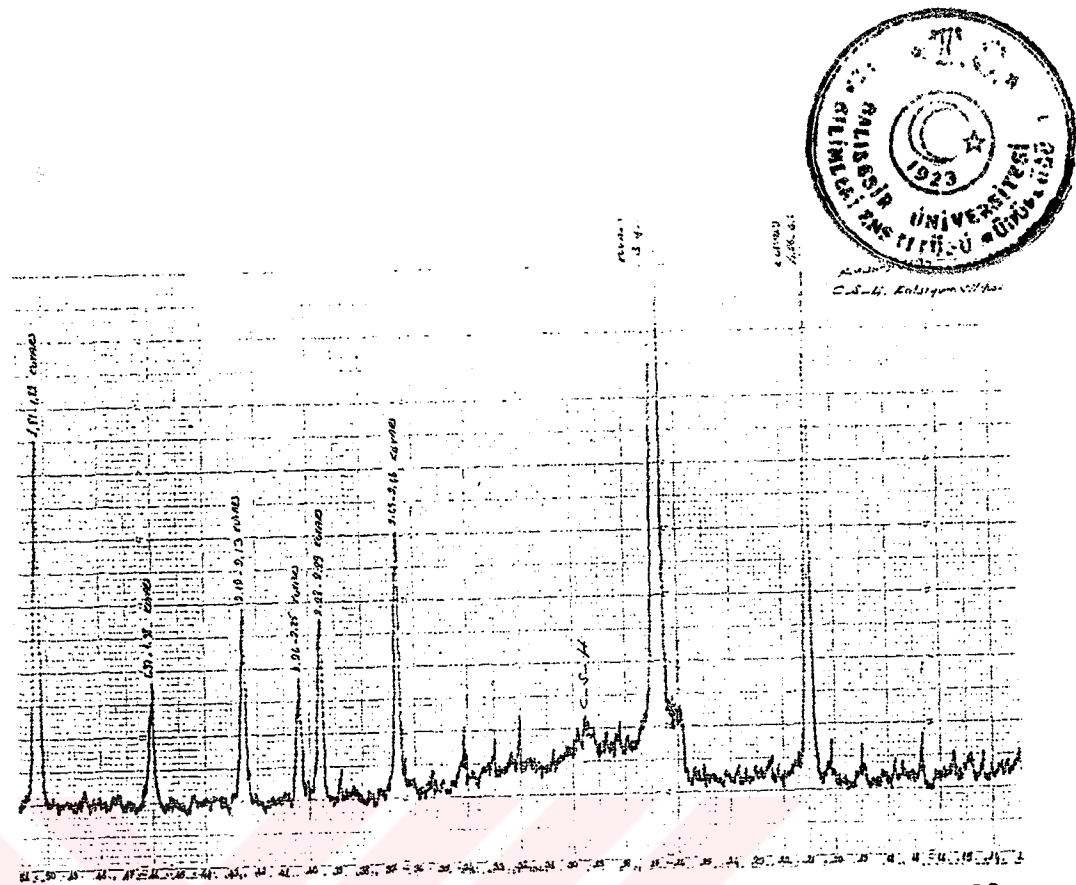
Sonuç olarak sülfat çözeltisinde bekletilen katkılı harçlarda etringit oluşumunu engelleyerek yararlı etkilerini ortaya çıkarmıştır.



Şekil 5.43: Sülfat Çözeltisinde Bekletilen %24 Turnatepe Perlitik Katılıklı Harçın 12. Hafta Sonunda Difraktometresi.

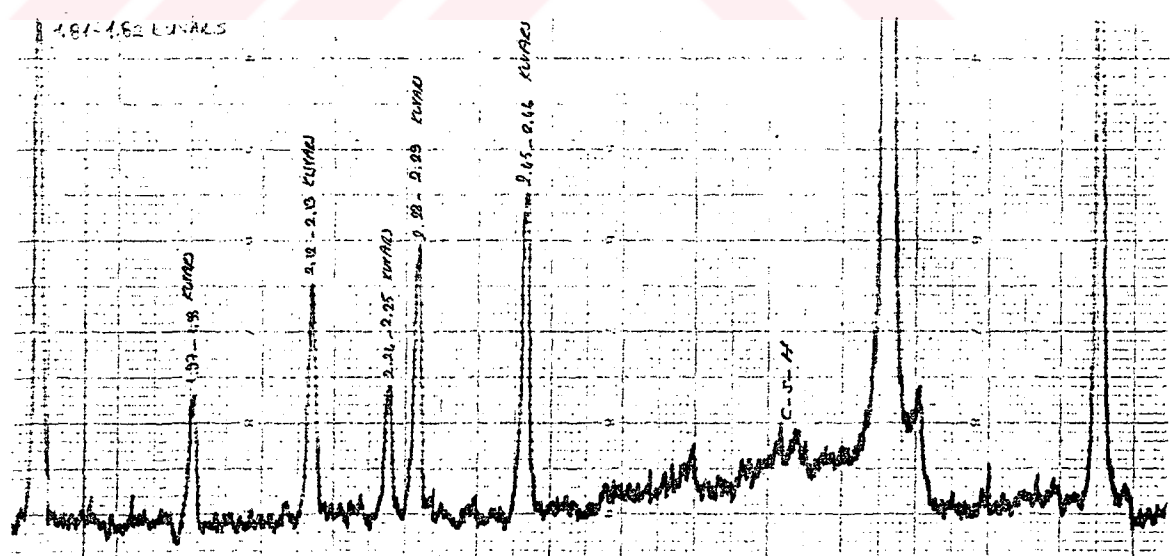


Şekil 5.44: Sülfat Çözeltisinde Bekletilen Şahit Harçın 12. Hafta Sonunda Diffraktometresi.



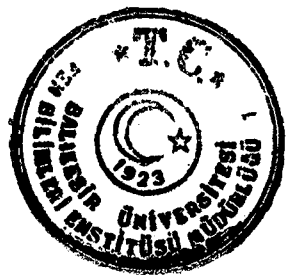
Şekil 5.45: Sulfat Çözeltisinde Bekletilen %24 Üstüfü Kataklı Harcin 12. Hafta Sonunda Difraktometresi.

20



Şekil 5.46: Sulfat Çözeltisinde Bekletilen %24 Altıfü Kataklı Harcin 12. Hafta Sonunda Difraktometresi.

20



BÖLÜM-6

SONUÇLAR

Bu araştırmada elde edilen sonuçlar, aşağıdaki gibi özetlenebilir:

1- Puzolanların Test Sonuçları:

Çalışma alanı Bigadiç ve Turnatepe tüflerini içine alan bölgelerdir. Bigadiç Bölgesi tüfleri esas olarak borath üst ve alttüfler şeklinde tanımlanır. Üsttüfler iki borath seviye arasında yaklaşık 100-150 m kalınlığında, ince ve kaba taneli, alta doğru pumisit parçalı, ayırmış sarımsı bey tonlarındadır ve zeolit (klinoptilolit) yönünden %98 oranlarına kadar yüksek değerler alırlar. Tülü ovası (üsttüfler) esas olmak üzere Salmanlı, Özgören Köyleri kesimlerinde ki tüfler, Bigadiç-Balıkesir yolu üzerinde Kadıköy-Değirmenli, Dedeçinar (alttüfler) Köyü civarında benzer yapı ve özellik taşırlar. Üst ve alttüfler camsı - yarı camsı hamurlu riyolitik veya dasitik tüflerdir. Turnatepe de ise camsı, ince taneli, perlitik kısım ile ayrıca farklı olarak andezitik, breşik yapılı tüflerin üstüste katmanlar halinde varoldukları ortaya konmuştur.

Üsttüfler, orta düzeyde su emme ve porozite değerleri gösterirken, en yüksek basınç dayanımlarına sahiptir. Kolay öğütülebilir puzolandır. **Alttüfler**, en düşük su emme ve porozite, orta düzeyde basınç dayanımı gösterirken, en yüksek birim ağırlıklara sahiptir. Orta seviyede öğütülebilir bir puzolandır. **Turnatepe tüflerinde** ise en düşük birim hacim ağırlıkları ile basınç dayanımları izlenirken, en yüksek su emme ve porozite değerleri ölçülmüştür. Zor öğütülebilir bir puzolandır. Üst, alttüflerin ve Turnatepe perlitik puzolanların puzolanik aktiviteleri yüksektir.

Zeolit minerallerinin ve özgül ağırlığı düşük puzolanların daha kolay öğütülebildiği görülmüştür. Camsı faz miktarının fazlalaşması puzolanik aktiviteyi artırmaktır, fakat puzolanın kalitesi hakkında tek başına bir göstergе olmamaktadır. Zeolitize puzolanlar zeolitize olmamış ve daha az zeolitize olmuş puzolanlara göre daha fazla suya ihtiyaç duymaktadır.

2- Puzolan Katkılı Çimentoların Deney Sonuçları:

2-1- Katkılı çimentolarda, camsı fazın bol olduğu puzolanlar 2 ve 7 günlük mukavemetler de zeolitize olmuş puzolanlar ise 28 günlük mukavemetlerde daha iyi sonuçlar vermektedir. Bunedenle, Turnatepe perlitik puzolanlarının kullanılabilirliği açısından bir optimizasyon gerekmektedir. Turnatepe perlitik puzolani ile zeolitize olmuş tüflerden birini (Üsttüf, Alttüf ve Pamukçu Alt) uygun oranlarda harmanlamak gereklidir. Bu yolla katkı oranlarını %2-4 arasında artırmak mümkündür. Balıkesir SET Çimento fabrikasında katkı maddesi olarak kullanılan Alttüf ve Etibank Bor İşletmelerinde dekapaj malzeme olarak çıkarılan Üsttüfün (zeolitik tüfler) birlikte kullanımında bir optimum değer belirlenebilmesi için üretilen çimentoların, basınç mukavemeti ve tüm kalite parametreleri sonuçları şöyledir:

Sakarya İŞKUR İnceleme Raporu

%24 ve %26 katkı oranlarında 2 ve 7 günlük dayanımlarda önemli bir değişim gözlenmemekle birlikte, 28 günlük dayanımlarda %20'lere varan artışlar gözlenmiştir. Su almalarda %0.5-4 oranlarında artışlar gözlenmiştir. Donma başı ve son zamanlarında olumsuz bir değişim olmamıştır. %28 katkı oranlarında standartlar dışında kalınmıştır. %26 katkı oranında %75 alttüf + %25 üsttüf optimum değer olarak görülmektedir. Turnatepe breşleri ile üretilen çimentoların mukavemet değerleri perlite göre çok daha düşük olmakla beraber 2., 7. ve 28. günlerde standart değerlerin üzerinde sonuçlar vermiştir. Breşler perlite göre daha fazla suya ihtiyaç göstermektedir. Ayrıca öğütülebilmeleri de daha güçtür. Bu dezavantajlarına göre %50TP+%25 TB+%25ÜT harmanı fazla suya ihtiyaç göstermekle beraber mukavemet değerleri yüksektir. Bu harman optimum değer olarak görülmektedir. Harmanın fazla suya ihtiyaç göstermesi Turnatepe breşi ve Üsttüf puzolanlarından kaynaklanmaktadır.

3- Dayanıklılık Test Sonuçları:

Harçlarda dayanıklılığın belirlenmesi için harç numuneleri sülfat çözeltisinde bekletilmiştir. Harçlar üzerinde sülfat etkisini belirlemek için harçların eğilme ve basınç mukavemetleri, kararlılığı, boşluk durumu ve mikroyapısı incelenmiştir:

3-1- Eğilme ve Basınç Mukavemeti Sonuçları

a- Suda bekletilen katkılı harçlarda eğilme ve basınç mukavemetleri zamanla artmıştır. En büyük mukavemetler Üsttüf katkılı harçlarda alınmıştır. Şahit harçda 28. günden sonra mukavemetler artmaya devametmekle beraber çok az olmuş, %24 katkılı harçlarda 12. gün sonunda şahit harçın ulaştığı mukavemetlere ulaşmıştır. Katkılı harçlarda katkı miktarının artmasıyla mukavemetlerde azalma olmuştur. Bu da katkı miktarının fazla gelmesinden kaynaklanmaktadır.

b- Sülfat çözeltisinde bekletilen şahit harçda basınç mukavemetinde zamanla azalma olmuştur. 12. hafta sonunda suda bekletilen şahit harçda basınç mukavemeti %105 artarken, sülfat çözeltisinde %55 artmıştır. 12. hafta sonunda sülfat çözeltisinde bekletilen katkılı harçlarda suda bekletilen harçlara göre daha düşük basınç mukavemetleri alınmasına rağmen, aradaki farklar fazla büyük değildir. Suda bekletilen Üsttüf katkılı harçlarda basınç mukavemeti artışı %116-121 iken, sülfat çözeltisinde %93-80'e inmiştir. Suda bekletilen Alttüf katkılı harçlarda %139-104 basınç mukavemeti artışı olurken, sülfat çözeltisinde bekletilenlerde %117-103'lük bir artış olmuştur. Suda bekletilen Turnatepe perlitik katkılı harçlarda %120 artış olurken, sülfat çözeltisinde bekletilenlerde %107 artış olmuştur.

c- Sülfat çözeltisinde bekletilen katkılı harçların eğilme mukavemetlerinde zamanla artış olmuştur. Sülfat çözeltisinde bekletilen katkılı harçlar suda bekletilen harçlara göre 12. hafta sonunda daha büyük değerlere ulaşmıştır. Sülfatlı ortamda saklanan harçların eğilme mukavemetlerinin, su içinde saklanan harçlara göre yüksek olabileceği ve bunun boşluklarda oluşan kristallerden kaynaklandığı ileri sürülmektedir. Sülfat çözeltisinde katkı miktarının artmasıyla da eğilme mukavemetleri artış göstermiştir. En yüksek eğilme mukavemeti %32 katkılı harçlarda alınmıştır. Şahit harçda ise eğilme mukavemeti 8. kür haftasından sonra azalma eğilimi göstermiştir. 8. kür haftası



sonunda mukavemet artışı %108 iken 12. hafta sonunda %94 olmuştur. Şahit harçın 12. hafta sonunda eğilme mukavemeti katkılı harçlara göre daha düşük değer almıştır.

3-2- Kararlılık Yönünden Sonuçlar

Dayanıklılık deneylerinden kararlılık için, ağırlık ve boy değişimi incelenmiştir:

3-2-1 Ağırlık Değişimi Sonuçları

a- Suda bekletilen katkılı harçlarda zamanla ve katkı miktarının artmasıyla ağırlık artışı olmuştur. En az ağırlık artışı %24 katkılı harçlarda olmuştur. 12. hafta sonunda Üstlü katkılı harçda ağırlık artışı %0.13, Altlu katkılı harçda %0.17, Turnatepe perlitik katkılı harçda %0.47 olmuştur. Şahit harçda da zamanla ağırlık artışı olmuştur. 12. hafta sonunda şahit harçda ağırlık artışı %0.60 olmuştur. Katkılı harçlara göre şahit harçda ağırlık artışı daha fazla olmuştur. Bu sonuç, katkılı harçların hidratasyon ürünlerinin özgül ağırlığının şahit harca göre daha düşük oluşu ile açıklanabilir.

b- Sülfat çözeltisinde bekletilen harçlarda da zamanla birlikte ağırlık artışı olmuştur. Üstlü ve Altlu (zeolit) katkılı harçlarda ağırlık artışı katkı miktarının artmasıyla yükselmiş, TT.perlitik (camsı) katkılı harçlarda ise azalmıştır. Şahit harçda da zamanla birlikte ağırlıklarda artış olmuştur. Şahit harçda 12. hafta sonunda ağırlık artışı %2.60 iken, %24 Üstlü katkılı katkılı harçda %1.76, %32 TT.perlitik katkılı harçda %1.63 olmuştur. Şahit harca göre katkılı harçlarda ağırlık artışı daha az olmuştur. Şahit harçdaki ağırlık artışı sülfatlı ortamda etringit oluşumuna bağlanabilir. Çünkü şahit harçda ağırlık yanında boyda arımıştır. Ayrıca X-Işını difraktometre sonuçlarında şahit harçda etringit piki görülmüştür.

c- Sülfat çözeltisinde bekletilen şahit harçın ağırlık artışı, suda bekletilenlere göre daha fazla olmuştur. 12. hafta sonunda şahit harçın su içindeki ağırlık değişimi %0.60 iken sülfat çözeltisinde %2.60 olmuştur. Yani 4.5 kat daha fazla olmuştur.

3-2-2- Boy Değişimi Sonuçları

a- Suda bekletilen katkılı harçlarda zamanla küçük miktarlarda boy artışı olmuştur. Boy artışı 8. haftadan sonra sabitleşme eğilimi göstermiş ve %32 katkılı harçlarda (katkı miktarının artmasıyla) biraz azalmıştır. Şahit harçda da zamanla küçük miktarlarda boy artışı olmuştur.

b- Sülfat çözeltisinde bekletilen şahit ve katkılı harçlarda zamanla boy artışı görülmüştür. Ancak şahit harçda boy artışı sürekli ve büyük miktarlarda olmuştur. Şahit harçda oluşan bu boy artışı, sülfat etkileşmesi sonucu oluşan Candlot tuzunun varlığına bağlanabilir. Katkılı harçlarda boy artışı, fazla büyük miktarlarda olmamış ve genelde birbirine yakın değerler almıştır. 12. gün sonunda en az boy artışı %24 Üstlü katkılı harçda olmuştur.

c- Şahit harçın sülfat çözeltisinde boy artışı sudakine göre fazla olmuştur. 12. gün sonunda şahit harçın suda boy artışı miktarı 60×10^{-6} $\mu\text{m}/\text{mm}$ iken sülfat çözeltisinde 195×10^{-6} $\mu\text{m}/\text{mm}$ olmuştur. 12. gün sonunda suda bekletilen katkılı harçlarda boy artışı



sülfat çözeltisinde bekletilenlere göre daha az olmakla beraber aradaki **Üstlüf ve Alttüf (zeolit)** katkılı harçlarda şahit harçdaki kadar fazla değildir.

3-3-Boşluk Durumu Sonuçları

Harçlarda boşluk durumu; kılcallık, su emme, birim ağırlık özellikleri ile incelenmiştir:

a- Su içinde bekletilen tüm harçlarda kılcallık katsayısı katkı miktarının artmasıyla artmıştır. Sülfat çözeltisinde bekletilen katkılı harçlarda da katkı miktarının artmasıyla kılcallık katsayısı artmış ancak zamana ve şahit harca göre azalmıştır. Sülfat çözeltisinde bekletilen harçların kılcallık katsayısının suda bekletilenlere göre daha büyük olduğu görülmüştür.

b- Su ve sülfat çözeltisinde bekletilen katkılı harçlarda hacimce su emme değerleri katkı miktarının artmasıyla artmış, 4. ve 12. kür haftalarında ise birbirine çok yakın değerler almıştır.

Suda bekletilen şahit harç numunelerinde 4. ve 12. kür haftalarında fazla bir değişiklik olmamakla beraber, sülfat çözeltisinde bekletilen numunelerde 12. hafta sonunda su emme değerinde artış olmuştur.

c- Su ve sülfat çözeltisinde bekletilen katkılı harçlarda birim ağırlıklar zamanla çok belirgin bir şekilde değişmemiş ve katkı miktarının artmasıyla birim ağırlıklarda azalma olmuştur. Buda katkıların özgül ağırlığının çimentoaya göre düşük olmasından kaynaklanmaktadır.

Şahit harçda sülfat çözeltisinde bekletilen numunelerde suda bekletilen numunelere göre birim ağırlıklarda biraz düşüş olmuştur.

3-4- Mineralojik Yapı İncelemesi Sonuçları

Sülfat çözeltisinde bekletilen %24 Üstlüf, Alttüf ve Turnatepe Perlilik katkılı harçlarda etringit pikine rastlanmamıştır. Alınan piklerde normal bir beton özelliği, yani bol miktarda kuvars ve çok az miktarda C-S-H (kalsiyum silikat hidratı) görülmüştür. Sülfat çözeltisinde bekletilen şahit harçda ise etringit pikine rastlanmıştır.

Sonuç olarak sülfat çözeltisinde bekletilen katkılı harçlarda katkılar, etringit oluşumunu engelleyerek yararlı etki yapmıştır. Doğal puzolan olan zeolitik (Üstlüf ve Alttüf) ve perlilik (Turnatepe) tüfleri kaliteli birer puzolandır. Zeolitik tüfler 28 günlük mukavemetlerde, perlilik tüfler 7 günlük mukavemetlerde daha iyi sonuç vermektedir. Zeolitik tüfler daha kolay, perlilik tüfler daha zor öğütülebilir. Zeolitik tüflerde zeolit mineralerinin bol bulunması o puzolanın kalitesini artırmaktadır. Zeolitik tüfler kendi başlarına kullanılabilir kaliteli birer puzolandır. Perlilik tüflerin ise kendi başlarına kullanılmaması, kaliteli bir puzolan (zeolitik tüfler) ile harmanlanarak kullanılması daha uygun olacaktır. Doğal puzolanların 7 günlük mukavemetleri hiç etkilemediği tartışılmamaktadır.



Puzolanlı çimentolar özellikle zeolit katkılı olanlar portland çimentosuna göre çok daha dayanıklı ve kararlı bir yapıya sahiptir. Puzolanlı çimentolar zamanla mukavemet kazanmaya devam etmektedir. Son mukavemetleri portland çimentosuna göre desta hatta zeolitik tuf katkılı çimentoların son mukavemetleri daha yüksektir.

Puzolanlı çimento üretiminde kaliteli bir puzolan kullanımı, uygun harman seçimi ve kullanılacak puzolan miktarının ayarlanması son derece önemlidir.



KAYNAKLAR



AKÖZ, F., TÜRKER, F., "20°C ve 40°C Sıcaklıktaki Magnezyum Sülfat Çözeltisinin Normal ve Silis Dumanı Katkılı Harçlara Etkisi" İnşaat Mühendisliğindeki Gelişmeler, II. Teknik Kongresi BÜ, 1995, İstanbul.

ATAMAN, G., GÜNDÖĞDU, N., "Kuzey Orta Anadolu Sedimanter Serilerinde Zeolit Oluşumlarının Araştırılması" Temel Bilim, Cilt 4, 1980, Ankara.

BARADAN, B., "Yapı Malzemeleri II" DEÜ Müh. Mim.Fak. İnş.Müh. Bölümü, Yayın No:207, 1994, İzmir.

.....: "Yapı Malzemesi Ders Notları" DEÜ Müh. Mim.Fak. İnş.Müh. Bölümü, 1988, İzmir.

BAŞYİĞİT, C., "Yüksek Oranda Yüksek Kalsiyumlu Uçucu Kül Katılmasının Beton Özelliklerine Etkisi" Süleyman Demirel Üniversitesi, Doktora Tezi, 1993, Isparta.

BAYAZIT, Ö.L., "Beton ve Deneyleri" DSİ Genel Müdürlüğü, 1988, Ankara.

BETON SEMİNERİ; DSİ Teknik Araştırma ve Kalite Kontrol Dairesi Başkanlığı, 1989, Adana.

Bigadiç Çevresinin (Balıkesir) Jeolojisi ve Mağmatik Kayaçların Petrolojisi, Türkiye Jeoloji Kurultayı Bülteni, 1984.

CARRETE, J. C, "Doğal Maddelerde Puzolanik Aktivitenin Çabuk ve Kolay Analizinde Kondüktometrik Metodun Kullanımı" Puzolanlı Çimento Semineri, Türkiye Çimento Müstahsilleri Birliği, 1989, Ankara.

....., "Betonların ve Taşların Dayanıklılığı" Puzolanlar, Puzolanlı Çimentolar ve Kullanım Alanları Semineri, TÇMB, 1989, Ankara.

....., "Katkılı Çimentonun Yapısı, Özellikleri ve Davranışlarının Araştırılmasında Gelecek Eğilimler" Puzolanlar, Puzolanlı Çimentolar ve Kullanım Alanları Semineri, TÇMB, 1989, Ankara.

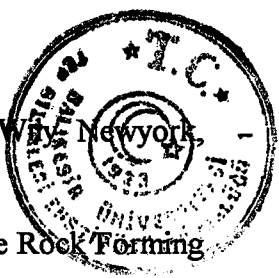
CLAUSEN, C.F., "Cement Materials" 1962, USA.

COHEN, M.D., BENTUR, A., "Durability of Portland Cement Silica Fume Pastes in Magnesium Sulfate and Sodium Sulfate Solutions" ACI Journal, 1988, pp 57-148.

ÇETİNEL, G., ESENLİ, F., BAŞ, H., "Zeolit", MTA, 1995, Ankara.

Çimento Bülteni, Türkiye Çimento Müstahsilleri Birliği, Yıllar 1994-1996, Ankara.

Çimento Teknolojisi, Cilt 1-2-3, Ankara.



- DEER, W.A., "An Introduction to Zeolites and Molecular Sieves", Wiley, Newyork, 1988.
- DEER, W.A., HOWIE, R.A., ZUSSMAN, J., "An Introduction to the Rock Forming Minerals", Wiley, Newyork, 1966, pp 393-401.
- ERCAN, T. ve dgl., "Bigadiç Çevresinin (Balıkesir) Jeolojisi ve Magmatik Kayaçların Petrolojisi" T.J. Kurultayı, 1984, s.75-85.
- ERDİNÇ, H., "Endüstriyel Hammadde Deler" Balıkesir Üniversitesi, 1996, Balıkesir.
- ERDOĞAN, T.Y., "Karışım ve Bakım Suları" ODTÜ, 1995, Ankara.
- ERGÜL, E. ve dgl., M.T.A., Rapor No:469, 1984, Balıkesir.
-: "Çimentolar" ODTÜ, 1995, Ankara.
- İKİZLER, S., "Hammadde Analiz Usulleri ve Analiz Neticelerinin Kıymetlendirilmesi" Ders Notları, Türkiye Çimento Sanayii T.A.Ş., 1974, Ankara.
- İŞLER, F., "Zeolitlerin Özellikleri ve Endüstride Kullanım Alanları", Dünya, 1988.
- İTÜ, Y.B.Y.K., "Bigadiç Tülü Ovası Zeolitlerinin Teknolojik Özelliklerinin Araştırılması" Etibank Pojesi (Yayınlanmamış), 1989, İstanbul.
- KAPLAN, H., BİNİCİ, H., "Tras ve Traslı Çimento" Pamukkale Üniversitesi Mühendislik Mimarlık Fakültesi Mühendislik Bilimleri Dergisi, 1995, Denizli.
- KILINÇKALE, F., "Silik Dumanı İçeren Harçlara Na₂SO₄ Çözeltisinin Etkisi" Çimento Bülteni, TÇMB, 1995, Ankara.
- KOCAÇITAK, S., "Çimento ve Deneyleri" DSİ, 1978, Ankara.
- KOCATAŞKIN, F., "Çimento ve Özellikleri Hakkında Ne Biliyorsunuz" İTÜ, 1965, İstanbul.
- LARSEN, G., PLUM, H. and FÖRSTER, H., "Zeolites and Other Hydrothermal Alteration Products of Synthetic Glasses", Eur.J. Mineral, 1991, Germany.
- LECKEBUSH, R., "Türkiye 'deki Doğal Puzolanların Çimento Katkı Maddesi Olarak Kullanımı Üzerine İncelemeler", 1984, Ankara.
- LONG, F., MARTEL, H., "The Effect Of Additions Of Ultra-Fine Cement On The Strength Characteristics Of Mortar" ZKG. No:12, 1995, pp 661-666.
- MANGAT, P.S., KHATIB, J.M., "Influence Of Fly Ash, Silica Fume And Slag On Sulfate Resistance Of Concrete", ACI Materials Journal, 1995, pp 542-552.



MASSAZZA, F., Puzolanlar, Puzolanlı Çimentolar ve Kullanım Alanları Semineri, TÇMB, 1989, Ankara.

MAZLUM, F., "Pirinç Kabuğu Külünün Puzolanik Özellikleri ve Külün Çimento Harcının Dayanıklılığına Etkisi", İTÜ İnşaat Fakültesi Doktara Tezi, 1989, İstanbul.

MUMPTON, F.A., "World Wide Deposits and Utilisation of Natural Zeolites" Industrial Zeolites, October, 1973, pp 2-11.

NEVILLE, A.M., "Properties of concrete" Pitman Publishing, 1977.

ONARAN, K., "Malzeme Bilimi", İTÜ İnşaat Fakültesi, 1975, İstanbul.

ORHUN, Ö. ve DİĞ., "Doğal Zeolitin (Klinoptilolit) Katyon Değişim Kapasitesinin Tayini", 5. Ulusal Kil Sempozyumu Bildiriler Kitabı, Anadolu Üniversitesi, Yayın No:528, 1991, pp:219-226.

ÖZALP, R., "Çimentoların Kalite ve Kontrolü", Kalite Kontrol Teknik Semineri, 1990, Ankara.

ÖZDEN, N., "Çimento Teknolojisi", Türkiye Çimento Sanayii T.A.Ş., 1981, Ankara.

ÖZPEKER, I., "Batı Anadolu Borat Yataklarının Mukayeseli Jenerik Etüdü", İTÜ Maden Fakültesi Doktara Tezi, 1989, İstanbul.

ÖZTÜRK, A., "Ugulamalı İstatistik", 1978, İstanbul.

PAPADAKIS, V.G., FARDIS, M.N., VAYEGES, C.G., "Hydration and Carbonation of Pozzolanic Cements", ACI Meterials Journal, 1992, pp119-130.

POSTACIOĞLU, B., "Beton, Bağlayıcı Maddeler" Cilt 1, İTÜ İnşaat Fakültesi, 1986, İstanbul.

.....: "Yapı Malzemesi Problemleri" İTÜ İnşaat Fakültesi, 1975, İstanbul.

POSTACIOĞLU, B., UYAN, M., MAZLUM, F., "Traslı Çimentoların Kullanım Alanları", İTÜ Teknik Rapor No:46 1987, İstanbul.

PRINCE, W.H., "Puzzolans-A Review", ACI Journal, May 1975, Detroit, pp 225-232.

SARIFAKIOĞLU, E., TÜRKBİLEĞİ, H., "Molla Hüseyin Damı-Fındıcak Köyü (Manisa Gördes) Civarındaki Zeolitik Tüflerin Etüdü ve Kullanılabilirliğinin Araştırılması", MTA Ege Bölge Müdürlüğü, 1992, İzmir.



- SERSALE, R., "Occurrences and Uses of Zeolites in Italy", Universite di Napoli, 1971, Italy.
-: "Structure and Charracterisation of Pozzolanas and of Fly-Ashes" Universite di Napoli, 1980, Italy.
- SEZGINOĞLU, N., "Kimyasal Etkilerin Malzemeye Etkisi" 1971, İstanbul.
- SHEPPARD, R.A., "Tortul Kayalardaki Zeolitler", Yeryuvarı ve İnsan, 1980.
- TAŞKIN, C., "Türkiye Çimento Hammadde Kaynakları", 1985, İstanbul.
- Traslı Çimento Nedir Ne Değildir, TMMOB, 1994, Ankara.
- TS 19, Çimento-Portland Çimentoları, 1992
- TS 24, Çimentoların Fiziki ve Mekanik Deney Metotları, 1985.
- TS 25, Tras, 1975.
- TS 26, Çimento-Traslı Çimento, 1992.
- TS 687, Çimentonun Kimyasal Analiz Metotları, 1994
- TS 819, Rilem-Cembureau Standart Kum, 1988.
- TS 3322, Çimento Harcı ve Beton Numunelerinde Boy Değişim Tayini, 1979.
- TS 3441, Klinker-Portland Çimentosu Klinkeri, 1994.
- TS 10156, Çimento- Katkılı Çimento, 1992.
- TS 10157, Çimento-Sülfatlara Dayanıklı, 1992.
- TONAK, T., ÖZ, U., "Traslı Çimentoların Sülfatlı Sulara Dayanıklılığı", Çimento Bülteni, TCMB, 1994, Ankara.
- UZ, B., "Biga Yarımadası (Çanakkale) Volkanik Kayalarının Çimento Hammaddesi-Tras Özelliği Yönünden Etüt ve Değerlendirilmesi", İTÜ Maden Fakültesi.
-, "Sındırıcı-Akhisar-Yağcılar Bölgesi Ofiyolit Birliğinin Petrografik, Petrojenetik ve Jeokimyasal İncelemesi", İTÜ Maden Fakültesi Doçentlik Tezi (yayınlanmamış), 1978, İstanbul.
- VAUGHAN, D.E.W., "Properties Of Naturel Zeolites", Davision Chemical Division, 1980, USA.



YEĞİNÖBALI, A., TUNCER, F., "Siliç Dumanı ve Uçucu Kül Katkalarının Çimento
Harcının Sülfat Direnci Üzerindeki Etkileri", Çimento ve Beton Dünyası, 1996,
Ankara.

ZHANG, H., ODLER, I., "The Texture of SO₃-Rich Portland Cement Clinkers"
Word Cement, 1992, U.S.A., pp:30-32.



ÖZGEÇMİŞ

Arzu OKUCU, 1967 yılında Balıkesir 'de doğdu. İlköğretimini Balıkesir Alaylı İlkokulunda 1978 'de, orta öğrenimini Balıkesir Karesi Ortaokulunda, lise öğrenimini Balıkesir Lisesinde 1984 'de tamamladı.



Yıldız Teknik Üniversitesi İnşaat Bölümünü 1988 yılında birtirdi. 1989 'da Balıkesir Üniversitesi İnşaat Bölümüne Araştırma Görevlisi olarak girdi ve 1992 'de Uludağ Üniversitesinde Yüksek Lisansını tamamladı. Halen aynı görevde çalışmaktadır. Evli ve iki çocuk annesidir.

